

committente



Via Lungotevere Tor di Nona, 1  
00186 - Roma

## EFFICIENTAMENTO ENERGETICO E MIGLIORAMENTO SISMICO DEL PATRIMONIO DELL'ATER PROVINCIA DI ROMA

Ai sensi dell'Art. 183 comma 15 D.LGS 50/16

### PROGETTO DI FATTIBILITA' TECNICA ED ECONOMICA

#### R.T.I. Costituendo

##### Mandataria



FREE Energy Saving s.r.l.  
via Ufente, 20 - 04100 Latina

##### responsabile di progetto

Ing. Giorgio Saraceno

##### responsabile coordinamento progetto

Arch. Maurizio Romano

##### Mandanti



**Rogedil Servizi s.r.l.**

Via Ada Negri, 66 - 00137 ROMA  
Tel. 06 82002948 Fax 06 82097772  
email: servizi@rogedil.com

##### progetto architettonico

Arch. Francesco Maria Azzopardi

##### LUXMASTER Engineering s.r.l.

Arch. Pietro Domenico Bertucci



##### progetto strutturale

Ing. Mariella Cosimi

##### progetto impiantistico

Arch. Francesco Maria Azzopardi



# LUXMASTER +

LUXMASTER Plus s.r.l.  
Piazza Della Repubblica, 24 - 20124 Milano

**Comune di Velletri**

Relazione tecnica - Velletri

anno	n. prog. anno	cod.ciente	categoria	sottocategoria	località	fase	n.	rev.	capitolo	tipologia
20	005	411	ATER	PRR	VEL	F	001	0	D	R

formato

scala

A4

-

data	rev	disciplina	redatto	controllato	approvato	codice
set-2020	0	generale	Pias	Azzopardi	Saraceno	-

## **INDICE**

<b>1. INTERVENTO STRUTTURALE .....</b>	<b>10</b>
<b>1.1. Tipologia VE01 .....</b>	<b>11</b>
1.1.1. Individuazione dei siti in esame.....	11
1.1.2. Determinazione della categoria di sottosuolo .....	11
1.1.3. Analisi sismica.....	13
1.1.3.1. Determinazione del fattore di comportamento q .....	13
1.1.3.2. Spettri di risposta.....	15
1.1.4. Carichi di progetto .....	16
1.1.4.1. Carico della neve.....	16
1.1.4.2. Carico del vento.....	17
1.1.5. Interventi per il miglioramento sismico – edifici in muratura .....	22
1.1.5.1. Sintesi degli interventi previsti.....	22
1.1.6. Conclusioni .....	23
<b>1.2. Tipologia VE02.....</b>	<b>24</b>
1.2.1. Individuazione dei siti in esame.....	24
1.2.2. Determinazione della categoria di sottosuolo .....	24
1.2.3. Analisi sismica.....	26
1.2.3.1. Determinazione del fattore di comportamento q .....	26
1.2.3.2. Spettri di risposta.....	28
1.2.4. Carichi di progetto .....	29
1.2.4.1. Carico della neve.....	29
1.2.4.2. Carico del vento.....	30
1.2.5. Interventi per il miglioramento sismico – edifici in muratura .....	35
1.2.5.1. Sintesi degli interventi previsti.....	35
1.2.6. Conclusioni .....	36
<b>1.3. Tipologia VE03.....</b>	<b>37</b>
1.3.1. Individuazione dei siti in esame.....	37
1.3.2. Determinazione della categoria di sottosuolo .....	37
1.3.3. Analisi sismica.....	39

1.3.3.1.	Determinazione del fattore di comportamento q .....	39
1.3.3.2.	Spettri di risposta .....	41
1.3.4.	Carichi di progetto .....	42
1.3.4.1.	Carico della neve .....	42
1.3.4.2.	Carico del vento .....	43
1.3.5.	Interventi per il miglioramento sismico – edifici in muratura .....	48
1.3.5.1.	Sintesi degli interventi previsti .....	48
1.3.6.	Conclusioni .....	49
<b>1.4.</b>	<b>Tipologia VE04 .....</b>	<b>50</b>
1.4.1.	Individuazione dei siti in esame .....	50
1.4.2.	Determinazione della categoria di sottosuolo .....	50
1.4.3.	Analisi sismica .....	52
1.4.3.1.	Determinazione del fattore di comportamento q .....	52
1.4.3.2.	Spettri di risposta .....	54
1.4.4.	Carichi di progetto .....	55
1.4.4.1.	Carico della neve .....	55
1.4.4.2.	Carico del vento .....	56
1.4.5.	Interventi per il miglioramento sismico – edifici in muratura .....	61
1.4.5.1.	Sintesi degli interventi previsti .....	61
1.4.6.	Conclusioni .....	62
<b>1.5.</b>	<b>Tipologia VE05 .....</b>	<b>63</b>
1.5.1.	Individuazione dei siti in esame .....	63
1.5.2.	Determinazione della categoria di sottosuolo .....	63
1.5.3.	Analisi sismica .....	65
1.5.3.1.	Determinazione del fattore di comportamento q .....	65
1.5.3.2.	Spettri di risposta .....	67
1.5.4.	Carichi di progetto .....	68
1.5.4.1.	Carico della neve .....	68
1.5.4.2.	Carico del vento .....	69
1.5.5.	Interventi per il miglioramento sismico – edifici in muratura .....	74

1.5.5.1.	Sintesi degli interventi previsti.....	74
1.5.6.	Conclusioni .....	75
<b>1.6.</b>	<b>Tipologia VE06.....</b>	<b>76</b>
1.6.1.	Individuazione dei siti in esame.....	76
1.6.2.	Determinazione della categoria di sottosuolo .....	76
1.6.3.	Analisi sismica.....	78
1.6.3.1.	Determinazione del fattore di comportamento q .....	78
1.6.3.2.	Spettri di risposta.....	80
1.6.4.	Carichi di progetto .....	81
1.6.4.1.	Carico della neve.....	81
1.6.4.2.	Carico del vento.....	82
1.6.5.	Interventi per il miglioramento sismico – edifici in muratura .....	87
1.6.5.1.	Sintesi degli interventi previsti.....	87
1.6.6.	Conclusioni .....	88
<b>1.7.</b>	<b>Tipologia VE07 .....</b>	<b>89</b>
1.7.1.	Individuazione dei siti in esame.....	89
1.7.2.	Determinazione della categoria di sottosuolo .....	89
1.7.3.	Analisi sismica.....	91
1.7.3.1.	Determinazione del fattore di comportamento q .....	91
1.7.3.2.	Spettri di risposta.....	93
1.7.4.	Carichi di progetto .....	94
1.7.4.1.	Carico della neve.....	94
1.7.4.2.	Carico del vento.....	95
1.7.5.	Interventi per il miglioramento sismico – edifici in muratura .....	100
1.7.5.1.	Sintesi degli interventi previsti.....	100
1.7.6.	Conclusioni .....	101
<b>1.8.</b>	<b>Tipologia VE08.....</b>	<b>102</b>
1.8.1.	Individuazione dei siti in esame.....	102
1.8.2.	Determinazione della categoria di sottosuolo .....	102
1.8.3.	Analisi sismica.....	104

1.8.3.1.	Determinazione del fattore di comportamento q .....	104
1.8.3.2.	Spettri di risposta.....	106
1.8.4.	Carichi di progetto .....	107
1.8.4.1.	Carico della neve.....	107
1.8.4.2.	Carico del vento.....	108
1.8.5.	Interventi per il miglioramento sismico – edifici in muratura .....	113
1.8.5.1.	Sintesi degli interventi previsti.....	113
1.8.6.	Conclusioni .....	114
<b>1.9.</b>	<b>Tipologia VE09.....</b>	<b>115</b>
1.9.1.	Individuazione dei siti in esame.....	115
1.9.2.	Determinazione della categoria di sottosuolo .....	115
1.9.3.	Analisi sismica.....	117
1.9.3.1.	Determinazione del fattore di comportamento q .....	117
1.9.3.2.	Spettri di risposta.....	119
1.9.4.	Carichi di progetto .....	120
1.9.4.1.	Carico della neve.....	120
1.9.4.2.	Carico del vento.....	121
1.9.5.	Interventi per il miglioramento sismico – edifici in cemento armato .....	126
1.9.5.1.	Sintesi degli interventi previsti.....	127
1.9.6.	Conclusioni .....	129
<b>1.10.</b>	<b>Tipologia VE10 .....</b>	<b>130</b>
1.10.1.	Individuazione dei siti in esame.....	130
1.10.2.	Determinazione della categoria di sottosuolo .....	130
1.10.3.	Analisi sismica.....	132
1.10.3.1.	Determinazione del fattore di comportamento q .....	132
1.10.3.2.	Spettri di risposta.....	134
1.10.4.	Carichi di progetto .....	135
1.10.4.1.	Carico della neve.....	135
1.10.4.2.	Carico del vento.....	136
1.10.5.	Interventi per il miglioramento sismico – edifici in cemento armato .....	141

1.10.5.1.	Sintesi degli interventi previsti.....	142
1.10.6.	Conclusioni .....	144
<b>1.11.</b>	<b>Tipologia VE11 .....</b>	<b>145</b>
1.11.1.	Individuazione dei siti in esame.....	145
1.11.2.	Determinazione della categoria di sottosuolo .....	145
1.11.3.	Analisi sismica.....	147
1.11.3.1.	Determinazione del fattore di comportamento q .....	147
1.11.3.2.	Spettri di risposta.....	149
1.11.4.	Carichi di progetto .....	150
1.11.4.1.	Carico della neve.....	150
1.11.4.2.	Carico del vento.....	151
1.11.5.	Interventi per il miglioramento sismico – edifici in cemento armato .....	156
1.11.5.1.	Sintesi degli interventi previsti.....	157
1.11.6.	Conclusioni .....	159
<b>1.12.</b>	<b>Tipologia VE12 .....</b>	<b>160</b>
1.12.1.	Individuazione dei siti in esame.....	160
1.12.2.	Determinazione della categoria di sottosuolo .....	160
1.12.3.	Analisi sismica.....	162
1.12.3.1.	Determinazione del fattore di comportamento q .....	162
1.12.3.2.	Spettri di risposta.....	164
1.12.4.	Carichi di progetto .....	165
1.12.4.1.	Carico della neve.....	165
1.12.4.2.	Carico del vento.....	166
1.12.5.	Interventi per il miglioramento sismico – edifici in cemento armato .....	171
1.12.5.1.	Sintesi degli interventi previsti.....	172
1.12.6.	Conclusioni .....	173
<b>1.13.</b>	<b>Tipologia VE13 .....</b>	<b>174</b>
1.13.1.	Individuazione dei siti in esame.....	174
1.13.2.	Determinazione della categoria di sottosuolo .....	174
1.13.3.	Analisi sismica.....	176

1.13.3.1.	Determinazione del fattore di comportamento q .....	176
1.13.3.2.	Spettri di risposta.....	178
1.13.4.	Carichi di progetto .....	179
1.13.4.1.	Carico della neve.....	179
1.13.4.2.	Carico del vento.....	180
1.13.5.	Interventi per il miglioramento sismico – edifici in cemento armato .....	185
1.13.5.1.	Sintesi degli interventi previsti.....	186
1.13.6.	Conclusioni .....	188
<b>1.14.</b>	<b>Tipologia VE14 .....</b>	<b>189</b>
1.14.1.	Individuazione dei siti in esame.....	189
1.14.2.	Determinazione della categoria di sottosuolo .....	189
1.14.3.	Analisi sismica.....	191
1.14.3.1.	Determinazione del fattore di comportamento q .....	191
1.14.3.2.	Spettri di risposta.....	193
1.14.4.	Carichi di progetto .....	194
1.14.4.1.	Carico della neve.....	194
1.14.4.2.	Carico del vento.....	195
1.14.5.	Interventi per il miglioramento sismico – edifici in cemento armato .....	200
1.14.5.1.	Sintesi degli interventi previsti.....	201
1.14.6.	Conclusioni .....	202
<b>1.15.</b>	<b>Tipologia VE15 .....</b>	<b>203</b>
1.15.1.	Individuazione dei siti in esame.....	203
1.15.2.	Determinazione della categoria di sottosuolo .....	203
1.15.3.	Analisi sismica.....	205
1.15.3.1.	Determinazione del fattore di comportamento q .....	205
1.15.3.2.	Spettri di risposta.....	207
1.15.4.	Carichi di progetto .....	208
1.15.4.1.	Carico della neve.....	208
1.15.4.2.	Carico del vento.....	209
1.15.5.	Interventi per il miglioramento sismico – edifici in cemento armato .....	214

1.15.5.1.	Sintesi degli interventi previsti.....	215
1.15.6.	Conclusioni .....	217
<b>1.16.</b>	<b>Tipologia VE16 .....</b>	<b>218</b>
1.16.1.	Individuazione dei siti in esame.....	218
1.16.2.	Determinazione della categoria di sottosuolo .....	218
1.16.3.	Analisi sismica.....	220
1.16.3.1.	Determinazione del fattore di comportamento q .....	220
1.16.3.2.	Spettri di risposta.....	222
1.16.4.	Carichi di progetto .....	223
1.16.4.1.	Carico della neve.....	223
1.16.4.2.	Carico del vento.....	224
1.16.5.	Interventi per il miglioramento sismico – edifici in muratura .....	229
1.16.5.1.	Sintesi degli interventi previsti.....	229
1.16.6.	Conclusioni .....	230
<b>1.17.</b>	<b>Tipologia VE17 .....</b>	<b>231</b>
1.17.1.	Individuazione dei siti in esame.....	231
1.17.2.	Determinazione della categoria di sottosuolo .....	231
1.17.3.	Analisi sismica.....	233
1.17.3.1.	Determinazione del fattore di comportamento q .....	233
1.17.3.2.	Spettri di risposta.....	235
1.17.4.	Carichi di progetto .....	236
1.17.4.1.	Carico della neve.....	236
1.17.4.2.	Carico del vento.....	237
1.17.5.	Interventi per il miglioramento sismico – edifici in muratura .....	242
1.17.5.1.	Sintesi degli interventi previsti.....	242
1.17.6.	Conclusioni .....	243
<b>1.18.</b>	<b>Tipologia VE18 .....</b>	<b>244</b>
1.18.1.	Individuazione dei siti in esame.....	244
1.18.2.	Determinazione della categoria di sottosuolo .....	244
1.18.3.	Analisi sismica.....	246



1.18.3.1.	Determinazione del fattore di comportamento q .....	246
1.18.3.2.	Spettri di risposta.....	248
1.18.4.	Carichi di progetto .....	249
1.18.4.1.	Carico della neve.....	249
1.18.4.2.	Carico del vento.....	250
1.18.5.	Interventi per il miglioramento sismico – edifici in muratura .....	255
1.18.5.1.	Sintesi degli interventi previsti.....	255
1.18.6.	Conclusioni .....	256
<b>1.19.</b>	<b>Tipologia VE19 .....</b>	<b>257</b>
1.19.1.	Individuazione dei siti in esame.....	257
1.19.2.	Determinazione della categoria di sottosuolo .....	257
1.19.3.	Analisi sismica.....	259
1.19.3.1.	Determinazione del fattore di comportamento q .....	259
1.19.3.2.	Spettri di risposta.....	261
1.19.4.	Carichi di progetto .....	262
1.19.4.1.	Carico della neve.....	262
1.19.4.2.	Carico del vento.....	263
1.19.5.	Interventi per il miglioramento sismico – edifici in muratura .....	268
1.19.5.1.	Sintesi degli interventi previsti.....	268
1.19.6.	Conclusioni .....	269
<b>1.20.</b>	<b>Tipologia VE20.....</b>	<b>270</b>
1.20.1.	Individuazione dei siti in esame.....	270
1.20.2.	Determinazione della categoria di sottosuolo .....	270
1.20.3.	Analisi sismica.....	272
1.20.3.1.	Determinazione del fattore di comportamento q .....	272
1.20.3.2.	Spettri di risposta.....	274
1.20.4.	Carichi di progetto .....	275
1.20.4.1.	Carico della neve.....	275
1.20.4.2.	Carico del vento.....	276
1.20.5.	Interventi per il miglioramento sismico – edifici in muratura .....	281

1.20.5.1.	Sintesi degli interventi previsti.....	281
1.20.6.	Conclusioni .....	282
<b>2.</b>	<b>INTERVENTI DI EFFICIENTAMENTO ENERGETICO.....</b>	<b>283</b>
<b>2.1.</b>	<b>Inquadramento .....</b>	<b>283</b>
2.1.1.	Dati climatici.....	283
<b>2.2.</b>	<b>Tipologia edifici.....</b>	<b>284</b>
2.2.1.	Classificazione per tipologie edilizie affini .....	285
<b>2.3.</b>	<b>Interventi di efficientamento energetico .....</b>	<b>305</b>
2.3.1.	Interventi passivi: involucro edilizio .....	305
2.3.2.	Interventi attivi: impianti di riscaldamento .....	306

## 1. INTERVENTO STRUTTURALE

Per quanto riguarda il Comune di Velletri sono state individuate 20 tipologie strutturali differenti di edifici, raggruppati in funzione delle seguenti caratteristiche:

- stessa geometria in pianta ed altezza;
- stesso tipo di copertura;
- zone omogenee in prospettiva sismica (categoria topografica);
- stessa tipologia costruttiva;
- presenza del piano interrato.

Attraverso la suddivisione introdotta, nei paragrafi che seguono sono analizzati nel dettaglio in funzione della tipologia individuata, tutti gli interventi strutturali atti a garantire un miglioramento sismico dell'edificio di almeno una classe sismica.

Di seguito si riporta la tabella completa che raggruppa tutte le tipologie strutturali individuate.

CITTA'	TIPOLOGIA	INDIRIZZO
VELLETRI	VE01	VIA CARLO ANGELONI 51
VELLETRI	VE02	VIA CARLO ANGELONI 19-29 – AB
VELLETRI	VE03	VIA CARLO ANGELONI 23-25-27 – FGH
VELLETRI	VE04	VIA FONTANA DELLE ROSE 207
VELLETRI	VE05	VIA CAMPO SPORTIVO 5
VELLETRI	VE05	VIA CAMPO SPORTIVO 11
VELLETRI	VE06	VIA FONTANA DELLE ROSE 205
VELLETRI	VE07	VIA FONTANA DELLE ROSE 147
VELLETRI	VE07	VIA FONTANA DELLE ROSE 141
VELLETRI	VE08	CIRCONVALLAZIONE DI Ponente 241-243
VELLETRI	VE09	VIA G. PASTORE 2-4-6-8-10-12-14-16
VELLETRI	VE10	VIA G. DI VITTORIO 1-3-5-7-9-11-13-15-17-19
VELLETRI	VE11	VIA G. AMENDOLA 3-5-7-9-11-13
VELLETRI	VE12	PIAZZA CAMANGI 1-2-3-4
VELLETRI	VE13	VIA E. DE NICOLA 11-13-15-17
VELLETRI	VE14	PIAZZA G. FALCONE 6-7-8-9
VELLETRI	VE15	VIA G. PASTORE 18-20-22-24
VELLETRI	VE16	VIA SALVO D'ACQUISTO 35
VELLETRI	VE17	VIA SALVO D'ACQUISTO 39
VELLETRI	VE18	VIA MENOTTI GARIBALDI 57
VELLETRI	VE18	VIA MENOTTI GARIBALDI 59
VELLETRI	VE19	VIA SALVO D'ACQUISTO 41
VELLETRI	VE20	VIA CAMPO SPORTIVO 7
VELLETRI	VE20	VIA CAMPO SPORTIVO 9

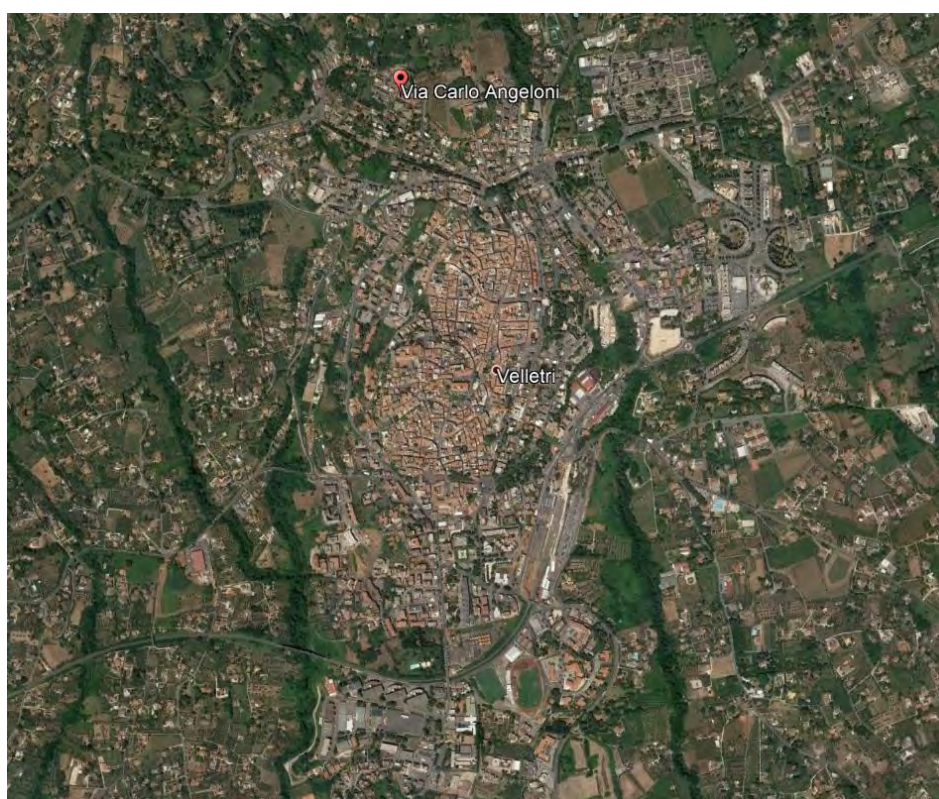
## **1.1. Tipologia VE01**

### **1.1.1. Individuazione dei siti in esame**

Di seguito si riporta una tabella che riassume i parametri generali del sito in esame, con gli identificativi e le coordinate dei punti che includono gli edifici.

<b>Provincia</b>	<b>Comune</b>	<b>Tipologia</b>	<b>Via</b>	<b>Latitudine</b>	<b>Longitudine</b>
Roma	Velletri	VE01	Via Carlo Angeloni 51	41.4142°	12.4648°
Roma	Velletri	VE01	Via Carlo Angeloni 51	41.4142°	12.4648°
Roma	Velletri	VE01	Via Carlo Angeloni 51	41.4142°	12.4648°
Roma	Velletri	VE01	Via Carlo Angeloni 51	41.4142°	12.4648°

**Tabella 1.** Parametri generali del sito in esame



**Figura 1.** Individuazione del sito in esame (immagine da google earth)

### **1.1.2. Determinazione della categoria di sottosuolo**

Per la determinazione della categoria di sottosuolo, in assenza di indagini geologiche specifiche per ogni intervento da realizzare, è possibile stimare in via preliminare e con le approssimazioni del caso, la velocità delle onde VS facendo specifico riferimento agli abachi regionali di microzonazione sismica ai sensi della DGR Lazio n. 545 del 26 novembre 2010, forniti sul portale della Regione Lazio. Nello specifico andando ad individuare la carta delle microzone omogenee in prospettiva sismica per il comune di interesse, è possibile risalire alla tipologia del sottosuolo e relativo spessore. Dalla carta riportata in figura 2, si evidenzia che il sito oggetto del presente studio ricade all'interno



delle zone stabili suscettibili di amplificazione sismica (Zona 1) che sono caratterizzate dalla presenza depositi piroclastici. In funzione di questo, entrando in via approssimativa nell'abaco ( $V_s/h$ ) riportato in figura 2, relativo alle ghiaie alluvionali, detritiche e sabbie di alterazione, si determina il valore di  $V_s$  che viene utilizzato per la stima approssimata della categoria di sottosuolo entrando nella tabella 3.2.II del D.M. 17 Gennaio 2018.

<b>GHIAIE ALLUVIONALI</b> <b>GHIAIE DETRITICHE</b> <b>SABBIE DI ALTERAZIONE DA ARENARIE</b> <b>SABBIE DI ALTERAZIONE DA TRAVERTINI</b> <b>SABBIE DI ALTERAZIONI DA TUFI VULCANICI</b>									
FH <sub>0.1-0.5</sub>	Velocità media $V_{SH}$ (m/s)								
	180	250	300	360	400	450	500	600	700
5	1.3	1.2	1.1	1.1	1.1	1.1	1.0	1.0	1.0
10			1.4	1.4	1.2	1.2	1.1	1.1	1.0
15			1.6	1.5	1.3	1.3	1.2	1.1	1.1
20			1.7	1.6	1.4	1.3	1.2	1.1	1.1
25			1.6	1.5	1.5	1.4	1.3	1.2	1.1
30			1.5	1.5	1.5	1.4	1.3	1.2	1.1
35				1.4	1.4	1.3	1.3	1.2	1.1
40					1.4	1.3	1.3	1.2	1.1
45						1.3	1.2	1.2	1.1

GRADIENTE DI VELOCITA' PER VALIDITA' ABACO

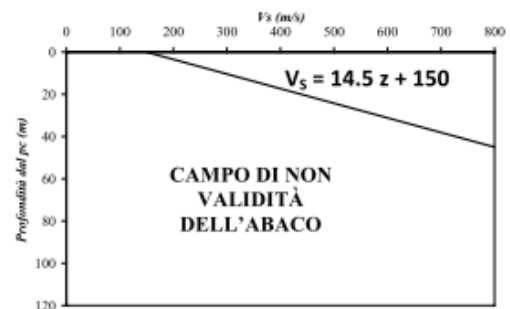


Tabella 2. Abaco per le ghiaie alluvionali, detritiche e sabbie di alterazione

Nello specifico facendo riferimento all'andamento della velocità  $V_s$  con la profondità  $z$  dello strato dal piano campagna, si ottiene un valore delle velocità  $V_s$  pari a:

$$V_s = 14.5 * z + 150 = 512 \text{ m/s}$$

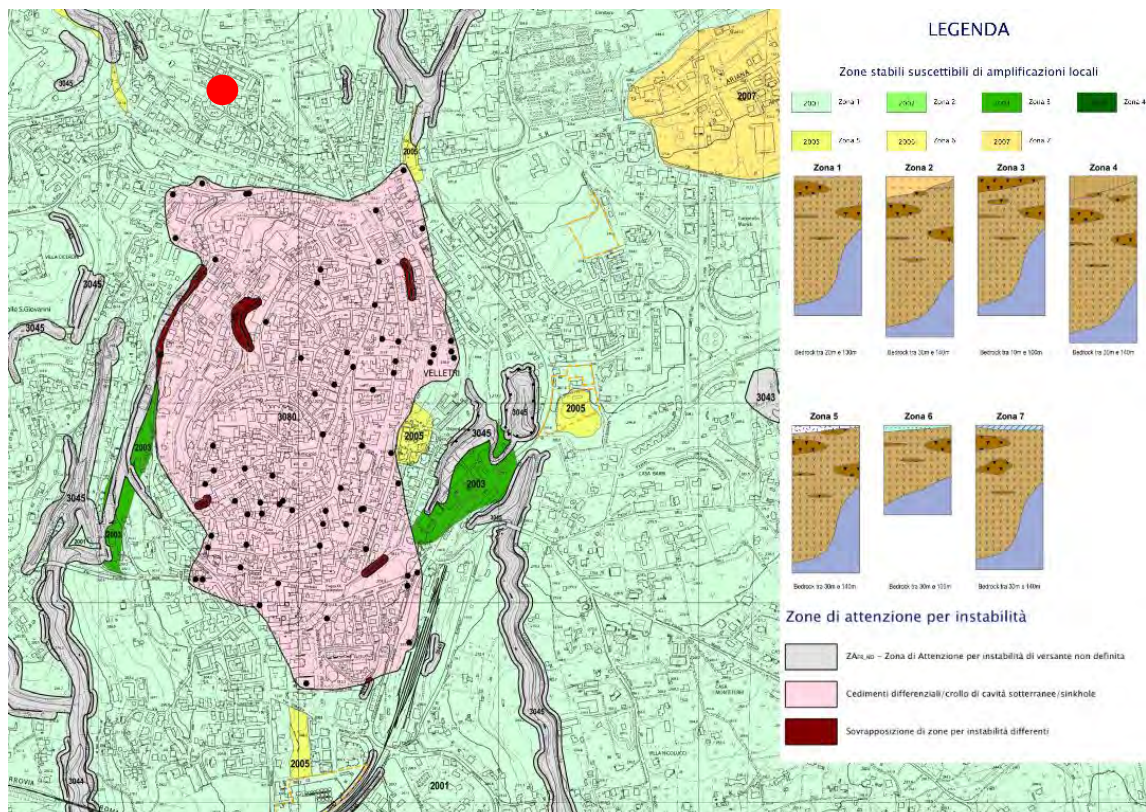


Figura 2. Zona omogenea in prospettiva sismica

In relazione alle formulazioni sopra riportate avendo ottenuto un valore delle Vs pari a 512 m/s ed entrando nella tabella 3 sotto riportata si ottiene una categoria di sottosuolo B “*Depositi di terreni a grana grossa molto addensati o terreni a grana fina molto consistenti*”.

Per le condizioni topografiche che nel caso specifico si configurano in superficiali semplici si può adottare la classificazione riportata nella tabella 4 e nello specifico si ricade nella categoria T1.

Categoria	Descrizione
A	Ammassi rocciosi affioranti o terreni molto rigidi caratterizzati da valori di velocità delle onde di taglio superiori a 800 m/s, eventualmente comprendenti in superficie terreni di caratteristiche meccaniche più scadenti con spessore massimo pari a 3 m.
B	Rocce tenere e depositi di terreni a grana grossa molto addensati o terreni a grana fina molto consistenti, caratterizzati da un miglioramento delle proprietà meccaniche con la profondità e da valori di velocità equivalente compresi tra 360 m/s e 800 m/s.
C	Depositi di terreni a grana grossa mediamente addensati o terreni a grana fina mediamente consistenti con profondità del substrato superiori a 30 m, caratterizzati da un miglioramento delle proprietà meccaniche con la profondità e da valori di velocità equivalente compresi tra 180 m/s e 360 m/s.
D	Depositi di terreni a grana grossa scarsamente addensati o di terreni a grana fina scarsamente consistenti, con profondità del substrato superiori a 30 m, caratterizzati da un miglioramento delle proprietà meccaniche con la profondità e da valori di velocità equivalente compresi tra 100 e 180 m/s.
E	Terreni con caratteristiche e valori di velocità equivalente riconducibili a quelle definite per le categorie C o D, con profondità del substrato non superiore a 30 m.

**Tabella 3.** Tab. 3.2.II – Categorie di sottosuolo che permettono l'utilizzo dell'approccio semplificato

Categoria	Caratteristiche della superficie topografica
T1	Superficie pianeggiante, pendii e rilievi isolati con inclinazione media $i \leq 15^\circ$
T2	Pendii con inclinazione media $i > 15^\circ$
T3	Rilievi con larghezza in cresta molto minore che alla base e inclinazione media $15^\circ \leq i \leq 30^\circ$
T4	Rilievi con larghezza in cresta molto minore che alla base e inclinazione media $i > 30^\circ$

**Tabella 4.** Tab. 3.2. III – Categorie topografiche

### 1.1.3. Analisi sismica

#### 1.1.3.1. Determinazione del fattore di comportamento q

Si riportano in dettaglio le caratteristiche principali della struttura in esame, utili per il calcolo del fattore di comportamento q e dell'azione sismica.

Classe d'uso	Vita nominale	Coeff. Uso	Duttilità	Regolarità in pianta	Regolarità in altezza	Tipologia strutturale
II	50	1	B	si	si	Muratura.

L'analisi strutturale per azioni sismiche utilizzata per la verifica è del tipo lineare (cap. 7.3.1 NTC 2018). Per sistemi non dissipativi (SLE), gli effetti delle azioni sono calcolati riferendosi ad uno spettro di progetto ottenuto assumendo un fattore di comportamento  $q=1$  per lo stato limite di operatività (SLO) (cap. 3.2.3.4 NTC 2018) e un fattore di comportamento  $q \leq 1.5$  per stato limite di danno (SLD) (cap. 3.2.3.5 NTC 2018). Per sistemi dissipativi (SLU), gli effetti delle azioni sono calcolati riferendosi ad uno spettro di progetto ottenuto assumendo un fattore di struttura  $q \geq 1.5$  (cap. 3.2.3.5 NTC 2018).

Il calcolo del fattore di comportamento per i sistemi dissipativi è stato eseguito seguendo quanto riportato al capitolo 7 delle NTC 2018 in funzione dei parametri generali della struttura in esame. Si riportano, in tabella, i valori del fattore di comportamento utili per la valutazione dell'azione sismica nelle tre direzioni:

$q_0$	$\alpha_u/\alpha_i$	$k_r$	$q_x$	$q_y$	$q_z$
$1,75^* \alpha_u/\alpha_i$	1,7	1	2.975	2.975	1.5

L'azione sismica viene definita in relazione ad un periodo di riferimento  $V_r$  che si ricava, per ciascun tipo di costruzione, moltiplicandone la vita nominale per il coefficiente d'uso. Fissato il periodo di riferimento  $V_r$  e la probabilità di superamento  $P_{ver}$  associata a ciascuno degli stati limite considerati, si ottiene il periodo di ritorno  $T_r$  e i relativi parametri di pericolosità sismica:

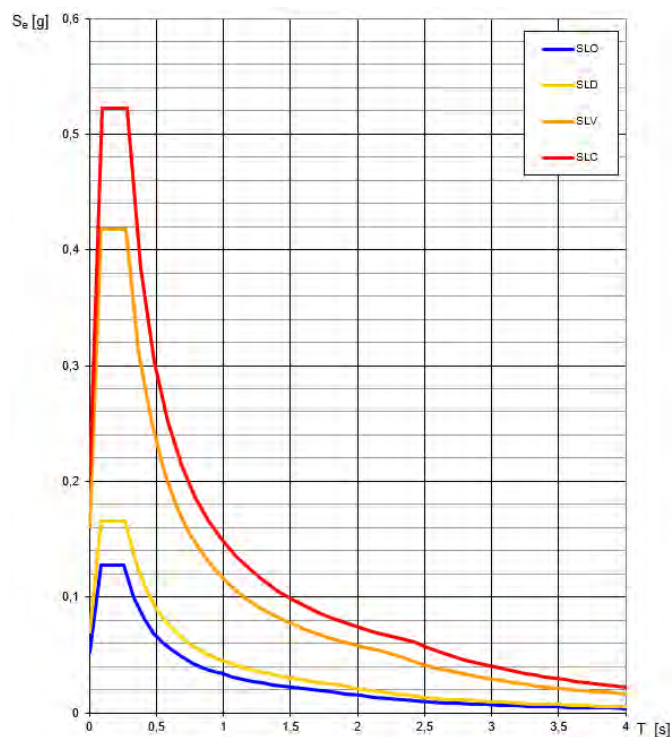
- $a_g$ : accelerazione orizzontale massima del terreno;
- $F_0$ : valore massimo del fattore di amplificazione dello spettro in accelerazione orizzontale;
- $T_c^*$ : periodo di inizio del tratto a velocità costante dello spettro in accelerazione orizzontale.

SLATO LIMITE	$T_R$ [anni]	$a_g$ [g]	$F_0$ [-]	$T_c^*$ [s]
SLO	30	0,052	2,453	0,260
SLD	50	0,069	2,391	0,269
SLV	475	0,161	2,595	0,277
SLC	975	0,206	2,540	0,283

**Tabella 5.** Valori di  $a_g$ ,  $F_0$  e  $T_c^*$  in funzione dei vari stati limite

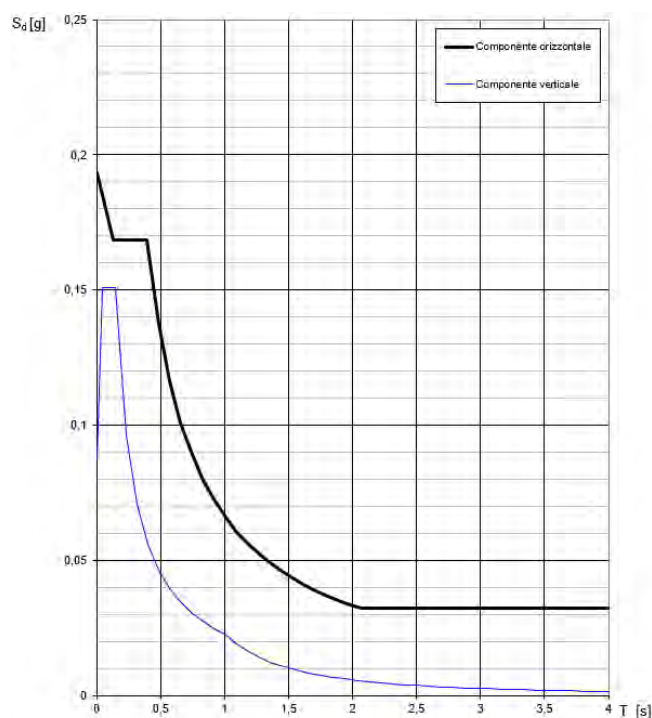


### 1.1.3.2. Spettri di risposta



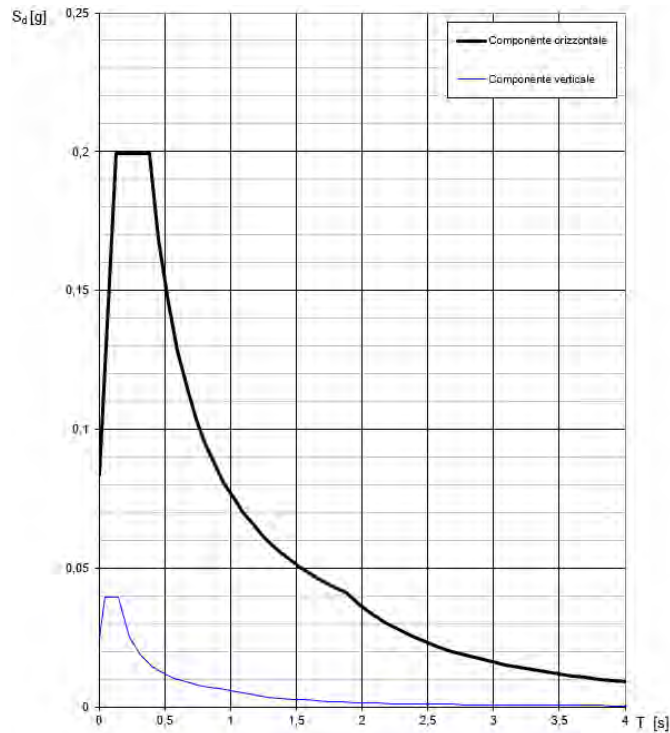
**Figura 3.** Spettri di risposta elastici per i diversi stati limite

Con l'utilizzo del fattore di comportamento e dei parametri sismici dipendenti dal tipo di struttura in esame, precedentemente calcolati, si sono determinati gli spettri di calcolo agli stati limite SLV e SLD. Nel caso di utilizzo di isolatori sismici si farà riferimento allo spettro ad SLV per la sovrastruttura e ad SLC per gli isolatori. Tali spettri saranno opportunamente scalati in funzione dello smorzamento e del periodo scelto.



**Figura 4.** Spettri di risposta (componenti orizz.\_vert.) per lo SLV





**Figura 5.** Spettri di risposta (componenti orizz.\_vert.) per lo SLD

#### 1.1.4. Carichi di progetto

##### 1.1.4.1. Carico della neve

Tale calcolo viene effettuato ai sensi di DM del 17 Gennaio 2018 "Norme tecniche per le costruzioni" e della Circolare Ministeriale Applicativa del 21 Gennaio 2019. Il carico neve sulle coperture è valutato con la seguente espressione:

$$q_s = \mu_i * q_{sk} * C_e *$$

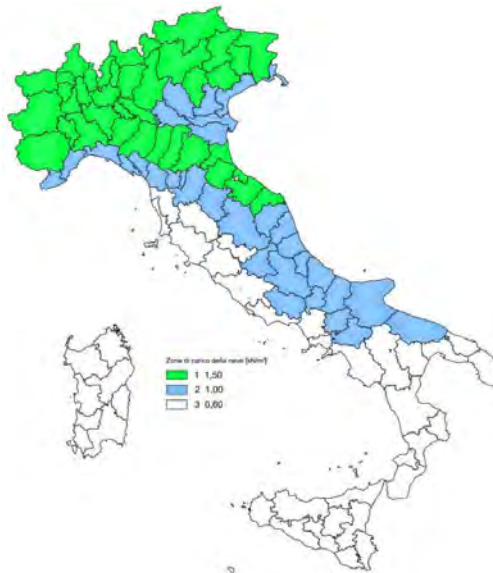
dove:

- $\mu_i$  è il coefficiente di forma della copertura;

Coefficiente di forma	$0^\circ \leq \alpha \leq 30^\circ$	$30^\circ < \alpha < 60^\circ$	$\alpha \geq 60^\circ$
$\mu_1$	0,8	$0,8 \cdot \frac{(60 - \alpha)}{30}$	0,0

**Tabella 6.** Tab. 3.4.II – Valori dei coefficienti di forma

- $q_{sk}$  è il valore di riferimento del carico neve al suolo e dipende dalla zona climatica e dall'altitudine di riferimento del sito  $a_s$ , se è maggiore o inferiore a 200 m;



**Figura 6.** Zone di carico della neve

- $C_e$  è il coefficiente di esposizione che viene utilizzato per modificare il carico neve in funzione delle caratteristiche dell'area in cui sorge l'opera;

Topografia	Descrizione	$C_e$
Battuta dai venti	Aree pianeggianti non ostruite esposte su tutti i lati, senza costruzioni o alberi più alti	0,9
Normale	Aree in cui non è presente una significativa rimozione di neve sulla costruzione prodotta dal vento, a causa del terreno, altre costruzioni o alberi	1,0
Riparata	Aree in cui la costruzione considerata è sensibilmente più bassa del circostante terreno o circondata da costruzioni o alberi più alti	1,1

**Tabella 7.** Tab. 3.4.I – Valori di  $C_z$  per diverse classi di esposizione

- $C_t$  è il coefficiente termico, generalmente assunto pari a 1;

Si assume che la neve non sia impedita di scivolare e si calcola il valore del carico neve in copertura:

Zona	$s_b$ (m)	$q_{sk}$ (daN/m <sup>2</sup> )	$\mu_i$	$C_e$	$C_t$	$q_s$ (daN/m <sup>2</sup> )
III	367	81	0,8	1	1	65

**Tabella 8.** Determinazione del carico da neve in copertura

#### 1.1.4.2. Carico del vento

La velocità base di riferimento del vento  $v_b$  è il valore medio su 10 minuti, a 10 m di altezza sul suolo su un terreno pianeggiante e omogeneo di categoria di esposizione II, riferito ad un periodo di ritorno  $T_r = 50$  anni, ed è pari a:

$$v_b = v_{b0} * C_a$$

dove:

- $v_{b0}$  è la velocità base di riferimento al livello del mare, assegnata nella Tab.3.3.I in funzione della zona in cui sorge la costruzione;

- $c_a$  è il coefficiente di altitudine fornito dalla relazione

$$c_a = 1 \quad \text{per } a_s \leq a_0$$

$$c_a = 1 + k_s * (a_s/a_0 - 1) \quad \text{per } a_0 < a_s \leq 1500 \text{ m}$$

dove:

- $a_0, k_s$  sono parametri forniti nella Tab.3.3.I in funzione della zona in cui sorge la costruzione;
- $a_s$  è l'altitudine sul livello del mare del sito ove sorge la costruzione.

Zona	Descrizione	$v_{b,0}$ [m/s]	$a_0$ [m]	$k_s$
1	Valle d'Aosta, Piemonte, Lombardia, Trentino Alto Adige, Veneto, Friuli Venezia Giulia (con l'eccezione della provincia di Trieste)	25	1000	0,40
2	Emilia Romagna	25	750	0,45
3	Toscana, Marche, Umbria, Lazio, Abruzzo, Molise, Puglia, Campania, Basilicata, Calabria (esclusa la provincia di Reggio Calabria)	27	500	0,37
4	Sicilia e provincia di Reggio Calabria	28	500	0,36
5	Sardegna (zona a oriente della retta congiungente Capo Teulada con l'Isola di Maddalena)	28	750	0,40
6	Sardegna (zona a occidente della retta congiungente Capo Teulada con l'Isola di Maddalena)	28	500	0,36
7	Liguria	28	1000	0,54
8	Provincia di Trieste	30	1500	0,50
9	Isole (con l'eccezione di Sicilia e Sardegna) e mare aperto	31	500	0,32



**Figura 7.** Valori dei parametri  $v_{b0}, a_0, k_s$

**Figura 8.** Mappa delle zone in cui è suddiviso il territorio italiano

La velocità di riferimento  $v_r$  è il valore medio su 10 minuti, a 10 m di altezza dal suolo su un terreno pianeggiante e omogeneo di categoria di esposizione II, riferito al periodo di ritorno di progetto  $T_r$ .

$$v_r = v_b * c_r$$

- $v_b$  è la velocità base di riferimento al livello del mare, assegnata
- $c_r$  è il coefficiente di ritorno, funzione del periodo di ritorno di progetto  $T_r$  fornito dalla relazione

$$c_r = 0.75 * \sqrt{1 - 0.2 * \ln[-\ln * (1 - 1/T_r)]}$$

Quindi:

$v_{b0}$ (m/s)	$a_s$	$c_a$	$v_b$	$T_r$	$c_r$	$v_r$ (m/s)
27	367	1	27	50	1,0007	27.02

La pressione del vento è data dall'espressione:

$$p = q_r * c_e * c_p * c_d$$

dove:

- $q_r$  è la pressione cinetica di riferimento data dall'espressione

$$q_r = \frac{1}{2} * \rho * v_r^2 \quad \text{in cui } \rho \text{ è la densità dell'aria pari a } 1.25 \text{ kg/m}^3$$

- $c_e$  è il coefficiente di esposizione che dipende dall'altezza  $z$  sul suolo del punto considerato, dalla topografia del terreno e dalla categoria di esposizione del sito ove sorge la costruzione. Per altezze sul suolo non maggiori di 200 m è dato dalla formula:

$$c_e(z) = k_r^2 * c_t * \ln(z/z_0) * [7 + c_t * \ln(z/z_0)] \quad \text{per } z \geq z_{min}$$

$$c_e(z) = c_e(z_{min}) \quad \text{per } z < z_{min}$$

dove:

- $k_r$ ,  $z_0$ ,  $z_{min}$  sono assegnati in Tab.3.3.II in funzione della categoria di esposizione del sito.
- $c_t$  è il coefficiente di topografia, posto generalmente uguale a 1.

Categoria di esposizione del sito	$K_r$	$z_0$ [m]	$z_{min}$ [m]
I	0,17	0,01	2
II	0,19	0,05	4
III	0,20	0,10	5
IV	0,22	0,30	8
V	0,23	0,70	12

**Tabella 9.** Parametri per la definizione del coefficiente di esposizione

Classe di rugosità del terreno	Descrizione
A	Aree urbane in cui almeno il 15% della superficie sia coperto da edifici la cui altezza media non superi i 15 m
B	Aree urbane (non di classe A), suburbane, industriali e boschive
C	Aree con ostacoli diffusi (alberi, case, muri, recinzioni...); aree con rugosità non riconducibile alle classi A, B, e D
D	a) Mare e relativa fascia costiera (entro 2 km dalla costa); b) Lago (con larghezza massima pari ad almeno 1 km) e relativa fascia costiera (entro 1 km dalla costa); c) Aree prive di ostacoli o con al più rari ostacoli isolati (aperta campagna, aeroporti, aree agricole, pascoli, zone paludose o sabbiose, superfici innevate o ghiacciate, ...)

**Tabella 10.** Classi di rugosità del terreno

ZONE 1,2,3,4,5						
	costa	mare	2 km	10 km	30 km	750m
A	--	IV	IV	V	V	V
B	--	III	III	IV	IV	IV
C	--	*	III	III	IV	IV
D	I	II	II	II	III	**
* Categoria II in zona 1,2,3,4 Categoria III in zona 5						
** Categoria III in zona 2,3,4,5 Categoria IV in zona 1						

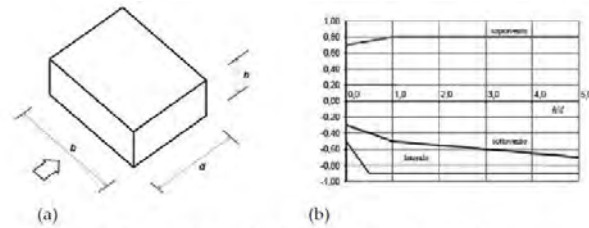
**Tabella 11.** Definizione delle categorie di esposizione

$q_r$	Rugosità	Esposizione	$c_e(z)$	$c_e(z_{min})$
456	B	III	1,995	1,708

**Tabella 12.** Definizione dei coefficienti di esposizione

- $c_p$  è il coefficiente di pressione e dipende dalla tipologia, dalla geometria della costruzione e dal suo orientamento rispetto alla direzione del vento. Il coefficiente globale  $c_{pe}$  che può essere

utilizzato in tutti i casi in cui la rappresentazione delle azioni aereodinamiche del vento possa essere effettuata in maniera semplificata, rivolta alla valutazione delle azioni globali su porzioni estese di costruzioni o delle risultanti delle azioni indotte dal vento sugli elementi principali della struttura. I coefficienti  $c_{pe}$  da assumere sulle pareti dell'edificio a pianta rettangolare sono diagrammati in base al rapporto  $h/d$ , avendo indicato con  $h$  l'altezza del manufatto e con  $d$  la profondità dell'edificio, valutata parallelamente al flusso di lavoro:



a) Parametri caratteristici di edifici a pianta rettangolare,  
b) Edifici a pianta rettangolare:  $c_{pe}$  per facce sopravvento, sottovento e laterali  
Figura C3.3.2

Tabella C3.3.I: Edifici a pianta rettangolare:  $c_{pe}$  per facce sopravvento, sottovento e laterali

Faccia sopravvento	$C_U = 2,0$	$C_U = 1,5$
$h/d \leq 1$ : $c_{pe} = 0,7 + 0,1 \cdot h/d$	$h/d \leq 0,5$ : $c_{pe} = -0,5 - 0,8 \cdot h/d$	$h/d \leq 1$ : $c_{pe} = -0,3 - 0,2 \cdot h/d$
$h/d > 1$ : $c_{pe} = 0,8$	$h/d > 0,5$ : $c_{pe} = -0,9$	$1 < h/d \leq 5$ : $c_{pe} = -0,5 - 0,05 \cdot (h/d - 1)$

Tabella 13. Coefficienti di pressione delle facciate secondo NTC2018

Quindi i coefficienti per le facce sopravvento e sottovento sono:

b	d	h	h/d	$C_{pe}$ -sopravento	$C_{pe}$ -sottovento
14.3	12.4	8	0.65	0.76	-0,43

Tabella 14. Definizione dei coefficienti di pressione

## COPERTURA PIANA

Per la copertura piana, l'altezza di riferimento  $z_e$  è pari alla quota massima della copertura stessa, inclusa la presenza dei parapetti e di altri analoghi elementi. I coefficienti globali  $c_{pe}$  da assumere sulle coperture di un edificio a pianta rettangolare sono riportati di seguito:

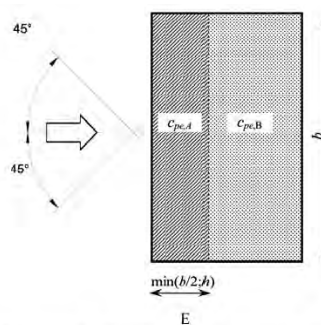


Figura C3.3.5 - Schema di riferimento per coperture piane

Tabella C3.3.III - Edifici rettangolari:  $c_{pe}$  per coperture piane.

Fascia sopravvento di profondità pari al minimo tra $b/2$ e $h$ :	$C_{pe,A} = -0,80$
Restanti zone	$C_{pe,B} = \pm 0,20$

Tabella 15. Definizione  $c_{pe}$  per coperture piano

Le pressioni interne agli edifici dipendono dalla superficie delle aperture che questi presentano verso l'esterno. Nel caso in esame si assumono valori del coefficiente di pressione interno pari a  $c_{pi} = +0,2$  e  $c_{pi} = -0,30$ , considerando il caso che di volta in volta conduce alla situazione maggiormente gravosa.

- $c_d$  è il coefficiente dinamico e può essere assunto cautelativamente pari a 1 nelle costruzioni di tipologia ricorrente quali gli edifici di forma regolare non eccedenti 80 m in altezza e capannoni industriali.

In funzione dei coefficienti analizzati e della pressione cinetica di riferimento, si calcola la pressione del vento per la copertura e per le facciate sopravento e sottovento considerando i valori massimi e minimi.

<b>Facciata</b>	<b>Sopravento</b>	<b>Sottovento</b>
$p_{min}$ (daN/m <sup>2</sup> )	440	-568
$p_{max}$ (daN/m <sup>2</sup> )	514	-664
<b>Copertura</b>	<b>Sopravento</b>	<b>Sottovento</b>
$p$ (daN/m <sup>2</sup> )	-1001	-455

### **1.1.5. Interventi per il miglioramento sismico – edifici in muratura**

Gli interventi previsti per la riduzione del rischio sismico si dividono in:

- interventi che possono consentire il miglioramento di almeno due Classi di Rischio o l'adeguamento sismico.

La tipologia di interventi considerati riguarda l'utilizzo di:

- cappotto sismico applicato alle pareti esterne dell'edificio.

Questa tipologia di interventi, viene presa in considerazione nel caso in cui le lavorazioni vengono eseguite senza dover in alcun modo evacuare gli inquilini dell'edificio, e quando la struttura risulta regolare in pianta e in altezza. Per gli edifici in cemento armato, nel caso di struttura a telai in entrambe le direzioni, è prevista la possibilità di ritenere valido il passaggio di più Classi di Rischio con la possibilità di raggiungere l'adeguamento sismico a seconda della tipologia di struttura.

#### **1.1.5.1. Sintesi degli interventi previsti**

##### **CAPPOTTO SISMICO**

Il cappotto sismico viene applicato sulle facciate esterne dell'edificio al fine di realizzare una nuova "pelle" sismo-resistente. E' costituito da una lastra sottile in calcestruzzo armato gettato in opera all'interno di due strati di materiale isolante, preinseriti in una maglia tridimensionale in acciaio zincato. La lastra in calcestruzzo può avere spessori variabili in base alla tipologia di intervento e nel caso in esame si ipotizza uno spessore di circa 8-10 cm; a livello delle travi esterne di piano si realizza un nuovo cordolo dello spessore della lastra più la larghezza dello strato di isolante addossato alla parete di circa 4 cm.

Il getto e l'armatura di rinforzo vengono resi solidali alla struttura esistente mediante, sia l'inserimento di connettori disposti a livello dei cordoli di piano e, se necessario, sui pilastri, sia disponendo opportuni ancoraggi sulla fondazione esistente o su una nuova fondazione addossata a quella esistente

La maglia tridimensionale in acciaio zincato consente di semplificare le operazioni di posa in opera delle armature strutturali, di minimizzare gli sfridi di cantiere e di realizzare uno strato di finitura ad intonaco particolarmente solida che garantisce la massima protezione del materiale isolante da urti accidentali ed agenti atmosferici.

Le norme NTC18 trattano le pareti in calcestruzzo soltanto per quanto riguarda le prescrizioni da seguire per strutture a comportamento dissipativo. Le lastre in calcestruzzo vengono invece dimensionate per garantire un comportamento elastico e non dissipativo nei confronti dell'azione sismica di progetto, rientrando nella tipologia di "strutture non dissipative". Per questo motivo le verifiche in resistenza degli elementi in calcestruzzo vengono effettuate seguendo l'approccio fornito dalla norma per gli elementi strutturali a comportamento non dissipativo, contenute nel

capitolo 4 delle NTC18 mentre le prescrizioni contenute nel capitolo 7 non risultano vincolanti per il dimensionamento delle pareti.

Per quanto riguarda le connessioni tra edificio esistente e cappotto sismico, la valutazione analitica della resistenza degli ancoraggi metallici per calcestruzzo può essere effettuata secondo le linee guida definite dal documento ETAG001-1997: "Linee guida per il benessere tecnico europeo di ancoraggi metallici da utilizzare nel calcestruzzo" e dai relativi allegati.

#### **1.1.6. Conclusioni**

Per quanto concerne gli aspetti prettamente strutturali, l'intervento di miglioramento sismico adottato per la tipologia oggetto della presente relazione, prevede l'utilizzo di un cappotto sismico, un sistema integrato di rafforzamento strutturale e miglioramento del benessere termoigrometrico dell'edificio. Questo intervento, oltre a non interrompere il normale esercizio della struttura permette la riduzione delle tempistiche del cantiere, in quanto i moduli da applicare sulle pareti esterne, risultano prefabbricati e sono comprensivi delle varie forometrie; in cantiere, l'attività sarà quella di prevedere il collegamento con la struttura esistente e la realizzazione del getto all'interno del cassero e, se necessario, il getto armato della nuova porzione di fondazione.

Gli interventi strutturali previsti sono mirati al miglioramento sismico attraverso l'incremento di almeno due Classi di Rischio o l'adeguamento sismico, da valutare nel dettaglio nelle fasi progettuali successive. Con ciò si intende il miglioramento del rischio della costruzione con incidenza sul valore PAM e sulla capacità che la struttura possiede rispetto allo stato limite della salvaguardia sulla vita. Tale valore è stato valutato come rapporto tra PGAA (SLV) anteoperam e la PGAp (SLV) postoperam, determinata attraverso il metodo convenzionale nel rispetto della normativa vigente (NTC 2018) e della circolare ministeriale applicativa del 21 gennaio 2019.



## **1.2. Tipologia VE02**

### **1.2.1. Individuazione dei siti in esame**

Di seguito si riporta una tabella che riassume i parametri generali del sito in esame, con gli identificativi e le coordinate dei punti che includono gli edifici.

Provincia	Comune	Tipologia	Via	Latitudine	Longitudine
Roma	Velletri	VE02	Via Carlo Angeloni 19-29	41.4141°	12.4631°

**Tabella 16.** Parametri generali del sito in esame



**Figura 9.** Individuazione del sito in esame (immagine da google earth)

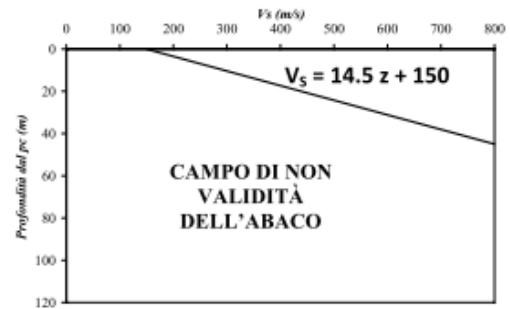
### **1.2.2. Determinazione della categoria di sottosuolo**

Per la determinazione della categoria di sottosuolo, in assenza di indagini geologiche specifiche per ogni intervento da realizzare, è possibile stimare in via preliminare e con le approssimazioni del caso, la velocità delle onde VS facendo specifico riferimento agli abachi regionali di microzonazione sismica ai sensi della DGR Lazio n. 545 del 26 novembre 2010, forniti sul portale della Regione Lazio. Nello specifico andando ad individuare la carta delle microzone omogenee in prospettiva sismica per il comune di interesse, è possibile risalire alla tipologia del sottosuolo e relativo spessore. Dalla carta riportata in figura 2, si evidenzia che il sito oggetto del presente studio ricade all'interno delle zone stabili suscettibili di amplificazione sismica (Zona 1) che sono caratterizzate dalla presenza depositi piroclastici. In funzione di questo, entrando in via approssimativa nell'abaco ( $V_s/h$ ) riportato in figura 2, relativo alle ghiaie alluvionali, detritiche e sabbie di alterazione, si

determina il valore di  $V_s$  che viene utilizzato per la stima approssimata della categoria di sottosuolo entrando nella tabella 3.2.II del D.M. 17 Gennaio 2018.

<b>GHIAIE ALLUVIONALI</b> <b>GHIAIE DETRITICHE</b> <b>SABBIE DI ALTERAZIONE DA ARENARIE</b> <b>SABBIE DI ALTERAZIONE DA TRAVERTINI</b> <b>SABBIE DI ALTERAZIONI DA TUFI VULCANICI</b>									
<b>FH<sub>0,1-0,5</sub></b>	<b>Velocità media <math>V_{SH}</math> (m/s)</b>								
	<b>180</b>	<b>250</b>	<b>300</b>	<b>360</b>	<b>400</b>	<b>450</b>	<b>500</b>	<b>600</b>	<b>700</b>
<b>5</b>	1.3	1.2	1.1	1.1	1.1	1.1	1.0	1.0	1.0
<b>10</b>			1.4	1.4	1.2	1.2	1.1	1.1	1.0
<b>15</b>			1.6	1.5	1.3	1.3	1.2	1.1	1.1
<b>20</b>			1.7	1.6	1.4	1.3	1.2	1.1	1.1
<b>25</b>			1.6	1.5	1.5	1.4	1.3	1.2	1.1
<b>30</b>			1.5	1.5	1.5	1.4	1.3	1.2	1.1
<b>35</b>				1.4	1.4	1.3	1.3	1.2	1.1
<b>40</b>					1.4	1.3	1.3	1.2	1.1
<b>45</b>						1.3	1.2	1.2	1.1

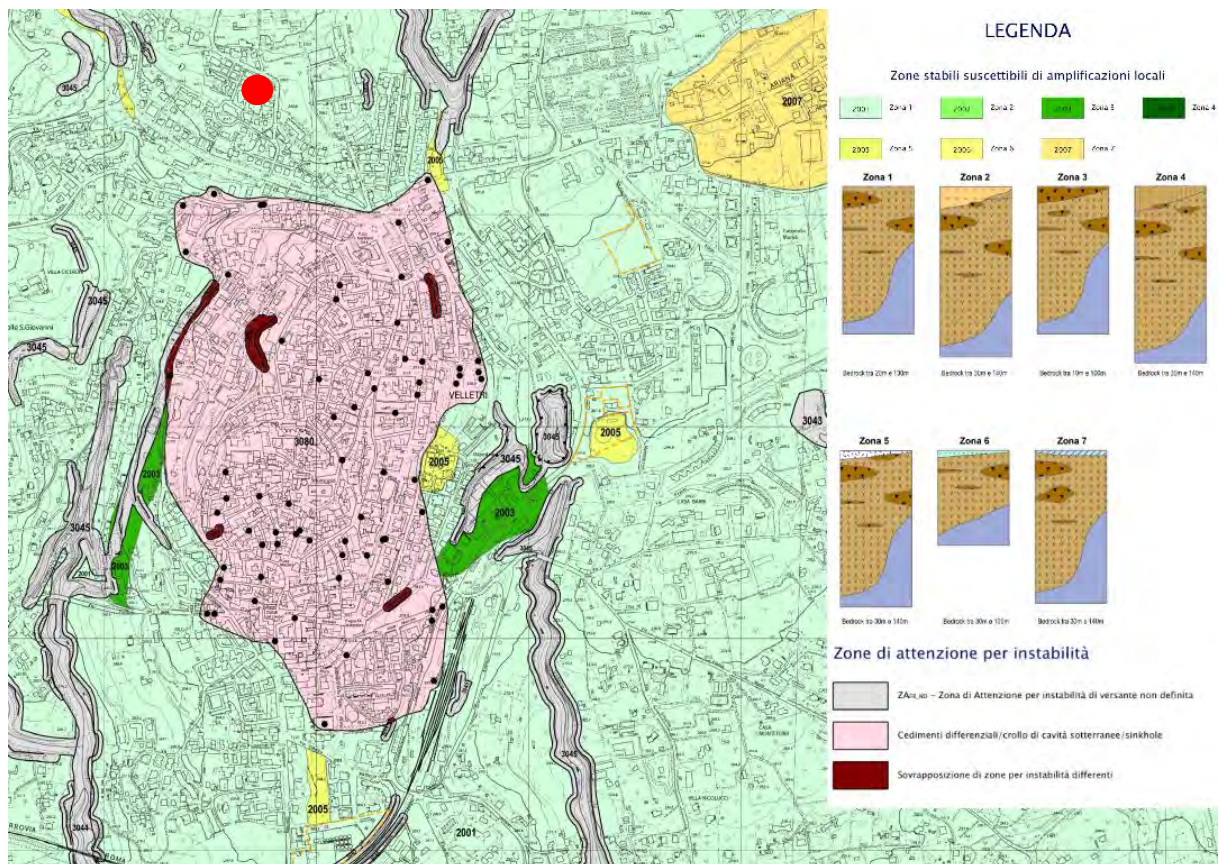
**GRADIENTE DI VELOCITA' PER VALIDITA' ABACO**



**Tabella 17.** Abaco per le ghiaie alluvionali, detritiche e sabbie di alterazione

Nello specifico facendo riferimento all'andamento della velocità  $V_s$  con la profondità  $z$  dello strato dal piano campagna, si ottiene un valore delle velocità  $V_s$  pari a:

$$V_s = 14.5 * z + 150 = 512 \text{ m/s}$$



**Figura 10.** Zona omogenea in prospettiva sismica



In relazione alle formulazioni sopra riportate avendo ottenuto un valore delle Vs pari a 512 m/s ed entrando nella tabella 3 sotto riportata si ottiene una categoria di sottosuolo B “*Depositi di terreni a grana grossa molto addensati o terreni a grana fina molto consistenti*”.

Per le condizioni topografiche che nel caso specifico si configurano in superficiali semplici si può adottare la classificazione riportata nella tabella 4 e nello specifico si ricade nella categoria T1.

Categoria	Descrizione
A	Ammassi rocciosi affioranti o terreni molto rigidi caratterizzati da valori di velocità delle onde di taglio superiori a 800 m/s, eventualmente comprendenti in superficie terreni di caratteristiche meccaniche più scadenti con spessore massimo pari a 3 m.
B	Rocce tenere e depositi di terreni a grana grossa molto addensati o terreni a grana fina molto consistenti, caratterizzati da un miglioramento delle proprietà meccaniche con la profondità e da valori di velocità equivalente compresi tra 360 m/s e 800 m/s.
C	Depositi di terreni a grana grossa mediamente addensati o terreni a grana fina mediamente consistenti con profondità del substrato superiori a 30 m, caratterizzati da un miglioramento delle proprietà meccaniche con la profondità e da valori di velocità equivalente compresi tra 180 m/s e 360 m/s.
D	Depositi di terreni a grana grossa scarsamente addensati o di terreni a grana fina scarsamente consistenti, con profondità del substrato superiori a 30 m, caratterizzati da un miglioramento delle proprietà meccaniche con la profondità e da valori di velocità equivalente compresi tra 100 e 180 m/s.
E	Terreni con caratteristiche e valori di velocità equivalente riconducibili a quelle definite per le categorie C o D, con profondità del substrato non superiore a 30 m.

**Tabella 18.** Tab. 3.2.II – Categorie di sottosuolo che permettono l'utilizzo dell'approccio semplificato

Categoria	Caratteristiche della superficie topografica
T1	Superficie pianeggiante, pendii e rilievi isolati con inclinazione media $i \leq 15^\circ$
T2	Pendii con inclinazione media $i > 15^\circ$
T3	Rilievi con larghezza in cresta molto minore che alla base e inclinazione media $15^\circ \leq i \leq 30^\circ$
T4	Rilievi con larghezza in cresta molto minore che alla base e inclinazione media $i > 30^\circ$

**Tabella 19.** Tab. 3.2. III – Categorie topografiche

### 1.2.3. Analisi sismica

#### 1.2.3.1. Determinazione del fattore di comportamento q

Si riportano in dettaglio le caratteristiche principali della struttura in esame, utili per il calcolo del fattore di comportamento q e dell'azione sismica.

Classe d'uso	Vita nominale	Coeff. Uso	Duttilità	Regolarità in pianta	Regolarità in altezza	Tipologia strutturale
II	50	1	B	si	si	Muratura.

L'analisi strutturale per azioni sismiche utilizzata per la verifica è del tipo lineare (cap. 7.3.1 NTC 2018). Per sistemi non dissipativi (SLE), gli effetti delle azioni sono calcolati riferendosi ad uno spettro di progetto ottenuto assumendo un fattore di comportamento  $q=1$  per lo stato limite di operatività (SLO) (cap. 3.2.3.4 NTC 2018) e un fattore di comportamento  $q \leq 1.5$  per stato limite di danno (SLD) (cap. 3.2.3.5 NTC 2018). Per sistemi dissipativi (SLU), gli effetti delle azioni sono calcolati riferendosi ad uno spettro di progetto ottenuto assumendo un fattore di struttura  $q \geq 1.5$  (cap. 3.2.3.5 NTC 2018).

Il calcolo del fattore di comportamento per i sistemi dissipativi è stato eseguito seguendo quanto riportato al capitolo 7 delle NTC 2018 in funzione dei parametri generali della struttura in esame. Si riportano, in tabella, i valori del fattore di comportamento utili per la valutazione dell'azione sismica nelle tre direzioni:

$q_0$	$\alpha_u/\alpha_i$	$k_r$	$q_x$	$q_y$	$q_z$
$1,75^* \alpha_u/\alpha_i$	1,7	1	2.975	2.975	1.5

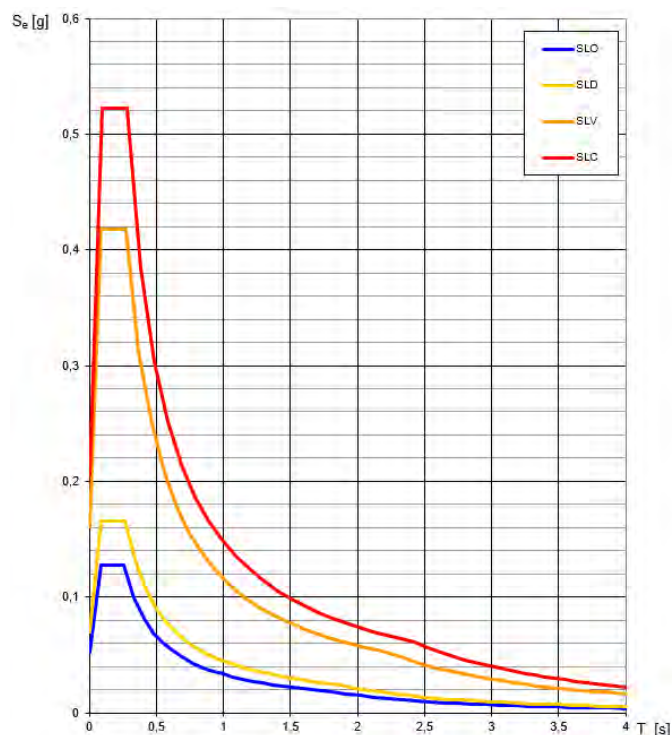
L'azione sismica viene definita in relazione ad un periodo di riferimento  $V_r$  che si ricava, per ciascun tipo di costruzione, moltiplicandone la vita nominale per il coefficiente d'uso. Fissato il periodo di riferimento  $V_r$  e la probabilità di superamento  $P_{ver}$  associata a ciascuno degli stati limite considerati, si ottiene il periodo di ritorno  $T_r$  e i relativi parametri di pericolosità sismica:

- $a_g$ : accelerazione orizzontale massima del terreno;
- $F_0$ : valore massimo del fattore di amplificazione dello spettro in accelerazione orizzontale;
- $T_c^*$ : periodo di inizio del tratto a velocità costante dello spettro in accelerazione orizzontale.

SLATO LIMITE	$T_R$ [anni]	$a_g$ [g]	$F_0$ [-]	$T_c^*$ [s]
SLO	30	0,052	2,453	0,260
SLD	50	0,069	2,391	0,269
SLV	475	0,161	2,595	0,277
SLC	975	0,206	2,540	0,283

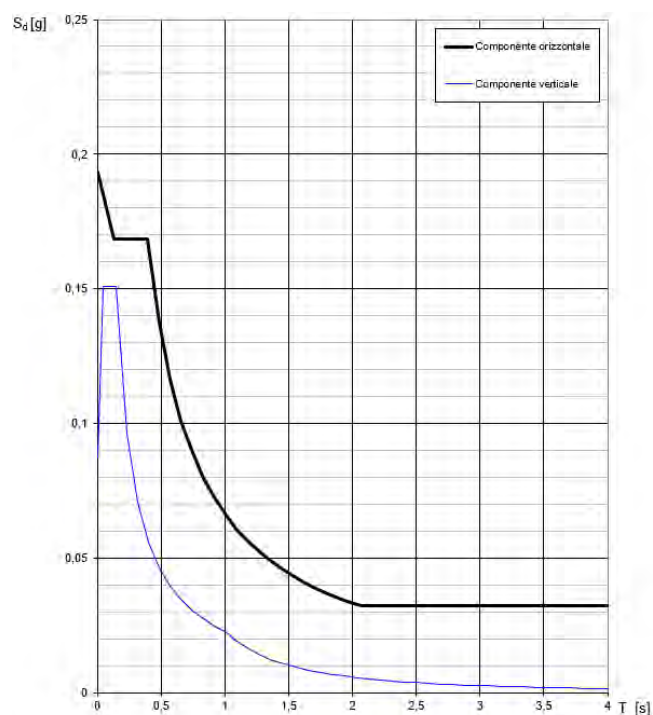
**Tabella 20.** Valori di  $a_g$ ,  $F_0$  e  $T_c^*$  in funzione dei vari stati limite

### 1.2.3.2. Spettri di risposta



**Figura 11.** Spettri di risposta elastici per i diversi stati limite

Con l'utilizzo del fattore di comportamento e dei parametri sismici dipendenti dal tipo di struttura in esame, precedentemente calcolati, si sono determinati gli spettri di calcolo agli stati limite SLV e SLD. Nel caso di utilizzo di isolatori sismici si farà riferimento allo spettro ad SLV per la sovrastruttura e ad SLC per gli isolatori. Tali spettri saranno opportunamente scalati in funzione dello smorzamento e del periodo scelto.



**Figura 12.** Spettri di risposta (componenti orizz.\_vert.) per lo SLV

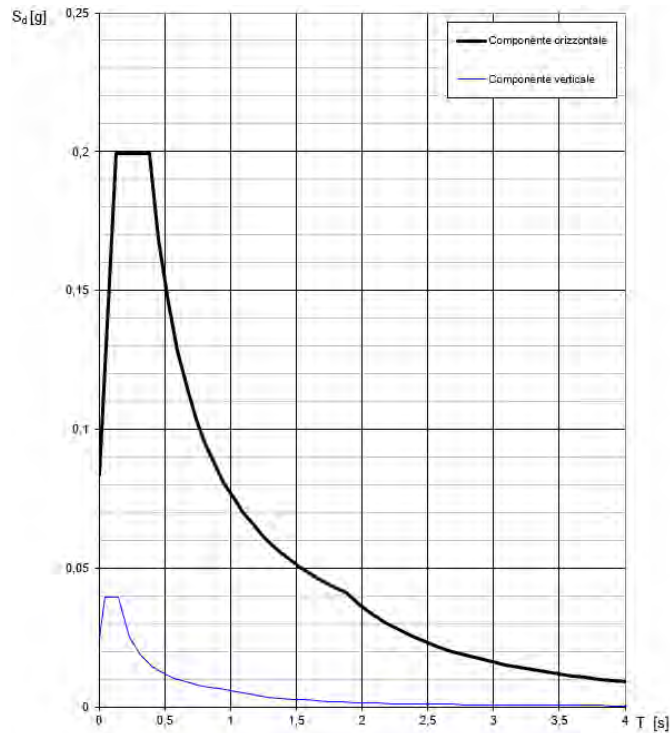


Figura 13. Spettri di risposta (componenti orizz.\_vert.) per lo SLD

#### 1.2.4. Carichi di progetto

##### 1.2.4.1. Carico della neve

Tale calcolo viene effettuato ai sensi di DM del 17 Gennaio 2018 "Norme tecniche per le costruzioni" e della Circolare Ministeriale Applicativa del 21 Gennaio 2019. Il carico neve sulle coperture è valutato con la seguente espressione:

$$q_s = \mu_i * q_{sk} * C_e *$$

dove:

- $\mu_i$  è il coefficiente di forma della copertura;

Coefficiente di forma	$0^\circ \leq \alpha \leq 30^\circ$	$30^\circ < \alpha < 60^\circ$	$\alpha \geq 60^\circ$
$\mu_1$	0,8	$0,8 \cdot \frac{(60 - \alpha)}{30}$	0,0

Tabella 21. Tab. 3.4.II – Valori dei coefficienti di forma

- $q_{sk}$  è il valore di riferimento del carico neve al suolo e dipende dalla zona climatica e dall'altitudine di riferimento del sito  $a_s$ , se è maggiore o inferiore a 200 m;



Figura 14. Zone di carico della neve

- $C_e$  è il coefficiente di esposizione che viene utilizzato per modificare il carico neve in funzione delle caratteristiche dell'area in cui sorge l'opera;

Topografia	Descrizione	$C_e$
Battuta dai venti	Aree pianeggianti non ostruite esposte su tutti i lati, senza costruzioni o alberi più alti	0,9
Normale	Aree in cui non è presente una significativa rimozione di neve sulla costruzione prodotta dal vento, a causa del terreno, altre costruzioni o alberi	1,0
Riparata	Aree in cui la costruzione considerata è sensibilmente più bassa del circostante terreno o circondata da costruzioni o alberi più alti	1,1

Tabella 22. Tab. 3.4.I – Valori di  $C_z$  per diverse classi di esposizione

- $C_t$  è il coefficiente termico, generalmente assunto pari a 1;

Si assume che la neve non sia impedita di scivolare e si calcola il valore del carico neve in copertura:

Zona	$s$ (m)	$q_{sk}$ (daN/m <sup>2</sup> )	$\mu_i$	$C_e$	$C_t$	$q_s$ (daN/m <sup>2</sup> )
III	367	81	0,8	1	1	65

Tabella 23. Determinazione del carico da neve in copertura

#### 1.2.4.2. Carico del vento

La velocità base di riferimento del vento  $v_b$  è il valore medio su 10 minuti, a 10 m di altezza sul suolo su un terreno pianeggiante e omogeneo di categoria di esposizione II, riferito ad un periodo di ritorno  $T_r = 50$  anni, ed è pari a:

$$v_b = v_{b0} * c_a$$

dove:

- $v_{b0}$  è la velocità base di riferimento al livello del mare, assegnata nella Tab.3.3.I in funzione della zona in cui sorge la costruzione;

- $c_a$  è il coefficiente di altitudine fornito dalla relazione

$$c_a = 1 \quad \text{per } a_s \leq a_0$$

$$c_a = 1 + k_s * (a_s/a_0 - 1) \quad \text{per } a_0 < a_s \leq 1500 \text{ m}$$

dove:

- $a_0, k_s$  sono parametri forniti nella Tab.3.3.I in funzione della zona in cui sorge la costruzione;
- $a_s$  è l'altitudine sul livello del mare del sito ove sorge la costruzione.

Zona	Descrizione	$v_{b,0}$ [m/s]	$a_0$ [m]	$k_s$
1	Valle d'Aosta, Piemonte, Lombardia, Trentino Alto Adige, Veneto, Friuli Venezia Giulia (con l'eccezione della provincia di Trieste)	25	1000	0,40
2	Emilia Romagna	25	750	0,45
3	Toscana, Marche, Umbria, Lazio, Abruzzo, Molise, Puglia, Campania, Basilicata, Calabria (esclusa la provincia di Reggio Calabria)	27	500	0,37
4	Sicilia e provincia di Reggio Calabria	28	500	0,36
5	Sardegna (zona a oriente della retta congiungente Capo Teulada con l'Isola di Maddalena)	28	750	0,40
6	Sardegna (zona a occidente della retta congiungente Capo Teulada con l'Isola di Maddalena)	28	500	0,36
7	Liguria	28	1000	0,54
8	Provincia di Trieste	30	1500	0,50
9	Isole (con l'eccezione di Sicilia e Sardegna) e mare aperto	31	500	0,32



**Figura 15.** Valori dei parametri  $v_{b0}, a_0, k_s$

**Figura 16.** Mappa delle zone in cui è suddiviso il territorio italiano

La velocità di riferimento  $v_r$  è il valore medio su 10 minuti, a 10 m di altezza dal suolo su un terreno pianeggiante e omogeneo di categoria di esposizione II, riferito al periodo di ritorno di progetto  $T_r$ .

$$v_r = v_b * c_r$$

- $v_b$  è la velocità base di riferimento al livello del mare, assegnata
- $c_r$  è il coefficiente di ritorno, funzione del periodo di ritorno di progetto  $T_r$  fornito dalla relazione

$$c_r = 0.75 * \sqrt{1 - 0.2 * \ln[-\ln * (1 - 1/T_r)]}$$

Quindi:

$v_{b0}$ (m/s)	$a_s$	$c_a$	$v_b$	$T_r$	$c_r$	$v_r$ (m/s)
27	367	1	27	50	1,0007	27.02

La pressione del vento è data dall'espressione:

$$p = q_r * c_e * c_p * c_d$$

dove:

- $q_r$  è la pressione cinetica di riferimento data dall'espressione

$$q_r = \frac{1}{2} * \rho * v_r^2 \quad \text{in cui } \rho \text{ è la densità dell'aria pari a } 1.25 \text{ kg/m}^3$$



- $c_e$  è il coefficiente di esposizione che dipende dall'altezza  $z$  sul suolo del punto considerato, dalla topografia del terreno e dalla categoria di esposizione del sito ove sorge la costruzione. Per altezze sul suolo non maggiori di 200 m è dato dalla formula:

$$c_e(z) = k_r^2 * c_t * \ln(z/z_0) * [7 + c_t * \ln(z/z_0)] \quad \text{per } z \geq z_{min}$$

$$c_e(z) = c_e(z_{min}) \quad \text{per } z < z_{min}$$

dove:

- $k_r$ ,  $z_0$ ,  $z_{min}$  sono assegnati in Tab.3.3.II in funzione della categoria di esposizione del sito.
- $c_t$  è il coefficiente di topografia, posto generalmente uguale a 1.

Categoria di esposizione del sito	$K_r$	$z_0$ [m]	$z_{min}$ [m]
I	0,17	0,01	2
II	0,19	0,05	4
III	0,20	0,10	5
IV	0,22	0,30	8
V	0,23	0,70	12

**Tabella 24.** Parametri per la definizione del coefficiente di esposizione

Classe di rugosità del terreno	Descrizione
A	Aree urbane in cui almeno il 15% della superficie sia coperto da edifici la cui altezza media non superi i 15 m
B	Aree urbane (non di classe A), suburbane, industriali e boschive
C	Aree con ostacoli diffusi (alberi, case, muri, recinzioni...); aree con rugosità non riconducibile alle classi A, B, e D
D	a) Mare e relativa fascia costiera (entro 2 km dalla costa); b) Lago (con larghezza massima pari ad almeno 1 km) e relativa fascia costiera (entro 1 km dalla costa); c) Aree prive di ostacoli o con al più rari ostacoli isolati (aperta campagna, aeroporti, aree agricole, pascoli, zone paludose o sabbiose, superfici innevate o ghiacciate, ...)

**Tabella 25.** Classi di rugosità del terreno

ZONE 1,2,3,4,5						
	costa	mare	2 km	10 km	30 km	750m
A	--	IV	IV	V	V	V
B	--	III	III	IV	IV	IV
C	--	*	III	III	IV	IV
D	I	II	II	II	III	**
* Categoria II in zona 1,2,3,4 Categoria III in zona 5						
** Categoria III in zona 2,3,4,5 Categoria IV in zona 1						

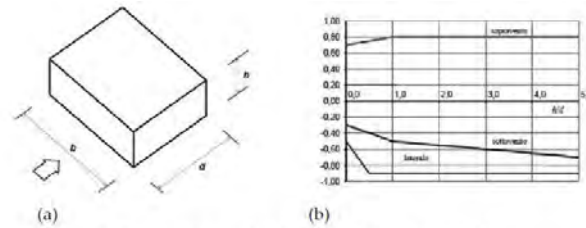
**Tabella 26.** Definizione delle categorie di esposizione

$q_r$	Rugosità	Esposizione	$c_e(z)$	$c_e(z_{min})$
456	B	III	2,118	1,708

**Tabella 27.** Definizione dei coefficienti di esposizione

- $c_p$  è il coefficiente di pressione e dipende dalla tipologia, dalla geometria della costruzione e dal suo orientamento rispetto alla direzione del vento. Il coefficiente globale  $c_{pe}$  che può essere

utilizzato in tutti i casi in cui la rappresentazione delle azioni aereodinamiche del vento possa essere effettuata in maniera semplificata, rivolta alla valutazione delle azioni globali su porzioni estese di costruzioni o delle risultanti delle azioni indotte dal vento sugli elementi principali della struttura. I coefficienti  $c_{pe}$  da assumere sulle pareti dell'edificio a pianta rettangolare sono diagrammati in base al rapporto  $h/d$ , avendo indicato con  $h$  l'altezza del manufatto e con  $d$  la profondità dell'edificio, valutata parallelamente al flusso di lavoro:



a) Parametri caratteristici di edifici a pianta rettangolare,  
b) Edifici a pianta rettangolare:  $c_{pe}$  per facce sopravvento, sottovento e laterali  
Figura C3.3.2

Tabella C3.3.I: Edifici a pianta rettangolare:  $c_{pe}$  per facce sopravvento, sottovento e laterali

Faccia sopravvento	$C_U = 2,0$	$C_U = 1,5$
$h/d \leq 1$ : $c_{pe} = 0,7 + 0,1 \cdot h/d$	$h/d \leq 0,5$ : $c_{pe} = -0,5 - 0,8 \cdot h/d$	$h/d \leq 1$ : $c_{pe} = -0,3 - 0,2 \cdot h/d$
$h/d > 1$ : $c_{pe} = 0,8$	$h/d > 0,5$ : $c_{pe} = -0,9$	$1 < h/d \leq 5$ : $c_{pe} = -0,5 - 0,05 \cdot (h/d - 1)$

Tabella 28. Coefficienti di pressione delle facciate secondo NTC2018

Quindi i coefficienti per le facce sopravvento e sottovento sono:

b	d	h	h/d	$C_{pe}$ -sopravento	$C_{pe}$ -sottovento
34	12	9,7	0,81	0,78	-0,46

Tabella 29. Definizione dei coefficienti di pressione

## COPERTURA A PADIGLIONE

Per la copertura a padiglione l'altezza di riferimento  $z_e$  è pari all'altezza massima della copertura stessa. Per i coefficienti globali sulle coperture a padiglione di un edificio a pianta rettangolare, per le falde sopravvento e sottovento, si assumono gli stessi coefficienti previsti per le coperture a doppia falda.

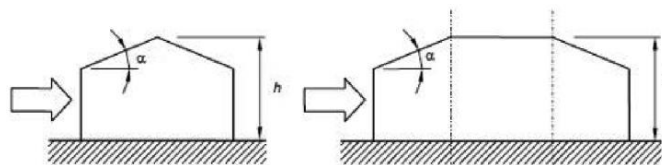


Figura C3.3.15 - Schema delle coperture a padiglione

Valori negativi		Valori positivi	
$\alpha \leq -60^\circ$	$c_{pe} = -0,5$	$0^\circ \leq \alpha \leq 45^\circ$	$c_{pe} = + \alpha/75$
$-60^\circ \leq \alpha \leq -15^\circ$	$c_{pe} = -0,5 - (\alpha + 60)/90$	$45^\circ \leq \alpha \leq 75^\circ$	$c_{pe} = +0,6 + (\alpha - 45)/150$
$-15^\circ \leq \alpha \leq 30^\circ$	$c_{pe} = -1,0 + (\alpha + 15)/75$		
$30^\circ \leq \alpha \leq 45^\circ$	$c_{pe} = -0,4 + (\alpha - 30)/37,5$		

Figura 17. Coperture a doppia falda, valori del  $c_{pe}$  con vento perpendicolare al colmo

Per le falde laterali, relative alle pareti parallele alla direzione del vento, si considerano i coefficienti riportati sotto:

$0^\circ \leq \alpha \leq 30^\circ$	$c_{pe} = -0,6 - \alpha/75$
$30^\circ \leq \alpha \leq 45^\circ$	$c_{pe} = -1,0$
$45^\circ \leq \alpha \leq 60^\circ$	$c_{pe} = -1,0 + (\alpha - 45)/37,5$
$60^\circ \leq \alpha$	$c_{pe} = -0,6$

**Tabella 30.** Coperture a padiglione, valori del  $c_{pe}$  con vento perpendicolare al colmo

Le pressioni interne agli edifici dipendono dalla superficie delle aperture che questi presentano verso l'esterno. Nel caso in esame si assumono valori del coefficiente di pressione interno pari a  $c_{pi} = +0,2$  e  $c_{pi} = -0,30$ , considerando il caso che di volta in volta conduce alla situazione maggiormente gravosa.

- $c_d$  è il coefficiente dinamico e può essere assunto cautelativamente pari a 1 nelle costruzioni di tipologia ricorrente quali gli edifici di forma regolare non eccedenti 80 m in altezza e capannoni industriali.

In funzione dei coefficienti analizzati e della pressione cinetica di riferimento, si calcola la pressione del vento per la copertura e per le facciate sopravento e sottovento considerando i valori massimi e minimi.

Facciata	Sopravento	Sottovento
$p_{min}$ (daN/m <sup>2</sup> )	453	-593
$p_{max}$ (daN/m <sup>2</sup> )	561	-736
Copertura	Sopravento	Sottovento
$p$ (daN/m <sup>2</sup> )	-677	-677

Nel caso di copertura a padiglione è necessario considerare il vento in pressione sulle falde laterali e risulta pari a -966 daN/m<sup>2</sup>.

### **1.2.5. Interventi per il miglioramento sismico – edifici in muratura**

Gli interventi previsti per la riduzione del rischio sismico si dividono in:

- interventi che possono consentire il miglioramento di almeno due Classi di Rischio o l'adeguamento sismico.

La tipologia di interventi considerati riguarda l'utilizzo di:

- cappotto sismico applicato alle pareti esterne dell'edificio.

Questa tipologia di interventi, viene presa in considerazione nel caso in cui le lavorazioni vengono eseguite senza dover in alcun modo evacuare gli inquilini dell'edificio, e quando la struttura risulta regolare in pianta e in altezza. Per gli edifici in cemento armato, nel caso di struttura a telai in entrambe le direzioni, è prevista la possibilità di ritenere valido il passaggio di più Classi di Rischio con la possibilità di raggiungere l'adeguamento sismico a seconda della tipologia di struttura.

#### **1.2.5.1. Sintesi degli interventi previsti**

##### **CAPPOTTO SISMICO**

Il cappotto sismico viene applicato sulle facciate esterne dell'edificio al fine di realizzare una nuova "pelle" sismo-resistente. E' costituito da una lastra sottile in calcestruzzo armato gettato in opera all'interno di due strati di materiale isolante, preinseriti in una maglia tridimensionale in acciaio zincato. La lastra in calcestruzzo può avere spessori variabili in base alla tipologia di intervento e nel caso in esame si ipotizza uno spessore di circa 8-10 cm; a livello delle travi esterne di piano si realizza un nuovo cordolo dello spessore della lastra più la larghezza dello strato di isolante addossato alla parete di circa 4 cm.

Il getto e l'armatura di rinforzo vengono resi solidali alla struttura esistente mediante, sia l'inserimento di connettori disposti a livello dei cordoli di piano e, se necessario, sui pilastri, sia disponendo opportuni ancoraggi sulla fondazione esistente o su una nuova fondazione addossata a quella esistente

La maglia tridimensionale in acciaio zincato consente di semplificare le operazioni di posa in opera delle armature strutturali, di minimizzare gli sfridi di cantiere e di realizzare uno strato di finitura ad intonaco particolarmente solida che garantisce la massima protezione del materiale isolante da urti accidentali ed agenti atmosferici.

Le norme NTC18 trattano le pareti in calcestruzzo soltanto per quanto riguarda le prescrizioni da seguire per strutture a comportamento dissipativo. Le lastre in calcestruzzo vengono invece dimensionate per garantire un comportamento elastico e non dissipativo nei confronti dell'azione sismica di progetto, rientrando nella tipologia di "strutture non dissipative". Per questo motivo le verifiche in resistenza degli elementi in calcestruzzo vengono effettuate seguendo l'approccio fornito dalla norma per gli elementi strutturali a comportamento non dissipativo, contenute nel

capitolo 4 delle NTC18 mentre le prescrizioni contenute nel capitolo 7 non risultano vincolanti per il dimensionamento delle pareti.

Per quanto riguarda le connessioni tra edificio esistente e cappotto sismico, la valutazione analitica della resistenza degli ancoraggi metallici per calcestruzzo può essere effettuata secondo le linee guida definite dal documento ETAG001-1997: "Linee guida per il benessere tecnico europeo di ancoraggi metallici da utilizzare nel calcestruzzo" e dai relativi allegati.

#### **1.2.6. Conclusioni**

Per quanto concerne gli aspetti prettamente strutturali, l'intervento di miglioramento sismico adottato per la tipologia oggetto della presente relazione, prevede l'utilizzo di un cappotto sismico, un sistema integrato di rafforzamento strutturale e miglioramento del benessere termoigrometrico dell'edificio. Questo intervento, oltre a non interrompere il normale esercizio della struttura permette la riduzione delle tempistiche del cantiere, in quanto i moduli da applicare sulle pareti esterne, risultano prefabbricati e sono comprensivi delle varie forometrie; in cantiere, l'attività sarà quella di prevedere il collegamento con la struttura esistente e la realizzazione del getto all'interno del cassero e, se necessario, il getto armato della nuova porzione di fondazione.

Gli interventi strutturali previsti sono mirati al miglioramento sismico attraverso l'incremento di almeno due Classi di Rischio o l'adeguamento sismico, da valutare nel dettaglio nelle fasi progettuali successive. Con ciò si intende il miglioramento del rischio della costruzione con incidenza sul valore PAM e sulla capacità che la struttura possiede rispetto allo stato limite della salvaguardia sulla vita. Tale valore è stato valutato come rapporto tra PGAA (SLV) anteoperam e la PGAp (SLV) postoperam, determinata attraverso il metodo convenzionale nel rispetto della normativa vigente (NTC 2018) e della circolare ministeriale applicativa del 21 gennaio 2019.

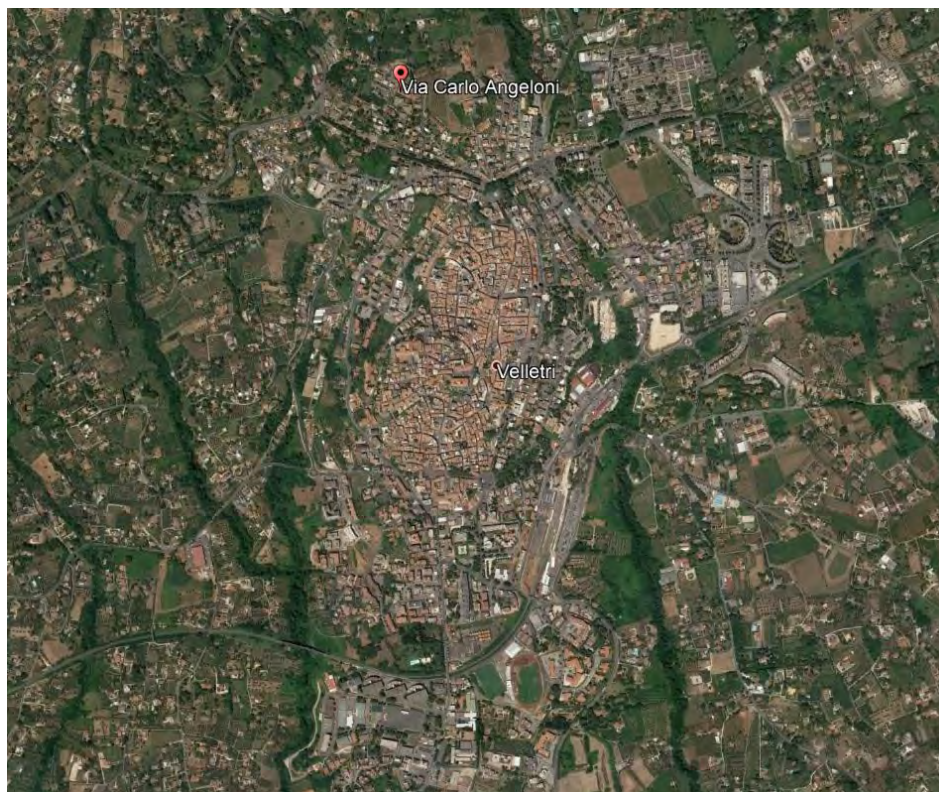
### 1.3. Tipologia VE03

#### 1.3.1. Individuazione dei siti in esame

Di seguito si riporta una tabella che riassume i parametri generali del sito in esame, con gli identificativi e le coordinate dei punti che includono gli edifici.

Provincia	Comune	Tipologia	Via	Latitudine	Longitudine
Roma	Velletri	VE03	Via Carlo Angeloni 23-25-27	41.4141°	12.4631°

**Tabella 31.** Parametri generali del sito in esame



**Figura 18.** Individuazione del sito in esame (immagine da google earth)

#### 1.3.2. Determinazione della categoria di sottosuolo

Per la determinazione della categoria di sottosuolo, in assenza di indagini geologiche specifiche per ogni intervento da realizzare, è possibile stimare in via preliminare e con le approssimazioni del caso, la velocità delle onde VS facendo specifico riferimento agli abachi regionali di microzonazione sismica ai sensi della DGR Lazio n. 545 del 26 novembre 2010, forniti sul portale della Regione Lazio. Nello specifico andando ad individuare la carta delle microzone omogenee in prospettiva sismica per il comune di interesse, è possibile risalire alla tipologia del sottosuolo e relativo spessore. Dalla carta riportata in figura 2, si evidenzia che il sito oggetto del presente studio ricade all'interno delle zone stabili suscettibili di amplificazione sismica (Zona 1) che sono caratterizzate dalla presenza depositi piroclastici. In funzione di questo, entrando in via approssimativa nell'abaco ( $V_s/h$ ) riportato in figura 2, relativo alle ghiaie alluvionali, detritiche e sabbie di alterazione, si



determina il valore di  $V_s$  che viene utilizzato per la stima approssimata della categoria di sottosuolo entrando nella tabella 3.2.II del D.M. 17 Gennaio 2018.

<b>GHIAIE ALLUVIONALI</b> <b>GHIAIE DETRITICHE</b> <b>SABBIE DI ALTERAZIONE DA ARENARIE</b> <b>SABBIE DI ALTERAZIONE DA TRAVERTINI</b> <b>SABBIE DI ALTERAZIONI DA TUFI VULCANICI</b>										
FH <sub>0,1-0,5</sub>	Velocità media $V_{SH}$ (m/s)									
	180	250	300	360	400	450	500	600	700	
5	1.3	1.2	1.1	1.1	1.1	1.1	1.0	1.0	1.0	
10			1.4	1.4	1.2	1.2	1.1	1.1	1.0	
15			1.6	1.5	1.3	1.3	1.2	1.1	1.1	
20			1.7	1.6	1.4	1.3	1.2	1.1	1.1	
25			1.6	1.5	1.5	1.4	1.3	1.2	1.1	
30			1.5	1.5	1.5	1.4	1.3	1.2	1.1	
35				1.4	1.4	1.3	1.3	1.2	1.1	
40					1.4	1.3	1.3	1.2	1.1	
45						1.3	1.2	1.2	1.1	

GRADIENTE DI VELOCITA' PER VALIDITA' ABACO

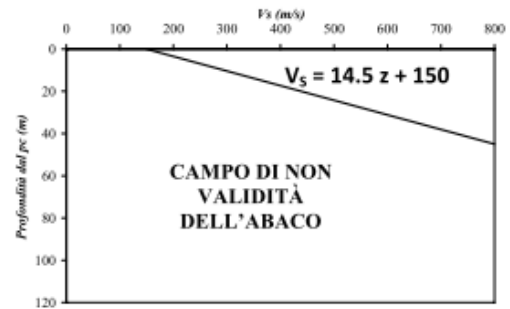


Tabella 32. Abaco per le ghiaie alluvionali, detritiche e sabbie di alterazione

Nello specifico facendo riferimento all'andamento della velocità  $V_s$  con la profondità  $z$  dello strato dal piano campagna, si ottiene un valore delle velocità  $V_s$  pari a:

$$V_s = 14.5 * z + 150 = 512 \text{ m/s}$$

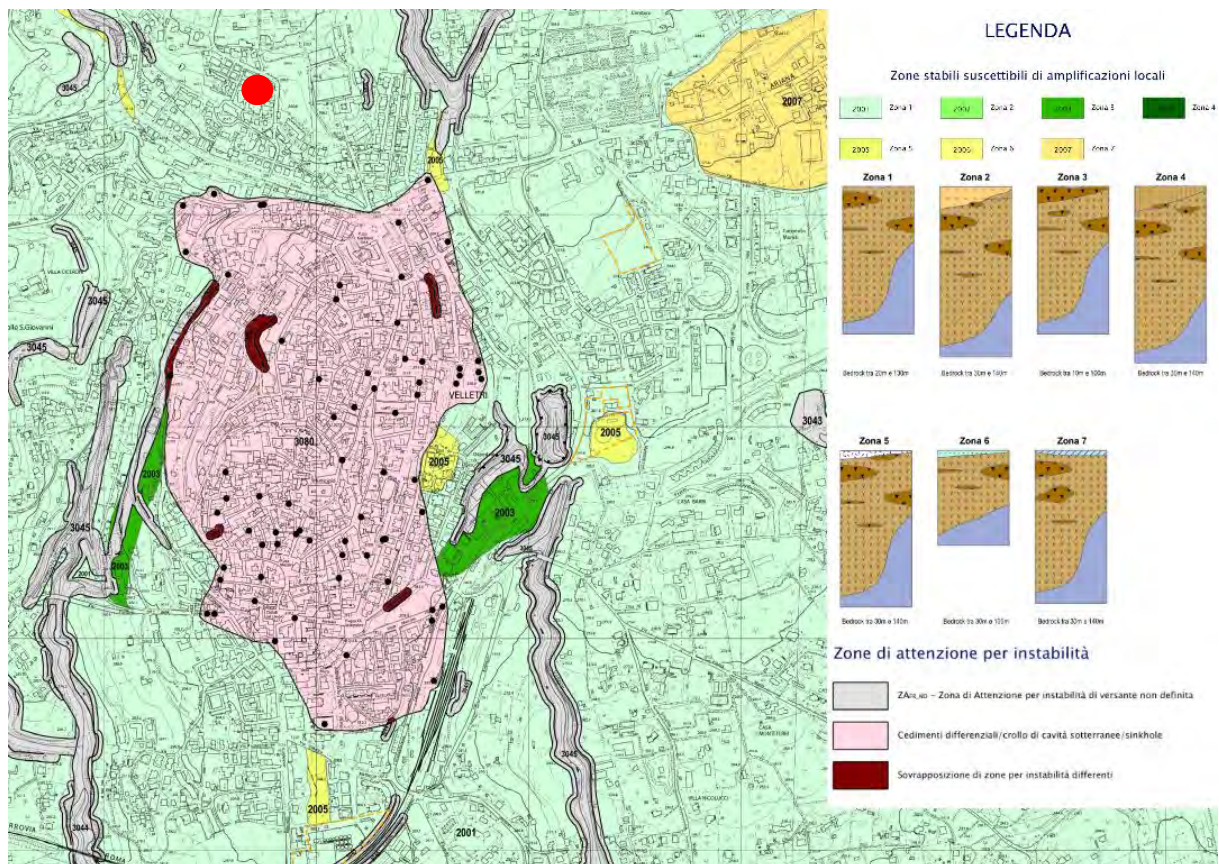


Figura 19. Zona omogenea in prospettiva sismica

In relazione alle formulazioni sopra riportate avendo ottenuto un valore delle Vs pari a 512 m/s ed entrando nella tabella 3 sotto riportata si ottiene una categoria di sottosuolo B “*Depositi di terreni a grana grossa molto addensati o terreni a grana fina molto consistenti*”.

Per le condizioni topografiche che nel caso specifico si configurano in superficiali semplici si può adottare la classificazione riportata nella tabella 4 e nello specifico si ricade nella categoria T1.

Categoria	Descrizione
A	Ammassi rocciosi affioranti o terreni molto rigidi caratterizzati da valori di velocità delle onde di taglio superiori a 800 m/s, eventualmente comprendenti in superficie terreni di caratteristiche meccaniche più scadenti con spessore massimo pari a 3 m.
B	Rocce tenere e depositi di terreni a grana grossa molto addensati o terreni a grana fina molto consistenti, caratterizzati da un miglioramento delle proprietà meccaniche con la profondità e da valori di velocità equivalente compresi tra 360 m/s e 800 m/s.
C	Depositi di terreni a grana grossa mediamente addensati o terreni a grana fina mediamente consistenti con profondità del substrato superiori a 30 m, caratterizzati da un miglioramento delle proprietà meccaniche con la profondità e da valori di velocità equivalente compresi tra 180 m/s e 360 m/s.
D	Depositi di terreni a grana grossa scarsamente addensati o di terreni a grana fina scarsamente consistenti, con profondità del substrato superiori a 30 m, caratterizzati da un miglioramento delle proprietà meccaniche con la profondità e da valori di velocità equivalente compresi tra 100 e 180 m/s.
E	Terreni con caratteristiche e valori di velocità equivalente riconducibili a quelle definite per le categorie C o D, con profondità del substrato non superiore a 30 m.

**Tabella 33.** Tab. 3.2.II – Categorie di sottosuolo che permettono l'utilizzo dell'approccio semplificato

Categoria	Caratteristiche della superficie topografica
T1	Superficie pianeggiante, pendii e rilievi isolati con inclinazione media $i \leq 15^\circ$
T2	Pendii con inclinazione media $i > 15^\circ$
T3	Rilievi con larghezza in cresta molto minore che alla base e inclinazione media $15^\circ \leq i \leq 30^\circ$
T4	Rilievi con larghezza in cresta molto minore che alla base e inclinazione media $i > 30^\circ$

**Tabella 34.** Tab. 3.2. III – Categorie topografiche

### 1.3.3. Analisi sismica

#### 1.3.3.1. Determinazione del fattore di comportamento q

Si riportano in dettaglio le caratteristiche principali della struttura in esame, utili per il calcolo del fattore di comportamento q e dell'azione sismica.

Classe d'uso	Vita nominale	Coeff. Uso	Duttilità	Regolarità in pianta	Regolarità in altezza	Tipologia strutturale
II	50	1	B	si	no	Muratura.

L'analisi strutturale per azioni sismiche utilizzata per la verifica è del tipo lineare (cap. 7.3.1 NTC 2018). Per sistemi non dissipativi (SLE), gli effetti delle azioni sono calcolati riferendosi ad uno spettro di progetto ottenuto assumendo un fattore di comportamento  $q=1$  per lo stato limite di operatività (SLO) (cap. 3.2.3.4 NTC 2018) e un fattore di comportamento  $q \leq 1.5$  per stato limite di danno (SLD) (cap. 3.2.3.5 NTC 2018). Per sistemi dissipativi (SLU), gli effetti delle azioni sono calcolati riferendosi ad uno spettro di progetto ottenuto assumendo un fattore di struttura  $q \geq 1.5$  (cap. 3.2.3.5 NTC 2018).



Il calcolo del fattore di comportamento per i sistemi dissipativi è stato eseguito seguendo quanto riportato al capitolo 7 delle NTC 2018 in funzione dei parametri generali della struttura in esame. Si riportano, in tabella, i valori del fattore di comportamento utili per la valutazione dell'azione sismica nelle tre direzioni:

$q_0$	$\alpha_u/\alpha_i$	$k_r$	$q_x$	$q_y$	$q_z$
$1,75^* \alpha_u/\alpha_i$	1,7	0,8	2,38	2,38	1.5

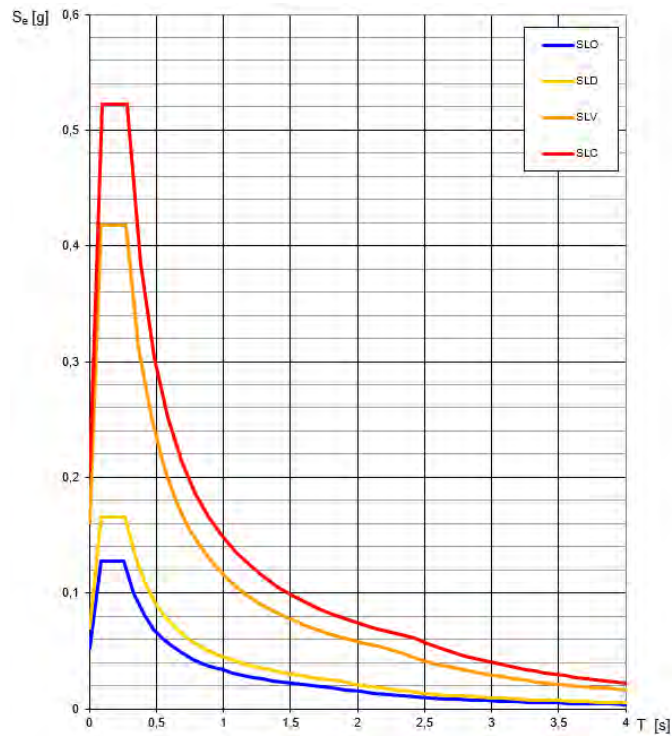
L'azione sismica viene definita in relazione ad un periodo di riferimento  $V_r$  che si ricava, per ciascun tipo di costruzione, moltiplicandone la vita nominale per il coefficiente d'uso. Fissato il periodo di riferimento  $V_r$  e la probabilità di superamento  $P_{ver}$  associata a ciascuno degli stati limite considerati, si ottiene il periodo di ritorno  $T_r$  e i relativi parametri di pericolosità sismica:

- $a_g$ : accelerazione orizzontale massima del terreno;
- $F_0$ : valore massimo del fattore di amplificazione dello spettro in accelerazione orizzontale;
- $T_c^*$ : periodo di inizio del tratto a velocità costante dello spettro in accelerazione orizzontale.

SLATO LIMITE	$T_R$ [anni]	$a_g$ [g]	$F_0$ [-]	$T_c^*$ [s]
SLO	30	0,052	2,453	0,260
SLD	50	0,069	2,391	0,269
SLV	475	0,161	2,595	0,277
SLC	975	0,206	2,540	0,283

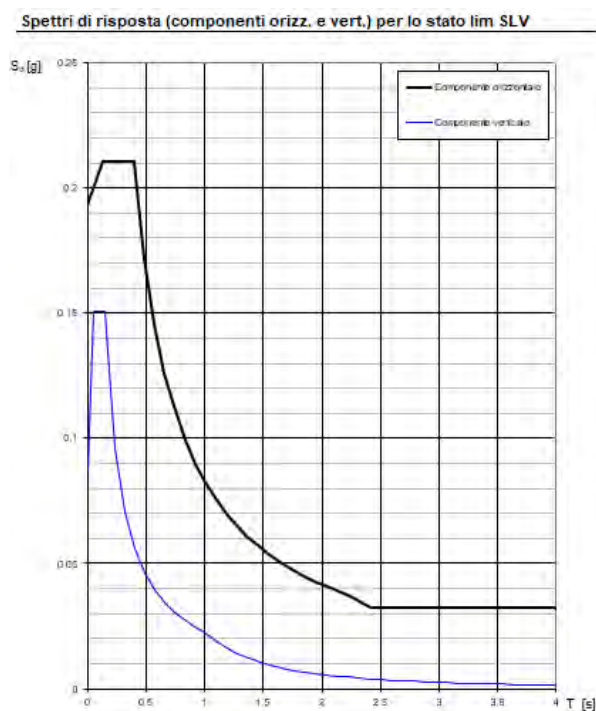
**Tabella 35.** Valori di  $a_g$ ,  $F_0$  e  $T_c^*$  in funzione dei vari stati limite

### 1.3.3.2. Spettri di risposta



**Figura 20.** Spettri di risposta elastici per i diversi stati limite

Con l'utilizzo del fattore di comportamento e dei parametri sismici dipendenti dal tipo di struttura in esame, precedentemente calcolati, si sono determinati gli spettri di calcolo agli stati limite SLV e SLD. Nel caso di utilizzo di isolatori sismici si farà riferimento allo spettro ad SLV per la sovrastruttura e ad SLC per gli isolatori. Tali spettri saranno opportunamente scalati in funzione dello smorzamento e del periodo scelto.



**Figura 21.** Spettri di risposta (componenti orizz.\_vert.) per lo SLV

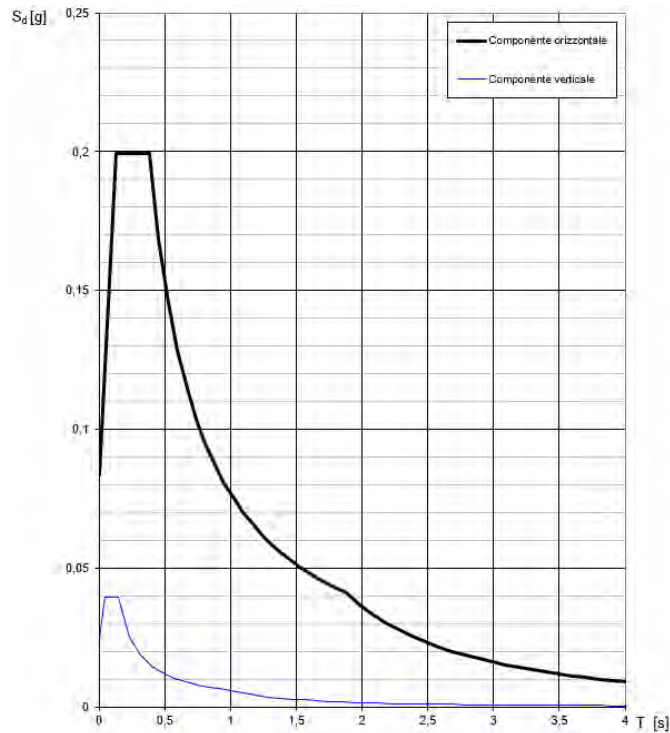


Figura 22. Spettri di risposta (componenti orizz.\_vert.) per lo SLD

### 1.3.4. Carichi di progetto

#### 1.3.4.1. Carico della neve

Tale calcolo viene effettuato ai sensi di DM del 17 Gennaio 2018 "Norme tecniche per le costruzioni" e della Circolare Ministeriale Applicativa del 21 Gennaio 2019. Il carico neve sulle coperture è valutato con la seguente espressione:

$$q_s = \mu_i * q_{sk} * C_e *$$

dove:

- $\mu_i$  è il coefficiente di forma della copertura;

Coefficiente di forma	$0^\circ \leq \alpha \leq 30^\circ$	$30^\circ < \alpha < 60^\circ$	$\alpha \geq 60^\circ$
$\mu_1$	0,8	$0,8 \cdot \frac{(60 - \alpha)}{30}$	0,0

Tabella 36. Tab. 3.4.II – Valori dei coefficienti di forma

- $q_{sk}$  è il valore di riferimento del carico neve al suolo e dipende dalla zona climatica e dall'altitudine di riferimento del sito  $a_s$ , se è maggiore o inferiore a 200 m;



**Figura 23.** Zone di carico della neve

- $C_e$  è il coefficiente di esposizione che viene utilizzato per modificare il carico neve in funzione delle caratteristiche dell'area in cui sorge l'opera;

Topografia	Descrizione	$C_e$
Battuta dai venti	Aree pianeggianti non ostruite esposte su tutti i lati, senza costruzioni o alberi più alti	0,9
Normale	Aree in cui non è presente una significativa rimozione di neve sulla costruzione prodotta dal vento, a causa del terreno, altre costruzioni o alberi	1,0
Riparata	Aree in cui la costruzione considerata è sensibilmente più bassa del circostante terreno o circondata da costruzioni o alberi più alti	1,1

**Tabella 37.** Tab. 3.4.I – Valori di  $C_z$  per diverse classi di esposizione

- $C_t$  è il coefficiente termico, generalmente assunto pari a 1;

Si assume che la neve non sia impedita di scivolare e si calcola il valore del carico neve in copertura:

Zona	$s_b$ (m)	$q_{sk}$ (daN/m <sup>2</sup> )	$\mu_i$	$C_e$	$C_t$	$q_s$ (daN/m <sup>2</sup> )
III	367	81	0,8	1	1	65

**Tabella 38.** Determinazione del carico da neve in copertura

#### 1.3.4.2. Carico del vento

La velocità base di riferimento del vento  $v_b$  è il valore medio su 10 minuti, a 10 m di altezza sul suolo su un terreno pianeggiante e omogeneo di categoria di esposizione II, riferito ad un periodo di ritorno  $T_r = 50$  anni, ed è pari a:

$$v_b = v_{b0} * C_a$$

dove:

- $v_{b0}$  è la velocità base di riferimento al livello del mare, assegnata nella Tab.3.3.I in funzione della zona in cui sorge la costruzione;

- $c_a$  è il coefficiente di altitudine fornito dalla relazione

$$c_a = 1 \quad \text{per } a_s \leq a_0$$

$$c_a = 1 + k_s * (a_s/a_0 - 1) \quad \text{per } a_0 < a_s \leq 1500 \text{ m}$$

dove:

- $a_0, k_s$  sono parametri forniti nella Tab.3.3.I in funzione della zona in cui sorge la costruzione;
- $a_s$  è l'altitudine sul livello del mare del sito ove sorge la costruzione.

Zona	Descrizione	$v_{b,0}$ [m/s]	$a_0$ [m]	$k_s$
1	Valle d'Aosta, Piemonte, Lombardia, Trentino Alto Adige, Veneto, Friuli Venezia Giulia (con l'eccezione della provincia di Trieste)	25	1000	0,40
2	Emilia Romagna	25	750	0,45
3	Toscana, Marche, Umbria, Lazio, Abruzzo, Molise, Puglia, Campania, Basilicata, Calabria (esclusa la provincia di Reggio Calabria)	27	500	0,37
4	Sicilia e provincia di Reggio Calabria	28	500	0,36
5	Sardegna (zona a oriente della retta congiungente Capo Teulada con l'Isola di Maddalena)	28	750	0,40
6	Sardegna (zona a occidente della retta congiungente Capo Teulada con l'Isola di Maddalena)	28	500	0,36
7	Liguria	28	1000	0,54
8	Provincia di Trieste	30	1500	0,50
9	Isole (con l'eccezione di Sicilia e Sardegna) e mare aperto	31	500	0,32



**Figura 24.** Valori dei parametri  $v_{b0}, a_0, k_s$

**Figura 25.** Mappa delle zone in cui è suddiviso il territorio italiano

La velocità di riferimento  $v_r$  è il valore medio su 10 minuti, a 10 m di altezza dal suolo su un terreno pianeggiante e omogeneo di categoria di esposizione II, riferito al periodo di ritorno di progetto  $T_r$ .

$$v_r = v_b * c_r$$

- $v_b$  è la velocità base di riferimento al livello del mare, assegnata
- $c_r$  è il coefficiente di ritorno, funzione del periodo di ritorno di progetto  $T_r$  fornito dalla relazione

$$c_r = 0.75 * \sqrt{1 - 0.2 * \ln[-\ln * (1 - 1/T_r)]}$$

Quindi:

$v_{b0}$ (m/s)	$a_s$	$c_a$	$v_b$	$T_r$	$c_r$	$v_r$ (m/s)
27	367	1	27	50	1,0007	27.02

La pressione del vento è data dall'espressione:

$$p = q_r * c_e * c_p * c_d$$

dove:

- $q_r$  è la pressione cinetica di riferimento data dall'espressione

$$q_r = \frac{1}{2} * \rho * v_r^2 \quad \text{in cui } \rho \text{ è la densità dell'aria pari a } 1.25 \text{ kg/m}^3$$

- $c_e$  è il coefficiente di esposizione che dipende dall'altezza  $z$  sul suolo del punto considerato, dalla topografia del terreno e dalla categoria di esposizione del sito ove sorge la costruzione. Per altezze sul suolo non maggiori di 200 m è dato dalla formula:

$$c_e(z) = k_r^2 * c_t * \ln(z/z_0) * [7 + c_t * \ln(z/z_0)] \quad \text{per } z \geq z_{min}$$

$$c_e(z) = c_e(z_{min}) \quad \text{per } z < z_{min}$$

dove:

- $k_r$ ,  $z_0$ ,  $z_{min}$  sono assegnati in Tab.3.3.II in funzione della categoria di esposizione del sito.
- $c_t$  è il coefficiente di topografia, posto generalmente uguale a 1.

Categoria di esposizione del sito	$K_r$	$z_0$ [m]	$z_{min}$ [m]
I	0,17	0,01	2
II	0,19	0,05	4
III	0,20	0,10	5
IV	0,22	0,30	8
V	0,23	0,70	12

**Tabella 39.** Parametri per la definizione del coefficiente di esposizione

Classe di rugosità del terreno	Descrizione
A	Aree urbane in cui almeno il 15% della superficie sia coperto da edifici la cui altezza media non superi i 15 m
B	Aree urbane (non di classe A), suburbane, industriali e boschive
C	Aree con ostacoli diffusi (alberi, case, muri, recinzioni...); aree con rugosità non riconducibile alle classi A, B, e D
D	a) Mare e relativa fascia costiera (entro 2 km dalla costa); b) Lago (con larghezza massima pari ad almeno 1 km) e relativa fascia costiera (entro 1 km dalla costa); c) Aree prive di ostacoli o con al più rari ostacoli isolati (aperta campagna, aeroporti, aree agricole, pascoli, zone paludose o sabbiose, superfici innevate o ghiacciate, ...)

**Tabella 40.** Classi di rugosità del terreno

ZONE 1,2,3,4,5						
	costa	mare	2 km	10 km	30 km	750m
A	--	IV	IV	V	V	V
B	--	III	III	IV	IV	IV
C	--	*	III	III	IV	IV
D	I	II	II	II	III	**
* Categoria II in zona 1,2,3,4 Categoria III in zona 5						
** Categoria III in zona 2,3,4,5 Categoria IV in zona 1						

**Tabella 41.** Definizione delle categorie di esposizione

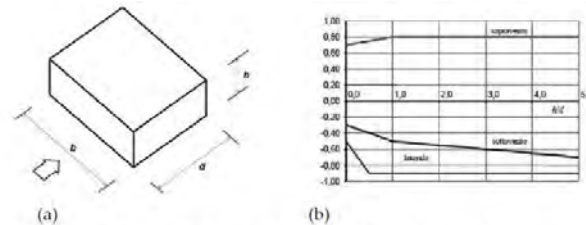
$q_r$	Rugosità	Esposizione	$c_e(z)$	$c_e(z_{min})$
456	B	III	2,101	1,708

**Tabella 42.** Definizione dei coefficienti di esposizione

- $c_p$  è il coefficiente di pressione e dipende dalla tipologia, dalla geometria della costruzione e dal suo orientamento rispetto alla direzione del vento. Il coefficiente globale  $c_{pe}$  che può essere



utilizzato in tutti i casi in cui la rappresentazione delle azioni aereodinamiche del vento possa essere effettuata in maniera semplificata, rivolta alla valutazione delle azioni globali su porzioni estese di costruzioni o delle risultanti delle azioni indotte dal vento sugli elementi principali della struttura. I coefficienti  $c_{pe}$  da assumere sulle pareti dell'edificio a pianta rettangolare sono diagrammati in base al rapporto  $h/d$ , avendo indicato con  $h$  l'altezza del manufatto e con  $d$  la profondità dell'edificio, valutata parallelamente al flusso di lavoro:



a) Parametri caratteristici di edifici a pianta rettangolare,  
b) Edifici a pianta rettangolare:  $c_{pe}$  per facce sopravvento, sottovento e laterali  
Figura C3.3.2

Tabella C3.3.I: Edifici a pianta rettangolare:  $c_{pe}$  per facce sopravvento, sottovento e laterali

Faccia sopravvento	$C_U = 2,0$	$C_U = 1,5$
$h/d \leq 1$ : $c_{pe} = 0,7 + 0,1 \cdot h/d$	$h/d \leq 0,5$ : $c_{pe} = -0,5 - 0,8 \cdot h/d$	$h/d \leq 1$ : $c_{pe} = -0,3 - 0,2 \cdot h/d$
$h/d > 1$ : $c_{pe} = 0,8$	$h/d > 0,5$ : $c_{pe} = -0,9$	$1 < h/d \leq 5$ : $c_{pe} = -0,5 - 0,05 \cdot (h/d - 1)$

Tabella 43. Coefficienti di pressione delle facciate secondo NTC2018

Quindi i coefficienti per le facce sopravvento e sottovento sono:

b	d	h	h/d	$C_{pe}$ -sopravento	$C_{pe}$ -sottovento
46,6	12,5	9,45	0,76	0,78	-0,45

Tabella 44. Definizione dei coefficienti di pressione

## COPERTURA A PADIGLIONE

Per la copertura a padiglione l'altezza di riferimento  $z_e$  è pari all'altezza massima della copertura stessa. Per i coefficienti globali sulle coperture a padiglione di un edificio a pianta rettangolare, per le falde sopravvento e sottovento, si assumono gli stessi coefficienti previsti per le coperture a doppia falda.

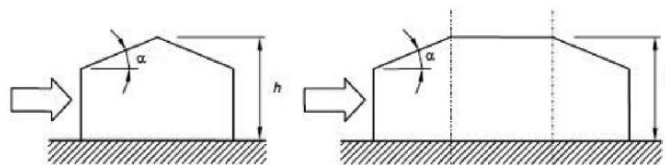


Figura C3.3.15 - Schema delle coperture a padiglione

Valori negativi		Valori positivi	
$\alpha \leq -60^\circ$	$c_{pe} = -0,5$	$0^\circ \leq \alpha \leq 45^\circ$	$c_{pe} = + \alpha/75$
$-60^\circ \leq \alpha \leq -15^\circ$	$c_{pe} = -0,5 - (\alpha + 60)/90$	$45^\circ \leq \alpha \leq 75^\circ$	$c_{pe} = +0,6 + (\alpha - 45)/150$
$-15^\circ \leq \alpha \leq 30^\circ$	$c_{pe} = -1,0 + (\alpha + 15)/75$		
$30^\circ \leq \alpha \leq 45^\circ$	$c_{pe} = -0,4 + (\alpha - 30)/37,5$		

Figura 26. Coperture a doppia falda, valori del  $c_{pe}$  con vento perpendicolare al colmo

Per le falde laterali, relative alle pareti parallele alla direzione del vento, si considerano i coefficienti riportati sotto:

$0^\circ \leq \alpha \leq 30^\circ$	$c_{pe} = -0,6 - \alpha/75$
$30^\circ \leq \alpha \leq 45^\circ$	$c_{pe} = -1,0$
$45^\circ \leq \alpha \leq 60^\circ$	$c_{pe} = -1,0 + (\alpha - 45)/37,5$
$60^\circ \leq \alpha$	$c_{pe} = -0,6$

**Tabella 45.** Coperture a padiglione, valori del  $c_{pe}$  con vento perpendicolare al colmo

Le pressioni interne agli edifici dipendono dalla superficie delle aperture che questi presentano verso l'esterno. Nel caso in esame si assumono valori del coefficiente di pressione interno pari a  $c_{pi} = +0,2$  e  $c_{pi} = -0,30$ , considerando il caso che di volta in volta conduce alla situazione maggiormente gravosa.

- $c_d$  è il coefficiente dinamico e può essere assunto cautelativamente pari a 1 nelle costruzioni di tipologia ricorrente quali gli edifici di forma regolare non eccedenti 80 m in altezza e capannoni industriali.

In funzione dei coefficienti analizzati e della pressione cinetica di riferimento, si calcola la pressione del vento per la copertura e per le facciate sopravento e sottovento considerando i valori massimi e minimi.

<b>Facciata</b>	<b>Sopravento</b>	<b>Sottovento</b>
$p_{min}$ (daN/m <sup>2</sup> )	448	-585
$p_{max}$ (daN/m <sup>2</sup> )	552	-720
<b>Copertura</b>	<b>Sopravento</b>	<b>Sottovento</b>
$p$ (daN/m <sup>2</sup> )	-671	-671

Nel caso di copertura a padiglione è necessario considerare il vento in pressione sulle falde laterali e risulta pari a -959 daN/m<sup>2</sup>.

### **1.3.5. Interventi per il miglioramento sismico – edifici in muratura**

Gli interventi previsti per la riduzione del rischio sismico si dividono in:

- interventi che possono consentire il miglioramento di almeno due Classi di Rischio o l'adeguamento sismico.

La tipologia di interventi considerati riguarda l'utilizzo di:

- cappotto sismico applicato alle pareti esterne dell'edificio.

Questa tipologia di interventi, viene presa in considerazione nel caso in cui le lavorazioni vengono eseguite senza dover in alcun modo evacuare gli inquilini dell'edificio, e quando la struttura risulta regolare in pianta e in altezza. Per gli edifici in cemento armato, nel caso di struttura a telai in entrambe le direzioni, è prevista la possibilità di ritenere valido il passaggio di più Classi di Rischio con la possibilità di raggiungere l'adeguamento sismico a seconda della tipologia di struttura.

#### **1.3.5.1. Sintesi degli interventi previsti**

##### **CAPPOTTO SISMICO**

Il cappotto sismico viene applicato sulle facciate esterne dell'edificio al fine di realizzare una nuova "pelle" sismo-resistente. E' costituito da una lastra sottile in calcestruzzo armato gettato in opera all'interno di due strati di materiale isolante, preinseriti in una maglia tridimensionale in acciaio zincato. La lastra in calcestruzzo può avere spessori variabili in base alla tipologia di intervento e nel caso in esame si ipotizza uno spessore di circa 8-10 cm; a livello delle travi esterne di piano si realizza un nuovo cordolo dello spessore della lastra più la larghezza dello strato di isolante addossato alla parete di circa 4 cm.

Il getto e l'armatura di rinforzo vengono resi solidali alla struttura esistente mediante, sia l'inserimento di connettori disposti a livello dei cordoli di piano e, se necessario, sui pilastri, sia disponendo opportuni ancoraggi sulla fondazione esistente o su una nuova fondazione addossata a quella esistente

La maglia tridimensionale in acciaio zincato consente di semplificare le operazioni di posa in opera delle armature strutturali, di minimizzare gli sfridi di cantiere e di realizzare uno strato di finitura ad intonaco particolarmente solida che garantisce la massima protezione del materiale isolante da urti accidentali ed agenti atmosferici.

Le norme NTC18 trattano le pareti in calcestruzzo soltanto per quanto riguarda le prescrizioni da seguire per strutture a comportamento dissipativo. Le lastre in calcestruzzo vengono invece dimensionate per garantire un comportamento elastico e non dissipativo nei confronti dell'azione sismica di progetto, rientrando nella tipologia di "strutture non dissipative". Per questo motivo le verifiche in resistenza degli elementi in calcestruzzo vengono effettuate seguendo l'approccio fornito dalla norma per gli elementi strutturali a comportamento non dissipativo, contenute nel

capitolo 4 delle NTC18 mentre le prescrizioni contenute nel capitolo 7 non risultano vincolanti per il dimensionamento delle pareti.

Per quanto riguarda le connessioni tra edificio esistente e cappotto sismico, la valutazione analitica della resistenza degli ancoraggi metallici per calcestruzzo può essere effettuata secondo le linee guida definite dal documento ETAG001-1997: "Linee guida per il benessere tecnico europeo di ancoraggi metallici da utilizzare nel calcestruzzo" e dai relativi allegati.

#### **1.3.6. Conclusioni**

Per quanto concerne gli aspetti prettamente strutturali, l'intervento di miglioramento sismico adottato per la tipologia oggetto della presente relazione, prevede l'utilizzo di un cappotto sismico, un sistema integrato di rafforzamento strutturale e miglioramento del benessere termoigrometrico dell'edificio. Questo intervento, oltre a non interrompere il normale esercizio della struttura permette la riduzione delle tempistiche del cantiere, in quanto i moduli da applicare sulle pareti esterne, risultano prefabbricati e sono comprensivi delle varie forometrie; in cantiere, l'attività sarà quella di prevedere il collegamento con la struttura esistente e la realizzazione del getto all'interno del cassero e, se necessario, il getto armato della nuova porzione di fondazione.

Gli interventi strutturali previsti sono mirati al miglioramento sismico attraverso l'incremento di almeno due Classi di Rischio o l'adeguamento sismico, da valutare nel dettaglio nelle fasi progettuali successive. Con ciò si intende il miglioramento del rischio della costruzione con incidenza sul valore PAM e sulla capacità che la struttura possiede rispetto allo stato limite della salvaguardia sulla vita. Tale valore è stato valutato come rapporto tra PGAA (SLV) anteoperam e la PGAp (SLV) postoperam, determinata attraverso il metodo convenzionale nel rispetto della normativa vigente (NTC 2018) e della circolare ministeriale applicativa del 21 gennaio 2019.

## 1.4. Tipologia VE04

### 1.4.1. Individuazione dei siti in esame

Di seguito si riporta una tabella che riassume i parametri generali del sito in esame, con gli identificativi e le coordinate dei punti che includono gli edifici.

Provincia	Comune	Tipologia	Via	Latitudine	Longitudine
Roma	Velletri	VE04	Via Fontana delle Rose 207 – scala A	41.4128°	12.4620°

**Tabella 46.** Parametri generali del sito in esame



**Figura 27.** Individuazione del sito in esame (immagine da google earth)

### 1.4.2. Determinazione della categoria di sottosuolo

Per la determinazione della categoria di sottosuolo, in assenza di indagini geologiche specifiche per ogni intervento da realizzare, è possibile stimare in via preliminare e con le approssimazioni del caso, la velocità delle onde VS facendo specifico riferimento agli abachi regionali di microzonazione sismica ai sensi della DGR Lazio n. 545 del 26 novembre 2010, forniti sul portale della Regione Lazio. Nello specifico andando ad individuare la carta delle microzone omogenee in prospettiva sismica per il comune di interesse, è possibile risalire alla tipologia del sottosuolo e relativo spessore. Dalla carta riportata in figura 2, si evidenzia che il sito oggetto del presente studio ricade all'interno delle zone stabili suscettibili di amplificazione sismica (Zona 1) che sono caratterizzate dalla presenza depositi piroclastici. In funzione di questo, entrando in via approssimativa nell'abaco



(Vs/h) riportato in figura 2, relativo alle ghiaie alluvionali, detritiche e sabbie di alterazione, si determina il valore di Vs che viene utilizzato per la stima approssimata della categoria di sottosuolo entrando nella tabella 3.2.II del D.M. 17 Gennaio 2018.

GHIAIE ALLUVIONALI GHIAIE DETRITICHE SABBIE DI ALTERAZIONE DA ARENARIE SABBIE DI ALTERAZIONE DA TRAVERTINI SABBIE DI ALTERAZIONI DA TUFI VULCANICI										
FH <sub>0,1-0,5</sub>		Velocità media V <sub>SH</sub> (m/s)								
Profondità dal pc H (m)		180	250	300	360	400	450	500	600	700
	5	1.3	1.2	1.1	1.1	1.1	1.1	1.0	1.0	1.0
	10			1.4	1.4	1.2	1.2	1.1	1.1	1.0
	15			1.6	1.5	1.3	1.3	1.2	1.1	1.1
	20			1.7	1.6	1.4	1.3	1.2	1.1	1.1
	25			1.6	1.5	1.5	1.4	1.3	1.2	1.1
	30			1.5	1.5	1.5	1.4	1.3	1.2	1.1
	35				1.4	1.4	1.3	1.3	1.2	1.1
	40					1.4	1.3	1.3	1.2	1.1
	45						1.3	1.2	1.2	1.1

GRADIENTE DI VELOCITA' PER VALIDITA' ABACO

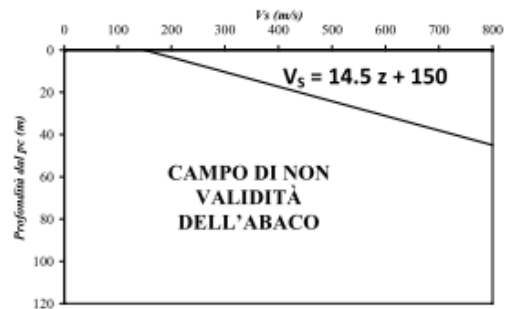


Tabella 47. Abaco per le ghiaie alluvionali, detritiche e sabbie di alterazione

Nello specifico facendo riferimento all'andamento della velocità Vs con la profondità z dello strato dal piano campagna, si ottiene un valore delle velocità Vs pari a:

$$V_s = 14.5 * z + 150 = 512 \text{ m/s}$$

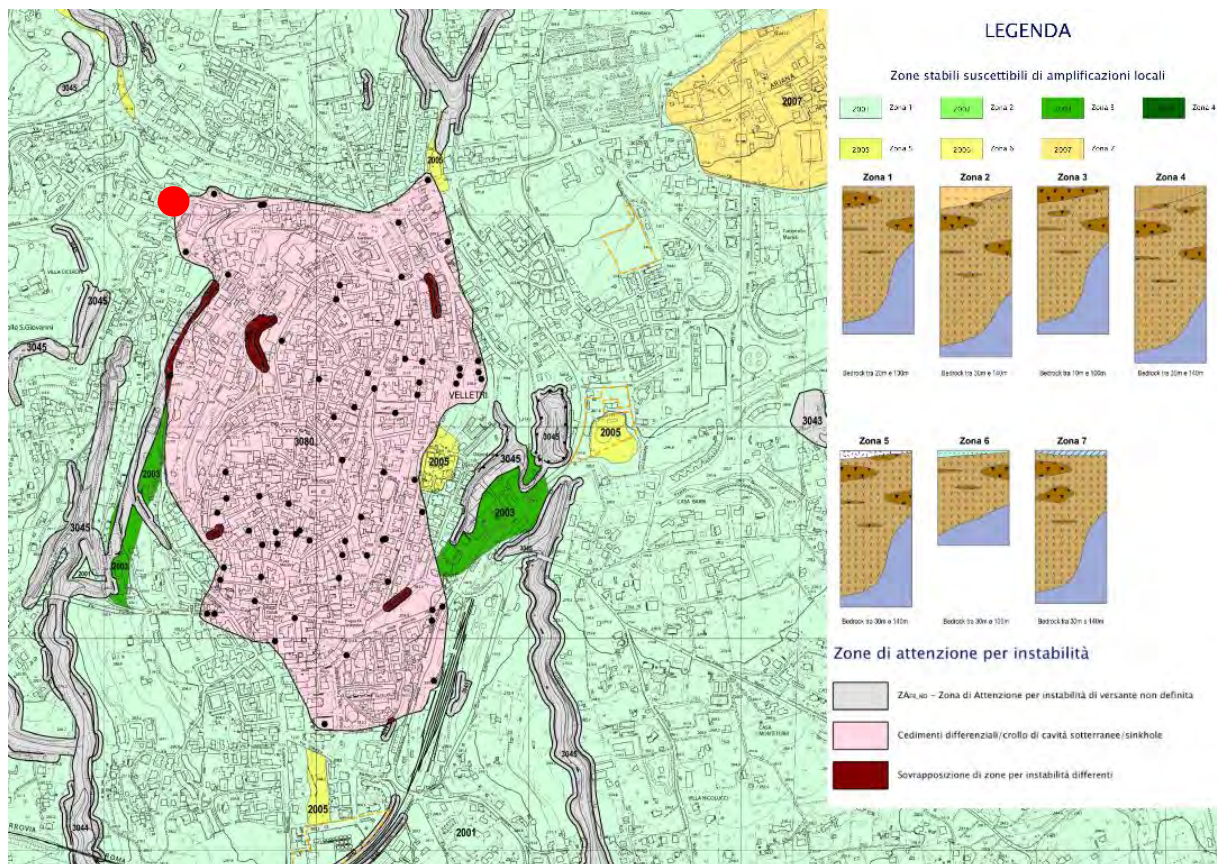


Figura 28. Zona omogenea in prospettiva sismica



In relazione alle formulazioni sopra riportate avendo ottenuto un valore delle Vs pari a 512 m/s ed entrando nella tabella 3 sotto riportata si ottiene una categoria di sottosuolo B “*Depositi di terreni a grana grossa molto addensati o terreni a grana fina molto consistenti*”.

Per le condizioni topografiche che nel caso specifico si configurano in superficiali semplici si può adottare la classificazione riportata nella tabella 4 e nello specifico si ricade nella categoria T1.

Categoria	Descrizione
A	Ammassi rocciosi affioranti o terreni molto rigidi caratterizzati da valori di velocità delle onde di taglio superiori a 800 m/s, eventualmente comprendenti in superficie terreni di caratteristiche meccaniche più scadenti con spessore massimo pari a 3 m.
B	Rocce tenere e depositi di terreni a grana grossa molto addensati o terreni a grana fina molto consistenti, caratterizzati da un miglioramento delle proprietà meccaniche con la profondità e da valori di velocità equivalente compresi tra 360 m/s e 800 m/s.
C	Depositi di terreni a grana grossa mediamente addensati o terreni a grana fina mediamente consistenti con profondità del substrato superiori a 30 m, caratterizzati da un miglioramento delle proprietà meccaniche con la profondità e da valori di velocità equivalente compresi tra 180 m/s e 360 m/s.
D	Depositi di terreni a grana grossa scarsamente addensati o di terreni a grana fina scarsamente consistenti, con profondità del substrato superiori a 30 m, caratterizzati da un miglioramento delle proprietà meccaniche con la profondità e da valori di velocità equivalente compresi tra 100 e 180 m/s.
E	Terreni con caratteristiche e valori di velocità equivalente riconducibili a quelle definite per le categorie C o D, con profondità del substrato non superiore a 30 m.

**Tabella 48.** Tab. 3.2.II – Categorie di sottosuolo che permettono l'utilizzo dell'approccio semplificato

Categoria	Caratteristiche della superficie topografica
T1	Superficie pianeggiante, pendii e rilievi isolati con inclinazione media $i \leq 15^\circ$
T2	Pendii con inclinazione media $i > 15^\circ$
T3	Rilievi con larghezza in cresta molto minore che alla base e inclinazione media $15^\circ \leq i \leq 30^\circ$
T4	Rilievi con larghezza in cresta molto minore che alla base e inclinazione media $i > 30^\circ$

**Tabella 49.** Tab. 3.2. III – Categorie topografiche

### 1.4.3. Analisi sismica

#### 1.4.3.1. Determinazione del fattore di comportamento q

Si riportano in dettaglio le caratteristiche principali della struttura in esame, utili per il calcolo del fattore di comportamento q e dell'azione sismica.

Classe d'uso	Vita nominale	Coeff. Uso	Duttilità	Regolarità in pianta	Regolarità in altezza	Tipologia strutturale
II	50	1	B	si	si	Muratura.

L'analisi strutturale per azioni sismiche utilizzata per la verifica è del tipo lineare (cap. 7.3.1 NTC 2018). Per sistemi non dissipativi (SLE), gli effetti delle azioni sono calcolati riferendosi ad uno spettro di progetto ottenuto assumendo un fattore di comportamento  $q=1$  per lo stato limite di operatività (SLO) (cap. 3.2.3.4 NTC 2018) e un fattore di comportamento  $q \leq 1.5$  per stato limite di danno (SLD) (cap. 3.2.3.5 NTC 2018). Per sistemi dissipativi (SLU), gli effetti delle azioni sono calcolati riferendosi ad uno spettro di progetto ottenuto assumendo un fattore di struttura  $q \geq 1.5$  (cap. 3.2.3.5 NTC 2018).

Il calcolo del fattore di comportamento per i sistemi dissipativi è stato eseguito seguendo quanto riportato al capitolo 7 delle NTC 2018 in funzione dei parametri generali della struttura in esame. Si riportano, in tabella, i valori del fattore di comportamento utili per la valutazione dell'azione sismica nelle tre direzioni:

$q_0$	$\alpha_u/\alpha_i$	$k_r$	$q_x$	$q_y$	$q_z$
$1,75^* \alpha_u/\alpha_i$	1,7	1	2.975	2.975	1.5

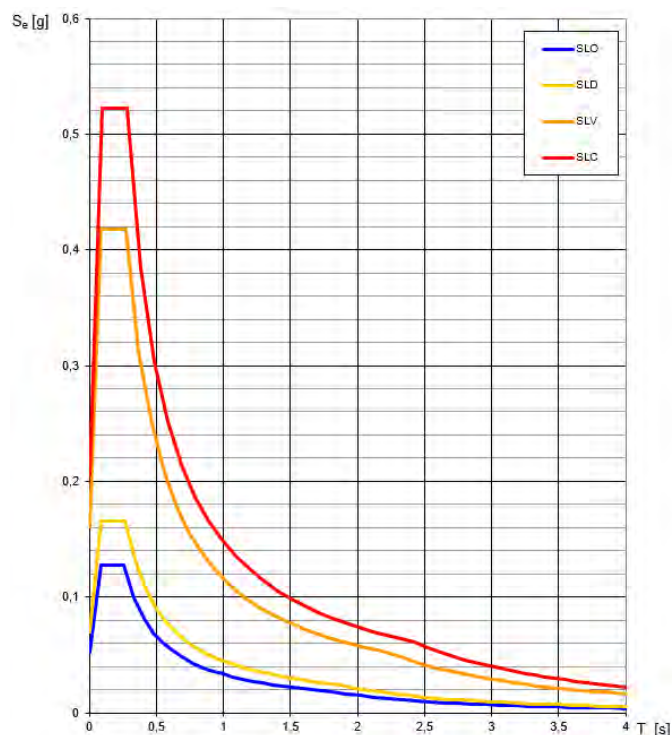
L'azione sismica viene definita in relazione ad un periodo di riferimento  $V_r$  che si ricava, per ciascun tipo di costruzione, moltiplicandone la vita nominale per il coefficiente d'uso. Fissato il periodo di riferimento  $V_r$  e la probabilità di superamento  $P_{ver}$  associata a ciascuno degli stati limite considerati, si ottiene il periodo di ritorno  $T_r$  e i relativi parametri di pericolosità sismica:

- $a_g$ : accelerazione orizzontale massima del terreno;
- $F_0$ : valore massimo del fattore di amplificazione dello spettro in accelerazione orizzontale;
- $T_c^*$ : periodo di inizio del tratto a velocità costante dello spettro in accelerazione orizzontale.

SLATO LIMITE	$T_R$ [anni]	$a_g$ [g]	$F_0$ [-]	$T_c^*$ [s]
SLO	30	0,052	2,453	0,260
SLD	50	0,069	2,391	0,269
SLV	475	0,161	2,595	0,277
SLC	975	0,206	2,540	0,283

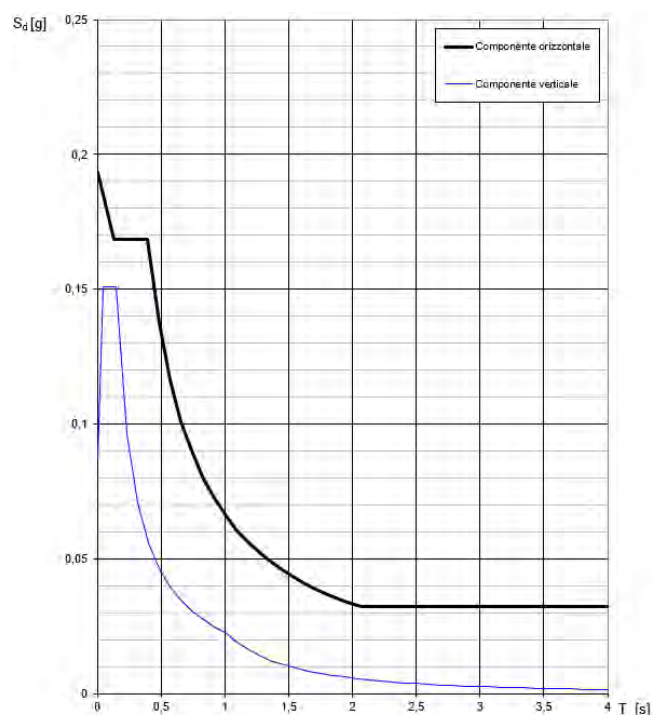
**Tabella 50.** Valori di  $a_g$ ,  $F_0$  e  $T_c^*$  in funzione dei vari stati limite

### 1.4.3.2. Spettri di risposta



**Figura 29.** Spettri di risposta elastici per i diversi stati limite

Con l'utilizzo del fattore di comportamento e dei parametri sismici dipendenti dal tipo di struttura in esame, precedentemente calcolati, si sono determinati gli spettri di calcolo agli stati limite SLV e SLD. Nel caso di utilizzo di isolatori sismici si farà riferimento allo spettro ad SLV per la sovrastruttura e ad SLC per gli isolatori. Tali spettri saranno opportunamente scalati in funzione dello smorzamento e del periodo scelto.



**Figura 30.** Spettri di risposta (componenti orizz.\_vert.) per lo SLV

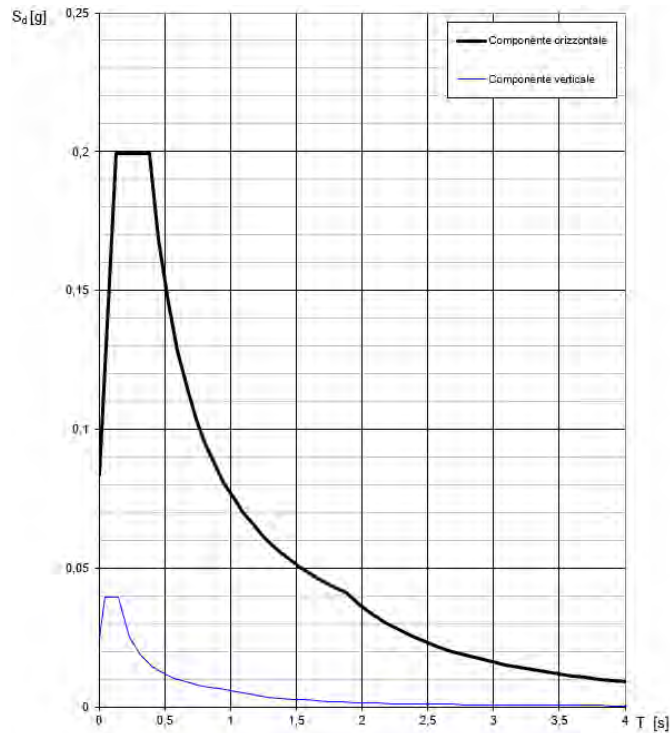


Figura 31. Spettri di risposta (componenti orizz.\_vert.) per lo SLD

#### 1.4.4. Carichi di progetto

##### 1.4.4.1. Carico della neve

Tale calcolo viene effettuato ai sensi di DM del 17 Gennaio 2018 "Norme tecniche per le costruzioni" e della Circolare Ministeriale Applicativa del 21 Gennaio 2019. Il carico neve sulle coperture è valutato con la seguente espressione:

$$q_s = \mu_i * q_{sk} * C_e *$$

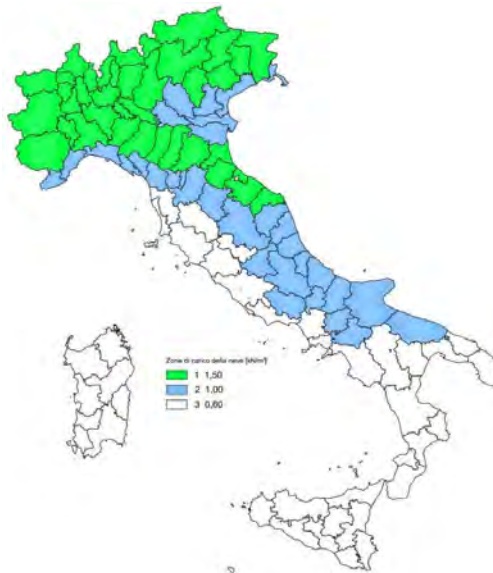
dove:

- $\mu_i$  è il coefficiente di forma della copertura;

Coefficiente di forma	$0^\circ \leq \alpha \leq 30^\circ$	$30^\circ < \alpha < 60^\circ$	$\alpha \geq 60^\circ$
$\mu_1$	0,8	$0,8 \cdot \frac{(60 - \alpha)}{30}$	0,0

Tabella 51. Tab. 3.4.II – Valori dei coefficienti di forma

- $q_{sk}$  è il valore di riferimento del carico neve al suolo e dipende dalla zona climatica e dall'altitudine di riferimento del sito  $a_s$ , se è maggiore o inferiore a 200 m;



**Figura 32.** Zone di carico della neve

- $C_e$  è il coefficiente di esposizione che viene utilizzato per modificare il carico neve in funzione delle caratteristiche dell'area in cui sorge l'opera;

Topografia	Descrizione	$C_e$
Battuta dai venti	Aree pianeggianti non ostruite esposte su tutti i lati, senza costruzioni o alberi più alti	0,9
Normale	Aree in cui non è presente una significativa rimozione di neve sulla costruzione prodotta dal vento, a causa del terreno, altre costruzioni o alberi	1,0
Riparata	Aree in cui la costruzione considerata è sensibilmente più bassa del circostante terreno o circondata da costruzioni o alberi più alti	1,1

**Tabella 52.** Tab. 3.4.I – Valori di  $C_z$  per diverse classi di esposizione

- $C_t$  è il coefficiente termico, generalmente assunto pari a 1;

Si assume che la neve non sia impedita di scivolare e si calcola il valore del carico neve in copertura:

Zona	$s_b$ (m)	$q_{sk}$ (daN/m <sup>2</sup> )	$\mu_i$	$C_e$	$C_t$	$q_s$ (daN/m <sup>2</sup> )
III	320	74	0,8	1	1	59

**Tabella 53.** Determinazione del carico da neve in copertura

#### 1.4.4.2. Carico del vento

La velocità base di riferimento del vento  $v_b$  è il valore medio su 10 minuti, a 10 m di altezza sul suolo su un terreno pianeggiante e omogeneo di categoria di esposizione II, riferito ad un periodo di ritorno  $T_r = 50$  anni, ed è pari a:

$$v_b = v_{b0} * c_a$$

dove:

- $v_{b0}$  è la velocità base di riferimento al livello del mare, assegnata nella Tab.3.3.I in funzione della zona in cui sorge la costruzione;

- $c_a$  è il coefficiente di altitudine fornito dalla relazione

$$c_a = 1 \quad \text{per } a_s \leq a_0$$

$$c_a = 1 + k_s * (a_s/a_0 - 1) \quad \text{per } a_0 < a_s \leq 1500 \text{ m}$$

dove:

- $a_0, k_s$  sono parametri forniti nella Tab.3.3.I in funzione della zona in cui sorge la costruzione;
- $a_s$  è l'altitudine sul livello del mare del sito ove sorge la costruzione.

Zona	Descrizione	$v_{b,0}$ [m/s]	$a_0$ [m]	$k_s$
1	Valle d'Aosta, Piemonte, Lombardia, Trentino Alto Adige, Veneto, Friuli Venezia Giulia (con l'eccezione della provincia di Trieste)	25	1000	0,40
2	Emilia Romagna	25	750	0,45
3	Toscana, Marche, Umbria, Lazio, Abruzzo, Molise, Puglia, Campania, Basilicata, Calabria (esclusa la provincia di Reggio Calabria)	27	500	0,37
4	Sicilia e provincia di Reggio Calabria	28	500	0,36
5	Sardegna (zona a oriente della retta congiungente Capo Teulada con l'Isola di Maddalena)	28	750	0,40
6	Sardegna (zona a occidente della retta congiungente Capo Teulada con l'Isola di Maddalena)	28	500	0,36
7	Liguria	28	1000	0,54
8	Provincia di Trieste	30	1500	0,50
9	Isole (con l'eccezione di Sicilia e Sardegna) e mare aperto	31	500	0,32



**Figura 33.** Valori dei parametri  $v_{b0}, a_0, k_s$

**Figura 34.** Mappa delle zone in cui è suddiviso il territorio italiano

La velocità di riferimento  $v_r$  è il valore medio su 10 minuti, a 10 m di altezza dal suolo su un terreno pianeggiante e omogeneo di categoria di esposizione II, riferito al periodo di ritorno di progetto  $T_r$ .

$$v_r = v_b * c_r$$

- $v_b$  è la velocità base di riferimento al livello del mare, assegnata
- $c_r$  è il coefficiente di ritorno, funzione del periodo di ritorno di progetto  $T_r$  fornito dalla relazione

$$c_r = 0.75 * \sqrt{1 - 0.2 * \ln[-\ln * (1 - 1/T_r)]}$$

Quindi:

$v_{b0}$ (m/s)	$a_s$	$c_a$	$v_b$	$T_r$	$c_r$	$v_r$ (m/s)
27	320	1	27	50	1,0007	27.02

La pressione del vento è data dall'espressione:

$$p = q_r * c_e * c_p * c_d$$

dove:

- $q_r$  è la pressione cinetica di riferimento data dall'espressione

$$q_r = \frac{1}{2} * \rho * v_r^2 \quad \text{in cui } \rho \text{ è la densità dell'aria pari a } 1.25 \text{ kg/m}^3$$



- $c_e$  è il coefficiente di esposizione che dipende dall'altezza  $z$  sul suolo del punto considerato, dalla topografia del terreno e dalla categoria di esposizione del sito ove sorge la costruzione. Per altezze sul suolo non maggiori di 200 m è dato dalla formula:

$$c_e(z) = k_r^2 * c_t * \ln(z/z_0) * [7 + c_t * \ln(z/z_0)] \quad \text{per } z \geq z_{min}$$

$$c_e(z) = c_e(z_{min}) \quad \text{per } z < z_{min}$$

dove:

- $k_r$ ,  $z_0$ ,  $z_{min}$  sono assegnati in Tab.3.3.II in funzione della categoria di esposizione del sito.
- $c_t$  è il coefficiente di topografia, posto generalmente uguale a 1.

Categoria di esposizione del sito	$K_r$	$z_0$ [m]	$z_{min}$ [m]
I	0,17	0,01	2
II	0,19	0,05	4
III	0,20	0,10	5
IV	0,22	0,30	8
V	0,23	0,70	12

**Tabella 54.** Parametri per la definizione del coefficiente di esposizione

Classe di rugosità del terreno	Descrizione
A	Aree urbane in cui almeno il 15% della superficie sia coperto da edifici la cui altezza media non superi i 15 m
B	Aree urbane (non di classe A), suburbane, industriali e boschive
C	Aree con ostacoli diffusi (alberi, case, muri, recinzioni...); aree con rugosità non riconducibile alle classi A, B, e D
D	a) Mare e relativa fascia costiera (entro 2 km dalla costa); b) Lago (con larghezza massima pari ad almeno 1 km) e relativa fascia costiera (entro 1 km dalla costa); c) Aree prive di ostacoli o con al più rari ostacoli isolati (aperta campagna, aeroporti, aree agricole, pascoli, zone paludose o sabbiose, superfici innevate o ghiacciate, ...)

**Tabella 55.** Classi di rugosità del terreno

ZONE 1,2,3,4,5						
	costa	mare	2 km	10 km	30 km	750m
A	--	IV	IV	V	V	V
B	--	III	III	IV	IV	IV
C	--	*	III	III	IV	IV
D	I	II	II	II	III	**
* Categoria II in zona 1,2,3,4 Categoria III in zona 5						
** Categoria III in zona 2,3,4,5 Categoria IV in zona 1						

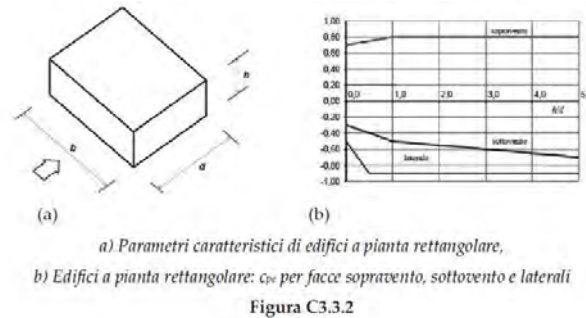
**Tabella 56.** Definizione delle categorie di esposizione

$q_r$	Rugosità	Esposizione	$c_e(z)$	$c_e(z_{min})$
456	B	III	2.416	1,708

**Tabella 57.** Definizione dei coefficienti di esposizione

- $c_p$  è il coefficiente di pressione e dipende dalla tipologia, dalla geometria della costruzione e dal suo orientamento rispetto alla direzione del vento. Il coefficiente globale  $c_{pe}$  che può essere

utilizzato in tutti i casi in cui la rappresentazione delle azioni aereodinamiche del vento possa essere effettuata in maniera semplificata, rivolta alla valutazione delle azioni globali su porzioni estese di costruzioni o delle risultanti delle azioni indotte dal vento sugli elementi principali della struttura. I coefficienti  $c_{pe}$  da assumere sulle pareti dell'edificio a pianta rettangolare sono diagrammati in base al rapporto  $h/d$ , avendo indicato con  $h$  l'altezza del manufatto e con  $d$  la profondità dell'edificio, valutata parallelamente al flusso di lavoro:



**Tabella C3.3.I:** Edifici a pianta rettangolare:  $c_{pe}$  per facce sopravvento, sottovento e laterali

Faccia sopravvento	$C_U = 2,0$	$C_U = 1,5$
$h/d \leq 1$ : $c_{pe} = 0,7 + 0,1 \cdot h/d$	$h/d \leq 0,5$ : $c_{pe} = -0,5 - 0,8 \cdot h/d$	$h/d \leq 1$ : $c_{pe} = -0,3 - 0,2 \cdot h/d$
$h/d > 1$ : $c_{pe} = 0,8$	$h/d > 0,5$ : $c_{pe} = -0,9$	$1 < h/d \leq 5$ : $c_{pe} = -0,5 - 0,05 \cdot (h/d - 1)$

**Tabella 58.** Coefficienti di pressione delle facciate secondo NTC2018

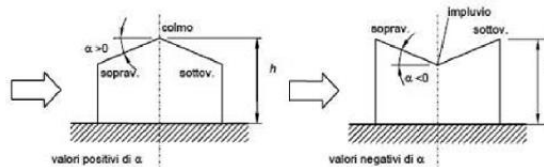
Quindi i coefficienti per le facce sopravvento e sottovento sono:

b	d	h	h/d	$C_{pe}$ -sopravento	$C_{pe}$ -sottovento
12	9.6	15.2	1.58	0.80	-0,53

**Tabella 59.** Definizione dei coefficienti di pressione

## COPERTURA A DOPPIA FALDA

Per le coperture a doppia falda, i coefficienti globali da assumere, nel caso di vento perpendicolare alla direzione del colmo, sono quelli per le coperture a falda singola.



**Figura 35.** Schema di riferimento per coperture a doppia falda

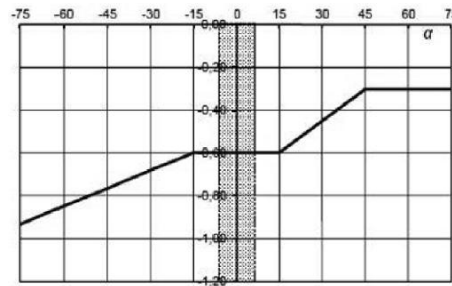
Valori negativi		Valori positivi	
$\alpha \leq -60^\circ$	$c_{pe} = -0,5$	$0^\circ \leq \alpha \leq 45^\circ$	$c_{pe} = +\alpha/75$
$-60^\circ \leq \alpha \leq -15^\circ$	$c_{pe} = -0,5 - (\alpha + 60)/90$	$45^\circ \leq \alpha \leq 75^\circ$	$c_{pe} = +0,6 + (\alpha - 45)/150$
$-15^\circ \leq \alpha \leq 30^\circ$	$c_{pe} = -1,0 + (\alpha + 15)/75$		
$30^\circ \leq \alpha \leq 45^\circ$	$c_{pe} = -0,4 + (\alpha - 30)/37,5$		

**Tabella 60.** Coperture a doppia falda, valori del  $c_{pe}$  con vento perpendicolare al colmo

Per la falda sottovento si fa riferimento ai valori riportati di seguito:

$-75^\circ \leq \alpha \leq -15^\circ$	$c_{pe} = -0,85 + (\alpha + 60)/180$
$-15^\circ \leq \alpha \leq 15^\circ$	$c_{pe} = -0,6$
$15^\circ \leq \alpha \leq 45^\circ$	$c_{pe} = -0,6 + (\alpha - 15)/100$
$45^\circ \leq \alpha$	$c_{pe} = -0,3$

**Tabella 61.** Coperture a doppia falda, valori del  $c_{pe}$  con vento perpendicolare al colmo



**Figura 36.** Coperture a doppia falda, grafico del  $c_{pe}$  con vento perpendicolare al colmo

Le pressioni interne agli edifici dipendono dalla superficie delle aperture che questi presentano verso l'esterno. Nel caso in esame si assumono valori del coefficiente di pressione interno pari a  $c_{pi} = +0,2$  e  $c_{pi} = -0,30$ , considerando il caso che di volta in volta conduce alla situazione maggiormente gravosa.

- $c_d$  è il coefficiente dinamico e può essere assunto cautelativamente pari a 1 nelle costruzioni di tipologia ricorrente quali gli edifici di forma regolare non eccedenti 80 m in altezza e capannoni industriali.

In funzione dei coefficienti analizzati e della pressione cinetica di riferimento, si calcola la pressione del vento per la copertura e per le facciate sopravento e sottovento considerando i valori massimi e minimi.

Facciata	Sopravento	Sottovento
$p_{min}$ (daN/m <sup>2</sup> )	467	-646
$p_{max}$ (daN/m <sup>2</sup> )	662	-914
Copertura	Sopravento	Sottovento
$p$ (daN/m <sup>2</sup> )	-772	-772

#### **1.4.5. Interventi per il miglioramento sismico – edifici in muratura**

Gli interventi previsti per la riduzione del rischio sismico si dividono in:

- interventi che possono consentire il miglioramento di almeno due Classi di Rischio o l'adeguamento sismico.

La tipologia di interventi considerati riguarda l'utilizzo di:

- cappotto sismico applicato alle pareti esterne dell'edificio.

Questa tipologia di interventi, viene presa in considerazione nel caso in cui le lavorazioni vengono eseguite senza dover in alcun modo evacuare gli inquilini dell'edificio, e quando la struttura risulta regolare in pianta e in altezza. Per gli edifici in cemento armato, nel caso di struttura a telai in entrambe le direzioni, è prevista la possibilità di ritenere valido il passaggio di più Classi di Rischio con la possibilità di raggiungere l'adeguamento sismico a seconda della tipologia di struttura.

##### **1.4.5.1. Sintesi degli interventi previsti**

##### **CAPPOTTO SISMICO**

Il cappotto sismico viene applicato sulle facciate esterne dell'edificio al fine di realizzare una nuova "pelle" sismo-resistente. E' costituito da una lastra sottile in calcestruzzo armato gettato in opera all'interno di due strati di materiale isolante, preinseriti in una maglia tridimensionale in acciaio zincato. La lastra in calcestruzzo può avere spessori variabili in base alla tipologia di intervento e nel caso in esame si ipotizza uno spessore di circa 8-10 cm; a livello delle travi esterne di piano si realizza un nuovo cordolo dello spessore della lastra più la larghezza dello strato di isolante addossato alla parete di circa 4 cm.

Il getto e l'armatura di rinforzo vengono resi solidali alla struttura esistente mediante, sia l'inserimento di connettori disposti a livello dei cordoli di piano e, se necessario, sui pilastri, sia disponendo opportuni ancoraggi sulla fondazione esistente o su una nuova fondazione addossata a quella esistente

La maglia tridimensionale in acciaio zincato consente di semplificare le operazioni di posa in opera delle armature strutturali, di minimizzare gli sfridi di cantiere e di realizzare uno strato di finitura ad intonaco particolarmente solida che garantisce la massima protezione del materiale isolante da urti accidentali ed agenti atmosferici.

Le norme NTC18 trattano le pareti in calcestruzzo soltanto per quanto riguarda le prescrizioni da seguire per strutture a comportamento dissipativo. Le lastre in calcestruzzo vengono invece dimensionate per garantire un comportamento elastico e non dissipativo nei confronti dell'azione sismica di progetto, rientrando nella tipologia di "strutture non dissipative". Per questo motivo le verifiche in resistenza degli elementi in calcestruzzo vengono effettuate seguendo l'approccio fornito dalla norma per gli elementi strutturali a comportamento non dissipativo, contenute nel

capitolo 4 delle NTC18 mentre le prescrizioni contenute nel capitolo 7 non risultano vincolanti per il dimensionamento delle pareti.

Per quanto riguarda le connessioni tra edificio esistente e cappotto sismico, la valutazione analitica della resistenza degli ancoraggi metallici per calcestruzzo può essere effettuata secondo le linee guida definite dal documento ETAG001-1997: "Linee guida per il benessere tecnico europeo di ancoraggi metallici da utilizzare nel calcestruzzo" e dai relativi allegati.

#### **1.4.6. Conclusioni**

Per quanto concerne gli aspetti prettamente strutturali, l'intervento di miglioramento sismico adottato per la tipologia oggetto della presente relazione, prevede l'utilizzo di un cappotto sismico, un sistema integrato di rafforzamento strutturale e miglioramento del benessere termoigrometrico dell'edificio. Questo intervento, oltre a non interrompere il normale esercizio della struttura permette la riduzione delle tempistiche del cantiere, in quanto i moduli da applicare sulle pareti esterne, risultano prefabbricati e sono comprensivi delle varie forometrie; in cantiere, l'attività sarà quella di prevedere il collegamento con la struttura esistente e la realizzazione del getto all'interno del cassero e, se necessario, il getto armato della nuova porzione di fondazione.

Gli interventi strutturali previsti sono mirati al miglioramento sismico attraverso l'incremento di almeno due Classi di Rischio o l'adeguamento sismico, da valutare nel dettaglio nelle fasi progettuali successive. Con ciò si intende il miglioramento del rischio della costruzione con incidenza sul valore PAM e sulla capacità che la struttura possiede rispetto allo stato limite della salvaguardia sulla vita. Tale valore è stato valutato come rapporto tra PGAA (SLV) anteoperam e la PGAp (SLV) postoperam, determinata attraverso il metodo convenzionale nel rispetto della normativa vigente (NTC 2018) e della circolare ministeriale applicativa del 21 gennaio 2019.

## 1.5. Tipologia VE05

### 1.5.1. Individuazione dei siti in esame

Di seguito si riporta una tabella che riassume i parametri generali del sito in esame, con gli identificativi e le coordinate dei punti che includono gli edifici.

Provincia	Comune	Tipologia	Via	Latitudine	Longitudine
Roma	Velletri	VE05	Via Campo Sportivo 5	41.4044°	12.4646°
Roma	Velletri	VE05	Via Campo Sportivo 11	41.4044°	12.4646°

**Tabella 62.** Parametri generali del sito in esame



**Figura 37.** Individuazione del sito in esame (immagine da google earth)

### 1.5.2. Determinazione della categoria di sottosuolo

Per la determinazione della categoria di sottosuolo, in assenza di indagini geologiche specifiche per ogni intervento da realizzare, è possibile stimare in via preliminare e con le approssimazioni del caso, la velocità delle onde VS facendo specifico riferimento agli abachi regionali di microzonazione sismica ai sensi della DGR Lazio n. 545 del 26 novembre 2010, forniti sul portale della Regione Lazio. Nello specifico andando ad individuare la carta delle microzone omogenee in prospettiva sismica per il comune di interesse, è possibile risalire alla tipologia del sottosuolo e relativo spessore. Dalla carta riportata in figura 2, si evidenzia che il sito oggetto del presente studio ricade all'interno delle zone stabili suscettibili di amplificazione sismica (Zona 1) che sono caratterizzate dalla presenza depositi piroclastici. In funzione di questo, entrando in via approssimativa nell'abaco ( $V_s/h$ ) riportato in figura 2, relativo alle ghiaie alluvionali, detritiche e sabbie di alterazione, si



determina il valore di  $V_s$  che viene utilizzato per la stima approssimata della categoria di sottosuolo entrando nella tabella 3.2.II del D.M. 17 Gennaio 2018.

<b>GHIAIE ALLUVIONALI</b> <b>GHIAIE DETRITICHE</b> <b>SABBIE DI ALTERAZIONE DA ARENARIE</b> <b>SABBIE DI ALTERAZIONE DA TRAVERTINI</b> <b>SABBIE DI ALTERAZIONI DA TUFI VULCANICI</b>										
FH <sub>0,1-0,5</sub>	Velocità media $V_{SH}$ (m/s)									
	180	250	300	360	400	450	500	600	700	
5	1.3	1.2	1.1	1.1	1.1	1.1	1.0	1.0	1.0	
10			1.4	1.4	1.2	1.2	1.1	1.1	1.0	
15			1.6	1.5	1.3	1.3	1.2	1.1	1.1	
20			1.7	1.6	1.4	1.3	1.2	1.1	1.1	
25			1.6	1.5	1.5	1.4	1.3	1.2	1.1	
30			1.5	1.5	1.5	1.4	1.3	1.2	1.1	
35				1.4	1.4	1.3	1.3	1.2	1.1	
40					1.4	1.3	1.3	1.2	1.1	
45						1.3	1.2	1.2	1.1	

GRADIENTE DI VELOCITA' PER VALIDITA' ABACO

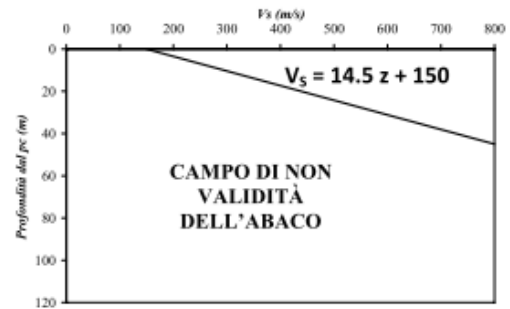


Tabella 63. Abaco per le ghiaie alluvionali, detritiche e sabbie di alterazione

Nello specifico facendo riferimento all'andamento della velocità  $V_s$  con la profondità  $z$  dello strato dal piano campagna, si ottiene un valore delle velocità  $V_s$  pari a:

$$V_s = 14.5 * z + 150 = 512 \text{ m/s}$$

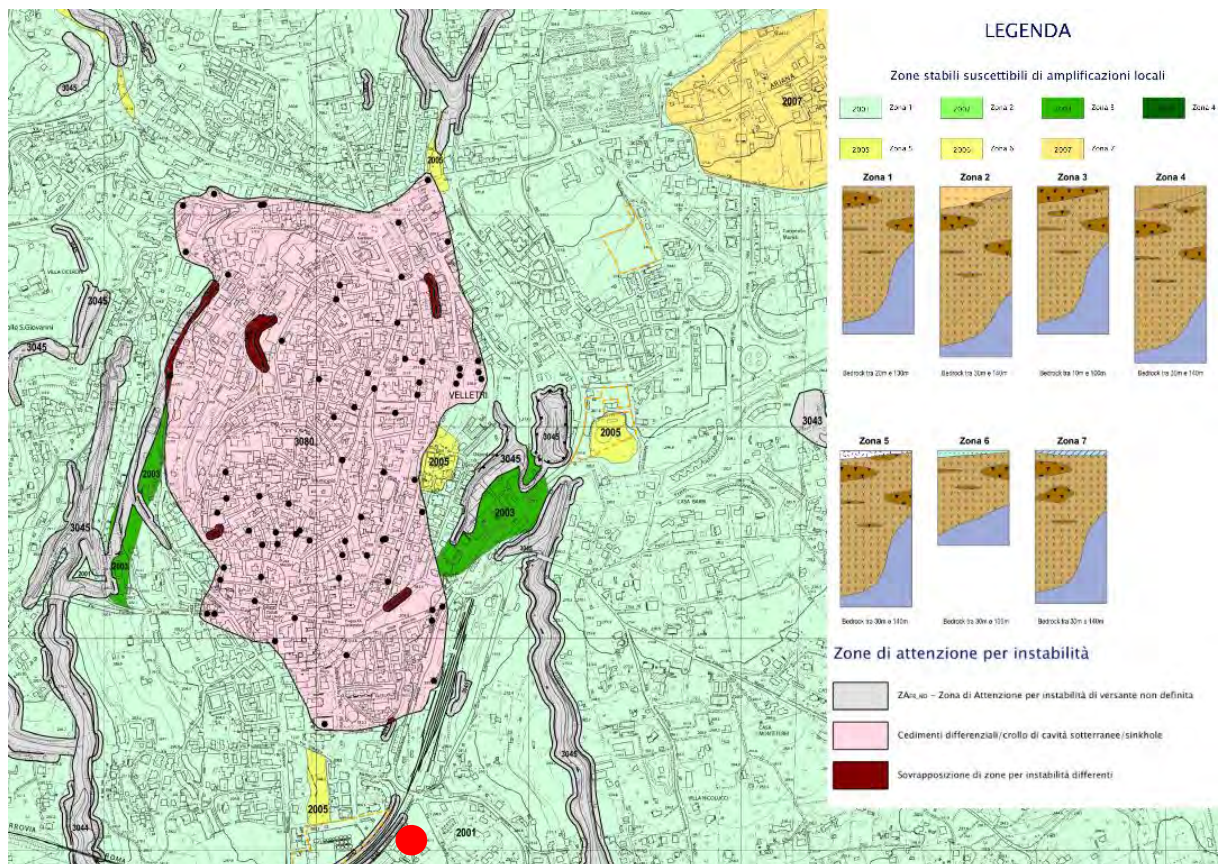


Figura 38. Zona omogenea in prospettiva sismica

In relazione alle formulazioni sopra riportate avendo ottenuto un valore delle Vs pari a 512 m/s ed entrando nella tabella 3 sotto riportata si ottiene una categoria di sottosuolo B “*Depositi di terreni a grana grossa molto addensati o terreni a grana fina molto consistenti*”.

Per le condizioni topografiche che nel caso specifico si configurano in superficiali semplici si può adottare la classificazione riportata nella tabella 4 e nello specifico si ricade nella categoria T1.

Categoria	Descrizione
A	Ammassi rocciosi affioranti o terreni molto rigidi caratterizzati da valori di velocità delle onde di taglio superiori a 800 m/s, eventualmente comprendenti in superficie terreni di caratteristiche meccaniche più scadenti con spessore massimo pari a 3 m.
B	Rocce tenere e depositi di terreni a grana grossa molto addensati o terreni a grana fina molto consistenti, caratterizzati da un miglioramento delle proprietà meccaniche con la profondità e da valori di velocità equivalente compresi tra 360 m/s e 800 m/s.
C	Depositi di terreni a grana grossa mediamente addensati o terreni a grana fina mediamente consistenti con profondità del substrato superiori a 30 m, caratterizzati da un miglioramento delle proprietà meccaniche con la profondità e da valori di velocità equivalente compresi tra 180 m/s e 360 m/s.
D	Depositi di terreni a grana grossa scarsamente addensati o di terreni a grana fina scarsamente consistenti, con profondità del substrato superiori a 30 m, caratterizzati da un miglioramento delle proprietà meccaniche con la profondità e da valori di velocità equivalente compresi tra 100 e 180 m/s.
E	Terreni con caratteristiche e valori di velocità equivalente riconducibili a quelle definite per le categorie C o D, con profondità del substrato non superiore a 30 m.

**Tabella 64.** Tab. 3.2.II – Categorie di sottosuolo che permettono l'utilizzo dell'approccio semplificato

Categoria	Caratteristiche della superficie topografica
T1	Superficie pianeggiante, pendii e rilievi isolati con inclinazione media $i \leq 15^\circ$
T2	Pendii con inclinazione media $i > 15^\circ$
T3	Rilievi con larghezza in cresta molto minore che alla base e inclinazione media $15^\circ \leq i \leq 30^\circ$
T4	Rilievi con larghezza in cresta molto minore che alla base e inclinazione media $i > 30^\circ$

**Tabella 65.** Tab. 3.2. III – Categorie topografiche

### 1.5.3. Analisi sismica

#### 1.5.3.1. Determinazione del fattore di comportamento q

Si riportano in dettaglio le caratteristiche principali della struttura in esame, utili per il calcolo del fattore di comportamento q e dell'azione sismica.

Classe d'uso	Vita nominale	Coeff. Uso	Duttilità	Regolarità in pianta	Regolarità in altezza	Tipologia strutturale
II	50	1	B	si	si	Muratura.

L'analisi strutturale per azioni sismiche utilizzata per la verifica è del tipo lineare (cap. 7.3.1 NTC 2018). Per sistemi non dissipativi (SLE), gli effetti delle azioni sono calcolati riferendosi ad uno spettro di progetto ottenuto assumendo un fattore di comportamento  $q=1$  per lo stato limite di operatività (SLO) (cap. 3.2.3.4 NTC 2018) e un fattore di comportamento  $q \leq 1.5$  per stato limite di danno (SLD) (cap. 3.2.3.5 NTC 2018). Per sistemi dissipativi (SLU), gli effetti delle azioni sono calcolati riferendosi ad uno spettro di progetto ottenuto assumendo un fattore di struttura  $q \geq 1.5$  (cap. 3.2.3.5 NTC 2018).

Il calcolo del fattore di comportamento per i sistemi dissipativi è stato eseguito seguendo quanto riportato al capitolo 7 delle NTC 2018 in funzione dei parametri generali della struttura in esame. Si riportano, in tabella, i valori del fattore di comportamento utili per la valutazione dell'azione sismica nelle tre direzioni:

$q_0$	$\alpha_u/\alpha_i$	$k_r$	$q_x$	$q_y$	$q_z$
$1,75^* \alpha_u/\alpha_i$	1,7	0,8	2,975	2,975	1.5

L'azione sismica viene definita in relazione ad un periodo di riferimento  $V_r$  che si ricava, per ciascun tipo di costruzione, moltiplicandone la vita nominale per il coefficiente d'uso. Fissato il periodo di riferimento  $V_r$  e la probabilità di superamento  $P_{ver}$  associata a ciascuno degli stati limite considerati, si ottiene il periodo di ritorno  $T_r$  e i relativi parametri di pericolosità sismica:

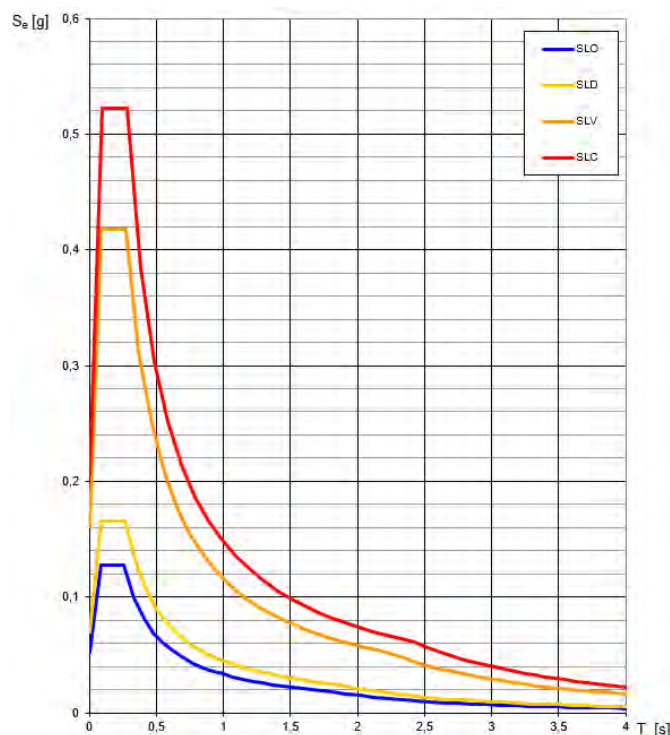
- $a_g$ : accelerazione orizzontale massima del terreno;
- $F_0$ : valore massimo del fattore di amplificazione dello spettro in accelerazione orizzontale;
- $T_c^*$ : periodo di inizio del tratto a velocità costante dello spettro in accelerazione orizzontale.

SLATO LIMITE	$T_R$ [anni]	$a_g$ [g]	$F_0$ [-]	$T_c^*$ [s]
SLO	30	0,052	2,453	0,260
SLD	50	0,069	2,391	0,269
SLV	475	0,161	2,595	0,277
SLC	975	0,206	2,540	0,283

**Tabella 66.** Valori di  $a_g$ ,  $F_0$  e  $T_c^*$  in funzione dei vari stati limite

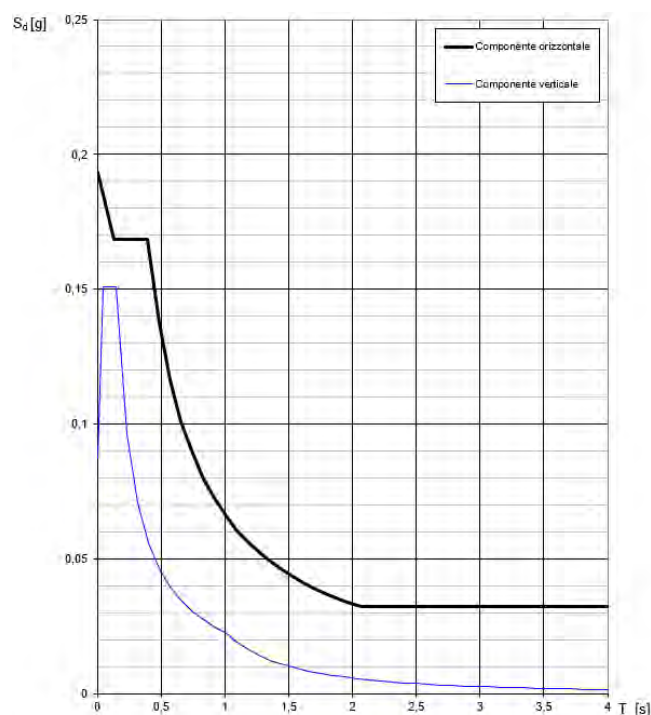


### 1.5.3.2. Spettri di risposta



**Figura 39.** Spettri di risposta elastici per i diversi stati limite

Con l'utilizzo del fattore di comportamento e dei parametri sismici dipendenti dal tipo di struttura in esame, precedentemente calcolati, si sono determinati gli spettri di calcolo agli stati limite SLV e SLD. Nel caso di utilizzo di isolatori sismici si farà riferimento allo spettro ad SLV per la sovrastruttura e ad SLC per gli isolatori. Tali spettri saranno opportunamente scalati in funzione dello smorzamento e del periodo scelto.



**Figura 40.** Spettri di risposta (componenti orizz.\_vert.) per lo SLV

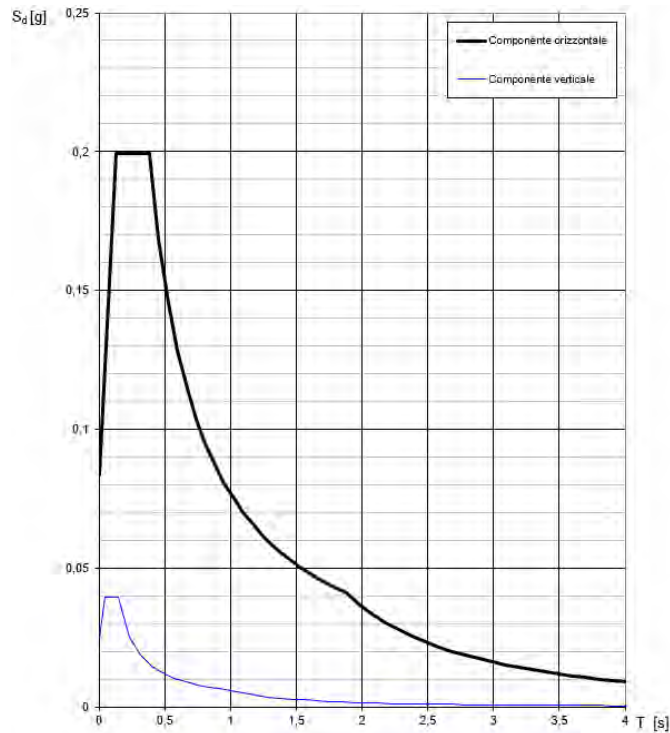


Figura 41. Spettri di risposta (componenti orizz.\_vert.) per lo SLD

#### 1.5.4. Carichi di progetto

##### 1.5.4.1. Carico della neve

Tale calcolo viene effettuato ai sensi di DM del 17 Gennaio 2018 "Norme tecniche per le costruzioni" e della Circolare Ministeriale Applicativa del 21 Gennaio 2019. Il carico neve sulle coperture è valutato con la seguente espressione:

$$q_s = \mu_i * q_{sk} * C_e *$$

dove:

- $\mu_i$  è il coefficiente di forma della copertura;

Coefficiente di forma	$0^\circ \leq \alpha \leq 30^\circ$	$30^\circ < \alpha < 60^\circ$	$\alpha \geq 60^\circ$
$\mu_1$	0,8	$0,8 \cdot \frac{(60 - \alpha)}{30}$	0,0

Tabella 67. Tab. 3.4.II – Valori dei coefficienti di forma

- $q_{sk}$  è il valore di riferimento del carico neve al suolo e dipende dalla zona climatica e dall'altitudine di riferimento del sito  $a_s$ , se è maggiore o inferiore a 200 m;

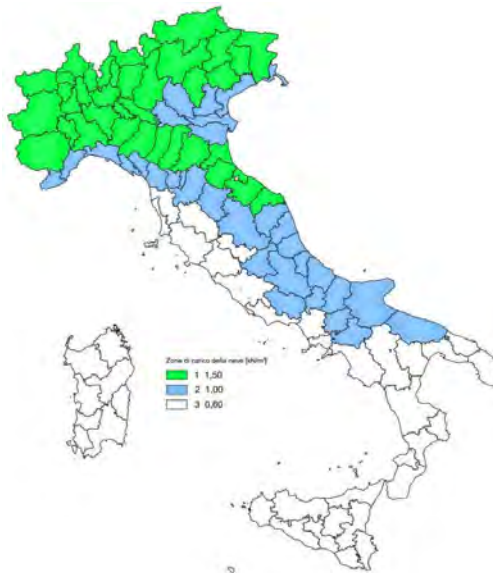


Figura 42. Zone di carico della neve

- $C_e$  è il coefficiente di esposizione che viene utilizzato per modificare il carico neve in funzione delle caratteristiche dell'area in cui sorge l'opera;

Topografia	Descrizione	$C_e$
Battuta dai venti	Aree pianeggianti non ostruite esposte su tutti i lati, senza costruzioni o alberi più alti	0,9
Normale	Aree in cui non è presente una significativa rimozione di neve sulla costruzione prodotta dal vento, a causa del terreno, altre costruzioni o alberi	1,0
Riparata	Aree in cui la costruzione considerata è sensibilmente più bassa del circostante terreno o circondata da costruzioni o alberi più alti	1,1

Tabella 68. Tab. 3.4.I – Valori di  $C_z$  per diverse classi di esposizione

- $C_t$  è il coefficiente termico, generalmente assunto pari a 1;

Si assume che la neve non sia impedita di scivolare e si calcola il valore del carico neve in copertura:

Zona	$s$ (m)	$q_{sk}$ (daN/m <sup>2</sup> )	$\mu_i$	$C_e$	$C_t$	$q_s$ (daN/m <sup>2</sup> )
III	298	71	0,8	1	1	56

Tabella 69. Determinazione del carico da neve in copertura

#### 1.5.4.2. Carico del vento

La velocità base di riferimento del vento  $v_b$  è il valore medio su 10 minuti, a 10 m di altezza sul suolo su un terreno pianeggiante e omogeneo di categoria di esposizione II, riferito ad un periodo di ritorno  $T_r = 50$  anni, ed è pari a:

$$v_b = v_{b0} * C_a$$

dove:

- $v_{b0}$  è la velocità base di riferimento al livello del mare, assegnata nella Tab.3.3.I in funzione della zona in cui sorge la costruzione;



- $c_a$  è il coefficiente di altitudine fornito dalla relazione

$$c_a = 1 \quad \text{per } a_s \leq a_0$$

$$c_a = 1 + k_s * (a_s/a_0 - 1) \quad \text{per } a_0 < a_s \leq 1500 \text{ m}$$

dove:

- $a_0, k_s$  sono parametri forniti nella Tab.3.3.I in funzione della zona in cui sorge la costruzione;
- $a_s$  è l'altitudine sul livello del mare del sito ove sorge la costruzione.

Zona	Descrizione	$v_{b,0}$ [m/s]	$a_0$ [m]	$k_s$
1	Valle d'Aosta, Piemonte, Lombardia, Trentino Alto Adige, Veneto, Friuli Venezia Giulia (con l'eccezione della provincia di Trieste)	25	1000	0,40
2	Emilia Romagna	25	750	0,45
3	Toscana, Marche, Umbria, Lazio, Abruzzo, Molise, Puglia, Campania, Basilicata, Calabria (esclusa la provincia di Reggio Calabria)	27	500	0,37
4	Sicilia e provincia di Reggio Calabria	28	500	0,36
5	Sardegna (zona a oriente della retta congiungente Capo Teulada con l'Isola di Maddalena)	28	750	0,40
6	Sardegna (zona a occidente della retta congiungente Capo Teulada con l'Isola di Maddalena)	28	500	0,36
7	Liguria	28	1000	0,54
8	Provincia di Trieste	30	1500	0,50
9	Isole (con l'eccezione di Sicilia e Sardegna) e mare aperto	31	500	0,32



**Figura 43.** Valori dei parametri  $v_{b0}, a_0, k_s$

**Figura 44.** Mappa delle zone in cui è suddiviso il territorio italiano

La velocità di riferimento  $v_r$  è il valore medio su 10 minuti, a 10 m di altezza dal suolo su un terreno pianeggiante e omogeneo di categoria di esposizione II, riferito al periodo di ritorno di progetto  $T_r$ .

$$v_r = v_b * c_r$$

- $v_b$  è la velocità base di riferimento al livello del mare, assegnata
- $c_r$  è il coefficiente di ritorno, funzione del periodo di ritorno di progetto  $T_r$  fornito dalla relazione

$$c_r = 0.75 * \sqrt{1 - 0.2 * \ln[-\ln * (1 - 1/T_r)]}$$

Quindi:

$v_{b0}$ (m/s)	$a_s$	$c_a$	$v_b$	$T_r$	$c_r$	$v_r$ (m/s)
27	298	1	27	50	1,0007	27.02

La pressione del vento è data dall'espressione:

$$p = q_r * c_e * c_p * c_d$$

dove:

- $q_r$  è la pressione cinetica di riferimento data dall'espressione

$$q_r = \frac{1}{2} * \rho * v_r^2 \quad \text{in cui } \rho \text{ è la densità dell'aria pari a } 1.25 \text{ kg/m}^3$$

•  $c_e$  è il coefficiente di esposizione che dipende dall'altezza  $z$  sul suolo del punto considerato, dalla topografia del terreno e dalla categoria di esposizione del sito ove sorge la costruzione. Per altezze sul suolo non maggiori di 200 m è dato dalla formula:

$$c_e(z) = k_r^2 * c_t * \ln(z/z_0) * [7 + c_t * \ln(z/z_0)] \quad \text{per } z \geq z_{min}$$

$$c_e(z) = c_e(z_{min}) \quad \text{per } z < z_{min}$$

dove:

- $k_r$ ,  $z_0$ ,  $z_{min}$  sono assegnati in Tab.3.3.II in funzione della categoria di esposizione del sito.
- $c_t$  è il coefficiente di topografia, posto generalmente uguale a 1.

Categoria di esposizione del sito	$K_r$	$z_0$ [m]	$z_{min}$ [m]
I	0,17	0,01	2
II	0,19	0,05	4
III	0,20	0,10	5
IV	0,22	0,30	8
V	0,23	0,70	12

**Tabella 70.** Parametri per la definizione del coefficiente di esposizione

Classe di rugosità del terreno	Descrizione
A	Aree urbane in cui almeno il 15% della superficie sia coperto da edifici la cui altezza media non superi i 15 m
B	Aree urbane (non di classe A), suburbane, industriali e boschive
C	Aree con ostacoli diffusi (alberi, case, muri, recinzioni...); aree con rugosità non riconducibile alle classi A, B, e D
D	a) Mare e relativa fascia costiera (entro 2 km dalla costa); b) Lago (con larghezza massima pari ad almeno 1 km) e relativa fascia costiera (entro 1 km dalla costa); c) Aree prive di ostacoli o con al più rari ostacoli isolati (aperta campagna, aeroporti, aree agricole, pascoli, zone paludose o sabbiose, superfici innevate o ghiacciate, ...)

**Tabella 71.** Classi di rugosità del terreno

ZONE 1,2,3,4,5						
	costa	mare	2 km	10 km	30 km	750m
A	--	IV	IV	V	V	V
B	--	III	III	IV	IV	IV
C	--	*	III	III	IV	IV
D	I	II	II	II	III	**
* Categoria II in zona 1,2,3,4 Categoria III in zona 5						
** Categoria III in zona 2,3,4,5 Categoria IV in zona 1						

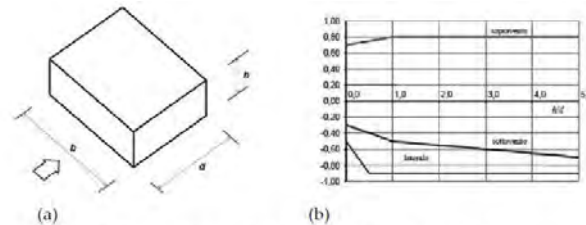
**Tabella 72.** Definizione delle categorie di esposizione

$q_r$	Rugosità	Esposizione	$c_e(z)$	$c_e(z_{min})$
456	B	III	2,246	1,708

**Tabella 73.** Definizione dei coefficienti di esposizione

•  $c_p$  è il coefficiente di pressione e dipende dalla tipologia, dalla geometria della costruzione e dal suo orientamento rispetto alla direzione del vento. Il coefficiente globale  $c_{pe}$  che può essere

utilizzato in tutti i casi in cui la rappresentazione delle azioni aereodinamiche del vento possa essere effettuata in maniera semplificata, rivolta alla valutazione delle azioni globali su porzioni estese di costruzioni o delle risultanti delle azioni indotte dal vento sugli elementi principali della struttura. I coefficienti  $c_{pe}$  da assumere sulle pareti dell'edificio a pianta rettangolare sono diagrammati in base al rapporto  $h/d$ , avendo indicato con  $h$  l'altezza del manufatto e con  $d$  la profondità dell'edificio, valutata parallelamente al flusso di lavoro:



a) Parametri caratteristici di edifici a pianta rettangolare,  
b) Edifici a pianta rettangolare:  $c_{pe}$  per facce sopravvento, sottovento e laterali  
Figura C3.3.2

Tabella C3.3.I: Edifici a pianta rettangolare:  $c_{pe}$  per facce sopravvento, sottovento e laterali

Faccia sopravvento	$C_U = 2,0$	$C_U = 1,5$
$h/d \leq 1$ : $c_{pe} = 0,7 + 0,1 \cdot h/d$	$h/d \leq 0,5$ : $c_{pe} = -0,5 - 0,8 \cdot h/d$	$h/d \leq 1$ : $c_{pe} = -0,3 - 0,2 \cdot h/d$
$h/d > 1$ : $c_{pe} = 0,8$	$h/d > 0,5$ : $c_{pe} = -0,9$	$1 < h/d \leq 5$ : $c_{pe} = -0,5 - 0,05 \cdot (h/d - 1)$

Tabella 74. Coefficienti di pressione delle facciate secondo NTC2018

Quindi i coefficienti per le facce sopravvento e sottovento sono:

b	d	h	h/d	$C_{pe}$ -sopravento	$C_{pe}$ -sottovento
24,50	9,5	11,8	1,24	0,80	-0,51

Tabella 75. Definizione dei coefficienti di pressione

## COPERTURA A DOPPIA FALDA

Per le coperture a doppia falda, i coefficienti globali da assumere, nel caso di vento perpendicolare alla direzione del colmo, sono quelli per le coperture a falda singola.

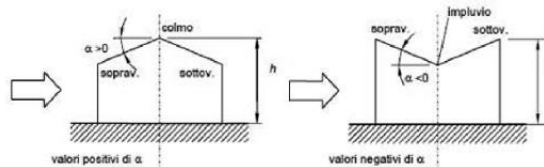


Figura 45. Schema di riferimento per coperture a doppia falda

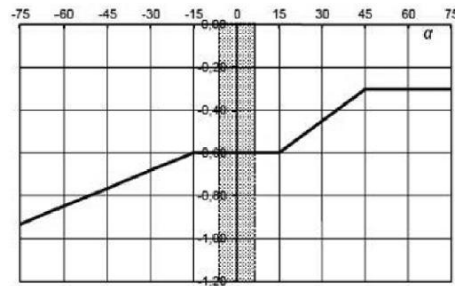
Valori negativi		Valori positivi	
$\alpha \leq -60^\circ$	$c_{pe} = -0,5$	$0^\circ \leq \alpha \leq 45^\circ$	$c_{pe} = +\alpha/75$
$-60^\circ \leq \alpha \leq -15^\circ$	$c_{pe} = -0,5 - (\alpha + 60)/90$	$45^\circ \leq \alpha \leq 75^\circ$	$c_{pe} = +0,6 + (\alpha - 45)/150$
$-15^\circ \leq \alpha \leq 30^\circ$	$c_{pe} = -1,0 + (\alpha + 15)/75$		
$30^\circ \leq \alpha \leq 45^\circ$	$c_{pe} = -0,4 + (\alpha - 30)/37,5$		

Tabella 76. Coperture a doppia falda, valori del  $c_{pe}$  con vento perpendicolare al colmo

Per la falda sottovento si fa riferimento ai valori riportati di seguito:

$-75^\circ \leq \alpha \leq -15^\circ$	$c_{pe} = -0,85 + (\alpha + 60)/180$
$-15^\circ \leq \alpha \leq 15^\circ$	$c_{pe} = -0,6$
$15^\circ \leq \alpha \leq 45^\circ$	$c_{pe} = -0,6 + (\alpha - 15)/100$
$45^\circ \leq \alpha$	$c_{pe} = -0,3$

**Tabella 77.** Coperture a doppia falda, valori del  $c_{pe}$  con vento perpendicolare al colmo



**Figura 46.** Coperture a doppia falda, grafico del  $c_{pe}$  con vento perpendicolare al colmo

Le pressioni interne agli edifici dipendono dalla superficie delle aperture che questi presentano verso l'esterno. Nel caso in esame si assumono valori del coefficiente di pressione interno pari a  $c_{pi} = +0,2$  e  $c_{pi} = -0,30$ , considerando il caso che di volta in volta conduce alla situazione maggiormente gravosa.

- $c_d$  è il coefficiente dinamico e può essere assunto cautelativamente pari a 1 nelle costruzioni di tipologia ricorrente quali gli edifici di forma regolare non eccedenti 80 m in altezza e capannoni industriali.

In funzione dei coefficienti analizzati e della pressione cinetica di riferimento, si calcola la pressione del vento per la copertura e per le facciate sopravento e sottovento considerando i valori massimi e minimi.

Facciata	Sopravento	Sottovento
$p_{min}$ (daN/m <sup>2</sup> )	467	-633
$p_{max}$ (daN/m <sup>2</sup> )	615	-832
Copertura	Sopravento	Sottovento
$p$ (daN/m <sup>2</sup> )	-717	-717

### **1.5.5. Interventi per il miglioramento sismico – edifici in muratura**

Gli interventi previsti per la riduzione del rischio sismico si dividono in:

- interventi che possono consentire il miglioramento di almeno due Classi di Rischio o l'adeguamento sismico.

La tipologia di interventi considerati riguarda l'utilizzo di:

- cappotto sismico applicato alle pareti esterne dell'edificio.

Questa tipologia di interventi, viene presa in considerazione nel caso in cui le lavorazioni vengono eseguite senza dover in alcun modo evacuare gli inquilini dell'edificio, e quando la struttura risulta regolare in pianta e in altezza. Per gli edifici in cemento armato, nel caso di struttura a telai in entrambe le direzioni, è prevista la possibilità di ritenere valido il passaggio di più Classi di Rischio con la possibilità di raggiungere l'adeguamento sismico a seconda della tipologia di struttura.

#### **1.5.5.1. Sintesi degli interventi previsti**

##### **CAPPOTTO SISMICO**

Il cappotto sismico viene applicato sulle facciate esterne dell'edificio al fine di realizzare una nuova "pelle" sismo-resistente. E' costituito da una lastra sottile in calcestruzzo armato gettato in opera all'interno di due strati di materiale isolante, preinseriti in una maglia tridimensionale in acciaio zincato. La lastra in calcestruzzo può avere spessori variabili in base alla tipologia di intervento e nel caso in esame si ipotizza uno spessore di circa 8-10 cm; a livello delle travi esterne di piano si realizza un nuovo cordolo dello spessore della lastra più la larghezza dello strato di isolante addossato alla parete di circa 4 cm.

Il getto e l'armatura di rinforzo vengono resi solidali alla struttura esistente mediante, sia l'inserimento di connettori disposti a livello dei cordoli di piano e, se necessario, sui pilastri, sia disponendo opportuni ancoraggi sulla fondazione esistente o su una nuova fondazione addossata a quella esistente

La maglia tridimensionale in acciaio zincato consente di semplificare le operazioni di posa in opera delle armature strutturali, di minimizzare gli sfridi di cantiere e di realizzare uno strato di finitura ad intonaco particolarmente solida che garantisce la massima protezione del materiale isolante da urti accidentali ed agenti atmosferici.

Le norme NTC18 trattano le pareti in calcestruzzo soltanto per quanto riguarda le prescrizioni da seguire per strutture a comportamento dissipativo. Le lastre in calcestruzzo vengono invece dimensionate per garantire un comportamento elastico e non dissipativo nei confronti dell'azione sismica di progetto, rientrando nella tipologia di "strutture non dissipative". Per questo motivo le verifiche in resistenza degli elementi in calcestruzzo vengono effettuate seguendo l'approccio fornito dalla norma per gli elementi strutturali a comportamento non dissipativo, contenute nel

capitolo 4 delle NTC18 mentre le prescrizioni contenute nel capitolo 7 non risultano vincolanti per il dimensionamento delle pareti.

Per quanto riguarda le connessioni tra edificio esistente e cappotto sismico, la valutazione analitica della resistenza degli ancoraggi metallici per calcestruzzo può essere effettuata secondo le linee guida definite dal documento ETAG001-1997: "Linee guida per il benessere tecnico europeo di ancoraggi metallici da utilizzare nel calcestruzzo" e dai relativi allegati.

#### **1.5.6. Conclusioni**

Per quanto concerne gli aspetti prettamente strutturali, l'intervento di miglioramento sismico adottato per la tipologia oggetto della presente relazione, prevede l'utilizzo di un cappotto sismico, un sistema integrato di rafforzamento strutturale e miglioramento del benessere termoigrometrico dell'edificio. Questo intervento, oltre a non interrompere il normale esercizio della struttura permette la riduzione delle tempistiche del cantiere, in quanto i moduli da applicare sulle pareti esterne, risultano prefabbricati e sono comprensivi delle varie forometrie; in cantiere, l'attività sarà quella di prevedere il collegamento con la struttura esistente e la realizzazione del getto all'interno del cassero e, se necessario, il getto armato della nuova porzione di fondazione.

Gli interventi strutturali previsti sono mirati al miglioramento sismico attraverso l'incremento di almeno due Classi di Rischio o l'adeguamento sismico, da valutare nel dettaglio nelle fasi progettuali successive. Con ciò si intende il miglioramento del rischio della costruzione con incidenza sul valore PAM e sulla capacità che la struttura possiede rispetto allo stato limite della salvaguardia sulla vita. Tale valore è stato valutato come rapporto tra PGAA (SLV) anteoperam e la PGAp (SLV) postoperam, determinata attraverso il metodo convenzionale nel rispetto della normativa vigente (NTC 2018) e della circolare ministeriale applicativa del 21 gennaio 2019.



## 1.6. Tipologia VE06

### 1.6.1. Individuazione dei siti in esame

Di seguito si riporta una tabella che riassume i parametri generali del sito in esame, con gli identificativi e le coordinate dei punti che includono gli edifici.

Provincia	Comune	Tipologia	Via	Latitudine	Longitudine
Roma	Velletri	VE06	Via Fontana delle Rose 205 – scala A	41.4128°	12.4620°

**Tabella 78.** Parametri generali del sito in esame



**Figura 47.** Individuazione del sito in esame (immagine da google earth)

### 1.6.2. Determinazione della categoria di sottosuolo

Per la determinazione della categoria di sottosuolo, in assenza di indagini geologiche specifiche per ogni intervento da realizzare, è possibile stimare in via preliminare e con le approssimazioni del caso, la velocità delle onde VS facendo specifico riferimento agli abachi regionali di microzonazione sismica ai sensi della DGR Lazio n. 545 del 26 novembre 2010, forniti sul portale della Regione Lazio. Nello specifico andando ad individuare la carta delle microzone omogenee in prospettiva sismica per il comune di interesse, è possibile risalire alla tipologia del sottosuolo e relativo spessore. Dalla carta riportata in figura 2, si evidenzia che il sito oggetto del presente studio ricade all'interno delle zone stabili suscettibili di amplificazione sismica (Zona 1) che sono caratterizzate dalla presenza depositi piroclastici. In funzione di questo, entrando in via approssimativa nell'abaco



(Vs/h) riportato in figura 2, relativo alle ghiaie alluvionali, detritiche e sabbie di alterazione, si determina il valore di Vs che viene utilizzato per la stima approssimata della categoria di sottosuolo entrando nella tabella 3.2.II del D.M. 17 Gennaio 2018.

GHIAIE ALLUVIONALI GHIAIE DETRITICHE SABBIE DI ALTERAZIONE DA ARENARIE SABBIE DI ALTERAZIONE DA TRAVERTINI SABBIE DI ALTERAZIONI DA TUFI VULCANICI										
FH <sub>0,1-0,5</sub>		Velocità media V <sub>SH</sub> (m/s)								
Profondità dal pc H (m)		180	250	300	360	400	450	500	600	700
	5	1.3	1.2	1.1	1.1	1.1	1.1	1.0	1.0	1.0
	10			1.4	1.4	1.2	1.2	1.1	1.1	1.0
	15			1.6	1.5	1.3	1.3	1.2	1.1	1.1
	20			1.7	1.6	1.4	1.3	1.2	1.1	1.1
	25			1.6	1.5	1.5	1.4	1.3	1.2	1.1
	30			1.5	1.5	1.5	1.4	1.3	1.2	1.1
	35				1.4	1.4	1.3	1.3	1.2	1.1
	40					1.4	1.3	1.3	1.2	1.1
	45						1.3	1.2	1.2	1.1

GRADIENTE DI VELOCITA' PER VALIDITA' ABACO

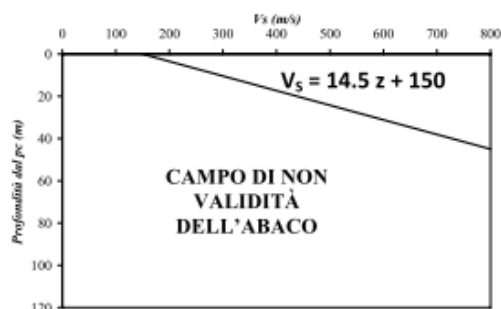


Tabella 79. Abaco per le ghiaie alluvionali, detritiche e sabbie di alterazione

Nello specifico facendo riferimento all'andamento della velocità Vs con la profondità z dello strato dal piano campagna, si ottiene un valore delle velocità Vs pari a:

$$V_s = 14.5 * z + 150 = 512 \text{ m/s}$$

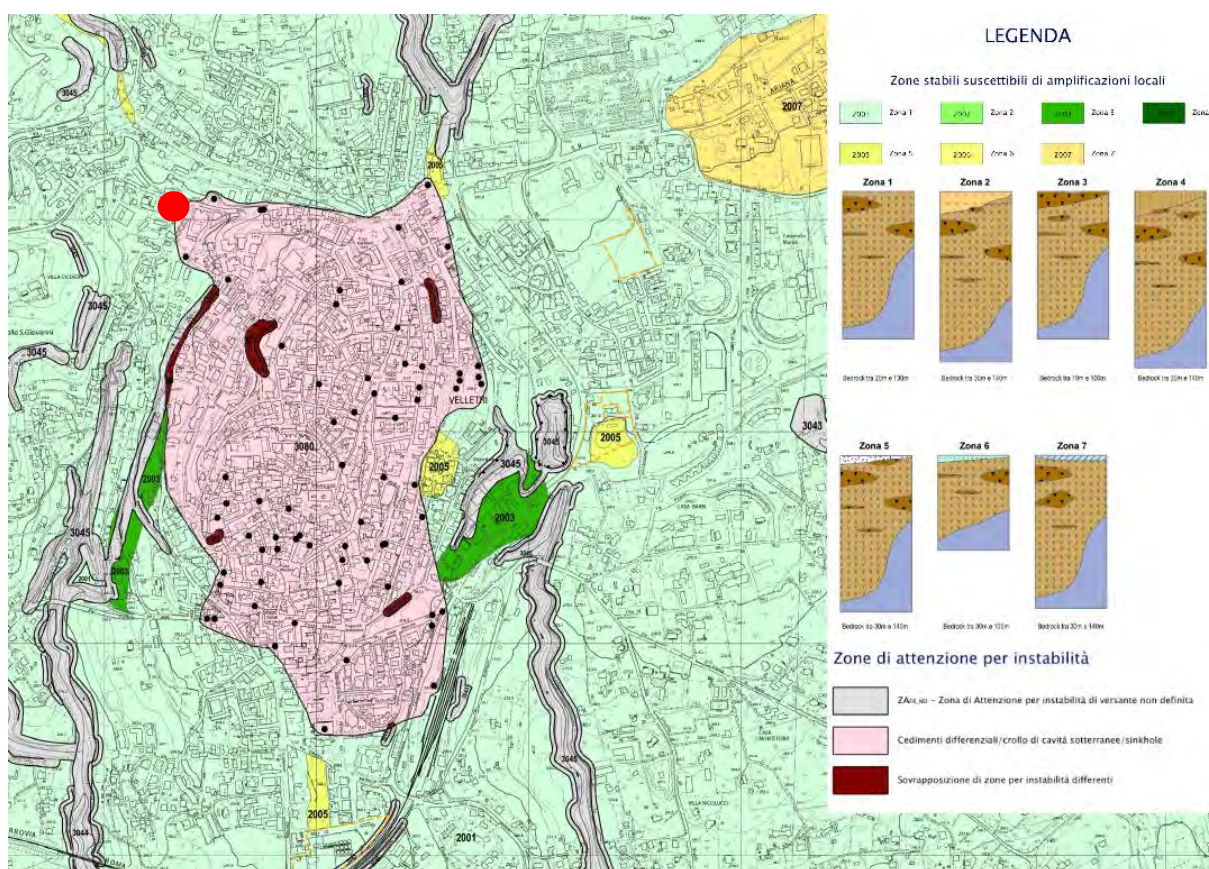


Figura 48. Zona omogenea in prospettiva sismica

In relazione alle formulazioni sopra riportate avendo ottenuto un valore delle Vs pari a 512 m/s ed entrando nella tabella 3 sotto riportata si ottiene una categoria di sottosuolo B “*Depositi di terreni a grana grossa molto addensati o terreni a grana fina molto consistenti*”.

Per le condizioni topografiche che nel caso specifico si configurano in superficiali semplici si può adottare la classificazione riportata nella tabella 4 e nello specifico si ricade nella categoria T1.

Categoria	Descrizione
A	Ammassi rocciosi affioranti o terreni molto rigidi caratterizzati da valori di velocità delle onde di taglio superiori a 800 m/s, eventualmente comprendenti in superficie terreni di caratteristiche meccaniche più scadenti con spessore massimo pari a 3 m.
B	Rocce tenere e depositi di terreni a grana grossa molto addensati o terreni a grana fina molto consistenti, caratterizzati da un miglioramento delle proprietà meccaniche con la profondità e da valori di velocità equivalente compresi tra 360 m/s e 800 m/s.
C	Depositi di terreni a grana grossa mediamente addensati o terreni a grana fina mediamente consistenti con profondità del substrato superiori a 30 m, caratterizzati da un miglioramento delle proprietà meccaniche con la profondità e da valori di velocità equivalente compresi tra 180 m/s e 360 m/s.
D	Depositi di terreni a grana grossa scarsamente addensati o di terreni a grana fina scarsamente consistenti, con profondità del substrato superiori a 30 m, caratterizzati da un miglioramento delle proprietà meccaniche con la profondità e da valori di velocità equivalente compresi tra 100 e 180 m/s.
E	Terreni con caratteristiche e valori di velocità equivalente riconducibili a quelle definite per le categorie C o D, con profondità del substrato non superiore a 30 m.

**Tabella 80.** Tab. 3.2.II – Categorie di sottosuolo che permettono l'utilizzo dell'approccio semplificato

Categoria	Caratteristiche della superficie topografica
T1	Superficie pianeggiante, pendii e rilievi isolati con inclinazione media $i \leq 15^\circ$
T2	Pendii con inclinazione media $i > 15^\circ$
T3	Rilievi con larghezza in cresta molto minore che alla base e inclinazione media $15^\circ \leq i \leq 30^\circ$
T4	Rilievi con larghezza in cresta molto minore che alla base e inclinazione media $i > 30^\circ$

**Tabella 81.** Tab. 3.2. III – Categorie topografiche

### 1.6.3. Analisi sismica

#### 1.6.3.1. Determinazione del fattore di comportamento q

Si riportano in dettaglio le caratteristiche principali della struttura in esame, utili per il calcolo del fattore di comportamento q e dell'azione sismica.

Classe d'uso	Vita nominale	Coeff. Uso	Duttilità	Regolarità in pianta	Regolarità in altezza	Tipologia strutturale
II	50	1	B	si	si	Muratura.

L'analisi strutturale per azioni sismiche utilizzata per la verifica è del tipo lineare (cap. 7.3.1 NTC 2018). Per sistemi non dissipativi (SLE), gli effetti delle azioni sono calcolati riferendosi ad uno spettro di progetto ottenuto assumendo un fattore di comportamento  $q=1$  per lo stato limite di operatività (SLO) (cap. 3.2.3.4 NTC 2018) e un fattore di comportamento  $q \leq 1.5$  per stato limite di danno (SLD) (cap. 3.2.3.5 NTC 2018). Per sistemi dissipativi (SLU), gli effetti delle azioni sono calcolati riferendosi ad uno spettro di progetto ottenuto assumendo un fattore di struttura  $q \geq 1.5$  (cap. 3.2.3.5 NTC 2018).

Il calcolo del fattore di comportamento per i sistemi dissipativi è stato eseguito seguendo quanto riportato al capitolo 7 delle NTC 2018 in funzione dei parametri generali della struttura in esame. Si riportano, in tabella, i valori del fattore di comportamento utili per la valutazione dell'azione sismica nelle tre direzioni:

$q_0$	$\alpha_u/\alpha_i$	$k_r$	$q_x$	$q_y$	$q_z$
$1,75^* \alpha_u/\alpha_i$	1,7	1	2.975	2.975	1.5

L'azione sismica viene definita in relazione ad un periodo di riferimento  $V_r$  che si ricava, per ciascun tipo di costruzione, moltiplicandone la vita nominale per il coefficiente d'uso. Fissato il periodo di riferimento  $V_r$  e la probabilità di superamento  $P_{ver}$  associata a ciascuno degli stati limite considerati, si ottiene il periodo di ritorno  $T_r$  e i relativi parametri di pericolosità sismica:

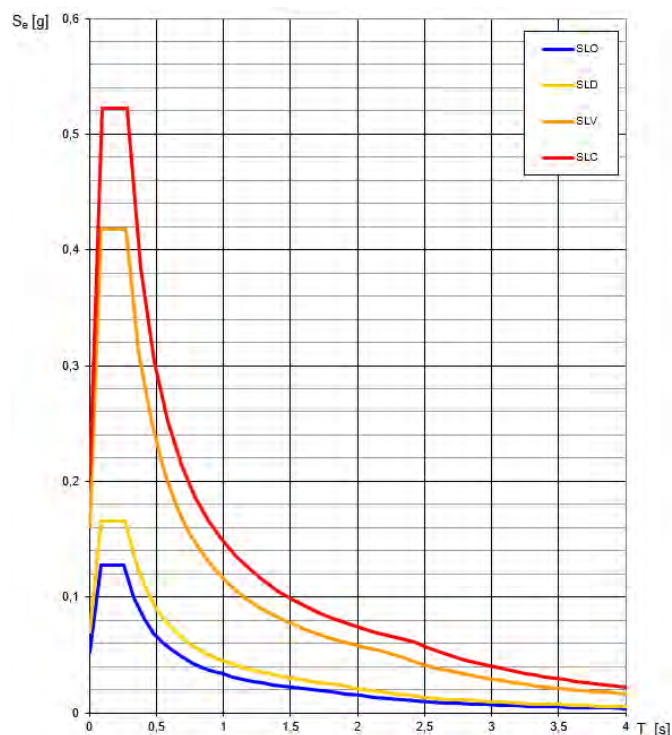
- $a_g$ : accelerazione orizzontale massima del terreno;
- $F_0$ : valore massimo del fattore di amplificazione dello spettro in accelerazione orizzontale;
- $T_c^*$ : periodo di inizio del tratto a velocità costante dello spettro in accelerazione orizzontale.

SLATO LIMITE	$T_R$ [anni]	$a_g$ [g]	$F_0$ [-]	$T_c^*$ [s]
SLO	30	0,052	2,453	0,260
SLD	50	0,069	2,391	0,269
SLV	475	0,161	2,595	0,277
SLC	975	0,206	2,540	0,283

**Tabella 82.** Valori di  $a_g$ ,  $F_0$  e  $T_c^*$  in funzione dei vari stati limite

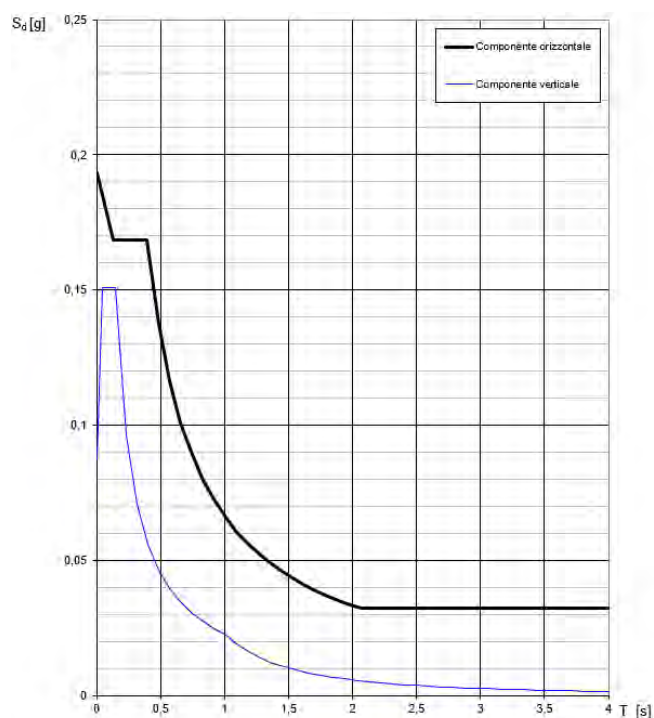


### 1.6.3.2. Spettri di risposta



**Figura 49.** Spettri di risposta elastici per i diversi stati limite

Con l'utilizzo del fattore di comportamento e dei parametri sismici dipendenti dal tipo di struttura in esame, precedentemente calcolati, si sono determinati gli spettri di calcolo agli stati limite SLV e SLD. Nel caso di utilizzo di isolatori sismici si farà riferimento allo spettro ad SLV per la sovrastruttura e ad SLC per gli isolatori. Tali spettri saranno opportunamente scalati in funzione dello smorzamento e del periodo scelto.



**Figura 50.** Spettri di risposta (componenti orizz.\_vert.) per lo SLV

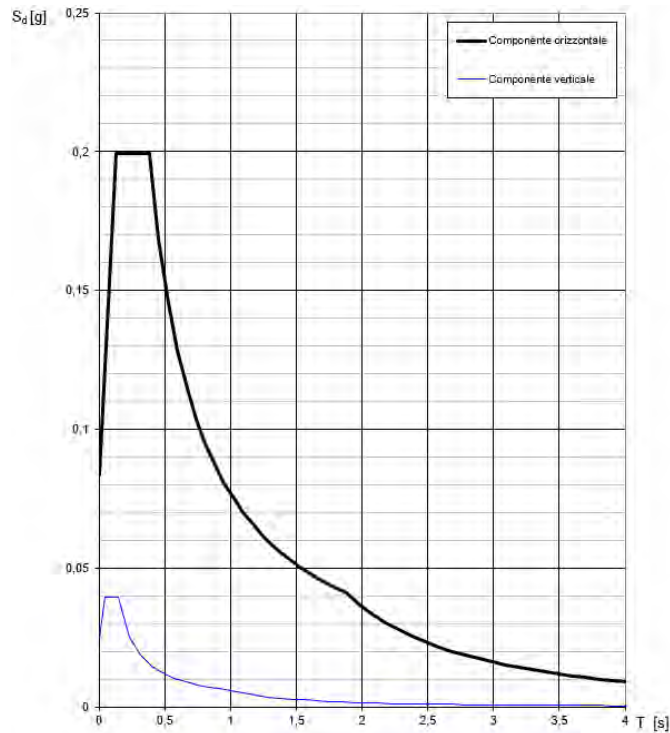


Figura 51. Spettri di risposta (componenti orizz.\_vert.) per lo SLD

#### 1.6.4. Carichi di progetto

##### 1.6.4.1. Carico della neve

Tale calcolo viene effettuato ai sensi di DM del 17 Gennaio 2018 "Norme tecniche per le costruzioni" e della Circolare Ministeriale Applicativa del 21 Gennaio 2019. Il carico neve sulle coperture è valutato con la seguente espressione:

$$q_s = \mu_i * q_{sk} * C_e *$$

dove:

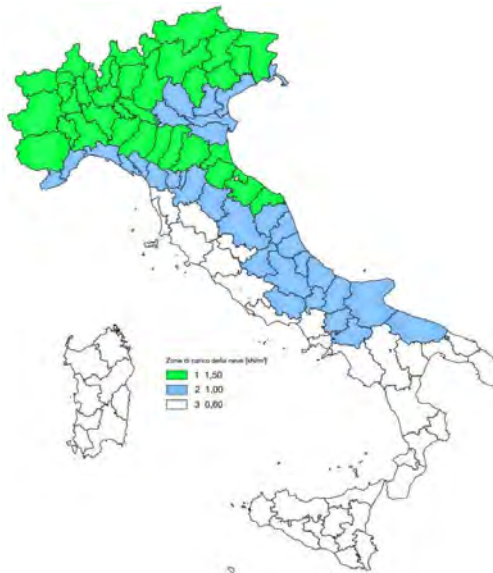
- $\mu_i$  è il coefficiente di forma della copertura;

Coefficiente di forma	$0^\circ \leq \alpha \leq 30^\circ$	$30^\circ < \alpha < 60^\circ$	$\alpha \geq 60^\circ$
$\mu_1$	0,8	$0,8 \cdot \frac{(60 - \alpha)}{30}$	0,0

Tabella 83. Tab. 3.4.II – Valori dei coefficienti di forma

- $q_{sk}$  è il valore di riferimento del carico neve al suolo e dipende dalla zona climatica e dall'altitudine di riferimento del sito  $a_s$ , se è maggiore o inferiore a 200 m;





**Figura 52.** Zone di carico della neve

- $C_e$  è il coefficiente di esposizione che viene utilizzato per modificare il carico neve in funzione delle caratteristiche dell'area in cui sorge l'opera;

Topografia	Descrizione	$C_e$
Battuta dai venti	Aree pianeggianti non ostruite esposte su tutti i lati, senza costruzioni o alberi più alti	0,9
Normale	Aree in cui non è presente una significativa rimozione di neve sulla costruzione prodotta dal vento, a causa del terreno, altre costruzioni o alberi	1,0
Riparata	Aree in cui la costruzione considerata è sensibilmente più bassa del circostante terreno o circondata da costruzioni o alberi più alti	1,1

**Tabella 84.** Tab. 3.4.I – Valori di  $C_z$  per diverse classi di esposizione

- $C_t$  è il coefficiente termico, generalmente assunto pari a 1;

Si assume che la neve non sia impedita di scivolare e si calcola il valore del carico neve in copertura:

Zona	$s$ (m)	$q_{sk}$ (daN/m <sup>2</sup> )	$\mu_i$	$C_e$	$C_t$	$q_s$ (daN/m <sup>2</sup> )
III	320	74	0,8	1	1	59

**Tabella 85.** Determinazione del carico da neve in copertura

#### 1.6.4.2. Carico del vento

La velocità base di riferimento del vento  $v_b$  è il valore medio su 10 minuti, a 10 m di altezza sul suolo su un terreno pianeggiante e omogeneo di categoria di esposizione II, riferito ad un periodo di ritorno  $T_r = 50$  anni, ed è pari a:

$$v_b = v_{b0} * c_a$$

dove:

- $v_{b0}$  è la velocità base di riferimento al livello del mare, assegnata nella Tab.3.3.I in funzione della zona in cui sorge la costruzione;

- $c_a$  è il coefficiente di altitudine fornito dalla relazione

$$c_a = 1 \quad \text{per } a_s \leq a_0$$

$$c_a = 1 + k_s * (a_s/a_0 - 1) \quad \text{per } a_0 < a_s \leq 1500 \text{ m}$$

dove:

- $a_0, k_s$  sono parametri forniti nella Tab.3.3.I in funzione della zona in cui sorge la costruzione;
- $a_s$  è l'altitudine sul livello del mare del sito ove sorge la costruzione.

Zona	Descrizione	$v_{b,0}$ [m/s]	$a_0$ [m]	$k_s$
1	Valle d'Aosta, Piemonte, Lombardia, Trentino Alto Adige, Veneto, Friuli Venezia Giulia (con l'eccezione della provincia di Trieste)	25	1000	0,40
2	Emilia Romagna	25	750	0,45
3	Toscana, Marche, Umbria, Lazio, Abruzzo, Molise, Puglia, Campania, Basilicata, Calabria (esclusa la provincia di Reggio Calabria)	27	500	0,37
4	Sicilia e provincia di Reggio Calabria	28	500	0,36
5	Sardegna (zona a oriente della retta congiungente Capo Teulada con l'Isola di Maddalena)	28	750	0,40
6	Sardegna (zona a occidente della retta congiungente Capo Teulada con l'Isola di Maddalena)	28	500	0,36
7	Liguria	28	1000	0,54
8	Provincia di Trieste	30	1500	0,50
9	Isole (con l'eccezione di Sicilia e Sardegna) e mare aperto	31	500	0,32



**Figura 53.** Valori dei parametri  $v_{b0}, a_0, k_s$

**Figura 54.** Mappa delle zone in cui è suddiviso il territorio italiano

La velocità di riferimento  $v_r$  è il valore medio su 10 minuti, a 10 m di altezza dal suolo su un terreno pianeggiante e omogeneo di categoria di esposizione II, riferito al periodo di ritorno di progetto  $T_r$ .

$$v_r = v_b * c_r$$

- $v_b$  è la velocità base di riferimento al livello del mare, assegnata
- $c_r$  è il coefficiente di ritorno, funzione del periodo di ritorno di progetto  $T_r$  fornito dalla relazione

$$c_r = 0.75 * \sqrt{1 - 0.2 * \ln[-\ln * (1 - 1/T_r)]}$$

Quindi:

$v_{b0}$ (m/s)	$a_s$	$c_a$	$v_b$	$T_r$	$c_r$	$v_r$ (m/s)
27	320	1	27	50	1,0007	27.02

La pressione del vento è data dall'espressione:

$$p = q_r * c_e * c_p * c_d$$

dove:

- $q_r$  è la pressione cinetica di riferimento data dall'espressione

$$q_r = \frac{1}{2} * \rho * v_r^2 \quad \text{in cui } \rho \text{ è la densità dell'aria pari a } 1.25 \text{ kg/m}^3$$

•  $c_e$  è il coefficiente di esposizione che dipende dall'altezza  $z$  sul suolo del punto considerato, dalla topografia del terreno e dalla categoria di esposizione del sito ove sorge la costruzione. Per altezze sul suolo non maggiori di 200 m è dato dalla formula:

$$c_e(z) = k_r^2 * c_t * \ln(z/z_0) * [7 + c_t * \ln(z/z_0)] \quad \text{per } z \geq z_{min}$$

$$c_e(z) = c_e(z_{min}) \quad \text{per } z < z_{min}$$

dove:

- $k_r$ ,  $z_0$ ,  $z_{min}$  sono assegnati in Tab.3.3.II in funzione della categoria di esposizione del sito.
- $c_t$  è il coefficiente di topografia, posto generalmente uguale a 1.

Categoria di esposizione del sito	$K_r$	$z_0$ [m]	$z_{min}$ [m]
I	0,17	0,01	2
II	0,19	0,05	4
III	0,20	0,10	5
IV	0,22	0,30	8
V	0,23	0,70	12

**Tabella 86.** Parametri per la definizione del coefficiente di esposizione

Classe di rugosità del terreno	Descrizione
A	Aree urbane in cui almeno il 15% della superficie sia coperto da edifici la cui altezza media non superi i 15 m
B	Aree urbane (non di classe A), suburbane, industriali e boschive
C	Aree con ostacoli diffusi (alberi, case, muri, recinzioni...); aree con rugosità non riconducibile alle classi A, B, e D
D	a) Mare e relativa fascia costiera (entro 2 km dalla costa); b) Lago (con larghezza massima pari ad almeno 1 km) e relativa fascia costiera (entro 1 km dalla costa); c) Aree prive di ostacoli o con al più rari ostacoli isolati (aperta campagna, aeroporti, aree agricole, pascoli, zone paludose o sabbiose, superfici innevate o ghiacciate, ...)

**Tabella 87.** Classi di rugosità del terreno

ZONE 1,2,3,4,5						
	costa	mare	2 km	10 km	30 km	750m
A	--	IV	IV	V	V	V
B	--	III	III	IV	IV	IV
C	--	*	III	III	IV	IV
D	I	II	II	II	III	**
* Categoria II in zona 1,2,3,4 Categoria III in zona 5						
** Categoria III in zona 2,3,4,5 Categoria IV in zona 1						

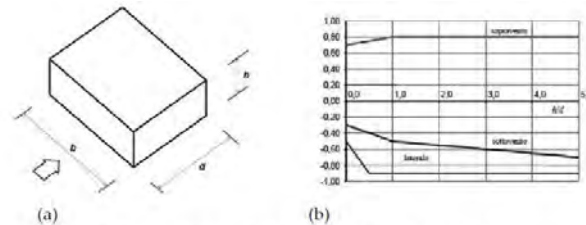
**Tabella 88.** Definizione delle categorie di esposizione

$q_r$	Rugosità	Esposizione	$c_e(z)$	$c_e(z_{min})$
456	B	III	2.416	1,708

**Tabella 89.** Definizione dei coefficienti di esposizione

•  $c_p$  è il coefficiente di pressione e dipende dalla tipologia, dalla geometria della costruzione e dal suo orientamento rispetto alla direzione del vento. Il coefficiente globale  $c_{pe}$  che può essere

utilizzato in tutti i casi in cui la rappresentazione delle azioni aereodinamiche del vento possa essere effettuata in maniera semplificata, rivolta alla valutazione delle azioni globali su porzioni estese di costruzioni o delle risultanti delle azioni indotte dal vento sugli elementi principali della struttura. I coefficienti  $c_{pe}$  da assumere sulle pareti dell'edificio a pianta rettangolare sono diagrammati in base al rapporto  $h/d$ , avendo indicato con  $h$  l'altezza del manufatto e con  $d$  la profondità dell'edificio, valutata parallelamente al flusso di lavoro:



a) Parametri caratteristici di edifici a pianta rettangolare,  
b) Edifici a pianta rettangolare:  $c_{pe}$  per facce sopravvento, sottovento e laterali  
Figura C3.3.2

Tabella C3.3.I: Edifici a pianta rettangolare:  $c_{pe}$  per facce sopravvento, sottovento e laterali

Faccia sopravvento	$C_U = 2,0$	$C_U = 1,5$
$h/d \leq 1$ : $c_{pe} = 0,7 + 0,1 \cdot h/d$	$h/d \leq 0,5$ : $c_{pe} = -0,5 - 0,8 \cdot h/d$	$h/d \leq 1$ : $c_{pe} = -0,3 - 0,2 \cdot h/d$
$h/d > 1$ : $c_{pe} = 0,8$	$h/d > 0,5$ : $c_{pe} = -0,9$	$1 < h/d \leq 5$ : $c_{pe} = -0,5 - 0,05 \cdot (h/d - 1)$

Tabella 90. Coefficienti di pressione delle facciate secondo NTC2018

Quindi i coefficienti per le facce sopravvento e sottovento sono:

b	d	h	h/d	$C_{pe}$ -sopravento	$C_{pe}$ -sottovento
15	9.6	15.2	1.58	0.80	-0,53

Tabella 91. Definizione dei coefficienti di pressione

## COPERTURA A DOPPIA FALDA

Per le coperture a doppia falda, i coefficienti globali da assumere, nel caso di vento perpendicolare alla direzione del colmo, sono quelli per le coperture a falda singola.

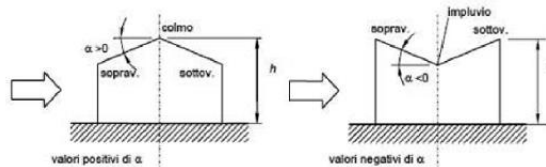


Figura 55. Schema di riferimento per coperture a doppia falda

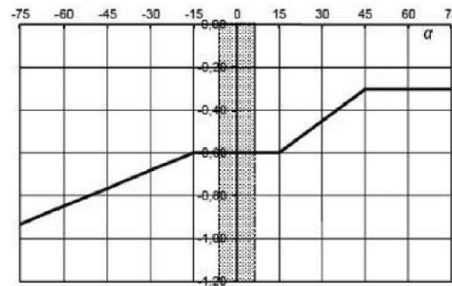
Valori negativi		Valori positivi	
$\alpha \leq -60^\circ$	$c_{pe} = -0,5$	$0^\circ \leq \alpha \leq 45^\circ$	$c_{pe} = +\alpha/75$
$-60^\circ \leq \alpha \leq -15^\circ$	$c_{pe} = -0,5 - (\alpha + 60)/90$	$45^\circ \leq \alpha \leq 75^\circ$	$c_{pe} = +0,6 + (\alpha - 45)/150$
$-15^\circ \leq \alpha \leq 30^\circ$	$c_{pe} = -1,0 + (\alpha + 15)/75$		
$30^\circ \leq \alpha \leq 45^\circ$	$c_{pe} = -0,4 + (\alpha - 30)/37,5$		

Tabella 92. Coperture a doppia falda, valori del  $c_{pe}$  con vento perpendicolare al colmo

Per la falda sottovento si fa riferimento ai valori riportati di seguito:

$-75^\circ \leq \alpha \leq -15^\circ$	$c_{pe} = -0,85 + (\alpha + 60)/180$
$-15^\circ \leq \alpha \leq 15^\circ$	$c_{pe} = -0,6$
$15^\circ \leq \alpha \leq 45^\circ$	$c_{pe} = -0,6 + (\alpha - 15)/100$
$45^\circ \leq \alpha$	$c_{pe} = -0,3$

**Tabella 93.** Coperture a doppia falda, valori del  $c_{pe}$  con vento perpendicolare al colmo



**Figura 56.** Coperture a doppia falda, grafico del  $c_{pe}$  con vento perpendicolare al colmo

Le pressioni interne agli edifici dipendono dalla superficie delle aperture che questi presentano verso l'esterno. Nel caso in esame si assumono valori del coefficiente di pressione interno pari a  $c_{pi} = +0,2$  e  $c_{pi} = -0,30$ , considerando il caso che di volta in volta conduce alla situazione maggiormente gravosa.

- $c_d$  è il coefficiente dinamico e può essere assunto cautelativamente pari a 1 nelle costruzioni di tipologia ricorrente quali gli edifici di forma regolare non eccedenti 80 m in altezza e capannoni industriali.

In funzione dei coefficienti analizzati e della pressione cinetica di riferimento, si calcola la pressione del vento per la copertura e per le facciate sopravento e sottovento considerando i valori massimi e minimi.

Facciata	Sopravento	Sottovento
$p_{min}$ (daN/m <sup>2</sup> )	467	-646
$p_{max}$ (daN/m <sup>2</sup> )	662	-914
Copertura	Sopravento	Sottovento
$p$ (daN/m <sup>2</sup> )	-772	-772

### **1.6.5. Interventi per il miglioramento sismico – edifici in muratura**

Gli interventi previsti per la riduzione del rischio sismico si dividono in:

- interventi che possono consentire il miglioramento di almeno due Classi di Rischio o l'adeguamento sismico.

La tipologia di interventi considerati riguarda l'utilizzo di:

- cappotto sismico applicato alle pareti esterne dell'edificio.

Questa tipologia di interventi, viene presa in considerazione nel caso in cui le lavorazioni vengono eseguite senza dover in alcun modo evacuare gli inquilini dell'edificio, e quando la struttura risulta regolare in pianta e in altezza. Per gli edifici in cemento armato, nel caso di struttura a telai in entrambe le direzioni, è prevista la possibilità di ritenere valido il passaggio di più Classi di Rischio con la possibilità di raggiungere l'adeguamento sismico a seconda della tipologia di struttura.

#### **1.6.5.1. Sintesi degli interventi previsti**

##### **CAPPOTTO SISMICO**

Il cappotto sismico viene applicato sulle facciate esterne dell'edificio al fine di realizzare una nuova "pelle" sismo-resistente. E' costituito da una lastra sottile in calcestruzzo armato gettato in opera all'interno di due strati di materiale isolante, preinseriti in una maglia tridimensionale in acciaio zincato. La lastra in calcestruzzo può avere spessori variabili in base alla tipologia di intervento e nel caso in esame si ipotizza uno spessore di circa 8-10 cm; a livello delle travi esterne di piano si realizza un nuovo cordolo dello spessore della lastra più la larghezza dello strato di isolante addossato alla parete di circa 4 cm.

Il getto e l'armatura di rinforzo vengono resi solidali alla struttura esistente mediante, sia l'inserimento di connettori disposti a livello dei cordoli di piano e, se necessario, sui pilastri, sia disponendo opportuni ancoraggi sulla fondazione esistente o su una nuova fondazione addossata a quella esistente

La maglia tridimensionale in acciaio zincato consente di semplificare le operazioni di posa in opera delle armature strutturali, di minimizzare gli sfridi di cantiere e di realizzare uno strato di finitura ad intonaco particolarmente solida che garantisce la massima protezione del materiale isolante da urti accidentali ed agenti atmosferici.

Le norme NTC18 trattano le pareti in calcestruzzo soltanto per quanto riguarda le prescrizioni da seguire per strutture a comportamento dissipativo. Le lastre in calcestruzzo vengono invece dimensionate per garantire un comportamento elastico e non dissipativo nei confronti dell'azione sismica di progetto, rientrando nella tipologia di "strutture non dissipative". Per questo motivo le verifiche in resistenza degli elementi in calcestruzzo vengono effettuate seguendo l'approccio fornito dalla norma per gli elementi strutturali a comportamento non dissipativo, contenute nel



capitolo 4 delle NTC18 mentre le prescrizioni contenute nel capitolo 7 non risultano vincolanti per il dimensionamento delle pareti.

Per quanto riguarda le connessioni tra edificio esistente e cappotto sismico, la valutazione analitica della resistenza degli ancoraggi metallici per calcestruzzo può essere effettuata secondo le linee guida definite dal documento ETAG001-1997: "Linee guida per il benessere tecnico europeo di ancoraggi metallici da utilizzare nel calcestruzzo" e dai relativi allegati.

#### **1.6.6. Conclusioni**

Per quanto concerne gli aspetti prettamente strutturali, l'intervento di miglioramento sismico adottato per la tipologia oggetto della presente relazione, prevede l'utilizzo di un cappotto sismico, un sistema integrato di rafforzamento strutturale e miglioramento del benessere termoigrometrico dell'edificio. Questo intervento, oltre a non interrompere il normale esercizio della struttura permette la riduzione delle tempistiche del cantiere, in quanto i moduli da applicare sulle pareti esterne, risultano prefabbricati e sono comprensivi delle varie forometrie; in cantiere, l'attività sarà quella di prevedere il collegamento con la struttura esistente e la realizzazione del getto all'interno del cassero e, se necessario, il getto armato della nuova porzione di fondazione.

Gli interventi strutturali previsti sono mirati al miglioramento sismico attraverso l'incremento di almeno due Classi di Rischio o l'adeguamento sismico, da valutare nel dettaglio nelle fasi progettuali successive. Con ciò si intende il miglioramento del rischio della costruzione con incidenza sul valore PAM e sulla capacità che la struttura possiede rispetto allo stato limite della salvaguardia sulla vita. Tale valore è stato valutato come rapporto tra PGAA (SLV) anteoperam e la PGAp (SLV) postoperam, determinata attraverso il metodo convenzionale nel rispetto della normativa vigente (NTC 2018) e della circolare ministeriale applicativa del 21 gennaio 2019.

## **1.7. Tipologia VE07**

### **1.7.1. Individuazione dei siti in esame**

Di seguito si riporta una tabella che riassume i parametri generali del sito in esame, con gli identificativi e le coordinate dei punti che includono gli edifici.

Provincia	Comune	Tipologia	Via	Latitudine	Longitudine
Roma	Velletri	VE07	Via Fontana delle Rose 147 – scala A	41.4128°	12.4620°
Roma	Velletri	VE07	Via Fontana delle Rose 141 – scala B	41.4128°	12.4620°

**Tabella 94.** Parametri generali del sito in esame



**Figura 57.** Individuazione del sito in esame (immagine da google earth)

### **1.7.2. Determinazione della categoria di sottosuolo**

Per la determinazione della categoria di sottosuolo, in assenza di indagini geologiche specifiche per ogni intervento da realizzare, è possibile stimare in via preliminare e con le approssimazioni del caso, la velocità delle onde VS facendo specifico riferimento agli abachi regionali di microzonazione sismica ai sensi della DGR Lazio n. 545 del 26 novembre 2010, forniti sul portale della Regione Lazio. Nello specifico andando ad individuare la carta delle microzone omogenee in prospettiva sismica per il comune di interesse, è possibile risalire alla tipologia del sottosuolo e relativo spessore. Dalla carta riportata in figura 2, si evidenzia che il sito oggetto del presente studio ricade all'interno delle zone stabili suscettibili di amplificazione sismica (Zona 1) che sono caratterizzate dalla



presenza depositi piroclastici. In funzione di questo, entrando in via approssimativa nell'abaco (Vs/h) riportato in figura 2, relativo alle ghiaie alluvionali, detritiche e sabbie di alterazione, si determina il valore di Vs che viene utilizzato per la stima approssimata della categoria di sottosuolo entrando nella tabella 3.2.II del D.M. 17 Gennaio 2018.

<b>GHIAIE ALLUVIONALI</b> <b>GHIAIE DETRITICHE</b> <b>SABBIE DI ALTERAZIONE DA ARENARIE</b> <b>SABBIE DI ALTERAZIONE DA TRAVERTINI</b> <b>SABBIE DI ALTERAZIONI DA TUFI VULCANICI</b>										
FH <sub>0,1-0,5</sub>		Velocità media V <sub>SH</sub> (m/s)								
Profondità dal pc H (m)		180	250	300	360	400	450	500	600	700
	5	1.3	1.2	1.1	1.1	1.1	1.1	1.0	1.0	1.0
	10			1.4	1.4	1.2	1.2	1.1	1.1	1.0
	15			1.6	1.5	1.3	1.3	1.2	1.1	1.1
	20			1.7	1.6	1.4	1.3	1.2	1.1	1.1
	25			1.6	1.5	1.5	1.4	1.3	1.2	1.1
	30			1.5	1.5	1.5	1.4	1.3	1.2	1.1
	35				1.4	1.4	1.3	1.3	1.2	1.1
	40					1.4	1.3	1.3	1.2	1.1
	45						1.3	1.2	1.2	1.1

GRADIENTE DI VELOCITA' PER VALIDITA' ABACO

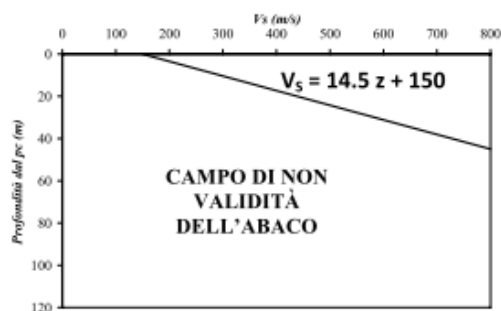


Tabella 95. Abaco per le ghiaie alluvionali, detritiche e sabbie di alterazione

Nello specifico facendo riferimento all'andamento della velocità Vs con la profondità z dello strato dal piano campagna, si ottiene un valore delle velocità Vs pari a:

$$V_s = 14.5 * z + 150 = 512 \text{ m/s}$$

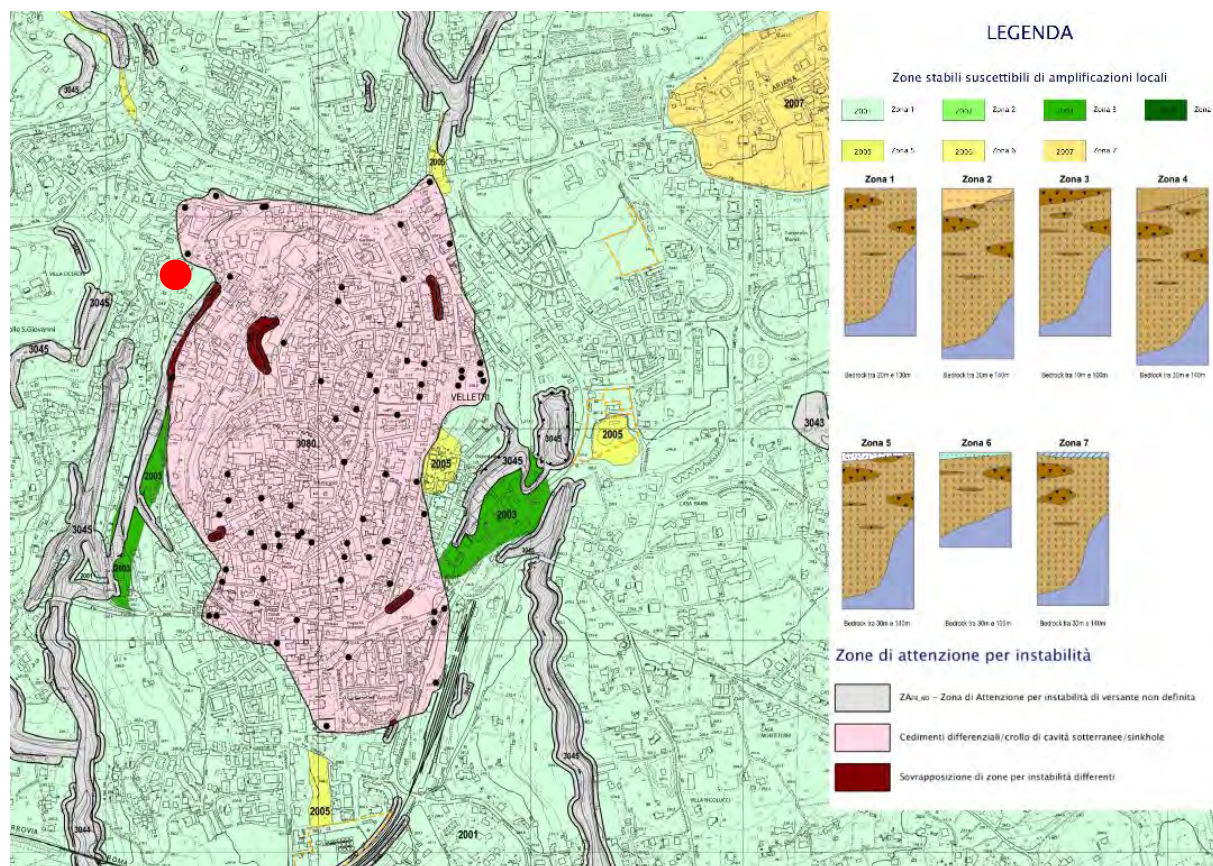


Figura 58. Zona omogenea in prospettiva sismica

In relazione alle formulazioni sopra riportate avendo ottenuto un valore delle Vs pari a 512 m/s ed entrando nella tabella 3 sotto riportata si ottiene una categoria di sottosuolo B “*Depositi di terreni a grana grossa molto addensati o terreni a grana fina molto consistenti*”.

Per le condizioni topografiche che nel caso specifico si configurano in superficiali semplici si può adottare la classificazione riportata nella tabella 4 e nello specifico si ricade nella categoria T1.

Categoria	Descrizione
A	Ammassi rocciosi affioranti o terreni molto rigidi caratterizzati da valori di velocità delle onde di taglio superiori a 800 m/s, eventualmente comprendenti in superficie terreni di caratteristiche meccaniche più scadenti con spessore massimo pari a 3 m.
B	Rocce tenere e depositi di terreni a grana grossa molto addensati o terreni a grana fina molto consistenti, caratterizzati da un miglioramento delle proprietà meccaniche con la profondità e da valori di velocità equivalente compresi tra 360 m/s e 800 m/s.
C	Depositi di terreni a grana grossa mediamente addensati o terreni a grana fina mediamente consistenti con profondità del substrato superiori a 30 m, caratterizzati da un miglioramento delle proprietà meccaniche con la profondità e da valori di velocità equivalente compresi tra 180 m/s e 360 m/s.
D	Depositi di terreni a grana grossa scarsamente addensati o di terreni a grana fina scarsamente consistenti, con profondità del substrato superiori a 30 m, caratterizzati da un miglioramento delle proprietà meccaniche con la profondità e da valori di velocità equivalente compresi tra 100 e 180 m/s.
E	Terreni con caratteristiche e valori di velocità equivalente riconducibili a quelle definite per le categorie C o D, con profondità del substrato non superiore a 30 m.

**Tabella 96.** Tab. 3.2.II – Categorie di sottosuolo che permettono l'utilizzo dell'approccio semplificato

Categoria	Caratteristiche della superficie topografica
T1	Superficie pianeggiante, pendii e rilievi isolati con inclinazione media $i \leq 15^\circ$
T2	Pendii con inclinazione media $i > 15^\circ$
T3	Rilievi con larghezza in cresta molto minore che alla base e inclinazione media $15^\circ \leq i \leq 30^\circ$
T4	Rilievi con larghezza in cresta molto minore che alla base e inclinazione media $i > 30^\circ$

**Tabella 97.** Tab. 3.2. III – Categorie topografiche

### 1.7.3. Analisi sismica

#### 1.7.3.1. Determinazione del fattore di comportamento q

Si riportano in dettaglio le caratteristiche principali della struttura in esame, utili per il calcolo del fattore di comportamento q e dell'azione sismica.

Classe d'uso	Vita nominale	Coeff. Uso	Duttilità	Regolarità in pianta	Regolarità in altezza	Tipologia strutturale
II	50	1	B	si	si	Muratura.

L'analisi strutturale per azioni sismiche utilizzata per la verifica è del tipo lineare (cap. 7.3.1 NTC 2018). Per sistemi non dissipativi (SLE), gli effetti delle azioni sono calcolati riferendosi ad uno spettro di progetto ottenuto assumendo un fattore di comportamento  $q=1$  per lo stato limite di operatività (SLO) (cap. 3.2.3.4 NTC 2018) e un fattore di comportamento  $q \leq 1.5$  per stato limite di danno (SLD) (cap. 3.2.3.5 NTC 2018). Per sistemi dissipativi (SLU), gli effetti delle azioni sono calcolati riferendosi ad uno spettro di progetto ottenuto assumendo un fattore di struttura  $q \geq 1.5$  (cap. 3.2.3.5 NTC 2018).

Il calcolo del fattore di comportamento per i sistemi dissipativi è stato eseguito seguendo quanto riportato al capitolo 7 delle NTC 2018 in funzione dei parametri generali della struttura in esame. Si riportano, in tabella, i valori del fattore di comportamento utili per la valutazione dell'azione sismica nelle tre direzioni:

$q_0$	$\alpha_u/\alpha_i$	$k_r$	$q_x$	$q_y$	$q_z$
$1,75^* \alpha_u/\alpha_i$	1,7	1	2.975	2.975	1.5

L'azione sismica viene definita in relazione ad un periodo di riferimento  $V_r$  che si ricava, per ciascun tipo di costruzione, moltiplicandone la vita nominale per il coefficiente d'uso. Fissato il periodo di riferimento  $V_r$  e la probabilità di superamento  $P_{ver}$  associata a ciascuno degli stati limite considerati, si ottiene il periodo di ritorno  $T_r$  e i relativi parametri di pericolosità sismica:

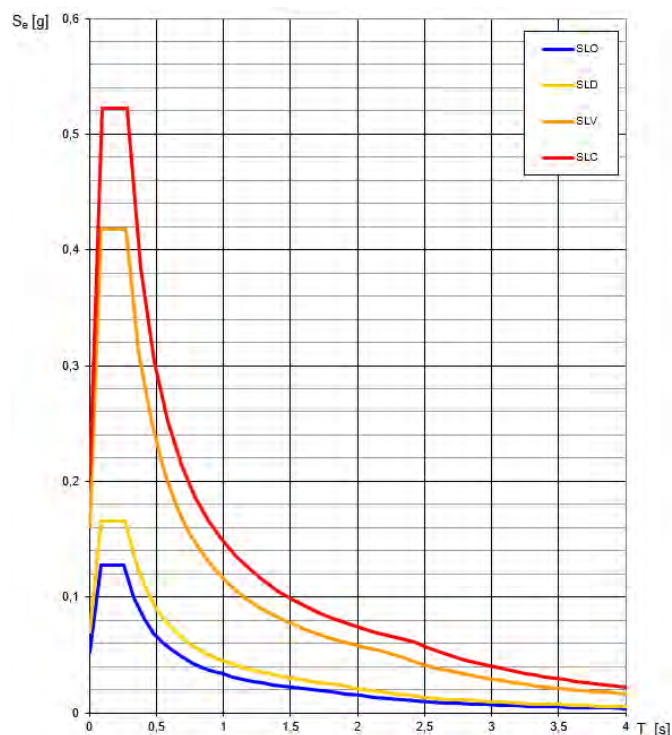
- $a_g$ : accelerazione orizzontale massima del terreno;
- $F_0$ : valore massimo del fattore di amplificazione dello spettro in accelerazione orizzontale;
- $T_c^*$ : periodo di inizio del tratto a velocità costante dello spettro in accelerazione orizzontale.

SLATO LIMITE	$T_R$ [anni]	$a_g$ [g]	$F_0$ [-]	$T_c^*$ [s]
SLO	30	0,052	2,453	0,260
SLD	50	0,069	2,391	0,269
SLV	475	0,161	2,595	0,277
SLC	975	0,206	2,540	0,283

**Tabella 98.** Valori di  $a_g$ ,  $F_0$  e  $T_c^*$  in funzione dei vari stati limite

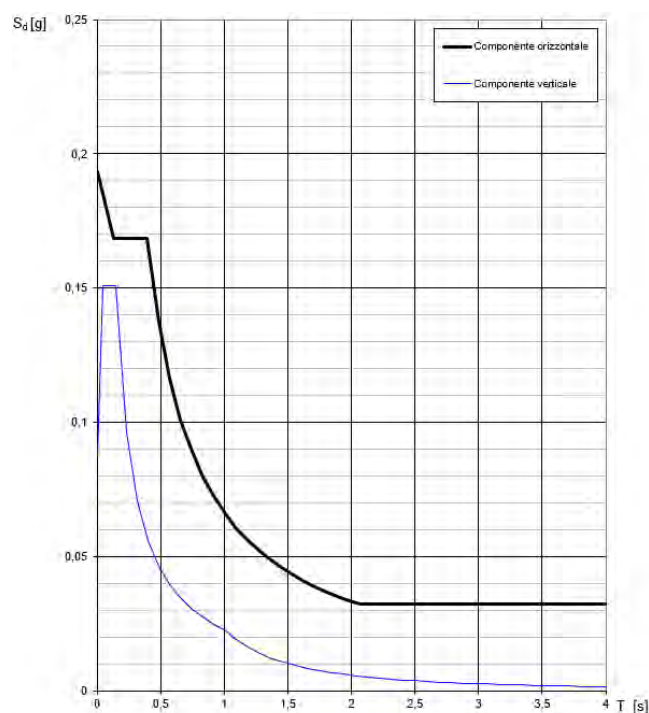


### 1.7.3.2. Spettri di risposta



**Figura 59.** Spettri di risposta elastici per i diversi stati limite

Con l'utilizzo del fattore di comportamento e dei parametri sismici dipendenti dal tipo di struttura in esame, precedentemente calcolati, si sono determinati gli spettri di calcolo agli stati limite SLV e SLD. Nel caso di utilizzo di isolatori sismici si farà riferimento allo spettro ad SLV per la sovrastruttura e ad SLC per gli isolatori. Tali spettri saranno opportunamente scalati in funzione dello smorzamento e del periodo scelto.



**Figura 60.** Spettri di risposta (componenti orizz.\_vert.) per lo SLV



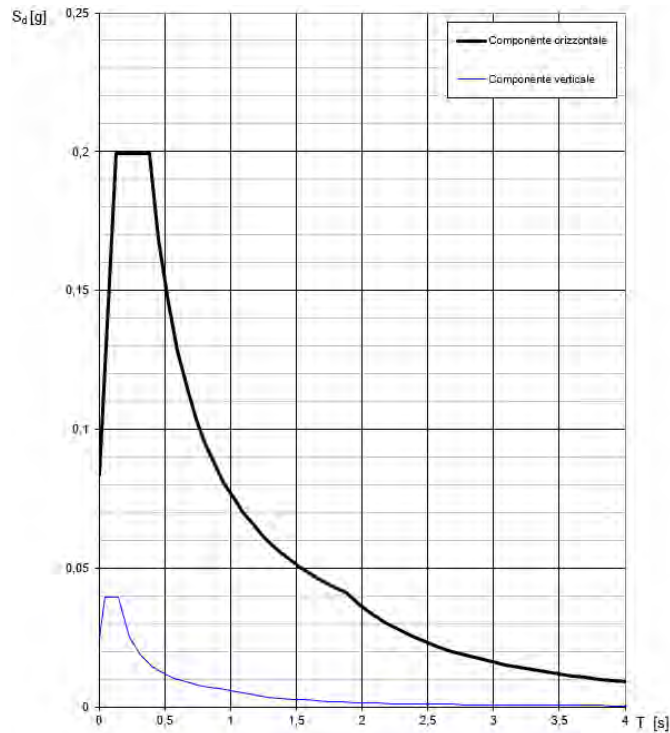


Figura 61. Spettri di risposta (componenti orizz.\_vert.) per lo SLD

#### 1.7.4. Carichi di progetto

##### 1.7.4.1. Carico della neve

Tale calcolo viene effettuato ai sensi di DM del 17 Gennaio 2018 "Norme tecniche per le costruzioni" e della Circolare Ministeriale Applicativa del 21 Gennaio 2019. Il carico neve sulle coperture è valutato con la seguente espressione:

$$q_s = \mu_i * q_{sk} * C_e *$$

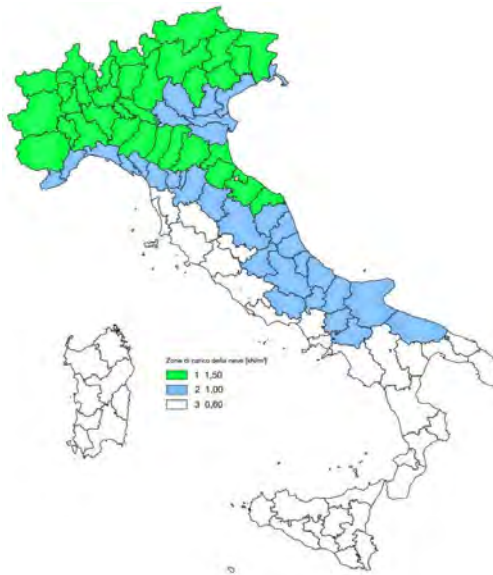
dove:

- $\mu_i$  è il coefficiente di forma della copertura;

Coefficiente di forma	$0^\circ \leq \alpha \leq 30^\circ$	$30^\circ < \alpha < 60^\circ$	$\alpha \geq 60^\circ$
$\mu_1$	0,8	$0,8 \cdot \frac{(60 - \alpha)}{30}$	0,0

Tabella 99. Tab. 3.4.II – Valori dei coefficienti di forma

- $q_{sk}$  è il valore di riferimento del carico neve al suolo e dipende dalla zona climatica e dall'altitudine di riferimento del sito  $a_s$ , se è maggiore o inferiore a 200 m;



**Figura 62.** Zone di carico della neve

- $C_e$  è il coefficiente di esposizione che viene utilizzato per modificare il carico neve in funzione delle caratteristiche dell'area in cui sorge l'opera;

Topografia	Descrizione	$C_e$
Battuta dai venti	Aree pianeggianti non ostruite esposte su tutti i lati, senza costruzioni o alberi più alti	0,9
Normale	Aree in cui non è presente una significativa rimozione di neve sulla costruzione prodotta dal vento, a causa del terreno, altre costruzioni o alberi	1,0
Riparata	Aree in cui la costruzione considerata è sensibilmente più bassa del circostante terreno o circondata da costruzioni o alberi più alti	1,1

**Tabella 100.** Tab. 3.4.I – Valori di  $C_z$  per diverse classi di esposizione

- $C_t$  è il coefficiente termico, generalmente assunto pari a 1;

Si assume che la neve non sia impedita di scivolare e si calcola il valore del carico neve in copertura:

Zona	$s$ (m)	$q_{sk}$ (daN/m <sup>2</sup> )	$\mu_i$	$C_e$	$C_t$	$q_s$ (daN/m <sup>2</sup> )
III	308	72	0,8	1	1	58

**Tabella 101.** Determinazione del carico da neve in copertura

#### 1.7.4.2. Carico del vento

La velocità base di riferimento del vento  $v_b$  è il valore medio su 10 minuti, a 10 m di altezza sul suolo su un terreno pianeggiante e omogeneo di categoria di esposizione II, riferito ad un periodo di ritorno  $T_r = 50$  anni, ed è pari a:

$$v_b = v_{b0} * c_a$$

dove:

- $v_{b0}$  è la velocità base di riferimento al livello del mare, assegnata nella Tab.3.3.I in funzione della zona in cui sorge la costruzione;

- $c_a$  è il coefficiente di altitudine fornito dalla relazione

$$c_a = 1 \quad \text{per } a_s \leq a_0$$

$$c_a = 1 + k_s * (a_s/a_0 - 1) \quad \text{per } a_0 < a_s \leq 1500 \text{ m}$$

dove:

- $a_0, k_s$  sono parametri forniti nella Tab.3.3.I in funzione della zona in cui sorge la costruzione;
- $a_s$  è l'altitudine sul livello del mare del sito ove sorge la costruzione.

Zona	Descrizione	$v_{b,0}$ [m/s]	$a_0$ [m]	$k_s$
1	Valle d'Aosta, Piemonte, Lombardia, Trentino Alto Adige, Veneto, Friuli Venezia Giulia (con l'eccezione della provincia di Trieste)	25	1000	0,40
2	Emilia Romagna	25	750	0,45
3	Toscana, Marche, Umbria, Lazio, Abruzzo, Molise, Puglia, Campania, Basilicata, Calabria (esclusa la provincia di Reggio Calabria)	27	500	0,37
4	Sicilia e provincia di Reggio Calabria	28	500	0,36
5	Sardegna (zona a oriente della retta congiungente Capo Teulada con l'Isola di Maddalena)	28	750	0,40
6	Sardegna (zona a occidente della retta congiungente Capo Teulada con l'Isola di Maddalena)	28	500	0,36
7	Liguria	28	1000	0,54
8	Provincia di Trieste	30	1500	0,50
9	Isole (con l'eccezione di Sicilia e Sardegna) e mare aperto	31	500	0,32



**Figura 63.** Valori dei parametri  $v_{b0}, a_0, k_s$

**Figura 64.** Mappa delle zone in cui è suddiviso il territorio italiano

La velocità di riferimento  $v_r$  è il valore medio su 10 minuti, a 10 m di altezza dal suolo su un terreno pianeggiante e omogeneo di categoria di esposizione II, riferito al periodo di ritorno di progetto  $T_r$ .

$$v_r = v_b * c_r$$

- $v_b$  è la velocità base di riferimento al livello del mare, assegnata
- $c_r$  è il coefficiente di ritorno, funzione del periodo di ritorno di progetto  $T_r$  fornito dalla relazione

$$c_r = 0.75 * \sqrt{1 - 0.2 * \ln[-\ln * (1 - 1/T_r)]}$$

Quindi:

$v_{b0}$ (m/s)	$a_s$	$c_a$	$v_b$	$T_r$	$c_r$	$v_r$ (m/s)
27	308	1	27	50	1,0007	27.02

La pressione del vento è data dall'espressione:

$$p = q_r * c_e * c_p * c_d$$

dove:

- $q_r$  è la pressione cinetica di riferimento data dall'espressione

$$q_r = \frac{1}{2} * \rho * v_r^2 \quad \text{in cui } \rho \text{ è la densità dell'aria pari a } 1.25 \text{ kg/m}^3$$

•  $c_e$  è il coefficiente di esposizione che dipende dall'altezza  $z$  sul suolo del punto considerato, dalla topografia del terreno e dalla categoria di esposizione del sito ove sorge la costruzione. Per altezze sul suolo non maggiori di 200 m è dato dalla formula:

$$c_e(z) = k_r^2 * c_t * \ln(z/z_0) * [7 + c_t * \ln(z/z_0)] \quad \text{per } z \geq z_{min}$$

$$c_e(z) = c_e(z_{min}) \quad \text{per } z < z_{min}$$

dove:

- $k_r$ ,  $z_0$ ,  $z_{min}$  sono assegnati in Tab.3.3.II in funzione della categoria di esposizione del sito.
- $c_t$  è il coefficiente di topografia, posto generalmente uguale a 1.

Categoria di esposizione del sito	$K_r$	$z_0$ [m]	$z_{min}$ [m]
I	0,17	0,01	2
II	0,19	0,05	4
III	0,20	0,10	5
IV	0,22	0,30	8
V	0,23	0,70	12

**Tabella 102.** Parametri per la definizione del coefficiente di esposizione

Classe di rugosità del terreno	Descrizione
A	Aree urbane in cui almeno il 15% della superficie sia coperto da edifici la cui altezza media non superi i 15 m
B	Aree urbane (non di classe A), suburbane, industriali e boschive
C	Aree con ostacoli diffusi (alberi, case, muri, recinzioni...); aree con rugosità non riconducibile alle classi A, B, e D
D	a) Mare e relativa fascia costiera (entro 2 km dalla costa); b) Lago (con larghezza massima pari ad almeno 1 km) e relativa fascia costiera (entro 1 km dalla costa); c) Aree prive di ostacoli o con al più rari ostacoli isolati (aperta campagna, aeroporti, aree agricole, pascoli, zone paludose o sabbiose, superfici innevate o ghiacciate, ...)

**Tabella 103.** Classi di rugosità del terreno

ZONE 1,2,3,4,5						
	costa	mare	2 km	10 km	30 km	750m
A	--	IV	IV	V	V	V
B	--	III	III	IV	IV	IV
C	--	*	III	III	IV	IV
D	I	II	II	II	III	**
* Categoria II in zona 1,2,3,4 Categoria III in zona 5						
** Categoria III in zona 2,3,4,5 Categoria IV in zona 1						

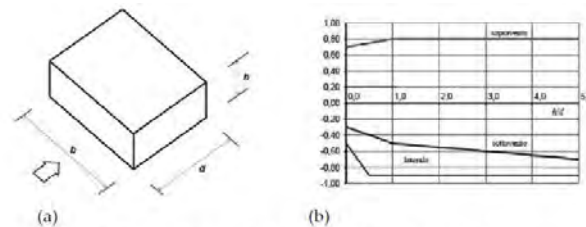
**Tabella 104.** Definizione delle categorie di esposizione

$q_r$	Rugosità	Esposizione	$c_e(z)$	$c_e(z_{min})$
456	B	III	2,384	1,708

**Tabella 105.** Definizione dei coefficienti di esposizione

•  $c_p$  è il coefficiente di pressione e dipende dalla tipologia, dalla geometria della costruzione e dal suo orientamento rispetto alla direzione del vento. Il coefficiente globale  $c_{pe}$  che può essere

utilizzato in tutti i casi in cui la rappresentazione delle azioni aereodinamiche del vento possa essere effettuata in maniera semplificata, rivolta alla valutazione delle azioni globali su porzioni estese di costruzioni o delle risultanti delle azioni indotte dal vento sugli elementi principali della struttura. I coefficienti  $c_{pe}$  da assumere sulle pareti dell'edificio a pianta rettangolare sono diagrammati in base al rapporto  $h/d$ , avendo indicato con  $h$  l'altezza del manufatto e con  $d$  la profondità dell'edificio, valutata parallelamente al flusso di lavoro:



a) Parametri caratteristici di edifici a pianta rettangolare,  
b) Edifici a pianta rettangolare:  $c_{pe}$  per facce sopravvento, sottovento e laterali  
**Figura C3.3.2**

**Tabella C3.3.I:** Edifici a pianta rettangolare:  $c_{pe}$  per facce sopravvento, sottovento e laterali

Faccia sopravvento	$C_U = 2,0$	$C_U = 1,5$
$h/d \leq 1$ : $c_{pe} = 0,7 + 0,1 \cdot h/d$	$h/d \leq 0,5$ : $c_{pe} = -0,5 - 0,8 \cdot h/d$	$h/d \leq 1$ : $c_{pe} = -0,3 - 0,2 \cdot h/d$
$h/d > 1$ : $c_{pe} = 0,8$	$h/d > 0,5$ : $c_{pe} = -0,9$	$1 < h/d \leq 5$ : $c_{pe} = -0,5 - 0,05 \cdot (h/d - 1)$

**Tabella 106.** Coefficienti di pressione delle facciate secondo NTC2018

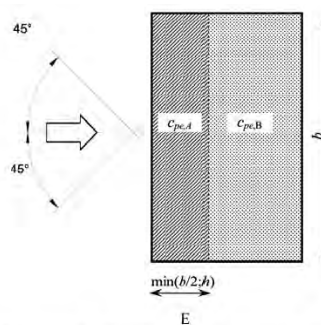
Quindi i coefficienti per le facce sopravvento e sottovento sono:

b	d	h	h/d	$C_{pe}$ -sopravvento	$C_{pe}$ -sottovento
20	10	14.5	1.45	0.80	-0,52

**Tabella 107.** Definizione dei coefficienti di pressione

## COPERTURA PIANA

Per la copertura piana, l'altezza di riferimento  $z_e$  è pari alla quota massima della copertura stessa, inclusa la presenza dei parapetti e di altri analoghi elementi. I coefficienti globali  $c_{pe}$  da assumere sulle coperture di un edificio a pianta rettangolare sono riportati di seguito:



**Figura C3.3.5 -** Schema di riferimento per coperture piane

**Tabella C3.3.III -** Edifici rettangolari:  $c_{pe}$  per coperture piane.

Fascia sopravvento di profondità pari al minimo tra $b/2$ e $h$ :	$C_{pe,A} = -0,80$
Restanti zone	$C_{pe,B} = \pm 0,20$

**Tabella 108.** Definizione  $c_{pe}$  per coperture piano

Le pressioni interne agli edifici dipendono dalla superficie delle aperture che questi presentano verso l'esterno. Nel caso in esame si assumono valori del coefficiente di pressione interno pari a  $c_{pi} = +0,2$  e  $c_{pi} = -0,30$ , considerando il caso che di volta in volta conduce alla situazione maggiormente gravosa.

●  $c_d$  è il coefficiente dinamico e può essere assunto cautelativamente pari a 1 nelle costruzioni di tipologia ricorrente quali gli edifici di forma regolare non eccedenti 80 m in altezza e capannoni industriali.

In funzione dei coefficienti analizzati e della pressione cinetica di riferimento, si calcola la pressione del vento per la copertura e per le facciate sopravento e sottovento considerando i valori massimi e minimi.

<b>Facciata</b>	<b>Sopravento</b>	<b>Sottovento</b>
$p_{min} \text{ (daN/m}^2\text{)}$	503	-693
$p_{max} \text{ (daN/m}^2\text{)}$	-968	-664
<b>Copertura</b>	<b>Sopravento</b>	<b>Sottovento</b>
$p \text{ (daN/m}^2\text{)}$	-1197	-544



### **1.7.5. Interventi per il miglioramento sismico – edifici in muratura**

Gli interventi previsti per la riduzione del rischio sismico si dividono in:

- interventi che possono consentire il miglioramento di almeno due Classi di Rischio o l'adeguamento sismico.

La tipologia di interventi considerati riguarda l'utilizzo di:

- cappotto sismico applicato alle pareti esterne dell'edificio.

Questa tipologia di interventi, viene presa in considerazione nel caso in cui le lavorazioni vengono eseguite senza dover in alcun modo evacuare gli inquilini dell'edificio, e quando la struttura risulta regolare in pianta e in altezza. Per gli edifici in cemento armato, nel caso di struttura a telai in entrambe le direzioni, è prevista la possibilità di ritenere valido il passaggio di più Classi di Rischio con la possibilità di raggiungere l'adeguamento sismico a seconda della tipologia di struttura.

#### **1.7.5.1. Sintesi degli interventi previsti**

##### **CAPPOTTO SISMICO**

Il cappotto sismico viene applicato sulle facciate esterne dell'edificio al fine di realizzare una nuova "pelle" sismo-resistente. E' costituito da una lastra sottile in calcestruzzo armato gettato in opera all'interno di due strati di materiale isolante, preinseriti in una maglia tridimensionale in acciaio zincato. La lastra in calcestruzzo può avere spessori variabili in base alla tipologia di intervento e nel caso in esame si ipotizza uno spessore di circa 8-10 cm; a livello delle travi esterne di piano si realizza un nuovo cordolo dello spessore della lastra più la larghezza dello strato di isolante addossato alla parete di circa 4 cm.

Il getto e l'armatura di rinforzo vengono resi solidali alla struttura esistente mediante, sia l'inserimento di connettori disposti a livello dei cordoli di piano e, se necessario, sui pilastri, sia disponendo opportuni ancoraggi sulla fondazione esistente o su una nuova fondazione addossata a quella esistente

La maglia tridimensionale in acciaio zincato consente di semplificare le operazioni di posa in opera delle armature strutturali, di minimizzare gli sfridi di cantiere e di realizzare uno strato di finitura ad intonaco particolarmente solida che garantisce la massima protezione del materiale isolante da urti accidentali ed agenti atmosferici.

Le norme NTC18 trattano le pareti in calcestruzzo soltanto per quanto riguarda le prescrizioni da seguire per strutture a comportamento dissipativo. Le lastre in calcestruzzo vengono invece dimensionate per garantire un comportamento elastico e non dissipativo nei confronti dell'azione sismica di progetto, rientrando nella tipologia di "strutture non dissipative". Per questo motivo le verifiche in resistenza degli elementi in calcestruzzo vengono effettuate seguendo l'approccio fornito dalla norma per gli elementi strutturali a comportamento non dissipativo, contenute nel

capitolo 4 delle NTC18 mentre le prescrizioni contenute nel capitolo 7 non risultano vincolanti per il dimensionamento delle pareti.

Per quanto riguarda le connessioni tra edificio esistente e cappotto sismico, la valutazione analitica della resistenza degli ancoraggi metallici per calcestruzzo può essere effettuata secondo le linee guida definite dal documento ETAG001-1997: "Linee guida per il benessere tecnico europeo di ancoraggi metallici da utilizzare nel calcestruzzo" e dai relativi allegati.

#### **1.7.6. Conclusioni**

Per quanto concerne gli aspetti prettamente strutturali, l'intervento di miglioramento sismico adottato per la tipologia oggetto della presente relazione, prevede l'utilizzo di un cappotto sismico, un sistema integrato di rafforzamento strutturale e miglioramento del benessere termoigrometrico dell'edificio. Questo intervento, oltre a non interrompere il normale esercizio della struttura permette la riduzione delle tempistiche del cantiere, in quanto i moduli da applicare sulle pareti esterne, risultano prefabbricati e sono comprensivi delle varie forometrie; in cantiere, l'attività sarà quella di prevedere il collegamento con la struttura esistente e la realizzazione del getto all'interno del cassero e, se necessario, il getto armato della nuova porzione di fondazione.

Gli interventi strutturali previsti sono mirati al miglioramento sismico attraverso l'incremento di almeno due Classi di Rischio o l'adeguamento sismico, da valutare nel dettaglio nelle fasi progettuali successive. Con ciò si intende il miglioramento del rischio della costruzione con incidenza sul valore PAM e sulla capacità che la struttura possiede rispetto allo stato limite della salvaguardia sulla vita. Tale valore è stato valutato come rapporto tra PGAA (SLV) anteoperam e la PGAp (SLV) postoperam, determinata attraverso il metodo convenzionale nel rispetto della normativa vigente (NTC 2018) e della circolare ministeriale applicativa del 21 gennaio 2019.

## **1.8. Tipologia VE08**

### **1.8.1. Individuazione dei siti in esame**

Di seguito si riporta una tabella che riassume i parametri generali del sito in esame, con gli identificativi e le coordinate dei punti che includono gli edifici.

Provincia	Comune	Tipologia	Via	Latitudine	Longitudine
Roma	Velletri	VE08	Circonvallazione di Ponente241-243	41.4122°	12.4624°

**Tabella 109.** Parametri generali del sito in esame



**Figura 65.** Individuazione del sito in esame (immagine da google earth)

### **1.8.2. Determinazione della categoria di sottosuolo**

Per la determinazione della categoria di sottosuolo, in assenza di indagini geologiche specifiche per ogni intervento da realizzare, è possibile stimare in via preliminare e con le approssimazioni del caso, la velocità delle onde VS facendo specifico riferimento agli abachi regionali di microzonazione sismica ai sensi della DGR Lazio n. 545 del 26 novembre 2010, forniti sul portale della Regione Lazio. Nello specifico andando ad individuare la carta delle microzone omogenee in prospettiva sismica per il comune di interesse, è possibile risalire alla tipologia del sottosuolo e relativo spessore. Dalla carta riportata in figura 2, si evidenzia che il sito oggetto del presente studio ricade all'interno delle zone stabili suscettibili di amplificazione sismica (Zona 1) che sono caratterizzate dalla presenza depositi piroclastici. In funzione di questo, entrando in via approssimativa nell'abaco ( $V_s/h$ ) riportato in figura 2, relativo alle ghiaie alluvionali, detritiche e sabbie di alterazione, si determina il valore di  $V_s$  che viene utilizzato per la stima approssimata della categoria di sottosuolo entrando nella tabella 3.2.II del D.M. 17 Gennaio 2018.



GHIAIE ALLUVIONALI GHIAIE DETRITICHE SABBIE DI ALTERAZIONE DA ARENARIE SABBIE DI ALTERAZIONE DA TRAVERTINI SABBIE DI ALTERAZIONI DA TUFI VULCANICI										
FH <sub>0,1-0,5</sub>		Velocità media V <sub>SH</sub> (m/s)								
Profondità dal pc H (m)		180	250	300	360	400	450	500	600	700
	5	1.3	1.2	1.1	1.1	1.1	1.1	1.0	1.0	1.0
	10			1.4	1.4	1.2	1.2	1.1	1.1	1.0
	15			1.6	1.5	1.3	1.3	1.2	1.1	1.1
	20			1.7	1.6	1.4	1.3	1.2	1.1	1.1
	25			1.6	1.5	1.5	1.4	1.3	1.2	1.1
	30			1.5	1.5	1.5	1.4	1.3	1.2	1.1
	35				1.4	1.4	1.3	1.3	1.2	1.1
	40					1.4	1.3	1.3	1.2	1.1
	45						1.3	1.2	1.2	1.1

#### GRADIENTE DI VELOCITA' PER VALIDITA' ABACO

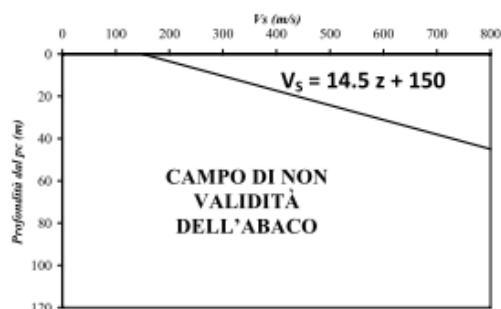


Tabella 110. Abaco per le ghiaie alluvionali, detritiche e sabbie di alterazione

Nello specifico facendo riferimento all'andamento della velocità  $V_s$  con la profondità  $z$  dello strato dal piano campagna, si ottiene un valore delle velocità  $V_s$  pari a:

$$V_s = 14.5 * z + 150 = 512 \text{ m/s}$$

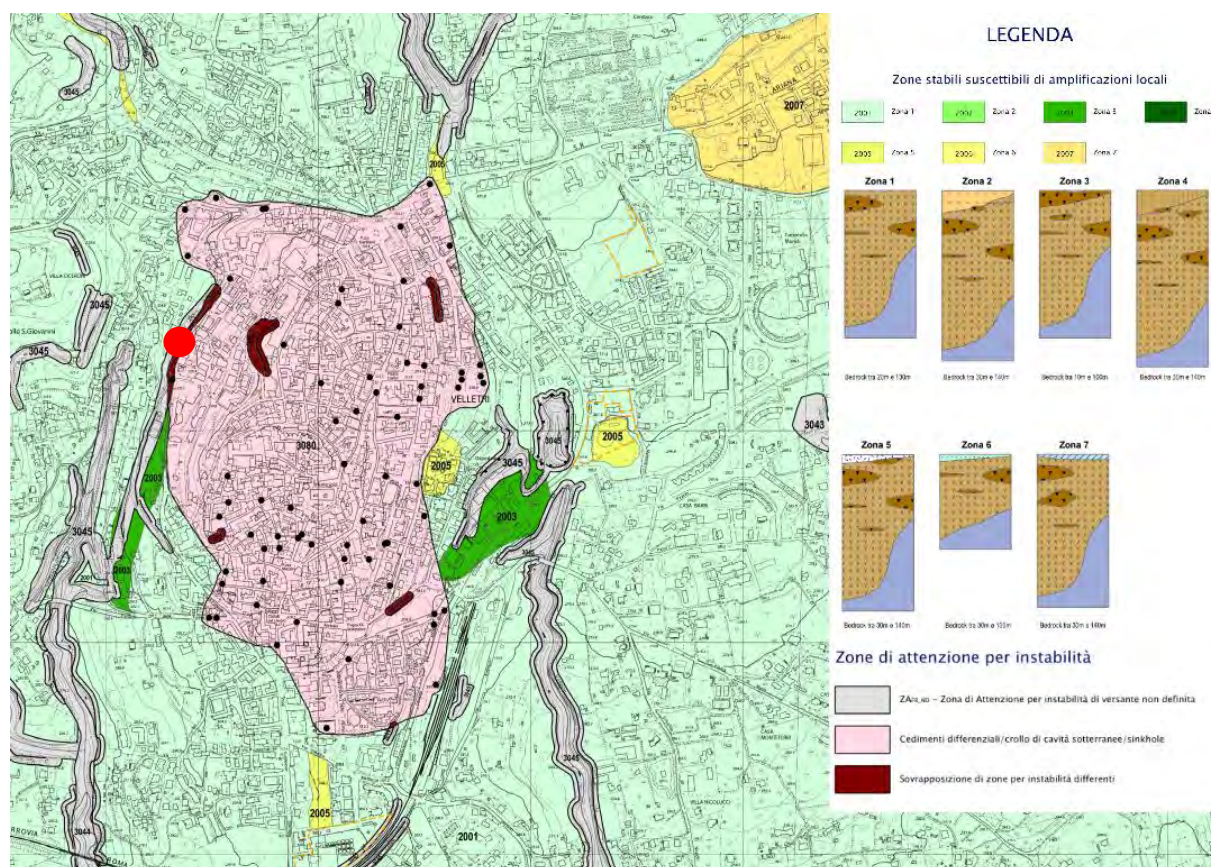


Figura 66. Zona omogenea in prospettiva sismica

In relazione alle formulazioni sopra riportate avendo ottenuto un valore delle  $V_s$  pari a 512 m/s ed entrando nella tabella 3 sotto riportata si ottiene una categoria di sottosuolo B "Depositi di terreni a grana grossa molto addensati o terreni a grana fina molto consistenti".

Per le condizioni topografiche che nel caso specifico si configurano in superficiali semplici si può adottare la classificazione riportata nella tabella 4 e nello specifico si ricade nella categoria T1.

Categoria	Descrizione
A	Ammassi rocciosi affioranti o terreni molto rigidi caratterizzati da valori di velocità delle onde di taglio superiori a 800 m/s, eventualmente comprendenti in superficie terreni di caratteristiche meccaniche più scadenti con spessore massimo pari a 3 m.
B	Rocce tenere e depositi di terreni a grana grossa molto addensati o terreni a grana fina molto consistenti, caratterizzati da un miglioramento delle proprietà meccaniche con la profondità e da valori di velocità equivalente compresi tra 360 m/s e 800 m/s.
C	Depositi di terreni a grana grossa mediamente addensati o terreni a grana fina mediamente consistenti con profondità del substrato superiori a 30 m, caratterizzati da un miglioramento delle proprietà meccaniche con la profondità e da valori di velocità equivalente compresi tra 180 m/s e 360 m/s.
D	Depositi di terreni a grana grossa scarsamente addensati o di terreni a grana fina scarsamente consistenti, con profondità del substrato superiori a 30 m, caratterizzati da un miglioramento delle proprietà meccaniche con la profondità e da valori di velocità equivalente compresi tra 100 e 180 m/s.
E	Terreni con caratteristiche e valori di velocità equivalente riconducibili a quelle definite per le categorie C o D, con profondità del substrato non superiore a 30 m.

**Tabella 111.** Tab. 3.2.II – Categorie di sottosuolo che permettono l'utilizzo dell'approccio semplificato

Categoria	Caratteristiche della superficie topografica
T1	Superficie pianeggiante, pendii e rilievi isolati con inclinazione media $i \leq 15^\circ$
T2	Pendii con inclinazione media $i > 15^\circ$
T3	Rilievi con larghezza in cresta molto minore che alla base e inclinazione media $15^\circ \leq i \leq 30^\circ$
T4	Rilievi con larghezza in cresta molto minore che alla base e inclinazione media $i > 30^\circ$

**Tabella 112.** Tab. 3.2. III – Categorie topografiche

### 1.8.3. Analisi sismica

#### 1.8.3.1. Determinazione del fattore di comportamento q

Si riportano in dettaglio le caratteristiche principali della struttura in esame, utili per il calcolo del fattore di comportamento q e dell'azione sismica.

Classe d'uso	Vita nominale	Coeff. Uso	Duttilità	Regolarità in pianta	Regolarità in altezza	Tipologia strutturale
II	50	1	B	si	si	Muratura.

L'analisi strutturale per azioni sismiche utilizzata per la verifica è del tipo lineare (cap. 7.3.1 NTC 2018). Per sistemi non dissipativi (SLE), gli effetti delle azioni sono calcolati riferendosi ad uno spettro di progetto ottenuto assumendo un fattore di comportamento  $q=1$  per lo stato limite di operatività (SLO) (cap. 3.2.3.4 NTC 2018) e un fattore di comportamento  $q \leq 1.5$  per stato limite di danno (SLD) (cap. 3.2.3.5 NTC 2018). Per sistemi dissipativi (SLU), gli effetti delle azioni sono calcolati riferendosi ad uno spettro di progetto ottenuto assumendo un fattore di struttura  $q \geq 1.5$  (cap. 3.2.3.5 NTC 2018).

Il calcolo del fattore di comportamento per i sistemi dissipativi è stato eseguito seguendo quanto riportato al capitolo 7 delle NTC 2018 in funzione dei parametri generali della struttura in esame.

Si riportano, in tabella, i valori del fattore di comportamento utili per la valutazione dell'azione sismica nelle tre direzioni:

$q_0$	$\alpha_u/\alpha_i$	$k_r$	$q_x$	$q_y$	$q_z$
$1,75^* \alpha_u/\alpha_i$	1,7	0,8	2,975	2,975	1.5

L'azione sismica viene definita in relazione ad un periodo di riferimento  $V_r$  che si ricava, per ciascun tipo di costruzione, moltiplicandone la vita nominale per il coefficiente d'uso. Fissato il periodo di riferimento  $V_r$  e la probabilità di superamento  $P_{ver}$  associata a ciascuno degli stati limite considerati, si ottiene il periodo di ritorno  $T_r$  e i relativi parametri di pericolosità sismica:

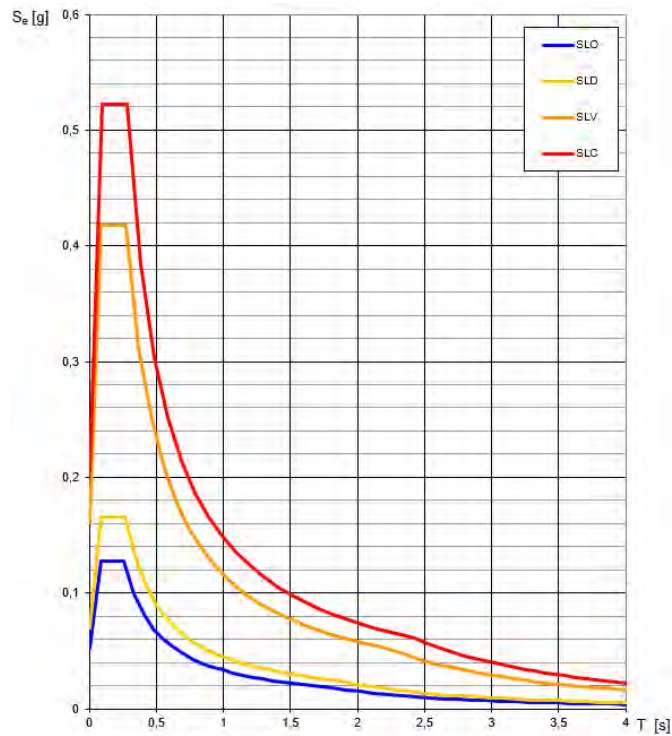
- $a_g$ : accelerazione orizzontale massima del terreno;
- $F_0$ : valore massimo del fattore di amplificazione dello spettro in accelerazione orizzontale;
- $T_c^*$ : periodo di inizio del tratto a velocità costante dello spettro in accelerazione orizzontale.

SLATO LIMITE	$T_R$ [anni]	$a_g$ [g]	$F_0$ [-]	$T_c^*$ [s]
SLO	30	0,052	2,453	0,260
SLD	50	0,069	2,391	0,269
SLV	475	0,161	2,595	0,277
SLC	975	0,206	2,540	0,283

**Tabella 113.** Valori di  $a_g$ ,  $F_0$  e  $T_c^*$  in funzione dei vari stati limite

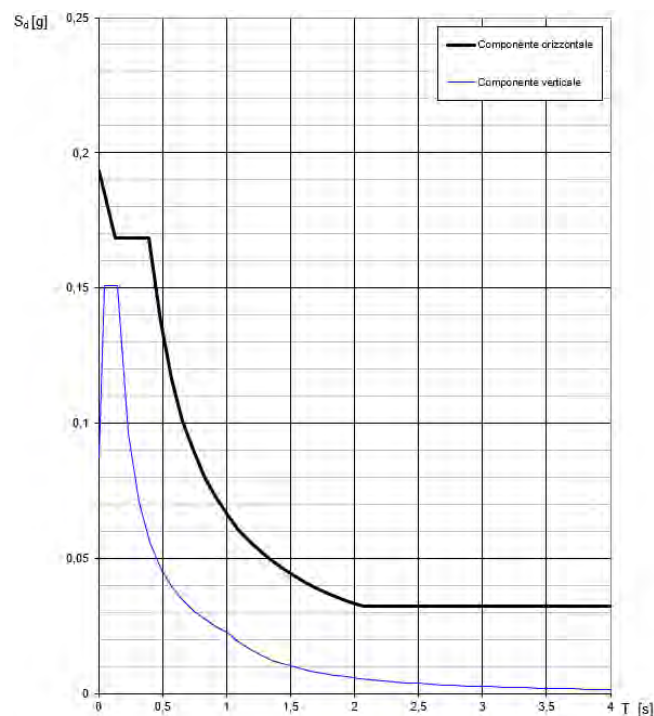


### 1.8.3.2. Spettri di risposta



**Figura 67.** Spettri di risposta elastici per i diversi stati limite

Con l'utilizzo del fattore di comportamento e dei parametri sismici dipendenti dal tipo di struttura in esame, precedentemente calcolati, si sono determinati gli spettri di calcolo agli stati limite SLV e SLD. Nel caso di utilizzo di isolatori sismici si farà riferimento allo spettro ad SLV per la sovrastruttura e ad SLC per gli isolatori. Tali spettri saranno opportunamente scalati in funzione dello smorzamento e del periodo scelto.



**Figura 68.** Spettri di risposta (componenti orizz.\_vert.) per lo SLV

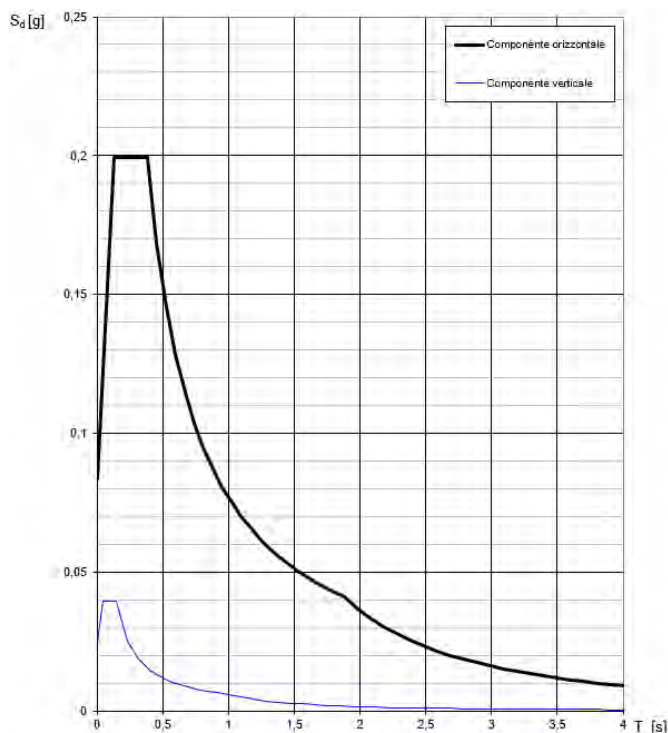


Figura 69. Spettri di risposta (componenti orizz.\_vert.) per lo SLD

#### 1.8.4. Carichi di progetto

##### 1.8.4.1. Carico della neve

Tale calcolo viene effettuato ai sensi di DM del 17 Gennaio 2018 "Norme tecniche per le costruzioni" e della Circolare Ministeriale Applicativa del 21 Gennaio 2019. Il carico neve sulle coperture è valutato con la seguente espressione:

$$q_s = \mu_i * q_{sk} * C_e *$$

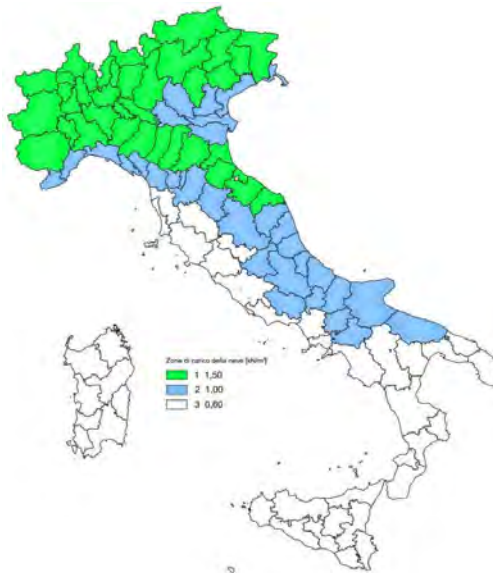
dove:

- $\mu_i$  è il coefficiente di forma della copertura;

Coefficiente di forma	$0^\circ \leq \alpha \leq 30^\circ$	$30^\circ < \alpha < 60^\circ$	$\alpha \geq 60^\circ$
$\mu_1$	0,8	$0,8 \cdot \frac{(60 - \alpha)}{30}$	0,0

Tabella 114. Tab. 3.4.II – Valori dei coefficienti di forma

- $q_{sk}$  è il valore di riferimento del carico neve al suolo e dipende dalla zona climatica e dall'altitudine di riferimento del sito  $a_s$ , se è maggiore o inferiore a 200 m;



**Figura 70.** Zone di carico della neve

- $C_e$  è il coefficiente di esposizione che viene utilizzato per modificare il carico neve in funzione delle caratteristiche dell'area in cui sorge l'opera;

Topografia	Descrizione	$C_e$
Battuta dai venti	Aree pianeggianti non ostruite esposte su tutti i lati, senza costruzioni o alberi più alti	0,9
Normale	Aree in cui non è presente una significativa rimozione di neve sulla costruzione prodotta dal vento, a causa del terreno, altre costruzioni o alberi	1,0
Riparata	Aree in cui la costruzione considerata è sensibilmente più bassa del circostante terreno o circondata da costruzioni o alberi più alti	1,1

**Tabella 115.** Tab. 3.4.I – Valori di  $C_z$  per diverse classi di esposizione

- $C_t$  è il coefficiente termico, generalmente assunto pari a 1;

Si assume che la neve non sia impedita di scivolare e si calcola il valore del carico neve in copertura:

Zona	$s_s$ (m)	$q_{sk}$ (daN/m <sup>2</sup> )	$\mu_i$	$C_e$	$C_t$	$q_s$ (daN/m <sup>2</sup> )
III	323	74	0,8	1	1	59

**Tabella 116.** Determinazione del carico da neve in copertura

#### 1.8.4.2. Carico del vento

La velocità base di riferimento del vento  $v_b$  è il valore medio su 10 minuti, a 10 m di altezza sul suolo su un terreno pianeggiante e omogeneo di categoria di esposizione II, riferito ad un periodo di ritorno  $T_r = 50$  anni, ed è pari a:

$$v_b = v_{b0} * c_a$$

dove:

- $v_{b0}$  è la velocità base di riferimento al livello del mare, assegnata nella Tab.3.3.I in funzione della zona in cui sorge la costruzione;

- $c_a$  è il coefficiente di altitudine fornito dalla relazione

$$c_a = 1 \quad \text{per } a_s \leq a_0$$

$$c_a = 1 + k_s * (a_s/a_0 - 1) \quad \text{per } a_0 < a_s \leq 1500 \text{ m}$$

dove:

- $a_0, k_s$  sono parametri forniti nella Tab.3.3.I in funzione della zona in cui sorge la costruzione;
- $a_s$  è l'altitudine sul livello del mare del sito ove sorge la costruzione.

Zona	Descrizione	$v_{b,0}$ [m/s]	$a_0$ [m]	$k_s$
1	Valle d'Aosta, Piemonte, Lombardia, Trentino Alto Adige, Veneto, Friuli Venezia Giulia (con l'eccezione della provincia di Trieste)	25	1000	0,40
2	Emilia Romagna	25	750	0,45
3	Toscana, Marche, Umbria, Lazio, Abruzzo, Molise, Puglia, Campania, Basilicata, Calabria (esclusa la provincia di Reggio Calabria)	27	500	0,37
4	Sicilia e provincia di Reggio Calabria	28	500	0,36
5	Sardegna (zona a oriente della retta congiungente Capo Teulada con l'Isola di Maddalena)	28	750	0,40
6	Sardegna (zona a occidente della retta congiungente Capo Teulada con l'Isola di Maddalena)	28	500	0,36
7	Liguria	28	1000	0,54
8	Provincia di Trieste	30	1500	0,50
9	Isole (con l'eccezione di Sicilia e Sardegna) e mare aperto	31	500	0,32



**Figura 71.** Valori dei parametri  $v_{b,0}, a_0, k_s$

**Figura 72.** Mappa delle zone in cui è suddiviso il territorio italiano

La velocità di riferimento  $v_r$  è il valore medio su 10 minuti, a 10 m di altezza dal suolo su un terreno pianeggiante e omogeneo di categoria di esposizione II, riferito al periodo di ritorno di progetto  $T_r$ .

$$v_r = v_b * c_r$$

- $v_b$  è la velocità base di riferimento al livello del mare, assegnata
- $c_r$  è il coefficiente di ritorno, funzione del periodo di ritorno di progetto  $T_r$  fornito dalla relazione

$$c_r = 0.75 * \sqrt{1 - 0.2 * \ln[-\ln * (1 - 1/T_r)]}$$

Quindi:

$v_{b,0}$ (m/s)	$a_s$	$c_a$	$v_b$	$T_r$	$c_r$	$v_r$ (m/s)
27	323	1	27	50	1,0007	27.02

La pressione del vento è data dall'espressione:

$$p = q_r * c_e * c_p * c_d$$

dove:

- $q_r$  è la pressione cinetica di riferimento data dall'espressione

$$q_r = \frac{1}{2} * \rho * v_r^2 \quad \text{in cui } \rho \text{ è la densità dell'aria pari a } 1.25 \text{ kg/m}^3$$

- $c_e$  è il coefficiente di esposizione che dipende dall'altezza  $z$  sul suolo del punto considerato, dalla topografia del terreno e dalla categoria di esposizione del sito ove sorge la costruzione. Per altezze sul suolo non maggiori di 200 m è dato dalla formula:

$$c_e(z) = k_r^2 * c_t * \ln(z/z_0) * [7 + c_t * \ln(z/z_0)] \quad \text{per } z \geq z_{min}$$

$$c_e(z) = c_e(z_{min}) \quad \text{per } z < z_{min}$$

dove:

- $k_r$ ,  $z_0$ ,  $z_{min}$  sono assegnati in Tab.3.3.II in funzione della categoria di esposizione del sito.
- $c_t$  è il coefficiente di topografia, posto generalmente uguale a 1.

Categoria di esposizione del sito	$K_r$	$z_0$ [m]	$z_{min}$ [m]
I	0,17	0,01	2
II	0,19	0,05	4
III	0,20	0,10	5
IV	0,22	0,30	8
V	0,23	0,70	12

**Tabella 117.** Parametri per la definizione del coefficiente di esposizione

Classe di rugosità del terreno	Descrizione
A	Aree urbane in cui almeno il 15% della superficie sia coperto da edifici la cui altezza media non superi i 15 m
B	Aree urbane (non di classe A), suburbane, industriali e boschive
C	Aree con ostacoli diffusi (alberi, case, muri, recinzioni...); aree con rugosità non riconducibile alle classi A, B, e D
D	a) Mare e relativa fascia costiera (entro 2 km dalla costa); b) Lago (con larghezza massima pari ad almeno 1 km) e relativa fascia costiera (entro 1 km dalla costa); c) Aree prive di ostacoli o con al più rari ostacoli isolati (aperta campagna, aeroporti, aree agricole, pascoli, zone paludose o sabbiose, superfici innevate o ghiacciate, ...)

**Tabella 118.** Classi di rugosità del terreno

ZONE 1,2,3,4,5						
	costa	mare	2 km	10 km	30 km	750m
A	--	IV	IV	V	V	V
B	--	III	III	IV	IV	IV
C	--	*	III	III	IV	IV
D	I	II	II	II	III	**
* Categoria II in zona 1,2,3,4 Categoria III in zona 5						
** Categoria III in zona 2,3,4,5 Categoria IV in zona 1						

**Tabella 119.** Definizione delle categorie di esposizione

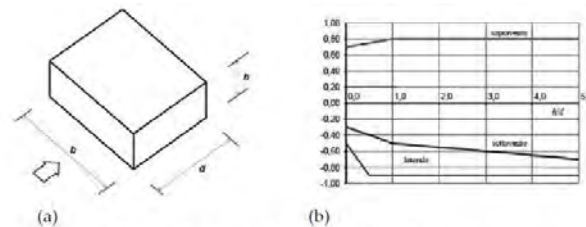
$q_r$	Rugosità	Esposizione	$c_e(z)$	$c_e(z_{min})$
456	B	III	2,284	1,708

**Tabella 120.** Definizione dei coefficienti di esposizione

- $c_p$  è il coefficiente di pressione e dipende dalla tipologia, dalla geometria della costruzione e dal suo orientamento rispetto alla direzione del vento. Il coefficiente globale  $c_{pe}$  che può essere



utilizzato in tutti i casi in cui la rappresentazione delle azioni aereodinamiche del vento possa essere effettuata in maniera semplificata, rivolta alla valutazione delle azioni globali su porzioni estese di costruzioni o delle risultanti delle azioni indotte dal vento sugli elementi principali della struttura. I coefficienti  $c_{pe}$  da assumere sulle pareti dell'edificio a pianta rettangolare sono diagrammati in base al rapporto  $h/d$ , avendo indicato con  $h$  l'altezza del manufatto e con  $d$  la profondità dell'edificio, valutata parallelamente al flusso di lavoro:



a) Parametri caratteristici di edifici a pianta rettangolare,  
b) Edifici a pianta rettangolare:  $c_{pe}$  per facce sopravvento, sottovento e laterali  
Figura C3.3.2

Tabella C3.3.I: Edifici a pianta rettangolare:  $c_{pe}$  per facce sopravvento, sottovento e laterali

Faccia sopravvento	$C_U = 2,0$	$C_U = 1,5$
$h/d \leq 1$ : $c_{pe} = 0,7 + 0,1 \cdot h/d$	$h/d \leq 0,5$ : $c_{pe} = -0,5 - 0,8 \cdot h/d$	$h/d \leq 1$ : $c_{pe} = -0,3 - 0,2 \cdot h/d$
$h/d > 1$ : $c_{pe} = 0,8$	$h/d > 0,5$ : $c_{pe} = -0,9$	$1 < h/d \leq 5$ : $c_{pe} = -0,5 - 0,05 \cdot (h/d - 1)$

Tabella 121. Coefficienti di pressione delle facciate secondo NTC2018

Quindi i coefficienti per le facce sopravvento e sottovento sono:

b	d	h	h/d	$C_{pe}$ -sopravento	$C_{pe}$ -sottovento
16,50	10,6	12,50	1,18	0,80	-0,51

Tabella 122. Definizione dei coefficienti di pressione

## COPERTURA A DOPPIA FALDA

Per le coperture a doppia falda, i coefficienti globali da assumere, nel caso di vento perpendicolare alla direzione del colmo, sono quelli per le coperture a falda singola.

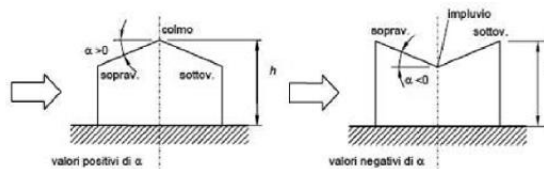


Figura 73. Schema di riferimento per coperture a doppia falda

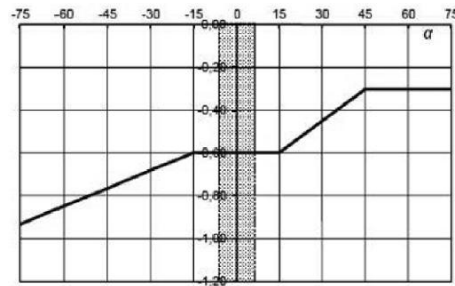
Valori negativi		Valori positivi	
$\alpha \leq -60^\circ$	$c_{pe} = -0,5$	$0^\circ \leq \alpha \leq 45^\circ$	$c_{pe} = +\alpha/75$
$-60^\circ \leq \alpha \leq -15^\circ$	$c_{pe} = -0,5 - (\alpha + 60)/90$	$45^\circ \leq \alpha \leq 75^\circ$	$c_{pe} = +0,6 + (\alpha - 45)/150$
$-15^\circ \leq \alpha \leq 30^\circ$	$c_{pe} = -1,0 + (\alpha + 15)/75$		
$30^\circ \leq \alpha \leq 45^\circ$	$c_{pe} = -0,4 + (\alpha - 30)/37,5$		

Tabella 123. Coperture a doppia falda, valori del  $c_{pe}$  con vento perpendicolare al colmo

Per la falda sottovento si fa riferimento ai valori riportati di seguito:

$-75^\circ \leq \alpha \leq -15^\circ$	$c_{pe} = -0,85 + (\alpha + 60)/180$
$-15^\circ \leq \alpha \leq 15^\circ$	$c_{pe} = -0,6$
$15^\circ \leq \alpha \leq 45^\circ$	$c_{pe} = -0,6 + (\alpha - 15)/100$
$45^\circ \leq \alpha$	$c_{pe} = -0,3$

**Tabella 124.** Coperture a doppia falda, valori del  $c_{pe}$  con vento perpendicolare al colmo



**Figura 74.** Coperture a doppia falda, grafico del  $c_{pe}$  con vento perpendicolare al colmo

Le pressioni interne agli edifici dipendono dalla superficie delle aperture che questi presentano verso l'esterno. Nel caso in esame si assumono valori del coefficiente di pressione interno pari a  $c_{pi} = +0,2$  e  $c_{pi} = -0,30$ , considerando il caso che di volta in volta conduce alla situazione maggiormente gravosa.

- $c_d$  è il coefficiente dinamico e può essere assunto cautelativamente pari a 1 nelle costruzioni di tipologia ricorrente quali gli edifici di forma regolare non eccedenti 80 m in altezza e capannoni industriali.

In funzione dei coefficienti analizzati e della pressione cinetica di riferimento, si calcola la pressione del vento per la copertura e per le facciate sopravento e sottovento considerando i valori massimi e minimi.

Facciata	Sopravento	Sottovento
$p_{min}$ (daN/m <sup>2</sup> )	467	-630
$p_{max}$ (daN/m <sup>2</sup> )	625	-843
Copertura	Sopravento	Sottovento
$p$ (daN/m <sup>2</sup> )	-730	-730

### **1.8.5. Interventi per il miglioramento sismico – edifici in muratura**

Gli interventi previsti per la riduzione del rischio sismico si dividono in:

- interventi che possono consentire il miglioramento di almeno due Classi di Rischio o l'adeguamento sismico.

La tipologia di interventi considerati riguarda l'utilizzo di:

- cappotto sismico applicato alle pareti esterne dell'edificio.

Questa tipologia di interventi, viene presa in considerazione nel caso in cui le lavorazioni vengono eseguite senza dover in alcun modo evacuare gli inquilini dell'edificio, e quando la struttura risulta regolare in pianta e in altezza. Per gli edifici in cemento armato, nel caso di struttura a telai in entrambe le direzioni, è prevista la possibilità di ritenere valido il passaggio di più Classi di Rischio con la possibilità di raggiungere l'adeguamento sismico a seconda della tipologia di struttura.

#### **1.8.5.1. Sintesi degli interventi previsti**

##### **CAPPOTTO SISMICO**

Il cappotto sismico viene applicato sulle facciate esterne dell'edificio al fine di realizzare una nuova "pelle" sismo-resistente. E' costituito da una lastra sottile in calcestruzzo armato gettato in opera all'interno di due strati di materiale isolante, preinseriti in una maglia tridimensionale in acciaio zincato. La lastra in calcestruzzo può avere spessori variabili in base alla tipologia di intervento e nel caso in esame si ipotizza uno spessore di circa 8-10 cm; a livello delle travi esterne di piano si realizza un nuovo cordolo dello spessore della lastra più la larghezza dello strato di isolante addossato alla parete di circa 4 cm.

Il getto e l'armatura di rinforzo vengono resi solidali alla struttura esistente mediante, sia l'inserimento di connettori disposti a livello dei cordoli di piano e, se necessario, sui pilastri, sia disponendo opportuni ancoraggi sulla fondazione esistente o su una nuova fondazione addossata a quella esistente

La maglia tridimensionale in acciaio zincato consente di semplificare le operazioni di posa in opera delle armature strutturali, di minimizzare gli sfridi di cantiere e di realizzare uno strato di finitura ad intonaco particolarmente solida che garantisce la massima protezione del materiale isolante da urti accidentali ed agenti atmosferici.

Le norme NTC18 trattano le pareti in calcestruzzo soltanto per quanto riguarda le prescrizioni da seguire per strutture a comportamento dissipativo. Le lastre in calcestruzzo vengono invece dimensionate per garantire un comportamento elastico e non dissipativo nei confronti dell'azione sismica di progetto, rientrando nella tipologia di "strutture non dissipative". Per questo motivo le verifiche in resistenza degli elementi in calcestruzzo vengono effettuate seguendo l'approccio fornito dalla norma per gli elementi strutturali a comportamento non dissipativo, contenute nel

capitolo 4 delle NTC18 mentre le prescrizioni contenute nel capitolo 7 non risultano vincolanti per il dimensionamento delle pareti.

Per quanto riguarda le connessioni tra edificio esistente e cappotto sismico, la valutazione analitica della resistenza degli ancoraggi metallici per calcestruzzo può essere effettuata secondo le linee guida definite dal documento ETAG001-1997: "Linee guida per il benessere tecnico europeo di ancoraggi metallici da utilizzare nel calcestruzzo" e dai relativi allegati.

#### **1.8.6. Conclusioni**

Per quanto concerne gli aspetti prettamente strutturali, l'intervento di miglioramento sismico adottato per la tipologia oggetto della presente relazione, prevede l'utilizzo di un cappotto sismico, un sistema integrato di rafforzamento strutturale e miglioramento del benessere termoigrometrico dell'edificio. Questo intervento, oltre a non interrompere il normale esercizio della struttura permette la riduzione delle tempistiche del cantiere, in quanto i moduli da applicare sulle pareti esterne, risultano prefabbricati e sono comprensivi delle varie forometrie; in cantiere, l'attività sarà quella di prevedere il collegamento con la struttura esistente e la realizzazione del getto all'interno del cassero e, se necessario, il getto armato della nuova porzione di fondazione.

Gli interventi strutturali previsti sono mirati al miglioramento sismico attraverso l'incremento di almeno due Classi di Rischio o l'adeguamento sismico, da valutare nel dettaglio nelle fasi progettuali successive. Con ciò si intende il miglioramento del rischio della costruzione con incidenza sul valore PAM e sulla capacità che la struttura possiede rispetto allo stato limite della salvaguardia sulla vita. Tale valore è stato valutato come rapporto tra PGAA (SLV) anteoperam e la PGAp (SLV) postoperam, determinata attraverso il metodo convenzionale nel rispetto della normativa vigente (NTC 2018) e della circolare ministeriale applicativa del 21 gennaio 2019.

## 1.9. Tipologia VE09

### 1.9.1. Individuazione dei siti in esame

Di seguito si riporta una tabella che riassume i parametri generali del sito in esame, con gli identificativi e le coordinate dei punti che includono gli edifici.

Provincia	Comune	Tipologia	Via	Latitudine	Longitudine
Roma	Velletri	VE09	Via G. Pastore 2-4-6-8-10-12-14-16	41.4126°	12.4719°

Tabella 125. Parametri generali del sito in esame



Figura 75. Individuazione del sito in esame (immagine da google earth)

### 1.9.2. Determinazione della categoria di sottosuolo

Per la determinazione della categoria di sottosuolo, in assenza di indagini geologiche specifiche per ogni intervento da realizzare, è possibile stimare in via preliminare e con le approssimazioni del caso, la velocità delle onde VS facendo specifico riferimento agli abachi regionali di microzonazione sismica ai sensi della DGR Lazio n. 545 del 26 novembre 2010, forniti sul portale della Regione Lazio. Nello specifico andando ad individuare la carta delle microzone omogenee in prospettiva sismica per il comune di interesse, è possibile risalire alla tipologia del sottosuolo e relativo spessore. Dalla carta riportata in figura 2, si evidenzia che il sito oggetto del presente studio ricade all'interno delle zone stabili suscettibili di amplificazione sismica (Zona 1) che sono caratterizzate dalla



presenza depositi piroclastici. In funzione di questo, entrando in via approssimativa nell'abaco (Vs/h) riportato in figura 2, relativo alle ghiaie alluvionali, detritiche e sabbie di alterazione, si determina il valore di Vs che viene utilizzato per la stima approssimata della categoria di sottosuolo entrando nella tabella 3.2.II del D.M. 17 Gennaio 2018.

<b>GHIAIE ALLUVIONALI</b> <b>GHIAIE DETRITICHE</b> <b>SABBIE DI ALTERAZIONE DA ARENARIE</b> <b>SABBIE DI ALTERAZIONE DA TRAVERTINI</b> <b>SABBIE DI ALTERAZIONI DA TUFI VULCANICI</b>										
FH <sub>0,1-0,5</sub>		Velocità media V <sub>SH</sub> (m/s)								
Profondità dal pc H (m)		180	250	300	360	400	450	500	600	700
	5	1.3	1.2	1.1	1.1	1.1	1.1	1.0	1.0	1.0
	10			1.4	1.4	1.2	1.2	1.1	1.1	1.0
	15			1.6	1.5	1.3	1.3	1.2	1.1	1.1
	20			1.7	1.6	1.4	1.3	1.2	1.1	1.1
	25			1.6	1.5	1.5	1.4	1.3	1.2	1.1
	30			1.5	1.5	1.5	1.4	1.3	1.2	1.1
	35				1.4	1.4	1.3	1.3	1.2	1.1
	40					1.4	1.3	1.3	1.2	1.1
	45						1.3	1.2	1.2	1.1

GRADIENTE DI VELOCITA' PER VALIDITA' ABACO

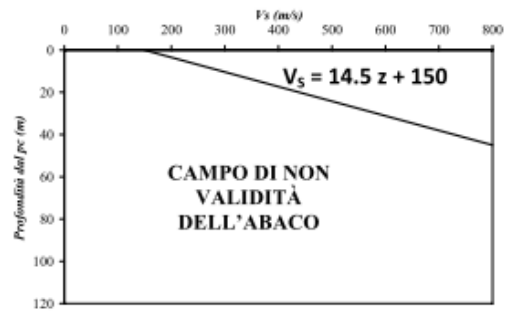


Tabella 126. Abaco per le ghiaie alluvionali, detritiche e sabbie di alterazione

Nello specifico facendo riferimento all'andamento della velocità Vs con la profondità z dello strato dal piano campagna, si ottiene un valore delle velocità Vs pari a:

$$V_s = 14.5 * z + 150 = 512 \text{ m/s}$$

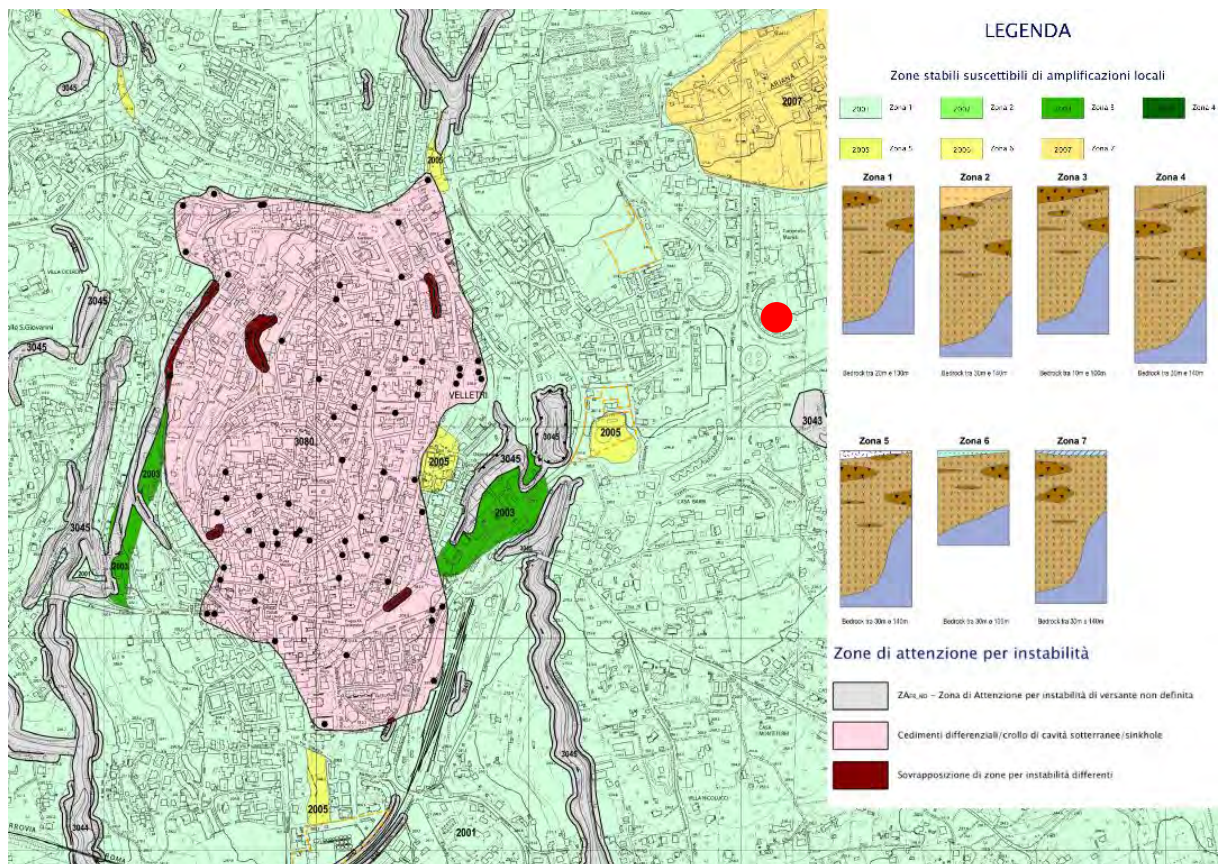


Figura 76. Zona omogenea in prospettiva sismica

In relazione alle formulazioni sopra riportate avendo ottenuto un valore delle Vs pari a 512 m/s ed entrando nella tabella 3 sotto riportata si ottiene una categoria di sottosuolo B “*Depositi di terreni a grana grossa molto addensati o terreni a grana fina molto consistenti*”.

Per le condizioni topografiche che nel caso specifico si configurano in superficiali semplici si può adottare la classificazione riportata nella tabella 4 e nello specifico si ricade nella categoria T1.

Categoria	Descrizione
A	Ammassi rocciosi affioranti o terreni molto rigidi caratterizzati da valori di velocità delle onde di taglio superiori a 800 m/s, eventualmente comprendenti in superficie terreni di caratteristiche meccaniche più scadenti con spessore massimo pari a 3 m.
B	Rocce tenere e depositi di terreni a grana grossa molto addensati o terreni a grana fina molto consistenti, caratterizzati da un miglioramento delle proprietà meccaniche con la profondità e da valori di velocità equivalente compresi tra 360 m/s e 800 m/s.
C	Depositi di terreni a grana grossa mediamente addensati o terreni a grana fina mediamente consistenti con profondità del substrato superiori a 30 m, caratterizzati da un miglioramento delle proprietà meccaniche con la profondità e da valori di velocità equivalente compresi tra 180 m/s e 360 m/s.
D	Depositi di terreni a grana grossa scarsamente addensati o di terreni a grana fina scarsamente consistenti, con profondità del substrato superiori a 30 m, caratterizzati da un miglioramento delle proprietà meccaniche con la profondità e da valori di velocità equivalente compresi tra 100 e 180 m/s.
E	Terreni con caratteristiche e valori di velocità equivalente riconducibili a quelle definite per le categorie C o D, con profondità del substrato non superiore a 30 m.

**Tabella 127.** Tab. 3.2.II – Categorie di sottosuolo che permettono l'utilizzo dell'approccio semplificato

Categoria	Caratteristiche della superficie topografica
T1	Superficie pianeggiante, pendii e rilievi isolati con inclinazione media $i \leq 15^\circ$
T2	Pendii con inclinazione media $i > 15^\circ$
T3	Rilievi con larghezza in cresta molto minore che alla base e inclinazione media $15^\circ \leq i \leq 30^\circ$
T4	Rilievi con larghezza in cresta molto minore che alla base e inclinazione media $i > 30^\circ$

**Tabella 128.** Tab. 3.2. III – Categorie topografiche

### 1.9.3. Analisi sismica

#### 1.9.3.1. Determinazione del fattore di comportamento q

Si riportano in dettaglio le caratteristiche principali della struttura in esame, utili per il calcolo del fattore di comportamento q e dell'azione sismica.

Classe d'uso	Vita nominale	Coeff. Uso	Duttilità	Regolarità in pianta	Regolarità in altezza	Tipologia strutturale
II	50	1	B	si	si	Telaio c.a..

L'analisi strutturale per azioni sismiche utilizzata per la verifica è del tipo lineare (cap. 7.3.1 NTC 2018). Per sistemi non dissipativi (SLE), gli effetti delle azioni sono calcolati riferendosi ad uno spettro di progetto ottenuto assumendo un fattore di comportamento  $q=1$  per lo stato limite di operatività (SLO) (cap. 3.2.3.4 NTC 2018) e un fattore di comportamento  $q \leq 1.5$  per stato limite di danno (SLD) (cap. 3.2.3.5 NTC 2018). Per sistemi dissipativi (SLU), gli effetti delle azioni sono calcolati riferendosi ad uno spettro di progetto ottenuto assumendo un fattore di struttura  $q \geq 1.5$  (cap. 3.2.3.5 NTC 2018).

Il calcolo del fattore di comportamento per i sistemi dissipativi è stato eseguito seguendo quanto riportato al capitolo 7 delle NTC 2018 in funzione dei parametri generali della struttura in esame. Si riportano, in tabella, i valori del fattore di comportamento utili per la valutazione dell'azione sismica nelle tre direzioni:

$q_0$	$\alpha_u/\alpha_i$	$k_r$	$q_x$	$q_y$	$q_z$
$3^* \alpha_u/\alpha_i$	1.3	1	3.9	3.9	1.5

L'azione sismica viene definita in relazione ad un periodo di riferimento  $V_r$  che si ricava, per ciascun tipo di costruzione, moltiplicandone la vita nominale per il coefficiente d'uso. Fissato il periodo di riferimento  $V_r$  e la probabilità di superamento  $P_{ver}$  associata a ciascuno degli stati limite considerati, si ottiene il periodo di ritorno  $T_r$  e i relativi parametri di pericolosità sismica:

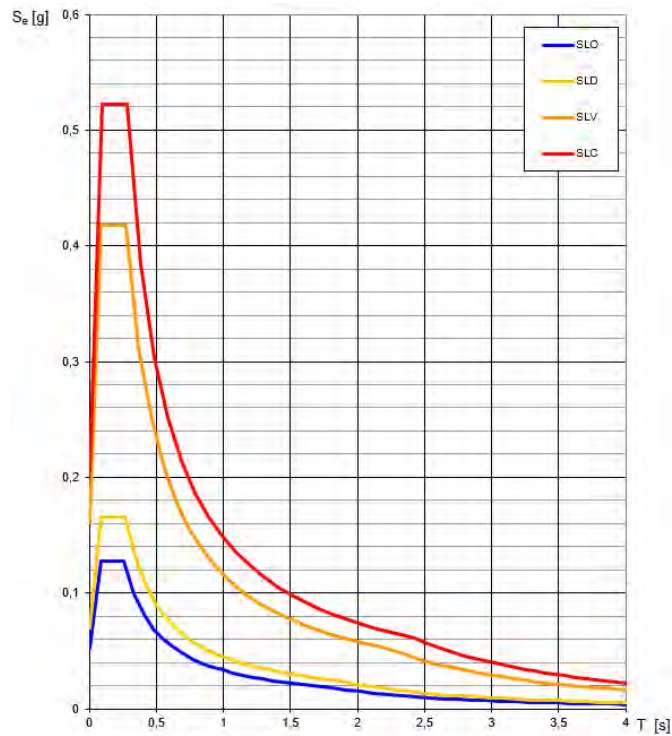
- $a_g$ : accelerazione orizzontale massima del terreno;
- $F_0$ : valore massimo del fattore di amplificazione dello spettro in accelerazione orizzontale;
- $T_c^*$ : periodo di inizio del tratto a velocità costante dello spettro in accelerazione orizzontale.

SLATO LIMITE	$T_R$ [anni]	$a_g$ [g]	$F_0$ [-]	$T_c^*$ [s]
SLO	30	0,052	2,453	0,260
SLD	50	0,069	2,391	0,269
SLV	475	0,161	2,595	0,277
SLC	975	0,206	2,540	0,283

**Tabella 129.** Valori di  $a_g$ ,  $F_0$  e  $T_c^*$  in funzione dei vari stati limite

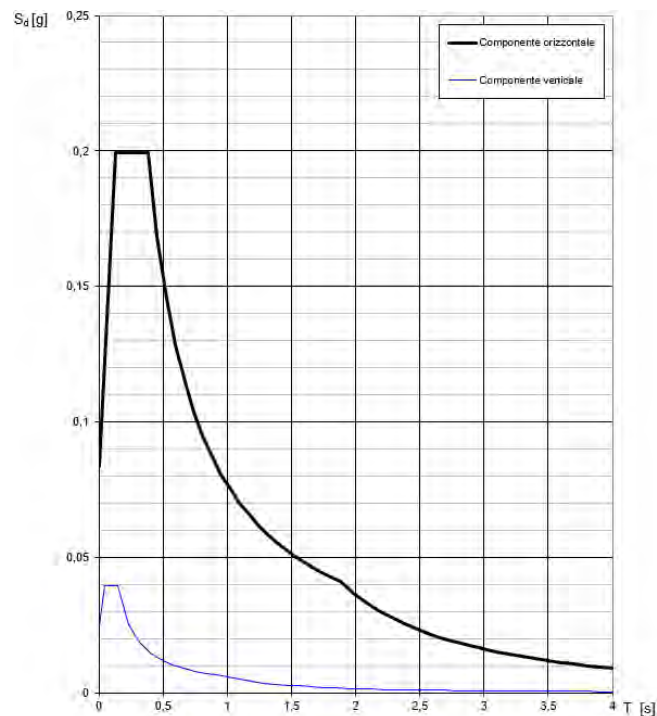


### 1.9.3.2. Spettri di risposta



**Figura 77.** Spettri di risposta elastici per i diversi stati limite

Con l'utilizzo del fattore di comportamento e dei parametri sismici dipendenti dal tipo di struttura in esame, precedentemente calcolati, si sono determinati gli spettri di calcolo agli stati limite SLV e SLD. Nel caso di utilizzo di isolatori sismici si farà riferimento allo spettro ad SLV per la sovrastruttura e ad SLC per gli isolatori. Tali spettri saranno opportunamente scalati in funzione dello smorzamento e del periodo scelto.



**Figura 78.** Spettri di risposta (componenti orizz.\_vert.) per lo SLV

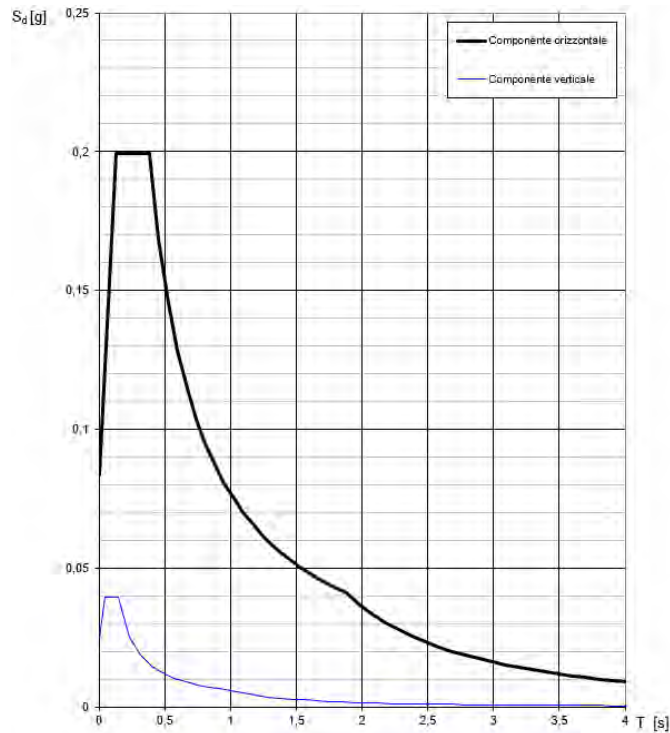


Figura 79. Spettri di risposta (componenti orizz.\_vert.) per lo SLD

#### 1.9.4. Carichi di progetto

##### 1.9.4.1. Carico della neve

Tale calcolo viene effettuato ai sensi di DM del 17 Gennaio 2018 "Norme tecniche per le costruzioni" e della Circolare Ministeriale Applicativa del 21 Gennaio 2019. Il carico neve sulle coperture è valutato con la seguente espressione:

$$q_s = \mu_i * q_{sk} * C_e *$$

dove:

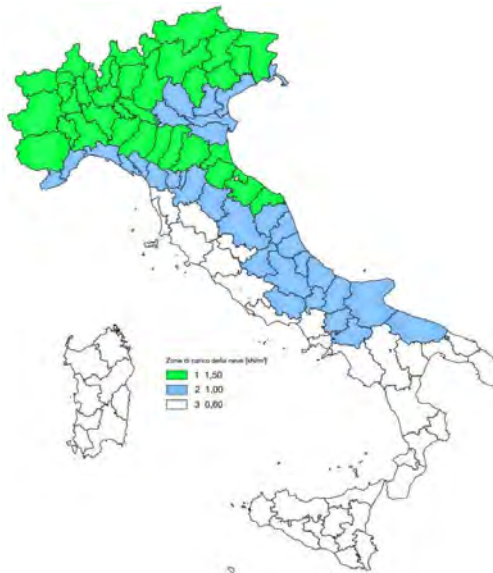
- $\mu_i$  è il coefficiente di forma della copertura;

Coefficiente di forma	$0^\circ \leq \alpha \leq 30^\circ$	$30^\circ < \alpha < 60^\circ$	$\alpha \geq 60^\circ$
$\mu_1$	0,8	$0,8 \cdot \frac{(60 - \alpha)}{30}$	0,0

Tabella 130. Tab. 3.4.II – Valori dei coefficienti di forma

- $q_{sk}$  è il valore di riferimento del carico neve al suolo e dipende dalla zona climatica e dall'altitudine di riferimento del sito  $a_s$ , se è maggiore o inferiore a 200 m;





**Figura 80.** Zone di carico della neve

- $C_e$  è il coefficiente di esposizione che viene utilizzato per modificare il carico neve in funzione delle caratteristiche dell'area in cui sorge l'opera;

Topografia	Descrizione	$C_e$
Battuta dai venti	Aree pianeggianti non ostruite esposte su tutti i lati, senza costruzioni o alberi più alti	0,9
Normale	Aree in cui non è presente una significativa rimozione di neve sulla costruzione prodotta dal vento, a causa del terreno, altre costruzioni o alberi	1,0
Riparata	Aree in cui la costruzione considerata è sensibilmente più bassa del circostante terreno o circondata da costruzioni o alberi più alti	1,1

**Tabella 131.** Tab. 3.4.I – Valori di  $C_z$  per diverse classi di esposizione

- $C_t$  è il coefficiente termico, generalmente assunto pari a 1;

Si assume che la neve non sia impedita di scivolare e si calcola il valore del carico neve in copertura:

Zona	$s$ (m)	$q_{sk}$ (daN/m <sup>2</sup> )	$\mu_i$	$C_e$	$C_t$	$q_s$ (daN/m <sup>2</sup> )
III	305	72	0,8	1	1	57

**Tabella 132.** Determinazione del carico da neve in copertura

#### 1.9.4.2. Carico del vento

La velocità base di riferimento del vento  $v_b$  è il valore medio su 10 minuti, a 10 m di altezza sul suolo su un terreno pianeggiante e omogeneo di categoria di esposizione II, riferito ad un periodo di ritorno  $T_r = 50$  anni, ed è pari a:

$$v_b = v_{b0} * c_a$$

dove:

- $v_{b0}$  è la velocità base di riferimento al livello del mare, assegnata nella Tab.3.3.I in funzione della zona in cui sorge la costruzione;

- $c_a$  è il coefficiente di altitudine fornito dalla relazione

$$c_a = 1 \quad \text{per } a_s \leq a_0$$

$$c_a = 1 + k_s * (a_s/a_0 - 1) \quad \text{per } a_0 < a_s \leq 1500 \text{ m}$$

dove:

- $a_0, k_s$  sono parametri forniti nella Tab.3.3.I in funzione della zona in cui sorge la costruzione;
- $a_s$  è l'altitudine sul livello del mare del sito ove sorge la costruzione.

Zona	Descrizione	$v_{b,0}$ [m/s]	$a_0$ [m]	$k_s$
1	Valle d'Aosta, Piemonte, Lombardia, Trentino Alto Adige, Veneto, Friuli Venezia Giulia (con l'eccezione della provincia di Trieste)	25	1000	0,40
2	Emilia Romagna	25	750	0,45
3	Toscana, Marche, Umbria, Lazio, Abruzzo, Molise, Puglia, Campania, Basilicata, Calabria (esclusa la provincia di Reggio Calabria)	27	500	0,37
4	Sicilia e provincia di Reggio Calabria	28	500	0,36
5	Sardegna (zona a oriente della retta congiungente Capo Teulada con l'Isola di Maddalena)	28	750	0,40
6	Sardegna (zona a occidente della retta congiungente Capo Teulada con l'Isola di Maddalena)	28	500	0,36
7	Liguria	28	1000	0,54
8	Provincia di Trieste	30	1500	0,50
9	Isole (con l'eccezione di Sicilia e Sardegna) e mare aperto	31	500	0,32



**Figura 81.** Valori dei parametri  $v_{b0}, a_0, k_s$

**Figura 82.** Mappa delle zone in cui è suddiviso il territorio italiano

La velocità di riferimento  $v_r$  è il valore medio su 10 minuti, a 10 m di altezza dal suolo su un terreno pianeggiante e omogeneo di categoria di esposizione II, riferito al periodo di ritorno di progetto  $T_r$ .

$$v_r = v_b * c_r$$

- $v_b$  è la velocità base di riferimento al livello del mare, assegnata
- $c_r$  è il coefficiente di ritorno, funzione del periodo di ritorno di progetto  $T_r$  fornito dalla relazione

$$c_r = 0.75 * \sqrt{1 - 0.2 * \ln[-\ln * (1 - 1/T_r)]}$$

Quindi:

$v_{b0}$ (m/s)	$a_s$	$c_a$	$v_b$	$T_r$	$c_r$	$v_r$ (m/s)
27	305	1	27	50	1,0007	27.02

La pressione del vento è data dall'espressione:

$$p = q_r * c_e * c_p * c_d$$

dove:

- $q_r$  è la pressione cinetica di riferimento data dall'espressione

$$q_r = \frac{1}{2} * \rho * v_r^2 \quad \text{in cui } \rho \text{ è la densità dell'aria pari a } 1.25 \text{ kg/m}^3$$

•  $c_e$  è il coefficiente di esposizione che dipende dall'altezza  $z$  sul suolo del punto considerato, dalla topografia del terreno e dalla categoria di esposizione del sito ove sorge la costruzione. Per altezze sul suolo non maggiori di 200 m è dato dalla formula:

$$c_e(z) = k_r^2 * c_t * \ln(z/z_0) * [7 + c_t * \ln(z/z_0)] \quad \text{per } z \geq z_{min}$$

$$c_e(z) = c_e(z_{min}) \quad \text{per } z < z_{min}$$

dove:

- $k_r$ ,  $z_0$ ,  $z_{min}$  sono assegnati in Tab.3.3.II in funzione della categoria di esposizione del sito.
- $c_t$  è il coefficiente di topografia, posto generalmente uguale a 1.

Categoria di esposizione del sito	$K_r$	$z_0$ [m]	$z_{min}$ [m]
I	0,17	0,01	2
II	0,19	0,05	4
III	0,20	0,10	5
IV	0,22	0,30	8
V	0,23	0,70	12

**Tabella 133.** Parametri per la definizione del coefficiente di esposizione

Classe di rugosità del terreno	Descrizione
A	Aree urbane in cui almeno il 15% della superficie sia coperto da edifici la cui altezza media non superi i 15 m
B	Aree urbane (non di classe A), suburbane, industriali e boschive
C	Aree con ostacoli diffusi (alberi, case, muri, recinzioni...); aree con rugosità non riconducibile alle classi A, B, e D
D	a) Mare e relativa fascia costiera (entro 2 km dalla costa); b) Lago (con larghezza massima pari ad almeno 1 km) e relativa fascia costiera (entro 1 km dalla costa); c) Aree prive di ostacoli o con al più rari ostacoli isolati (aperta campagna, aeroporti, aree agricole, pascoli, zone paludose o sabbiose, superfici innevate o ghiacciate, ...)

**Tabella 134.** Classi di rugosità del terreno

ZONE 1,2,3,4,5						
	costa	mare	2 km	10 km	30 km	750m
A	--	IV	IV	V	V	V
B	--	III	III	IV	IV	IV
C	--	*	III	III	IV	IV
D	I	II	II	II	III	**
* Categoria II in zona 1,2,3,4 Categoria III in zona 5						
** Categoria III in zona 2,3,4,5 Categoria IV in zona 1						

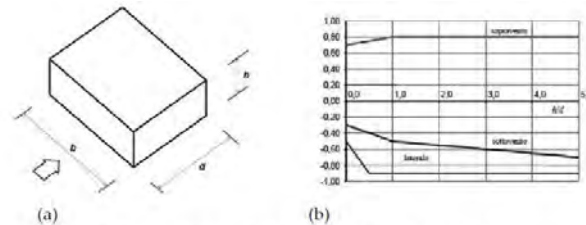
**Tabella 135.** Definizione delle categorie di esposizione

$q_r$	Rugosità	Esposizione	$c_e(z)$	$c_e(z_{min})$
456	B	III	2.238	1,708

**Tabella 136.** Definizione dei coefficienti di esposizione

•  $c_p$  è il coefficiente di pressione e dipende dalla tipologia, dalla geometria della costruzione e dal suo orientamento rispetto alla direzione del vento. Il coefficiente globale  $c_{pe}$  che può essere

utilizzato in tutti i casi in cui la rappresentazione delle azioni aereodinamiche del vento possa essere effettuata in maniera semplificata, rivolta alla valutazione delle azioni globali su porzioni estese di costruzioni o delle risultanti delle azioni indotte dal vento sugli elementi principali della struttura. I coefficienti  $c_{pe}$  da assumere sulle pareti dell'edificio a pianta rettangolare sono diagrammati in base al rapporto  $h/d$ , avendo indicato con  $h$  l'altezza del manufatto e con  $d$  la profondità dell'edificio, valutata parallelamente al flusso di lavoro:



a) Parametri caratteristici di edifici a pianta rettangolare,  
b) Edifici a pianta rettangolare:  $c_{pe}$  per facce sopravvento, sottovento e laterali  
**Figura C3.3.2**

**Tabella C3.3.I:** Edifici a pianta rettangolare:  $c_{pe}$  per facce sopravvento, sottovento e laterali

Faccia sopravvento	$C_U = 2,0$	$C_U = 1,5$
$h/d \leq 1$ : $c_{pe} = 0,7 + 0,1 \cdot h/d$	$h/d \leq 0,5$ : $c_{pe} = -0,5 - 0,8 \cdot h/d$	$h/d \leq 1$ : $c_{pe} = -0,3 - 0,2 \cdot h/d$
$h/d > 1$ : $c_{pe} = 0,8$	$h/d > 0,5$ : $c_{pe} = -0,9$	$1 < h/d \leq 5$ : $c_{pe} = -0,5 - 0,05 \cdot (h/d - 1)$

**Tabella 137.** Coefficienti di pressione delle facciate secondo NTC2018

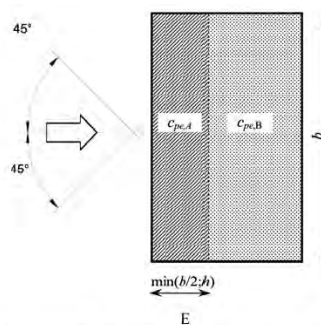
Quindi i coefficienti per le facce sopravvento e sottovento sono:

b	d	h	h/d	$C_{pe}$ -sopravento	$C_{pe}$ -sottovento
50	13	19	1.46	0.8	-0,52

**Tabella 138.** Definizione dei coefficienti di pressione

## COPERTURA PIANA

Per la copertura piana, l'altezza di riferimento  $z_e$  è pari alla quota massima della copertura stessa, inclusa la presenza dei parapetti e di altri analoghi elementi. I coefficienti globali  $c_{pe}$  da assumere sulle coperture di un edificio a pianta rettangolare sono riportati di seguito:



**Figura C3.3.5 -** Schema di riferimento per coperture piane

**Tabella C3.3.III -** Edifici rettangolari:  $c_{pe}$  per coperture piane.

Fascia sopravvento di profondità pari al minimo tra $b/2$ e $h$ :	$C_{pe,A} = -0,80$
Restanti zone	$C_{pe,B} = \pm 0,20$

**Tabella 139.** Definizione  $c_{pe}$  per coperture piano

Le pressioni interne agli edifici dipendono dalla superficie delle aperture che questi presentano verso l'esterno. Nel caso in esame si assumono valori del coefficiente di pressione interno pari a  $c_{pi} = +0,2$  e  $c_{pi} = -0,30$ , considerando il caso che di volta in volta conduce alla situazione maggiormente gravosa.

- $c_d$  è il coefficiente dinamico e può essere assunto cautelativamente pari a 1 nelle costruzioni di tipologia ricorrente quali gli edifici di forma regolare non eccedenti 80 m in altezza e capannoni industriali.

In funzione dei coefficienti analizzati e della pressione cinetica di riferimento, si calcola la pressione del vento per la copertura e per le facciate sopravento e sottovento considerando i valori massimi e minimi.

<b>Facciata</b>	<b>Sopravento</b>	<b>Sottovento</b>
$p_{min}$ (daN/m <sup>2</sup> )	447	-614
$p_{max}$ (daN/m <sup>2</sup> )	613	-841
<b>Copertura</b>	<b>Sopravento</b>	<b>Sottovento</b>
$p$ (daN/m <sup>2</sup> )	-1124	-511



### **1.9.5. Interventi per il miglioramento sismico – edifici in cemento armato**

Gli interventi previsti per la riduzione del rischio sismico si dividono in:

- interventi che consentono il passaggio di una sola Classe di Rischio;
- interventi che possono consentire il passaggio fino a due Classi di Rischio.
- interventi che possono consentire il miglioramento di almeno due Classi di Rischio o l'adeguamento sismico.

La prima tipologia di interventi considerati è quella contenuta nelle “Linee guida per la classificazione del rischio sismico delle costruzioni” (D.M. 65/2017-allegato A). Per gli edifici in cemento armato, se la struttura è stata originariamente concepita con la presenza di telai in entrambe le direzioni, è prevista la possibilità di ritenere valido il passaggio alla Classe di Rischio immediatamente superiore se vengono effettuati gli interventi seguenti:

- incamiciatura dei pilastri e dei nodi pilastro-trave per tutte le pilastrate e le travi disposte lungo il perimetro dell'edificio;
- opere volte a scongiurare il ribaltamento delle tamponature, compiute su tutte le tamponature perimetrali presenti sulle facciate;
- eventuali opere di ripristino delle zone danneggiate e/o degradate.

La seconda tipologia di interventi considerati riguarda l'utilizzo di:

- isolamento sismico in fondazione.

Questa tipologia di interventi, viene presa in considerazione nel caso in cui le lavorazioni vengono eseguite senza dover in alcun modo evacuare gli inquilini dell'edificio, quindi quando per esempio:

- è presente un piano interrato dove sono presenti garage;
- è presente un piano terra dove sono presenti negozi;
- è presente un piano pilotis dove sono presenti cantine.

Nel caso si adotti l'intervento di isolamento sismico in fondazione bisogna fare una differenza in funzione della presenza o meno di un piano interrato.

Nel caso in cui **fosse presente il piano interrato** (adibito a garage o cantine), l'intervento di isolamento sismico alla base prevede di tagliare il pilastro del piano interrato all'altezza delle travi del piano terra inserendo l'isolatore sismico opportunamente dimensionato e ringrossando ove necessario il nodo trave pilastro. Risulta inoltre indispensabile creare una trincea perimetrale esterna che consenta all'edificio gli spostamenti generati dall'azione sismica.

Nel caso in cui **non fosse presente un piano interrato**, ma ad esempio un piano pilotis con cantine, l'intervento prevede di creare un piano di scorrimento che può essere realizzato in funzione delle opportunità e delle esigenze o all'attacco tra fondazione e pilastri oppure direttamente sopra la soletta del piano terra. Il piano di scorrimento viene creato attraverso un reticolo di travi in acciaio collegate ad ogni pilastro sopra le quali viene posata una lamiera grecata con successivo

getto di soletta armata con rete. La soluzione ad unico piano di scorrimento anche per edifici estesi con giunti sismici risulta essere ampiamente perseguibile.

Sotto ogni pilastro e sotto il piano di scorrimento viene predisposto un opportuno isolatore sismico (ad esempio friction pendulum). Anche in questo caso come nel precedente risulta indispensabile creare una trincea perimetrale che possa garantire gli spostamenti attesi dovuti all'azione sismica.

In tutti i casi citati, si tratta di interventi la cui progettazione richiede informazioni dettagliate sulla geometria e sulle caratteristiche meccaniche degli elementi resistenti allo stato attuale e la cui efficacia può essere valutata solo con analisi strutturali condotte per mezzo di adeguati modelli di calcolo. In questa fase ci si limiterà, pertanto, ad una descrizione sommaria degli interventi e ad una valutazione di massima del costo.

La terza tipologia di interventi considerati riguarda l'utilizzo di:

- cappotto sismico applicato alle pareti esterne dell'edificio;
- sistema a torri dissipative sismo-resistenti.

Questa tipologia di interventi, viene presa in considerazione nel caso in cui le lavorazioni vengono eseguite senza dover in alcun modo evacuare gli inquilini dell'edificio, e nel caso del cappotto sismico quando la struttura risulta regolare in pianta e in altezza.

Il primo caso può essere applicato indifferentemente sia per strutture in muratura che per le strutture in cemento armato. Il secondo caso invece viene impiegato esclusivamente quando la struttura esistente sia stata realizzata in cemento armato.

Per gli edifici in cemento armato, nel caso di struttura a telai in entrambe le direzioni, è prevista la possibilità di ritenere valido il passaggio di più Classi di Rischio con la possibilità di raggiungere l'adeguamento sismico a seconda della tipologia di struttura.

#### **1.9.5.1. Sintesi degli interventi previsti**

##### **TORRI DISSIPATIVE SISMO-RESISTENTI**

---

Il sistema a torri dissipative sismo-resistenti consiste nella realizzazione di torri molto rigide, solitamente in carpenteria metallica, collegate rigidamente alla struttura a livello di solaio ed incernierate alla base, equipaggiate lungo il perimetro della base con dissipatori di energia che si attivano a seguito della rotazione della torre indotta dagli spostamenti orizzontali della struttura. Tale sistema è nato proprio per rispondere alle esigenze di adeguare complessi edilizi di pubblica, eliminando i costi ed i disagi connessi all'interruzione ed al trasferimento delle attività in altre sedi, richiesti dai tradizionali sistemi di adeguamento sismico. La volumetria delle torri va inoltre ad aggiungersi a quella esistente e, quando possibile, può essere sfruttata per la realizzazione di scale, ascensori, cavedi per il passaggio degli impianti o nuovi spazi utilizzabili, consentendo la rivalutazione del patrimonio. Il sistema a torri dissipative consente di sfruttare al massimo la

capacità dei dispositivi di dissipazione; infatti grazie alla loro collocazione alla base delle torri, i dissipatori non lavorano in funzione degli spostamenti relativi d'interpiano, come in un classico sistema a controventi dissipativi posti all'interno delle maglie dei telai, bensì in funzione dello spostamento assoluto che si manifesta all'ultima elevazione

L'efficienza del sistema proposto è garantita non solo dalla rigidezza delle torri, ma anche dal manovellismo utilizzato alla base delle torri per il collegamento delle stesse ai dissipatori.

Il sistema meccanico di manovellismo introdotto alla base di ogni torre ha la funzione di amplificare gli spostamenti, così da ottenere un miglioramento generalizzato dell'efficienza dell'intervento con torri dissipative. A parità di spostamento in sommità, con il sistema di manovellismo si ottiene uno spostamento sul dispositivo di gran lunga superiore a quello ottenuto in assenza di manovellismo. I dispositivi sono attivi sia a trazione che a compressione.

L'efficacia dell'intervento è garantita dalla notevole dissipazione di energia fornita dalle nuove torri dissipative a cui consegue una sensibile riduzione della domanda negli elementi strutturali.

L'organizzazione planimetrica dei dispositivi è studiata in modo da garantire la massima efficienza al sistema. Per ottenere il massimo valore di spostamento i dissipatori vengono disposti in senso radiale sul perimetro esterno della torre, in modo da risultare efficaci per ogni movimento oscillatorio della torre. Il ricentrimento del sistema torre-edificio è garantito dalla forza di richiamo che l'edificio esistente può trasmettere grazie all'energia potenziale elastica immagazzinata.

L'applicazione del sistema a torri dissipative sismo-resistenti presenta numerosi vantaggi rispetto alle tecniche convenzionali di adeguamento sismico, quali:

- incremento sostanziale della capacità delle strutture esistenti nei confronti delle azioni sismiche, che si traduce in un notevole abbattimento sia degli spostamenti che delle accelerazioni, preservando così non solo la struttura, ma anche i componenti non strutturali (murature, infissi, controsoffitti, impianti, ecc..) e le attrezzature, sensibili sia agli spostamenti che alle accelerazioni;
- contenimento degli spostamenti orizzontali fino a pervenire a soluzioni strutturali in grado di fronteggiare i terremoti previsti dalle norme allo stato limite di salvaguardia della vita (SLV) mantenendo la struttura in campo elastico e quindi senza importanti danneggiamenti ed interruzioni d'uso;
- la disposizione ottimale delle torri in pianta consente di regolarizzare il comportamento delle strutture in situazione sismica;
- la creazione alla base di ciascuna torre, di una zona completamente dedicata alla dissipazione di energia, permette di massimizzare l'efficienza dei dispositivi (nello specifico di tipo viscoso), nonché la loro facile ispezione e manutenzione, rispetto alle consuete applicazioni all'interno delle maglie strutturali di edifici esistenti;

- la piena rispondenza ai criteri di reversibilità dell'intervento, poiché intervenendo in esterno è possibile rimuovere le torri senza interferire con le strutture esistenti.

#### **1.9.6. Conclusioni**

L'applicazione del sistema innovativo di protezione sismica detto a "Torri Dissipative" dimostra di essere una valida e conveniente alternativa ai sistemi più tradizionali che sfruttano la dissipazione di energia per la riduzione della domanda. È particolarmente conveniente in quegli edifici con struttura a telaio in c.a. dotati di una sufficiente capacità statica per carichi verticali ma vulnerabili alle azioni orizzontali e che, trovandosi in buone condizioni di agibilità, non necessitano di pesanti interventi di rifunzionalizzazione ed ammodernamento. L'efficienza del sistema è notevole. Ottenendo riduzioni significative della domanda, la calibrazione dimensionale e dissipativa delle torri è tale da raggiungere livelli di protezione sismica superiori ai limiti stabiliti dalle norme per l'adeguamento, con l'obiettivo di mantenere la struttura in campo elastico anche per terremoti severi allo SLV.

Inoltre, molto importante, è il notevole vantaggio economico. Oltre ai minori costi diretti, operando dall'esterno sono quasi o completamente nulli i costi indiretti, l'esecuzione dei lavori avviene senza l'interruzione delle attività.

## **1.10. Tipologia VE10**

### **1.10.1. Individuazione dei siti in esame**

Di seguito si riporta una tabella che riassume i parametri generali del sito in esame, con gli identificativi e le coordinate dei punti che includono gli edifici.

Provincia	Comune	Tipologia	Via	Latitudine	Longitudine
Roma	Velletri	VE10	Via G. Di Vittorio 1-3-5-7-9-11-13-15-17-19	41.4111°	12.4720°

**Tabella 140.** Parametri generali del sito in esame



**Figura 83.** Individuazione del sito in esame (immagine da google earth)

### **1.10.2. Determinazione della categoria di sottosuolo**

Per la determinazione della categoria di sottosuolo, in assenza di indagini geologiche specifiche per ogni intervento da realizzare, è possibile stimare in via preliminare e con le approssimazioni del caso, la velocità delle onde VS facendo specifico riferimento agli abachi regionali di microzonazione sismica ai sensi della DGR Lazio n. 545 del 26 novembre 2010, forniti sul portale della Regione Lazio. Nello specifico andando ad individuare la carta delle microzone omogenee in prospettiva sismica per il comune di interesse, è possibile risalire alla tipologia del sottosuolo e relativo spessore. Dalla carta riportata in figura 2, si evidenzia che il sito oggetto del presente studio ricade all'interno delle zone stabili suscettibili di amplificazione sismica (Zona 1) che sono caratterizzate dalla



presenza depositi piroclastici. In funzione di questo, entrando in via approssimativa nell'abaco (Vs/h) riportato in figura 2, relativo alle ghiaie alluvionali, detritiche e sabbie di alterazione, si determina il valore di Vs che viene utilizzato per la stima approssimata della categoria di sottosuolo entrando nella tabella 3.2.II del D.M. 17 Gennaio 2018.

GHIAIE ALLUVIONALI GHIAIE DETRITICHE SABBIE DI ALTERAZIONE DA ARENARIE SABBIE DI ALTERAZIONE DA TRAVERTINI SABBIE DI ALTERAZIONI DA TUFI VULCANICI										
FH <sub>0,1-0,5</sub>		Velocità media V <sub>SH</sub> (m/s)								
Profondità dal pc H (m)		180	250	300	360	400	450	500	600	700
	5	1.3	1.2	1.1	1.1	1.1	1.1	1.0	1.0	1.0
	10			1.4	1.4	1.2	1.2	1.1	1.1	1.0
	15			1.6	1.5	1.3	1.3	1.2	1.1	1.1
	20			1.7	1.6	1.4	1.3	1.2	1.1	1.1
	25			1.6	1.5	1.5	1.4	1.3	1.2	1.1
	30			1.5	1.5	1.5	1.4	1.3	1.2	1.1
	35				1.4	1.4	1.3	1.3	1.2	1.1
	40					1.4	1.3	1.3	1.2	1.1
	45						1.3	1.2	1.2	1.1

GRADIENTE DI VELOCITA' PER VALIDITA' ABACO

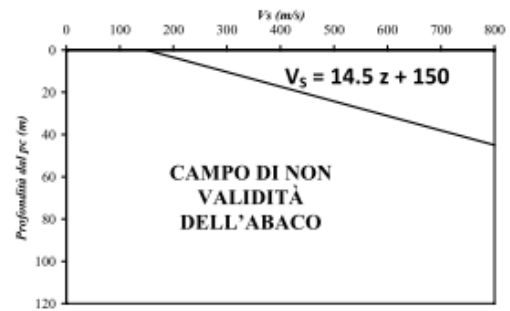


Tabella 141. Abaco per le ghiaie alluvionali, detritiche e sabbie di alterazione

Nello specifico facendo riferimento all'andamento della velocità Vs con la profondità z dello strato dal piano campagna, si ottiene un valore delle velocità Vs pari a:

$$V_s = 14.5 * z + 150 = 512 \text{ m/s}$$

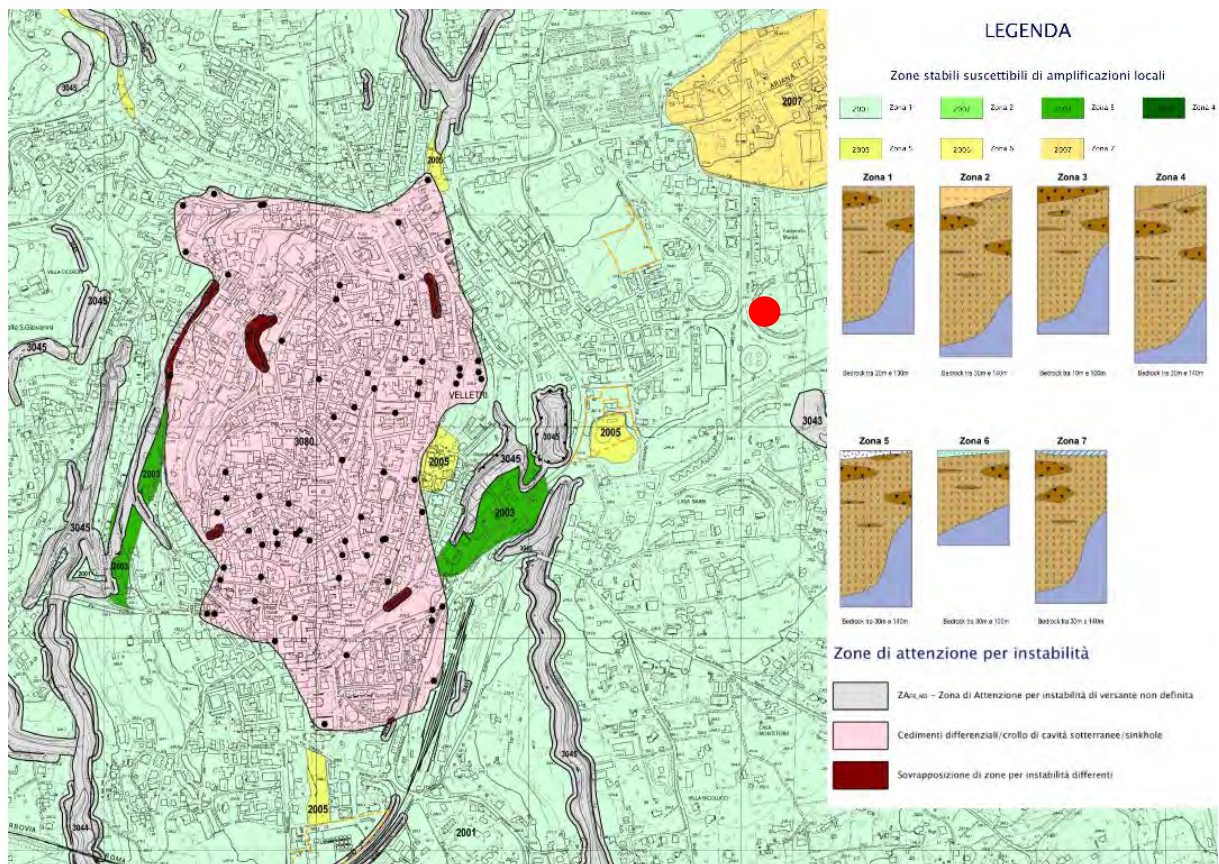


Figura 84. Zona omogenea in prospettiva sismica

In relazione alle formulazioni sopra riportate avendo ottenuto un valore delle Vs pari a 512 m/s ed entrando nella tabella 3 sotto riportata si ottiene una categoria di sottosuolo B “*Depositi di terreni a grana grossa molto addensati o terreni a grana fina molto consistenti*”.

Per le condizioni topografiche che nel caso specifico si configurano in superficiali semplici si può adottare la classificazione riportata nella tabella 4 e nello specifico si ricade nella categoria T1.

Categoria	Descrizione
A	Ammassi rocciosi affioranti o terreni molto rigidi caratterizzati da valori di velocità delle onde di taglio superiori a 800 m/s, eventualmente comprendenti in superficie terreni di caratteristiche meccaniche più scadenti con spessore massimo pari a 3 m.
B	Rocce tenere e depositi di terreni a grana grossa molto addensati o terreni a grana fina molto consistenti, caratterizzati da un miglioramento delle proprietà meccaniche con la profondità e da valori di velocità equivalente compresi tra 360 m/s e 800 m/s.
C	Depositi di terreni a grana grossa mediamente addensati o terreni a grana fina mediamente consistenti con profondità del substrato superiori a 30 m, caratterizzati da un miglioramento delle proprietà meccaniche con la profondità e da valori di velocità equivalente compresi tra 180 m/s e 360 m/s.
D	Depositi di terreni a grana grossa scarsamente addensati o di terreni a grana fina scarsamente consistenti, con profondità del substrato superiori a 30 m, caratterizzati da un miglioramento delle proprietà meccaniche con la profondità e da valori di velocità equivalente compresi tra 100 e 180 m/s.
E	Terreni con caratteristiche e valori di velocità equivalente riconducibili a quelle definite per le categorie C o D, con profondità del substrato non superiore a 30 m.

**Tabella 142.** Tab. 3.2.II – Categorie di sottosuolo che permettono l'utilizzo dell'approccio semplificato

Categoria	Caratteristiche della superficie topografica
T1	Superficie pianeggiante, pendii e rilievi isolati con inclinazione media $i \leq 15^\circ$
T2	Pendii con inclinazione media $i > 15^\circ$
T3	Rilievi con larghezza in cresta molto minore che alla base e inclinazione media $15^\circ \leq i \leq 30^\circ$
T4	Rilievi con larghezza in cresta molto minore che alla base e inclinazione media $i > 30^\circ$

**Tabella 143.** Tab. 3.2. III – Categorie topografiche

### 1.10.3. Analisi sismica

#### 1.10.3.1. Determinazione del fattore di comportamento q

Si riportano in dettaglio le caratteristiche principali della struttura in esame, utili per il calcolo del fattore di comportamento q e dell'azione sismica.

Classe d'uso	Vita nominale	Coeff. Uso	Duttilità	Regolarità in pianta	Regolarità in altezza	Tipologia strutturale
II	50	1	B	si	si	Telaio c.a..

L'analisi strutturale per azioni sismiche utilizzata per la verifica è del tipo lineare (cap. 7.3.1 NTC 2018). Per sistemi non dissipativi (SLE), gli effetti delle azioni sono calcolati riferendosi ad uno spettro di progetto ottenuto assumendo un fattore di comportamento  $q=1$  per lo stato limite di operatività (SLO) (cap. 3.2.3.4 NTC 2018) e un fattore di comportamento  $q \leq 1.5$  per stato limite di danno (SLD) (cap. 3.2.3.5 NTC 2018). Per sistemi dissipativi (SLU), gli effetti delle azioni sono calcolati riferendosi ad uno spettro di progetto ottenuto assumendo un fattore di struttura  $q \geq 1.5$  (cap. 3.2.3.5 NTC 2018).

Il calcolo del fattore di comportamento per i sistemi dissipativi è stato eseguito seguendo quanto riportato al capitolo 7 delle NTC 2018 in funzione dei parametri generali della struttura in esame. Si riportano, in tabella, i valori del fattore di comportamento utili per la valutazione dell'azione sismica nelle tre direzioni:

$q_0$	$\alpha_u/\alpha_i$	$k_r$	$q_x$	$q_y$	$q_z$
$3^* \alpha_u/\alpha_i$	1.3	1	3.9	3.9	1.5

L'azione sismica viene definita in relazione ad un periodo di riferimento  $V_r$  che si ricava, per ciascun tipo di costruzione, moltiplicandone la vita nominale per il coefficiente d'uso. Fissato il periodo di riferimento  $V_r$  e la probabilità di superamento  $P_{ver}$  associata a ciascuno degli stati limite considerati, si ottiene il periodo di ritorno  $T_r$  e i relativi parametri di pericolosità sismica:

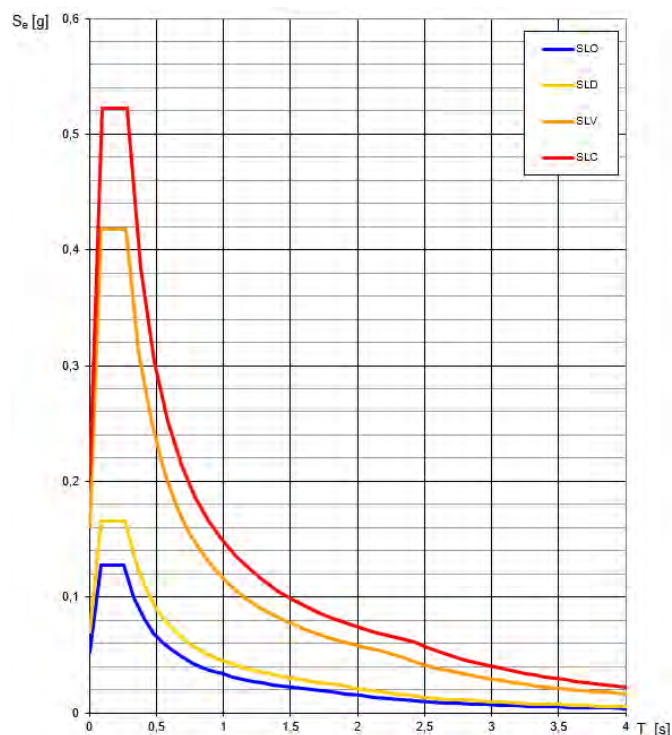
- $a_g$ : accelerazione orizzontale massima del terreno;
- $F_0$ : valore massimo del fattore di amplificazione dello spettro in accelerazione orizzontale;
- $T_c^*$ : periodo di inizio del tratto a velocità costante dello spettro in accelerazione orizzontale.

SLATO LIMITE	$T_R$ [anni]	$a_g$ [g]	$F_0$ [-]	$T_c^*$ [s]
SLO	30	0,052	2,453	0,260
SLD	50	0,069	2,391	0,269
SLV	475	0,161	2,595	0,277
SLC	975	0,206	2,540	0,283

**Tabella 144.** Valori di  $a_g$ ,  $F_0$  e  $T_c^*$  in funzione dei vari stati limite

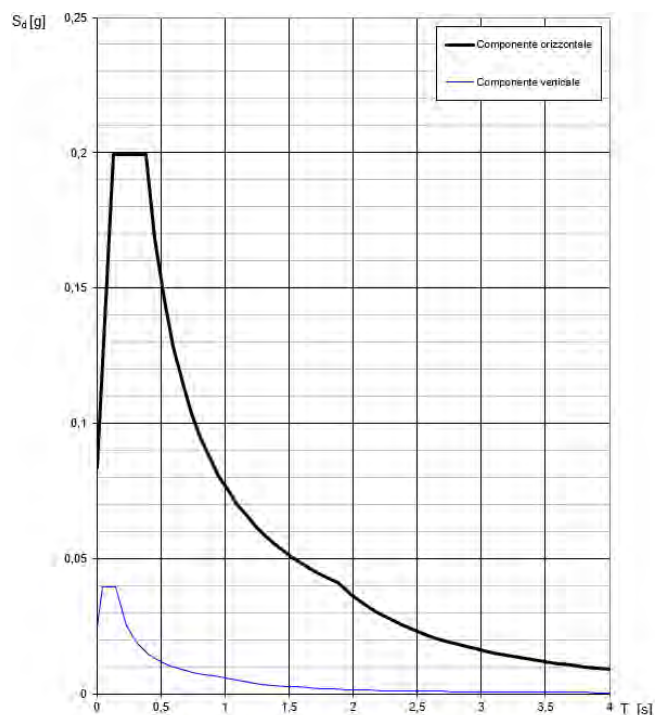


### 1.10.3.2. Spettri di risposta



**Figura 85.** Spettri di risposta elastici per i diversi stati limite

Con l'utilizzo del fattore di comportamento e dei parametri sismici dipendenti dal tipo di struttura in esame, precedentemente calcolati, si sono determinati gli spettri di calcolo agli stati limite SLV e SLD. Nel caso di utilizzo di isolatori sismici si farà riferimento allo spettro ad SLV per la sovrastruttura e ad SLC per gli isolatori. Tali spettri saranno opportunamente scalati in funzione dello smorzamento e del periodo scelto.



**Figura 86.** Spettri di risposta (componenti orizz.\_vert.) per lo SLV

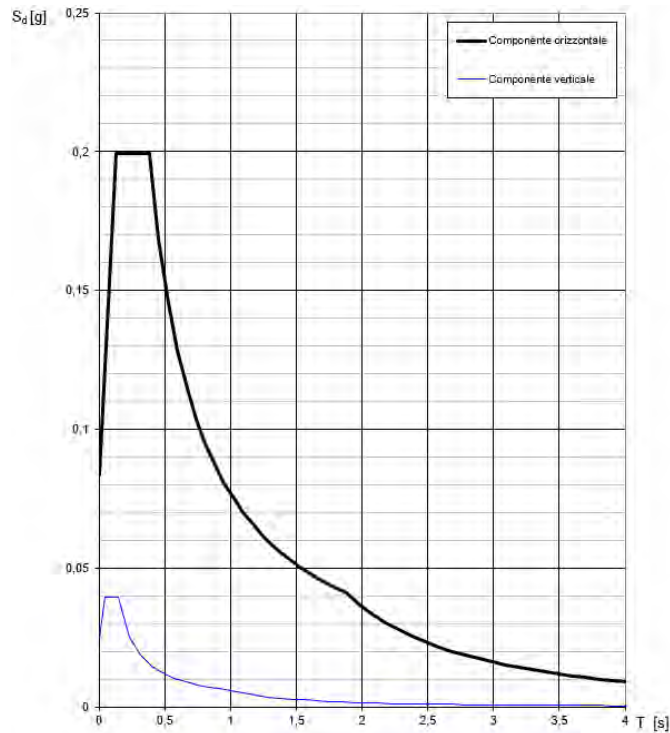


Figura 87. Spettri di risposta (componenti orizz.\_vert.) per lo SLD

#### 1.10.4. Carichi di progetto

##### 1.10.4.1. Carico della neve

Tale calcolo viene effettuato ai sensi di DM del 17 Gennaio 2018 "Norme tecniche per le costruzioni" e della Circolare Ministeriale Applicativa del 21 Gennaio 2019. Il carico neve sulle coperture è valutato con la seguente espressione:

$$q_s = \mu_i * q_{sk} * C_e *$$

dove:

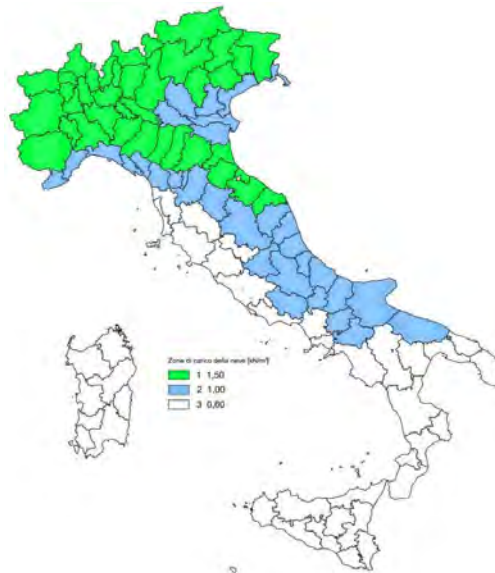
- $\mu_i$  è il coefficiente di forma della copertura;

Coefficiente di forma	$0^\circ \leq \alpha \leq 30^\circ$	$30^\circ < \alpha < 60^\circ$	$\alpha \geq 60^\circ$
$\mu_i$	0,8	$0,8 \cdot \frac{(60 - \alpha)}{30}$	0,0

Tabella 145. Tab. 3.4.II – Valori dei coefficienti di forma

- $q_{sk}$  è il valore di riferimento del carico neve al suolo e dipende dalla zona climatica e dall'altitudine di riferimento del sito  $a_s$ , se è maggiore o inferiore a 200 m;





**Figura 88.** Zone di carico della neve

- $C_e$  è il coefficiente di esposizione che viene utilizzato per modificare il carico neve in funzione delle caratteristiche dell'area in cui sorge l'opera;

Topografia	Descrizione	$C_e$
Battuta dai venti	Aree pianeggianti non ostruite esposte su tutti i lati, senza costruzioni o alberi più alti	0,9
Normale	Aree in cui non è presente una significativa rimozione di neve sulla costruzione prodotta dal vento, a causa del terreno, altre costruzioni o alberi	1,0
Riparata	Aree in cui la costruzione considerata è sensibilmente più bassa del circostante terreno o circondata da costruzioni o alberi più alti	1,1

**Tabella 146.** Tab. 3.4.I – Valori di  $C_z$  per diverse classi di esposizione

- $C_t$  è il coefficiente termico, generalmente assunto pari a 1;

Si assume che la neve non sia impedita di scivolare e si calcola il valore del carico neve in copertura:

Zona	$s_s$ (m)	$q_{sk}$ (daN/m <sup>2</sup> )	$\mu_i$	$C_e$	$C_t$	$q_s$ (daN/m <sup>2</sup> )
III	300	71	0,8	1	1	57

**Tabella 147.** Determinazione del carico da neve in copertura

#### 1.10.4.2. Carico del vento

La velocità base di riferimento del vento  $v_b$  è il valore medio su 10 minuti, a 10 m di altezza sul suolo su un terreno pianeggiante e omogeneo di categoria di esposizione II, riferito ad un periodo di ritorno  $T_r = 50$  anni, ed è pari a:

$$v_b = v_{b0} * c_a$$

dove:

- $v_{b0}$  è la velocità base di riferimento al livello del mare, assegnata nella Tab.3.3.I in funzione della zona in cui sorge la costruzione;

- $c_a$  è il coefficiente di altitudine fornito dalla relazione

$$c_a = 1 \quad \text{per } a_s \leq a_0$$

$$c_a = 1 + k_s * (a_s/a_0 - 1) \quad \text{per } a_0 < a_s \leq 1500 \text{ m}$$

dove:

- $a_0, k_s$  sono parametri forniti nella Tab.3.3.I in funzione della zona in cui sorge la costruzione;
- $a_s$  è l'altitudine sul livello del mare del sito ove sorge la costruzione.

Zona	Descrizione	$v_{b,0}$ [m/s]	$a_0$ [m]	$k_s$
1	Valle d'Aosta, Piemonte, Lombardia, Trentino Alto Adige, Veneto, Friuli Venezia Giulia (con l'eccezione della provincia di Trieste)	25	1000	0,40
2	Emilia Romagna	25	750	0,45
3	Toscana, Marche, Umbria, Lazio, Abruzzo, Molise, Puglia, Campania, Basilicata, Calabria (esclusa la provincia di Reggio Calabria)	27	500	0,37
4	Sicilia e provincia di Reggio Calabria	28	500	0,36
5	Sardegna (zona a oriente della retta congiungente Capo Teulada con l'Isola di Maddalena)	28	750	0,40
6	Sardegna (zona a occidente della retta congiungente Capo Teulada con l'Isola di Maddalena)	28	500	0,36
7	Liguria	28	1000	0,54
8	Provincia di Trieste	30	1500	0,50
9	Isole (con l'eccezione di Sicilia e Sardegna) e mare aperto	31	500	0,32



**Figura 89.** Valori dei parametri  $v_{b0}, a_0, k_s$

**Figura 90.** Mappa delle zone in cui è suddiviso il territorio italiano

La velocità di riferimento  $v_r$  è il valore medio su 10 minuti, a 10 m di altezza dal suolo su un terreno pianeggiante e omogeneo di categoria di esposizione II, riferito al periodo di ritorno di progetto  $T_r$ .

$$v_r = v_b * c_r$$

- $v_b$  è la velocità base di riferimento al livello del mare, assegnata
- $c_r$  è il coefficiente di ritorno, funzione del periodo di ritorno di progetto  $T_r$  fornito dalla relazione

$$c_r = 0.75 * \sqrt{1 - 0.2 * \ln[-\ln * (1 - 1/T_r)]}$$

Quindi:

$v_{b0}$ (m/s)	$a_s$	$c_a$	$v_b$	$T_r$	$c_r$	$v_r$ (m/s)
27	300	1	27	50	1,0007	27.02

La pressione del vento è data dall'espressione:

$$p = q_r * c_e * c_p * c_d$$

dove:

- $q_r$  è la pressione cinetica di riferimento data dall'espressione

$$q_r = \frac{1}{2} * \rho * v_r^2 \quad \text{in cui } \rho \text{ è la densità dell'aria pari a } 1.25 \text{ kg/m}^3$$

- $c_e$  è il coefficiente di esposizione che dipende dall'altezza  $z$  sul suolo del punto considerato, dalla topografia del terreno e dalla categoria di esposizione del sito ove sorge la costruzione. Per altezze sul suolo non maggiori di 200 m è dato dalla formula:

$$c_e(z) = k_r^2 * c_t * \ln(z/z_0) * [7 + c_t * \ln(z/z_0)] \quad \text{per } z \geq z_{min}$$

$$c_e(z) = c_e(z_{min}) \quad \text{per } z < z_{min}$$

dove:

- $k_r$ ,  $z_0$ ,  $z_{min}$  sono assegnati in Tab.3.3.II in funzione della categoria di esposizione del sito.
- $c_t$  è il coefficiente di topografia, posto generalmente uguale a 1.

Categoria di esposizione del sito	$K_r$	$z_0$ [m]	$z_{min}$ [m]
I	0,17	0,01	2
II	0,19	0,05	4
III	0,20	0,10	5
IV	0,22	0,30	8
V	0,23	0,70	12

**Tabella 148.** Parametri per la definizione del coefficiente di esposizione

Classe di rugosità del terreno	Descrizione
A	Aree urbane in cui almeno il 15% della superficie sia coperto da edifici la cui altezza media non superi i 15 m
B	Aree urbane (non di classe A), suburbane, industriali e boschive
C	Aree con ostacoli diffusi (alberi, case, muri, recinzioni...); aree con rugosità non riconducibile alle classi A, B, e D
D	a) Mare e relativa fascia costiera (entro 2 km dalla costa); b) Lago (con larghezza massima pari ad almeno 1 km) e relativa fascia costiera (entro 1 km dalla costa); c) Aree prive di ostacoli o con al più rari ostacoli isolati (aperta campagna, aeroporti, aree agricole, pascoli, zone paludose o sabbiose, superfici innevate o ghiacciate, ...)

**Tabella 149.** Classi di rugosità del terreno

ZONE 1,2,3,4,5						
	costa	mare	2 km	10 km	30 km	750m
A	--	IV	IV	V	V	V
B	--	III	III	IV	IV	IV
C	--	*	III	III	IV	IV
D	I	II	II	II	III	**
* Categoria II in zona 1,2,3,4 Categoria III in zona 5						
** Categoria III in zona 2,3,4,5 Categoria IV in zona 1						

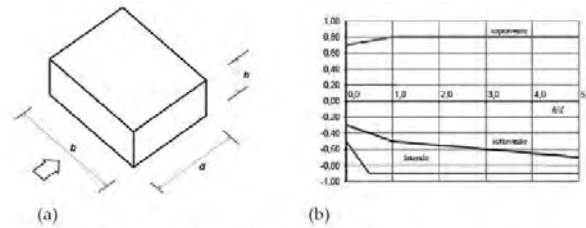
**Tabella 150.** Definizione delle categorie di esposizione

$q_r$	Rugosità	Esposizione	$c_e(z)$	$c_e(z_{min})$
456	B	III	2,533	1,708

**Tabella 151.** Definizione dei coefficienti di esposizione

- $c_p$  è il coefficiente di pressione e dipende dalla tipologia, dalla geometria della costruzione e dal suo orientamento rispetto alla direzione del vento. Il coefficiente globale  $c_{pe}$  che può essere

utilizzato in tutti i casi in cui la rappresentazione delle azioni aereodinamiche del vento possa essere effettuata in maniera semplificata, rivolta alla valutazione delle azioni globali su porzioni estese di costruzioni o delle risultanti delle azioni indotte dal vento sugli elementi principali della struttura. I coefficienti  $c_{pe}$  da assumere sulle pareti dell'edificio a pianta rettangolare sono diagrammati in base al rapporto  $h/d$ , avendo indicato con  $h$  l'altezza del manufatto e con  $d$  la profondità dell'edificio, valutata parallelamente al flusso di lavoro:



a) Parametri caratteristici di edifici a pianta rettangolare,  
b) Edifici a pianta rettangolare:  $c_{pe}$  per facce sopravvento, sottovento e laterali  
Figura C3.3.2

Tabella C3.3.I: Edifici a pianta rettangolare:  $c_{pe}$  per facce sopravvento, sottovento e laterali

Faccia sopravvento	$C_U = 2,0$	$C_U = 1,5$
$h/d \leq 1$ : $c_{pe} = 0,7 + 0,1 \cdot h/d$	$h/d \leq 0,5$ : $c_{pe} = -0,5 - 0,8 \cdot h/d$	$h/d \leq 1$ : $c_{pe} = -0,3 - 0,2 \cdot h/d$
$h/d > 1$ : $c_{pe} = 0,8$	$h/d > 0,5$ : $c_{pe} = -0,9$	$1 < h/d \leq 5$ : $c_{pe} = -0,5 - 0,05 \cdot (h/d - 1)$

Tabella 152. Coefficienti di pressione delle facciate secondo NTC2018

Quindi i coefficienti per le facce sopravvento e sottovento sono:

b	d	h	h/d	$C_{pe}$ -sopravento	$C_{pe}$ -sottovento
230	11	18	1.64	0.8	-0,53

Tabella 153. Definizione dei coefficienti di pressione

## COPERTURA PIANA

Per la copertura piana, l'altezza di riferimento  $z_e$  è pari alla quota massima della copertura stessa, inclusa la presenza dei parapetti e di altri analoghi elementi. I coefficienti globali  $c_{pe}$  da assumere sulle coperture di un edificio a pianta rettangolare sono riportati di seguito:

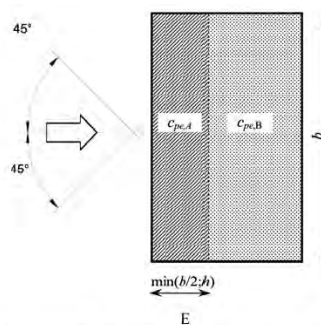


Figura C3.3.5 - Schema di riferimento per coperture piane

Tabella C3.3.III - Edifici rettangolari:  $c_{pe}$  per coperture piane.

Fascia sopravvento di profondità pari al minimo tra $b/2$ e $h$ :	$c_{pe,A} = -0,80$
Restanti zone	$c_{pe,B} = \pm 0,20$

Tabella 154. Definizione  $c_{pe}$  per coperture piano

Le pressioni interne agli edifici dipendono dalla superficie delle aperture che questi presentano verso l'esterno. Nel caso in esame si assumono valori del coefficiente di pressione interno pari a  $c_{pi} = +0,2$  e  $c_{pi} = -0,30$ , considerando il caso che di volta in volta conduce alla situazione maggiormente gravosa.

- $c_d$  è il coefficiente dinamico e può essere assunto cautelativamente pari a 1 nelle costruzioni di tipologia ricorrente quali gli edifici di forma regolare non eccedenti 80 m in altezza e capannoni industriali.

In funzione dei coefficienti analizzati e della pressione cinetica di riferimento, si calcola la pressione del vento per la copertura e per le facciate sopravento e sottovento considerando i valori massimi e minimi.

<b>Facciata</b>	<b>Sopravento</b>	<b>Sottovento</b>
$p_{min}$ (daN/m <sup>2</sup> )	467	-648
$p_{max}$ (daN/m <sup>2</sup> )	693	-961
<b>Copertura</b>	<b>Sopravento</b>	<b>Sottovento</b>
$p$ (daN/m <sup>2</sup> )	-1271	-578



#### **1.10.5. Interventi per il miglioramento sismico – edifici in cemento armato**

Gli interventi previsti per la riduzione del rischio sismico si dividono in:

- interventi che consentono il passaggio di una sola Classe di Rischio;
- interventi che possono consentire il passaggio fino a due Classi di Rischio.
- interventi che possono consentire il miglioramento di almeno due Classi di Rischio o l'adeguamento sismico.

La prima tipologia di interventi considerati è quella contenuta nelle “Linee guida per la classificazione del rischio sismico delle costruzioni” (D.M. 65/2017-allegato A). Per gli edifici in cemento armato, se la struttura è stata originariamente concepita con la presenza di telai in entrambe le direzioni, è prevista la possibilità di ritenere valido il passaggio alla Classe di Rischio immediatamente superiore se vengono effettuati gli interventi seguenti:

- incamiciatura dei pilastri e dei nodi pilastro-trave per tutte le pilastrate e le travi disposte lungo il perimetro dell'edificio;
- opere volte a scongiurare il ribaltamento delle tamponature, compiute su tutte le tamponature perimetrali presenti sulle facciate;
- eventuali opere di ripristino delle zone danneggiate e/o degradate.

La seconda tipologia di interventi considerati riguarda l'utilizzo di:

- isolamento sismico in fondazione.

Questa tipologia di interventi, viene presa in considerazione nel caso in cui le lavorazioni vengono eseguite senza dover in alcun modo evacuare gli inquilini dell'edificio, quindi quando per esempio:

- è presente un piano interrato dove sono presenti garage;
- è presente un piano terra dove sono presenti negozi;
- è presente un piano pilotis dove sono presenti cantine.

Nel caso si adotti l'intervento di isolamento sismico in fondazione bisogna fare una differenza in funzione della presenza o meno di un piano interrato.

Nel caso in cui **fosse presente il piano interrato** (adibito a garage o cantine), l'intervento di isolamento sismico alla base prevede di tagliare il pilastro del piano interrato all'altezza delle travi del piano terra inserendo l'isolatore sismico opportunamente dimensionato e ringrossando ove necessario il nodo trave pilastro. Risulta inoltre indispensabile creare una trincea perimetrale esterna che consenta all'edificio gli spostamenti generati dall'azione sismica.

Nel caso in cui **non fosse presente un piano interrato**, ma ad esempio un piano pilotis con cantine, l'intervento prevede di creare un piano di scorrimento che può essere realizzato in funzione delle opportunità e delle esigenze o all'attacco tra fondazione e pilastri oppure direttamente sopra la soletta del piano terra. Il piano di scorrimento viene creato attraverso un reticolo di travi in acciaio collegate ad ogni pilastro sopra le quali viene posata una lamiera grecata con successivo

getto di soletta armata con rete. La soluzione ad unico piano di scorrimento anche per edifici estesi con giunti sismici risulta essere ampiamente perseguibile.

Sotto ogni pilastro e sotto il piano di scorrimento viene predisposto un opportuno isolatore sismico (ad esempio friction pendulum). Anche in questo caso come nel precedente risulta indispensabile creare una trincea perimetrale che possa garantire gli spostamenti attesi dovuti all'azione sismica.

In tutti i casi citati, si tratta di interventi la cui progettazione richiede informazioni dettagliate sulla geometria e sulle caratteristiche meccaniche degli elementi resistenti allo stato attuale e la cui efficacia può essere valutata solo con analisi strutturali condotte per mezzo di adeguati modelli di calcolo. In questa fase ci si limiterà, pertanto, ad una descrizione sommaria degli interventi e ad una valutazione di massima del costo.

La terza tipologia di interventi considerati riguarda l'utilizzo di:

- cappotto sismico applicato alle pareti esterne dell'edificio;
- sistema a torri dissipative sismo-resistenti.

Questa tipologia di interventi, viene presa in considerazione nel caso in cui le lavorazioni vengono eseguite senza dover in alcun modo evacuare gli inquilini dell'edificio, e nel caso del cappotto sismico quando la struttura risulta regolare in pianta e in altezza.

Il primo caso può essere applicato indifferentemente sia per strutture in muratura che per le strutture in cemento armato. Il secondo caso invece viene impiegato esclusivamente quando la struttura esistente sia stata realizzata in cemento armato.

Per gli edifici in cemento armato, nel caso di struttura a telai in entrambe le direzioni, è prevista la possibilità di ritenere valido il passaggio di più Classi di Rischio con la possibilità di raggiungere l'adeguamento sismico a seconda della tipologia di struttura.

#### **1.10.5.1. Sintesi degli interventi previsti**

##### **TORRI DISSIPATIVE SISMO-RESISTENTI**

---

Il sistema a torri dissipative sismo-resistenti consiste nella realizzazione di torri molto rigide, solitamente in carpenteria metallica, collegate rigidamente alla struttura a livello di solaio ed incernierate alla base, equipaggiate lungo il perimetro della base con dissipatori di energia che si attivano a seguito della rotazione della torre indotta dagli spostamenti orizzontali della struttura. Tale sistema è nato proprio per rispondere alle esigenze di adeguare complessi edilizi di pubblica, eliminando i costi ed i disagi connessi all'interruzione ed al trasferimento delle attività in altre sedi, richiesti dai tradizionali sistemi di adeguamento sismico. La volumetria delle torri va inoltre ad aggiungersi a quella esistente e, quando possibile, può essere sfruttata per la realizzazione di scale, ascensori, cavedi per il passaggio degli impianti o nuovi spazi utilizzabili, consentendo la rivalutazione del patrimonio. Il sistema a torri dissipative consente di sfruttare al massimo la

capacità dei dispositivi di dissipazione; infatti grazie alla loro collocazione alla base delle torri, i dissipatori non lavorano in funzione degli spostamenti relativi d'interpiano, come in un classico sistema a controventi dissipativi posti all'interno delle maglie dei telai, bensì in funzione dello spostamento assoluto che si manifesta all'ultima elevazione

L'efficienza del sistema proposto è garantita non solo dalla rigidità delle torri, ma anche dal manovellismo utilizzato alla base delle torri per il collegamento delle stesse ai dissipatori.

Il sistema meccanico di manovellismo introdotto alla base di ogni torre ha la funzione di amplificare gli spostamenti, così da ottenere un miglioramento generalizzato dell'efficienza dell'intervento con torri dissipative. A parità di spostamento in sommità, con il sistema di manovellismo si ottiene uno spostamento sul dispositivo di gran lunga superiore a quello ottenuto in assenza di manovellismo. I dispositivi sono attivi sia a trazione che a compressione.

L'efficacia dell'intervento è garantita dalla notevole dissipazione di energia fornita dalle nuove torri dissipative a cui consegue una sensibile riduzione della domanda negli elementi strutturali.

L'organizzazione planimetrica dei dispositivi è studiata in modo da garantire la massima efficienza al sistema. Per ottenere il massimo valore di spostamento i dissipatori vengono disposti in senso radiale sul perimetro esterno della torre, in modo da risultare efficaci per ogni movimento oscillatorio della torre. Il ricentrimento del sistema torre-edificio è garantito dalla forza di richiamo che l'edificio esistente può trasmettere grazie all'energia potenziale elastica immagazzinata.

L'applicazione del sistema a torri dissipative sismo-resistenti presenta numerosi vantaggi rispetto alle tecniche convenzionali di adeguamento sismico, quali:

- incremento sostanziale della capacità delle strutture esistenti nei confronti delle azioni sismiche, che si traduce in un notevole abbattimento sia degli spostamenti che delle accelerazioni, preservando così non solo la struttura, ma anche i componenti non strutturali (murature, infissi, controsoffitti, impianti, ecc..) e le attrezzature, sensibili sia agli spostamenti che alle accelerazioni;
- contenimento degli spostamenti orizzontali fino a pervenire a soluzioni strutturali in grado di fronteggiare i terremoti previsti dalle norme allo stato limite di salvaguardia della vita (SLV) mantenendo la struttura in campo elastico e quindi senza importanti danneggiamenti ed interruzioni d'uso;
- la disposizione ottimale delle torri in pianta consente di regolarizzare il comportamento delle strutture in situazione sismica;
- la creazione alla base di ciascuna torre, di una zona completamente dedicata alla dissipazione di energia, permette di massimizzare l'efficienza dei dispositivi (nello specifico di tipo viscoso), nonché la loro facile ispezione e manutenzione, rispetto alle consuete applicazioni all'interno delle maglie strutturali di edifici esistenti;

- la piena rispondenza ai criteri di reversibilità dell'intervento, poiché intervenendo in esterno è possibile rimuovere le torri senza interferire con le strutture esistenti.

#### **1.10.6. Conclusioni**

L'applicazione del sistema innovativo di protezione sismica detto a "Torri Dissipative" dimostra di essere una valida e conveniente alternativa ai sistemi più tradizionali che sfruttano la dissipazione di energia per la riduzione della domanda. È particolarmente conveniente in quegli edifici con struttura a telaio in c.a. dotati di una sufficiente capacità statica per carichi verticali ma vulnerabili alle azioni orizzontali e che, trovandosi in buone condizioni di agibilità, non necessitano di pesanti interventi di rifunzionalizzazione ed ammodernamento. L'efficienza del sistema è notevole. Ottenendo riduzioni significative della domanda, la calibrazione dimensionale e dissipativa delle torri è tale da raggiungere livelli di protezione sismica superiori ai limiti stabiliti dalle norme per l'adeguamento, con l'obiettivo di mantenere la struttura in campo elastico anche per terremoti severi allo SLV.

Inoltre, molto importante, è il notevole vantaggio economico. Oltre ai minori costi diretti, operando dall'esterno sono quasi o completamente nulli i costi indiretti, l'esecuzione dei lavori avviene senza l'interruzione delle attività.

## **1.11. Tipologia VE11**

### **1.11.1. Individuazione dei siti in esame**

Di seguito si riporta una tabella che riassume i parametri generali del sito in esame, con gli identificativi e le coordinate dei punti che includono gli edifici.

Provincia	Comune	Tipologia	Via	Latitudine	Longitudine
Roma	Velletri	VE11	Via G. Amendola 3-5-7-9-11-13	41.4111°	12.4720°

**Tabella 155.** Parametri generali del sito in esame



**Figura 91.** Individuazione del sito in esame (immagine da google earth)

### **1.11.2. Determinazione della categoria di sottosuolo**

Per la determinazione della categoria di sottosuolo, in assenza di indagini geologiche specifiche per ogni intervento da realizzare, è possibile stimare in via preliminare e con le approssimazioni del caso, la velocità delle onde VS facendo specifico riferimento agli abachi regionali di microzonazione sismica ai sensi della DGR Lazio n. 545 del 26 novembre 2010, forniti sul portale della Regione Lazio. Nello specifico andando ad individuare la carta delle microzone omogenee in prospettiva sismica per il comune di interesse, è possibile risalire alla tipologia del sottosuolo e relativo spessore. Dalla carta riportata in figura 2, si evidenzia che il sito oggetto del presente studio ricade all'interno delle zone stabili suscettibili di amplificazione sismica (Zona 1) che sono caratterizzate dalla presenza depositi piroclastici. In funzione di questo, entrando in via approssimativa nell'abaco ( $V_s/h$ ) riportato in figura 2, relativo alle ghiaie alluvionali, detritiche e sabbie di alterazione, si



determina il valore di  $V_s$  che viene utilizzato per la stima approssimata della categoria di sottosuolo entrando nella tabella 3.2.II del D.M. 17 Gennaio 2018.

<b>GHIAIE ALLUVIONALI</b> <b>GHIAIE DETRITICHE</b> <b>SABBIE DI ALTERAZIONE DA ARENARIE</b> <b>SABBIE DI ALTERAZIONE DA TRAVERTINI</b> <b>SABBIE DI ALTERAZIONI DA TUFI VULCANICI</b>										
FH <sub>0,1-0,5</sub>	Velocità media $V_{SH}$ (m/s)									
	180	250	300	360	400	450	500	600	700	
5	1.3	1.2	1.1	1.1	1.1	1.1	1.0	1.0	1.0	
10			1.4	1.4	1.2	1.2	1.1	1.1	1.0	
15			1.6	1.5	1.3	1.3	1.2	1.1	1.1	
20			1.7	1.6	1.4	1.3	1.2	1.1	1.1	
25			1.6	1.5	1.5	1.4	1.3	1.2	1.1	
30			1.5	1.5	1.5	1.4	1.3	1.2	1.1	
35				1.4	1.4	1.3	1.3	1.2	1.1	
40					1.4	1.3	1.3	1.2	1.1	
45						1.3	1.2	1.2	1.1	

GRADIENTE DI VELOCITA' PER VALIDITA' ABACO

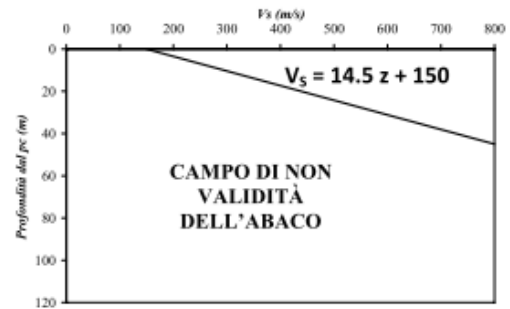


Tabella 156. Abaco per le ghiaie alluvionali, detritiche e sabbie di alterazione

Nello specifico facendo riferimento all'andamento della velocità  $V_s$  con la profondità  $z$  dello strato dal piano campagna, si ottiene un valore delle velocità  $V_s$  pari a:

$$V_s = 14.5 * z + 150 = 512 \text{ m/s}$$

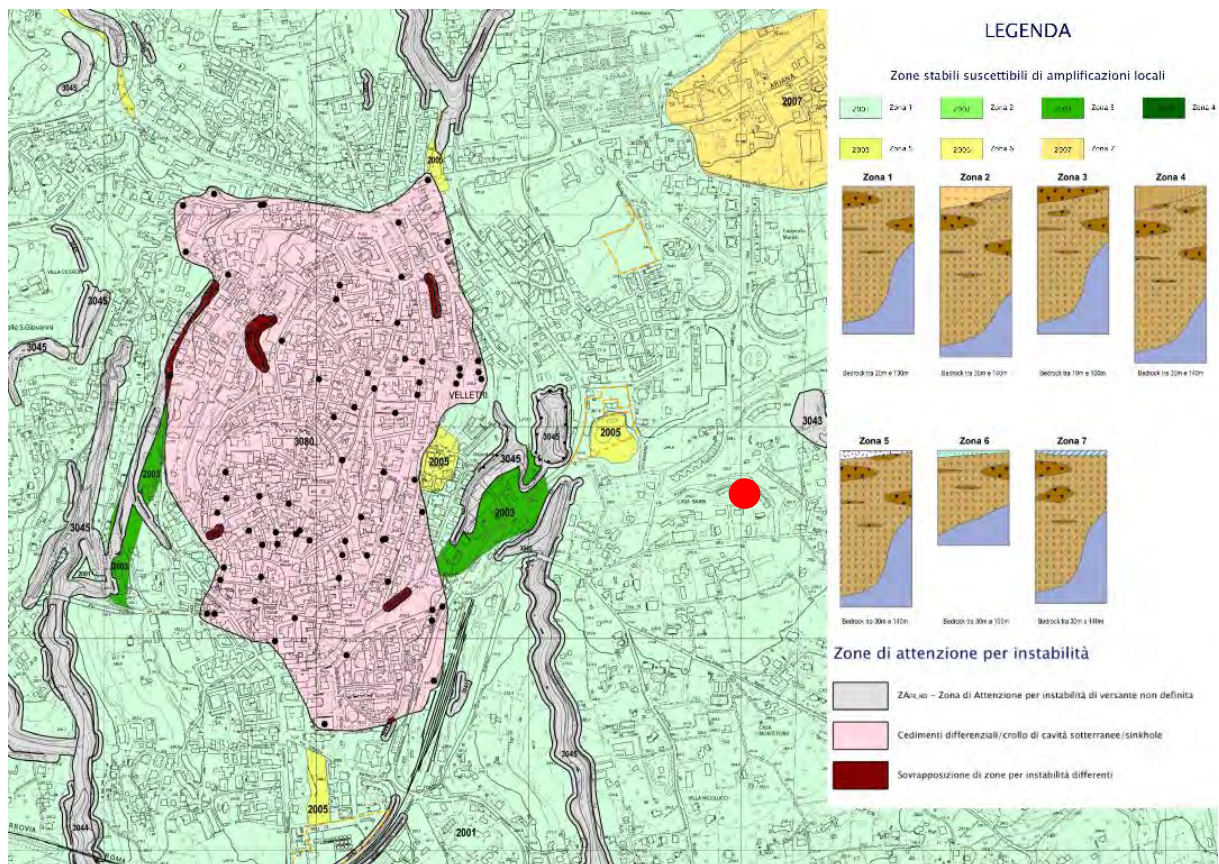


Figura 92. Zona omogenea in prospettiva sismica

In relazione alle formulazioni sopra riportate avendo ottenuto un valore delle Vs pari a 512 m/s ed entrando nella tabella 3 sotto riportata si ottiene una categoria di sottosuolo B “*Depositi di terreni a grana grossa molto addensati o terreni a grana fina molto consistenti*”.

Per le condizioni topografiche che nel caso specifico si configurano in superficiali semplici si può adottare la classificazione riportata nella tabella 4 e nello specifico si ricade nella categoria T1.

Categoria	Descrizione
A	Ammassi rocciosi affioranti o terreni molto rigidi caratterizzati da valori di velocità delle onde di taglio superiori a 800 m/s, eventualmente comprendenti in superficie terreni di caratteristiche meccaniche più scadenti con spessore massimo pari a 3 m.
B	Rocce tenere e depositi di terreni a grana grossa molto addensati o terreni a grana fina molto consistenti, caratterizzati da un miglioramento delle proprietà meccaniche con la profondità e da valori di velocità equivalente compresi tra 360 m/s e 800 m/s.
C	Depositi di terreni a grana grossa mediamente addensati o terreni a grana fina mediamente consistenti con profondità del substrato superiori a 30 m, caratterizzati da un miglioramento delle proprietà meccaniche con la profondità e da valori di velocità equivalente compresi tra 180 m/s e 360 m/s.
D	Depositi di terreni a grana grossa scarsamente addensati o di terreni a grana fina scarsamente consistenti, con profondità del substrato superiori a 30 m, caratterizzati da un miglioramento delle proprietà meccaniche con la profondità e da valori di velocità equivalente compresi tra 100 e 180 m/s.
E	Terreni con caratteristiche e valori di velocità equivalente riconducibili a quelle definite per le categorie C o D, con profondità del substrato non superiore a 30 m.

**Tabella 157.** Tab. 3.2.II – Categorie di sottosuolo che permettono l'utilizzo dell'approccio semplificato

Categoria	Caratteristiche della superficie topografica
T1	Superficie pianeggiante, pendii e rilievi isolati con inclinazione media $i \leq 15^\circ$
T2	Pendii con inclinazione media $i > 15^\circ$
T3	Rilievi con larghezza in cresta molto minore che alla base e inclinazione media $15^\circ \leq i \leq 30^\circ$
T4	Rilievi con larghezza in cresta molto minore che alla base e inclinazione media $i > 30^\circ$

**Tabella 158.** Tab. 3.2. III – Categorie topografiche

### 1.11.3. Analisi sismica

#### 1.11.3.1. Determinazione del fattore di comportamento q

Si riportano in dettaglio le caratteristiche principali della struttura in esame, utili per il calcolo del fattore di comportamento q e dell'azione sismica.

Classe d'uso	Vita nominale	Coeff. Uso	Duttilità	Regolarità in pianta	Regolarità in altezza	Tipologia strutturale
II	50	1	B	si	si	Telaio c.a..

L'analisi strutturale per azioni sismiche utilizzata per la verifica è del tipo lineare (cap. 7.3.1 NTC 2018). Per sistemi non dissipativi (SLE), gli effetti delle azioni sono calcolati riferendosi ad uno spettro di progetto ottenuto assumendo un fattore di comportamento  $q=1$  per lo stato limite di operatività (SLO) (cap. 3.2.3.4 NTC 2018) e un fattore di comportamento  $q \leq 1.5$  per stato limite di danno (SLD) (cap. 3.2.3.5 NTC 2018). Per sistemi dissipativi (SLU), gli effetti delle azioni sono calcolati riferendosi ad uno spettro di progetto ottenuto assumendo un fattore di struttura  $q \geq 1.5$  (cap. 3.2.3.5 NTC 2018).

Il calcolo del fattore di comportamento per i sistemi dissipativi è stato eseguito seguendo quanto riportato al capitolo 7 delle NTC 2018 in funzione dei parametri generali della struttura in esame. Si riportano, in tabella, i valori del fattore di comportamento utili per la valutazione dell'azione sismica nelle tre direzioni:

$q_0$	$\alpha_u/\alpha_i$	$k_r$	$q_x$	$q_y$	$q_z$
$3^* \alpha_u/\alpha_i$	1.3	1	3.9	3.9	1.5

L'azione sismica viene definita in relazione ad un periodo di riferimento  $V_r$  che si ricava, per ciascun tipo di costruzione, moltiplicandone la vita nominale per il coefficiente d'uso. Fissato il periodo di riferimento  $V_r$  e la probabilità di superamento  $P_{ver}$  associata a ciascuno degli stati limite considerati, si ottiene il periodo di ritorno  $T_r$  e i relativi parametri di pericolosità sismica:

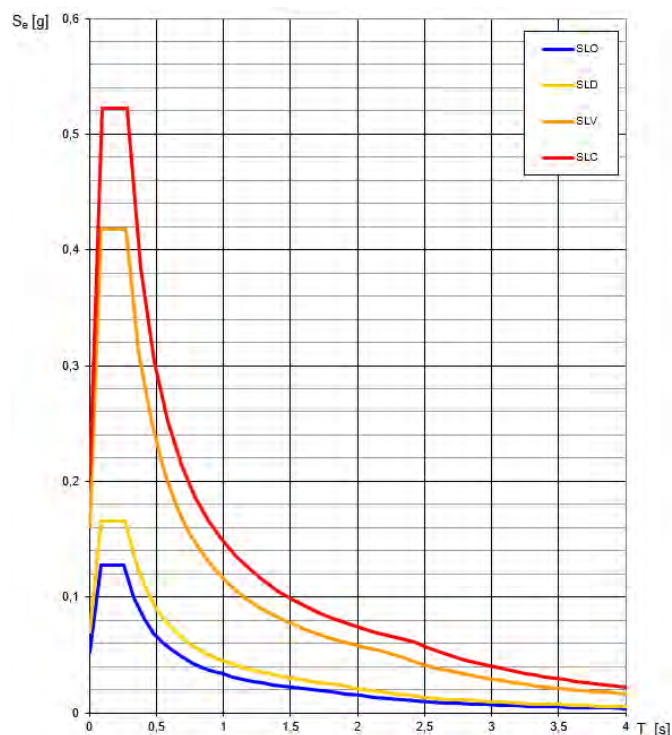
- $a_g$ : accelerazione orizzontale massima del terreno;
- $F_0$ : valore massimo del fattore di amplificazione dello spettro in accelerazione orizzontale;
- $T_c^*$ : periodo di inizio del tratto a velocità costante dello spettro in accelerazione orizzontale.

SLATO LIMITE	$T_R$ [anni]	$a_g$ [g]	$F_0$ [-]	$T_c^*$ [s]
SLO	30	0,052	2,453	0,260
SLD	50	0,069	2,391	0,269
SLV	475	0,161	2,595	0,277
SLC	975	0,206	2,540	0,283

**Tabella 159.** Valori di  $a_g$ ,  $F_0$  e  $T_c^*$  in funzione dei vari stati limite

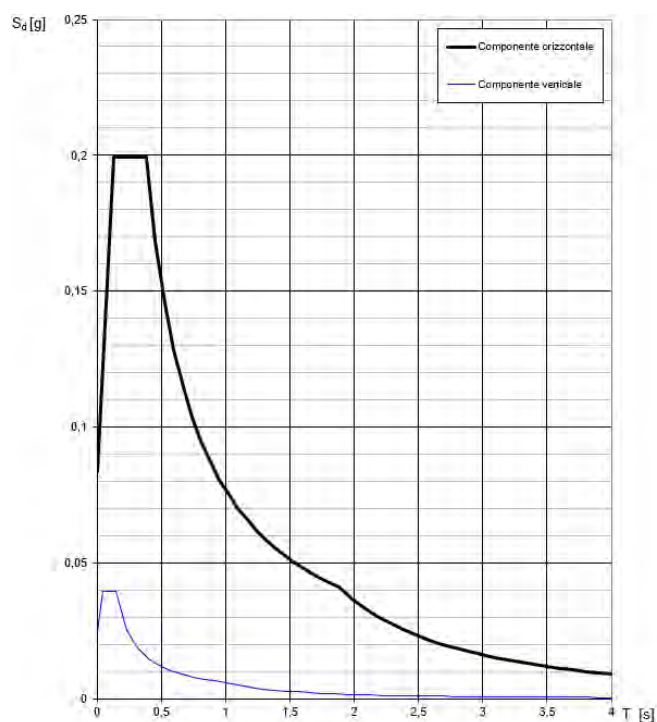


### 1.11.3.2. Spettri di risposta



**Figura 93.** Spettri di risposta elastici per i diversi stati limite

Con l'utilizzo del fattore di comportamento e dei parametri sismici dipendenti dal tipo di struttura in esame, precedentemente calcolati, si sono determinati gli spettri di calcolo agli stati limite SLV e SLD. Nel caso di utilizzo di isolatori sismici si farà riferimento allo spettro ad SLV per la sovrastruttura e ad SLC per gli isolatori. Tali spettri saranno opportunamente scalati in funzione dello smorzamento e del periodo scelto.



**Figura 94.** Spettri di risposta (componenti orizz.\_vert.) per lo SLV

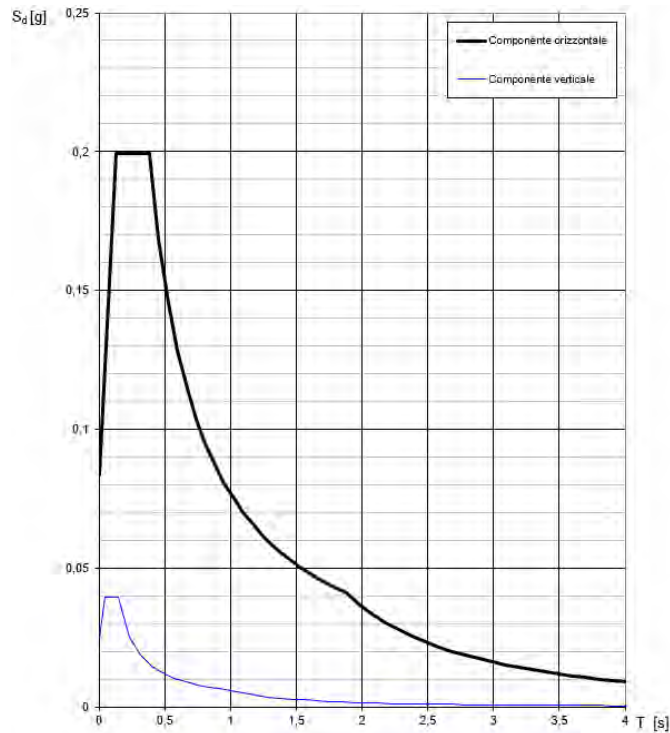


Figura 95. Spettri di risposta (componenti orizz.\_vert.) per lo SLD

#### 1.11.4. Carichi di progetto

##### 1.11.4.1. Carico della neve

Tale calcolo viene effettuato ai sensi di DM del 17 Gennaio 2018 "Norme tecniche per le costruzioni" e della Circolare Ministeriale Applicativa del 21 Gennaio 2019. Il carico neve sulle coperture è valutato con la seguente espressione:

$$q_s = \mu_i * q_{sk} * C_e *$$

dove:

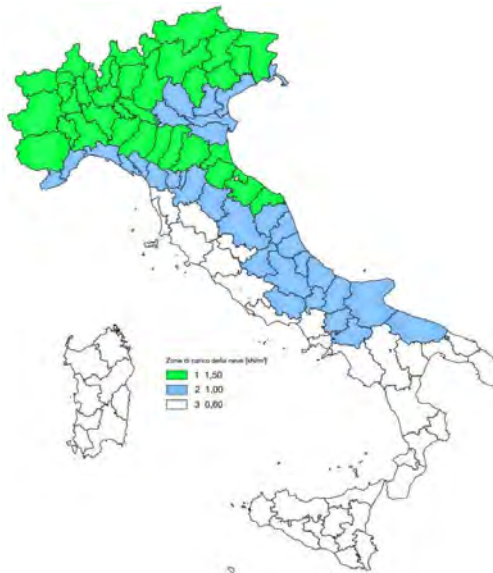
- $\mu_i$  è il coefficiente di forma della copertura;

Coefficiente di forma	$0^\circ \leq \alpha \leq 30^\circ$	$30^\circ < \alpha < 60^\circ$	$\alpha \geq 60^\circ$
$\mu_1$	0,8	$0,8 \cdot \frac{(60 - \alpha)}{30}$	0,0

Tabella 160. Tab. 3.4.II – Valori dei coefficienti di forma

- $q_{sk}$  è il valore di riferimento del carico neve al suolo e dipende dalla zona climatica e dall'altitudine di riferimento del sito  $a_s$ , se è maggiore o inferiore a 200 m;





**Figura 96.** Zone di carico della neve

- $C_e$  è il coefficiente di esposizione che viene utilizzato per modificare il carico neve in funzione delle caratteristiche dell'area in cui sorge l'opera;

Topografia	Descrizione	$C_e$
Battuta dai venti	Aree pianeggianti non ostruite esposte su tutti i lati, senza costruzioni o alberi più alti	0,9
Normale	Aree in cui non è presente una significativa rimozione di neve sulla costruzione prodotta dal vento, a causa del terreno, altre costruzioni o alberi	1,0
Riparata	Aree in cui la costruzione considerata è sensibilmente più bassa del circostante terreno o circondata da costruzioni o alberi più alti	1,1

**Tabella 161.** Tab. 3.4.I – Valori di  $C_z$  per diverse classi di esposizione

- $C_t$  è il coefficiente termico, generalmente assunto pari a 1;

Si assume che la neve non sia impedita di scivolare e si calcola il valore del carico neve in copertura:

Zona	$s$ (m)	$q_{sk}$ (daN/m <sup>2</sup> )	$\mu_i$	$C_e$	$C_t$	$q_s$ (daN/m <sup>2</sup> )
III	290	70	0,8	1	1	56

**Tabella 162.** Determinazione del carico da neve in copertura

#### 1.11.4.2. Carico del vento

La velocità base di riferimento del vento  $v_b$  è il valore medio su 10 minuti, a 10 m di altezza sul suolo su un terreno pianeggiante e omogeneo di categoria di esposizione II, riferito ad un periodo di ritorno  $T_r = 50$  anni, ed è pari a:

$$v_b = v_{b0} * c_a$$

dove:

- $v_{b0}$  è la velocità base di riferimento al livello del mare, assegnata nella Tab.3.3.I in funzione della zona in cui sorge la costruzione;

- $c_a$  è il coefficiente di altitudine fornito dalla relazione

$$c_a = 1 \quad \text{per } a_s \leq a_0$$

$$c_a = 1 + k_s * (a_s/a_0 - 1) \quad \text{per } a_0 < a_s \leq 1500 \text{ m}$$

dove:

- $a_0, k_s$  sono parametri forniti nella Tab.3.3.I in funzione della zona in cui sorge la costruzione;
- $a_s$  è l'altitudine sul livello del mare del sito ove sorge la costruzione.

Zona	Descrizione	$v_{b,0}$ [m/s]	$a_0$ [m]	$k_s$
1	Valle d'Aosta, Piemonte, Lombardia, Trentino Alto Adige, Veneto, Friuli Venezia Giulia (con l'eccezione della provincia di Trieste)	25	1000	0,40
2	Emilia Romagna	25	750	0,45
3	Toscana, Marche, Umbria, Lazio, Abruzzo, Molise, Puglia, Campania, Basilicata, Calabria (esclusa la provincia di Reggio Calabria)	27	500	0,37
4	Sicilia e provincia di Reggio Calabria	28	500	0,36
5	Sardegna (zona a oriente della retta congiungente Capo Teulada con l'Isola di Maddalena)	28	750	0,40
6	Sardegna (zona a occidente della retta congiungente Capo Teulada con l'Isola di Maddalena)	28	500	0,36
7	Liguria	28	1000	0,54
8	Provincia di Trieste	30	1500	0,50
9	Isole (con l'eccezione di Sicilia e Sardegna) e mare aperto	31	500	0,32



**Figura 97.** Valori dei parametri  $v_{b,0}$ ,  $a_0$ ,  $k_s$

**Figura 98.** Mappa delle zone in cui è suddiviso il territorio italiano

La velocità di riferimento  $v_r$  è il valore medio su 10 minuti, a 10 m di altezza dal suolo su un terreno pianeggiante e omogeneo di categoria di esposizione II, riferito al periodo di ritorno di progetto  $T_r$ .

$$v_r = v_b * c_r$$

- $v_b$  è la velocità base di riferimento al livello del mare, assegnata
- $c_r$  è il coefficiente di ritorno, funzione del periodo di ritorno di progetto  $T_r$  fornito dalla relazione

$$c_r = 0.75 * \sqrt{1 - 0.2 * \ln[-\ln * (1 - 1/T_r)]}$$

Quindi:

$v_{b,0}$ (m/s)	$a_s$	$c_a$	$v_b$	$T_r$	$c_r$	$v_r$ (m/s)
27	290	1	27	50	1,0007	27.02

La pressione del vento è data dall'espressione:

$$p = q_r * c_e * c_p * c_d$$

dove:

- $q_r$  è la pressione cinetica di riferimento data dall'espressione

$$q_r = \frac{1}{2} * \rho * v_r^2 \quad \text{in cui } \rho \text{ è la densità dell'aria pari a } 1.25 \text{ kg/m}^3$$

•  $c_e$  è il coefficiente di esposizione che dipende dall'altezza  $z$  sul suolo del punto considerato, dalla topografia del terreno e dalla categoria di esposizione del sito ove sorge la costruzione. Per altezze sul suolo non maggiori di 200 m è dato dalla formula:

$$c_e(z) = k_r^2 * c_t * \ln(z/z_0) * [7 + c_t * \ln(z/z_0)] \quad \text{per } z \geq z_{min}$$

$$c_e(z) = c_e(z_{min}) \quad \text{per } z < z_{min}$$

dove:

- $k_r$ ,  $z_0$ ,  $z_{min}$  sono assegnati in Tab.3.3.II in funzione della categoria di esposizione del sito.
- $c_t$  è il coefficiente di topografia, posto generalmente uguale a 1.

Categoria di esposizione del sito	$K_r$	$z_0$ [m]	$z_{min}$ [m]
I	0,17	0,01	2
II	0,19	0,05	4
III	0,20	0,10	5
IV	0,22	0,30	8
V	0,23	0,70	12

**Tabella 163.** Parametri per la definizione del coefficiente di esposizione

Classe di rugosità del terreno	Descrizione
A	Aree urbane in cui almeno il 15% della superficie sia coperto da edifici la cui altezza media non superi i 15 m
B	Aree urbane (non di classe A), suburbane, industriali e boschive
C	Aree con ostacoli diffusi (alberi, case, muri, recinzioni...); aree con rugosità non riconducibile alle classi A, B, e D
D	a) Mare e relativa fascia costiera (entro 2 km dalla costa); b) Lago (con larghezza massima pari ad almeno 1 km) e relativa fascia costiera (entro 1 km dalla costa); c) Aree prive di ostacoli o con al più rari ostacoli isolati (aperta campagna, aeroporti, aree agricole, pascoli, zone paludose o sabbiose, superfici innevate o ghiacciate, ...)

**Tabella 164.** Classi di rugosità del terreno

ZONE 1,2,3,4,5						
	costa	mare	2 km	10 km	30 km	750m
A	--	IV	IV	V	V	V
B	--	III	III	IV	IV	IV
C	--	*	III	III	IV	IV
D	I	II	II	II	III	**
* Categoria II in zona 1,2,3,4 Categoria III in zona 5						
** Categoria III in zona 2,3,4,5 Categoria IV in zona 1						

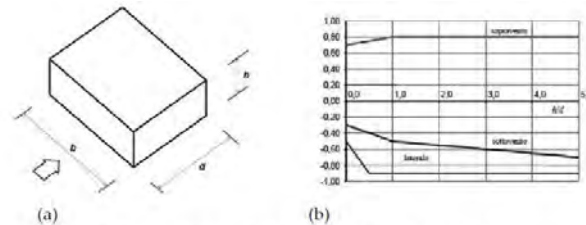
**Tabella 165.** Definizione delle categorie di esposizione

$q_r$	Rugosità	Esposizione	$c_e(z)$	$c_e(z_{min})$
456	B	III	2.533	1,708

**Tabella 166.** Definizione dei coefficienti di esposizione

•  $c_p$  è il coefficiente di pressione e dipende dalla tipologia, dalla geometria della costruzione e dal suo orientamento rispetto alla direzione del vento. Il coefficiente globale  $c_{pe}$  che può essere

utilizzato in tutti i casi in cui la rappresentazione delle azioni aereodinamiche del vento possa essere effettuata in maniera semplificata, rivolta alla valutazione delle azioni globali su porzioni estese di costruzioni o delle risultanti delle azioni indotte dal vento sugli elementi principali della struttura. I coefficienti  $c_{pe}$  da assumere sulle pareti dell'edificio a pianta rettangolare sono diagrammati in base al rapporto  $h/d$ , avendo indicato con  $h$  l'altezza del manufatto e con  $d$  la profondità dell'edificio, valutata parallelamente al flusso di lavoro:



a) Parametri caratteristici di edifici a pianta rettangolare,  
b) Edifici a pianta rettangolare:  $c_{pe}$  per facce sopravvento, sottovento e laterali  
Figura C3.3.2

Tabella C3.3.I: Edifici a pianta rettangolare:  $c_{pe}$  per facce sopravvento, sottovento e laterali

Facciata sopravvento	$C_U = 2,0$	$C_U = 1,5$
$h/d \leq 1$ : $c_{pe} = 0,7 + 0,1 \cdot h/d$	$h/d \leq 0,5$ : $c_{pe} = -0,5 - 0,8 \cdot h/d$	$h/d \leq 1$ : $c_{pe} = -0,3 - 0,2 \cdot h/d$
$h/d > 1$ : $c_{pe} = 0,8$	$h/d > 0,5$ : $c_{pe} = -0,9$	$1 < h/d \leq 5$ : $c_{pe} = -0,5 - 0,05 \cdot (h/d - 1)$

Tabella 167. Coefficienti di pressione delle facciate secondo NTC2018

Quindi i coefficienti per le facce sopravvento e sottovento sono:

b	d	h	h/d	$C_{pe}$ -sopravvento	$C_{pe}$ -sottovento
142	13	18	1.38	0.8	-0,52

Tabella 168. Definizione dei coefficienti di pressione

## COPERTURA PIANA

Per la copertura piana, l'altezza di riferimento  $z_e$  è pari alla quota massima della copertura stessa, inclusa la presenza dei parapetti e di altri analoghi elementi. I coefficienti globali  $c_{pe}$  da assumere sulle coperture di un edificio a pianta rettangolare sono riportati di seguito:

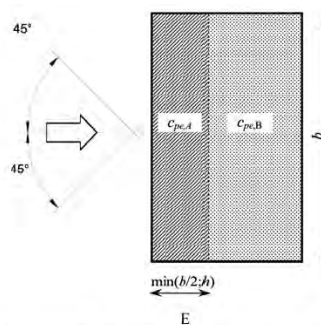


Figura C3.3.5 - Schema di riferimento per coperture piane

Tabella C3.3.III - Edifici rettangolari:  $c_{pe}$  per coperture piane.

Fascia sopravvento di profondità pari al minimo tra $b/2$ e $h$ :	$c_{pe,A} = -0,80$
Restanti zone	$c_{pe,B} = \pm 0,20$

Tabella 169. Definizione  $c_{pe}$  per coperture piano

Le pressioni interne agli edifici dipendono dalla superficie delle aperture che questi presentano verso l'esterno. Nel caso in esame si assumono valori del coefficiente di pressione interno pari a  $c_{pi} = +0,2$  e  $c_{pi} = -0,30$ , considerando il caso che di volta in volta conduce alla situazione maggiormente gravosa.

- $c_d$  è il coefficiente dinamico e può essere assunto cautelativamente pari a 1 nelle costruzioni di tipologia ricorrente quali gli edifici di forma regolare non eccedenti 80 m in altezza e capannoni industriali.

In funzione dei coefficienti analizzati e della pressione cinetica di riferimento, si calcola la pressione del vento per la copertura e per le facciate sopravento e sottovento considerando i valori massimi e minimi.

<b>Facciata</b>	<b>Sopravento</b>	<b>Sottovento</b>
$p_{min}$ (daN/m <sup>2</sup> )	467	-638
$p_{max}$ (daN/m <sup>2</sup> )	693	-947
<b>Copertura</b>	<b>Sopravento</b>	<b>Sottovento</b>
$p$ (daN/m <sup>2</sup> )	-1271	-578



#### **1.11.5. Interventi per il miglioramento sismico – edifici in cemento armato**

Gli interventi previsti per la riduzione del rischio sismico si dividono in:

- interventi che consentono il passaggio di una sola Classe di Rischio;
- interventi che possono consentire il passaggio fino a due Classi di Rischio.
- interventi che possono consentire il miglioramento di almeno due Classi di Rischio o l'adeguamento sismico.

La prima tipologia di interventi considerati è quella contenuta nelle “Linee guida per la classificazione del rischio sismico delle costruzioni” (D.M. 65/2017-allegato A). Per gli edifici in cemento armato, se la struttura è stata originariamente concepita con la presenza di telai in entrambe le direzioni, è prevista la possibilità di ritenere valido il passaggio alla Classe di Rischio immediatamente superiore se vengono effettuati gli interventi seguenti:

- incamiciatura dei pilastri e dei nodi pilastro-trave per tutte le pilastrate e le travi disposte lungo il perimetro dell'edificio;
- opere volte a scongiurare il ribaltamento delle tamponature, compiute su tutte le tamponature perimetrali presenti sulle facciate;
- eventuali opere di ripristino delle zone danneggiate e/o degradate.

La seconda tipologia di interventi considerati riguarda l'utilizzo di:

- isolamento sismico in fondazione.

Questa tipologia di interventi, viene presa in considerazione nel caso in cui le lavorazioni vengono eseguite senza dover in alcun modo evacuare gli inquilini dell'edificio, quindi quando per esempio:

- è presente un piano interrato dove sono presenti garage;
- è presente un piano terra dove sono presenti negozi;
- è presente un piano pilotis dove sono presenti cantine.

Nel caso si adotti l'intervento di isolamento sismico in fondazione bisogna fare una differenza in funzione della presenza o meno di un piano interrato.

Nel caso in cui **fosse presente il piano interrato** (adibito a garage o cantine), l'intervento di isolamento sismico alla base prevede di tagliare il pilastro del piano interrato all'altezza delle travi del piano terra inserendo l'isolatore sismico opportunamente dimensionato e ringrossando ove necessario il nodo trave pilastro. Risulta inoltre indispensabile creare una trincea perimetrale esterna che consenta all'edificio gli spostamenti generati dall'azione sismica.

Nel caso in cui **non fosse presente un piano interrato**, ma ad esempio un piano pilotis con cantine, l'intervento prevede di creare un piano di scorrimento che può essere realizzato in funzione delle opportunità e delle esigenze o all'attacco tra fondazione e pilastri oppure direttamente sopra la soletta del piano terra. Il piano di scorrimento viene creato attraverso un reticolo di travi in acciaio collegate ad ogni pilastro sopra le quali viene posata una lamiera grecata con successivo

getto di soletta armata con rete. La soluzione ad unico piano di scorrimento anche per edifici estesi con giunti sismici risulta essere ampiamente perseguibile.

Sotto ogni pilastro e sotto il piano di scorrimento viene predisposto un opportuno isolatore sismico (ad esempio friction pendulum). Anche in questo caso come nel precedente risulta indispensabile creare una trincea perimetrale che possa garantire gli spostamenti attesi dovuti all'azione sismica.

In tutti i casi citati, si tratta di interventi la cui progettazione richiede informazioni dettagliate sulla geometria e sulle caratteristiche meccaniche degli elementi resistenti allo stato attuale e la cui efficacia può essere valutata solo con analisi strutturali condotte per mezzo di adeguati modelli di calcolo. In questa fase ci si limiterà, pertanto, ad una descrizione sommaria degli interventi e ad una valutazione di massima del costo.

La terza tipologia di interventi considerati riguarda l'utilizzo di:

- cappotto sismico applicato alle pareti esterne dell'edificio;
- sistema a torri dissipative sismo-resistenti.

Questa tipologia di interventi, viene presa in considerazione nel caso in cui le lavorazioni vengono eseguite senza dover in alcun modo evacuare gli inquilini dell'edificio, e nel caso del cappotto sismico quando la struttura risulta regolare in pianta e in altezza.

Il primo caso può essere applicato indifferentemente sia per strutture in muratura che per le strutture in cemento armato. Il secondo caso invece viene impiegato esclusivamente quando la struttura esistente sia stata realizzata in cemento armato.

Per gli edifici in cemento armato, nel caso di struttura a telai in entrambe le direzioni, è prevista la possibilità di ritenere valido il passaggio di più Classi di Rischio con la possibilità di raggiungere l'adeguamento sismico a seconda della tipologia di struttura.

#### **1.11.5.1. Sintesi degli interventi previsti**

##### **TORRI DISSIPATIVE SISMO-RESISTENTI**

---

Il sistema a torri dissipative sismo-resistenti consiste nella realizzazione di torri molto rigide, solitamente in carpenteria metallica, collegate rigidamente alla struttura a livello di solaio ed incernierate alla base, equipaggiate lungo il perimetro della base con dissipatori di energia che si attivano a seguito della rotazione della torre indotta dagli spostamenti orizzontali della struttura. Tale sistema è nato proprio per rispondere alle esigenze di adeguare complessi edilizi di pubblica, eliminando i costi ed i disagi connessi all'interruzione ed al trasferimento delle attività in altre sedi, richiesti dai tradizionali sistemi di adeguamento sismico. La volumetria delle torri va inoltre ad aggiungersi a quella esistente e, quando possibile, può essere sfruttata per la realizzazione di scale, ascensori, cavedi per il passaggio degli impianti o nuovi spazi utilizzabili, consentendo la rivalutazione del patrimonio. Il sistema a torri dissipative consente di sfruttare al massimo la

capacità dei dispositivi di dissipazione; infatti grazie alla loro collocazione alla base delle torri, i dissipatori non lavorano in funzione degli spostamenti relativi d'interpiano, come in un classico sistema a controventi dissipativi posti all'interno delle maglie dei telai, bensì in funzione dello spostamento assoluto che si manifesta all'ultima elevazione

L'efficienza del sistema proposto è garantita non solo dalla rigidità delle torri, ma anche dal manovellismo utilizzato alla base delle torri per il collegamento delle stesse ai dissipatori.

Il sistema meccanico di manovellismo introdotto alla base di ogni torre ha la funzione di amplificare gli spostamenti, così da ottenere un miglioramento generalizzato dell'efficienza dell'intervento con torri dissipative. A parità di spostamento in sommità, con il sistema di manovellismo si ottiene uno spostamento sul dispositivo di gran lunga superiore a quello ottenuto in assenza di manovellismo. I dispositivi sono attivi sia a trazione che a compressione.

L'efficacia dell'intervento è garantita dalla notevole dissipazione di energia fornita dalle nuove torri dissipative a cui consegue una sensibile riduzione della domanda negli elementi strutturali.

L'organizzazione planimetrica dei dispositivi è studiata in modo da garantire la massima efficienza al sistema. Per ottenere il massimo valore di spostamento i dissipatori vengono disposti in senso radiale sul perimetro esterno della torre, in modo da risultare efficaci per ogni movimento oscillatorio della torre. Il ricentrimento del sistema torre-edificio è garantito dalla forza di richiamo che l'edificio esistente può trasmettere grazie all'energia potenziale elastica immagazzinata.

L'applicazione del sistema a torri dissipative sismo-resistenti presenta numerosi vantaggi rispetto alle tecniche convenzionali di adeguamento sismico, quali:

- incremento sostanziale della capacità delle strutture esistenti nei confronti delle azioni sismiche, che si traduce in un notevole abbattimento sia degli spostamenti che delle accelerazioni, preservando così non solo la struttura, ma anche i componenti non strutturali (murature, infissi, controsoffitti, impianti, ecc..) e le attrezzature, sensibili sia agli spostamenti che alle accelerazioni;
- contenimento degli spostamenti orizzontali fino a pervenire a soluzioni strutturali in grado di fronteggiare i terremoti previsti dalle norme allo stato limite di salvaguardia della vita (SLV) mantenendo la struttura in campo elastico e quindi senza importanti danneggiamenti ed interruzioni d'uso;
- la disposizione ottimale delle torri in pianta consente di regolarizzare il comportamento delle strutture in situazione sismica;
- la creazione alla base di ciascuna torre, di una zona completamente dedicata alla dissipazione di energia, permette di massimizzare l'efficienza dei dispositivi (nello specifico di tipo viscoso), nonché la loro facile ispezione e manutenzione, rispetto alle consuete applicazioni all'interno delle maglie strutturali di edifici esistenti;

- la piena rispondenza ai criteri di reversibilità dell'intervento, poiché intervenendo in esterno è possibile rimuovere le torri senza interferire con le strutture esistenti.

#### **1.11.6. Conclusioni**

L'applicazione del sistema innovativo di protezione sismica detto a "Torri Dissipative" dimostra di essere una valida e conveniente alternativa ai sistemi più tradizionali che sfruttano la dissipazione di energia per la riduzione della domanda. È particolarmente conveniente in quegli edifici con struttura a telaio in c.a. dotati di una sufficiente capacità statica per carichi verticali ma vulnerabili alle azioni orizzontali e che, trovandosi in buone condizioni di agibilità, non necessitano di pesanti interventi di rifunzionalizzazione ed ammodernamento. L'efficienza del sistema è notevole. Ottenendo riduzioni significative della domanda, la calibrazione dimensionale e dissipativa delle torri è tale da raggiungere livelli di protezione sismica superiori ai limiti stabiliti dalle norme per l'adeguamento, con l'obiettivo di mantenere la struttura in campo elastico anche per terremoti severi allo SLV.

Inoltre, molto importante, è il notevole vantaggio economico. Oltre ai minori costi diretti, operando dall'esterno sono quasi o completamente nulli i costi indiretti, l'esecuzione dei lavori avviene senza l'interruzione delle attività.

## **1.12. Tipologia VE12**

### **1.12.1. Individuazione dei siti in esame**

Di seguito si riporta una tabella che riassume i parametri generali del sito in esame, con gli identificativi e le coordinate dei punti che includono gli edifici.

Provincia	Comune	Tipologia	Via	Latitudine	Longitudine
Roma	Velletri	VE12	Piazza Camangi 1-2-3-4	41.4112°	12.4723°

**Tabella 170.** Parametri generali del sito in esame



**Figura 99.** Individuazione del sito in esame (immagine da google earth)

### **1.12.2. Determinazione della categoria di sottosuolo**

Per la determinazione della categoria di sottosuolo, in assenza di indagini geologiche specifiche per ogni intervento da realizzare, è possibile stimare in via preliminare e con le approssimazioni del caso, la velocità delle onde VS facendo specifico riferimento agli abachi regionali di microzonazione sismica ai sensi della DGR Lazio n. 545 del 26 novembre 2010, forniti sul portale della Regione Lazio. Nello specifico andando ad individuare la carta delle microzone omogenee in prospettiva sismica per il comune di interesse, è possibile risalire alla tipologia del sottosuolo e relativo spessore. Dalla carta riportata in figura 2, si evidenzia che il sito oggetto del presente studio ricade all'interno delle zone stabili suscettibili di amplificazione sismica (Zona 1) che sono caratterizzate dalla presenza depositi piroclastici. In funzione di questo, entrando in via approssimativa nell'abaco



(Vs/h) riportato in figura 2, relativo alle ghiaie alluvionali, detritiche e sabbie di alterazione, si determina il valore di Vs che viene utilizzato per la stima approssimata della categoria di sottosuolo entrando nella tabella 3.2.II del D.M. 17 Gennaio 2018.

GHIAIE ALLUVIONALI GHIAIE DETRITICHE SABBIE DI ALTERAZIONE DA ARENARIE SABBIE DI ALTERAZIONE DA TRAVERTINI SABBIE DI ALTERAZIONI DA TUFI VULCANICI										
FH <sub>0,1-0,5</sub>		Velocità media V <sub>SH</sub> (m/s)								
Profondità dal pc H (m)		180	250	300	360	400	450	500	600	700
	5	1.3	1.2	1.1	1.1	1.1	1.1	1.0	1.0	1.0
	10			1.4	1.4	1.2	1.2	1.1	1.1	1.0
	15			1.6	1.5	1.3	1.3	1.2	1.1	1.1
	20			1.7	1.6	1.4	1.3	1.2	1.1	1.1
	25			1.6	1.5	1.5	1.4	1.3	1.2	1.1
	30			1.5	1.5	1.5	1.4	1.3	1.2	1.1
	35				1.4	1.4	1.3	1.3	1.2	1.1
	40					1.4	1.3	1.3	1.2	1.1
	45						1.3	1.2	1.2	1.1

GRADIENTE DI VELOCITA' PER VALIDITA' ABACO

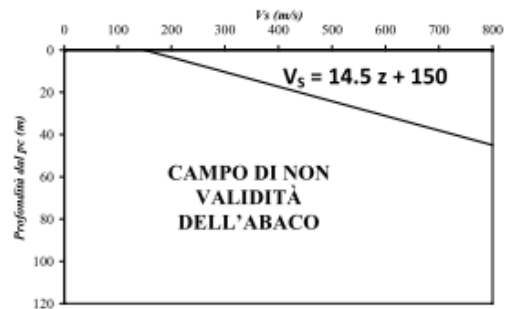


Tabella 171. Abaco per le ghiaie alluvionali, detritiche e sabbie di alterazione

Nello specifico facendo riferimento all'andamento della velocità Vs con la profondità z dello strato dal piano campagna, si ottiene un valore delle velocità Vs pari a:

$$V_s = 14.5 * z + 150 = 512 \text{ m/s}$$

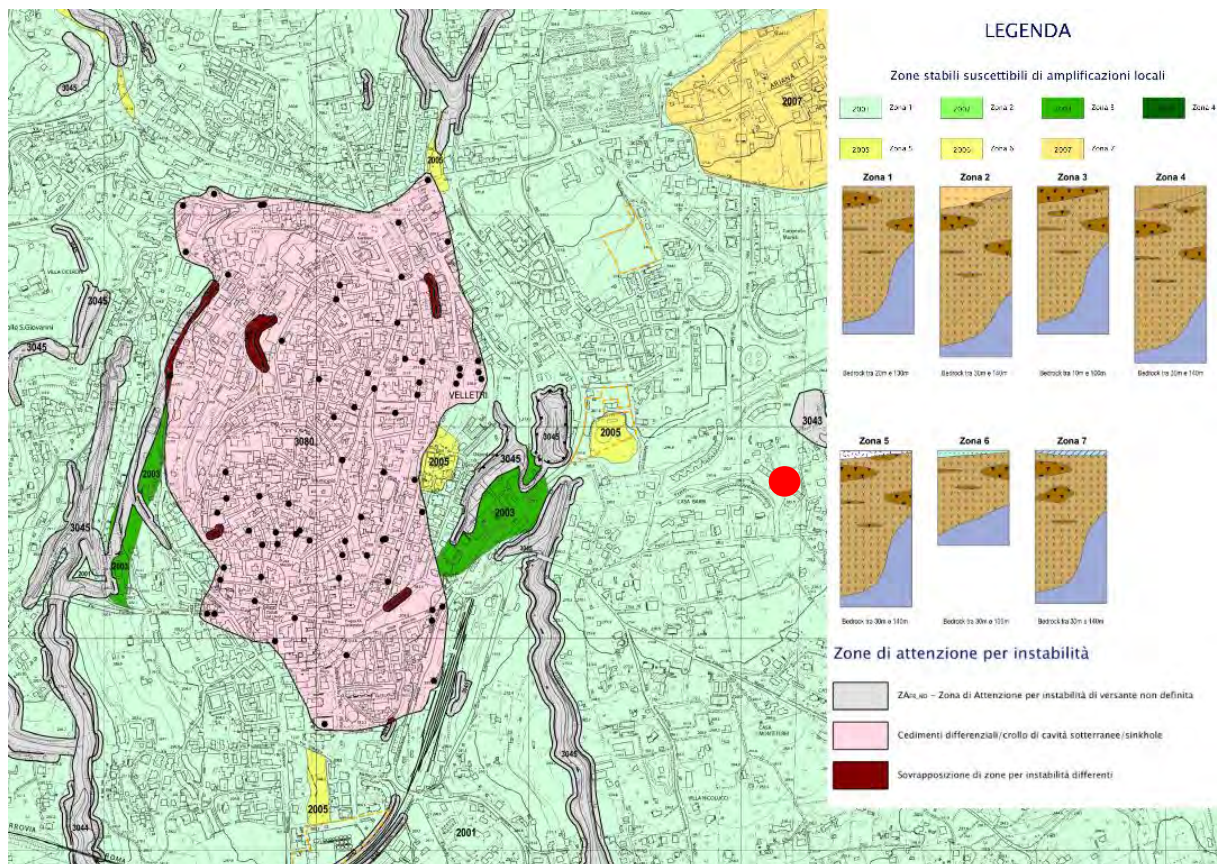


Figura 100. Zona omogenea in prospettiva sismica

In relazione alle formulazioni sopra riportate avendo ottenuto un valore delle Vs pari a 512 m/s ed entrando nella tabella 3 sotto riportata si ottiene una categoria di sottosuolo B “*Depositi di terreni a grana grossa molto addensati o terreni a grana fina molto consistenti*”.

Per le condizioni topografiche che nel caso specifico si configurano in superficiali semplici si può adottare la classificazione riportata nella tabella 4 e nello specifico si ricade nella categoria T1.

Categoria	Descrizione
A	Ammassi rocciosi affioranti o terreni molto rigidi caratterizzati da valori di velocità delle onde di taglio superiori a 800 m/s, eventualmente comprendenti in superficie terreni di caratteristiche meccaniche più scadenti con spessore massimo pari a 3 m.
B	Rocce tenere e depositi di terreni a grana grossa molto addensati o terreni a grana fina molto consistenti, caratterizzati da un miglioramento delle proprietà meccaniche con la profondità e da valori di velocità equivalente compresi tra 360 m/s e 800 m/s.
C	Depositi di terreni a grana grossa mediamente addensati o terreni a grana fina mediamente consistenti con profondità del substrato superiori a 30 m, caratterizzati da un miglioramento delle proprietà meccaniche con la profondità e da valori di velocità equivalente compresi tra 180 m/s e 360 m/s.
D	Depositi di terreni a grana grossa scarsamente addensati o di terreni a grana fina scarsamente consistenti, con profondità del substrato superiori a 30 m, caratterizzati da un miglioramento delle proprietà meccaniche con la profondità e da valori di velocità equivalente compresi tra 100 e 180 m/s.
E	Terreni con caratteristiche e valori di velocità equivalente riconducibili a quelle definite per le categorie C o D, con profondità del substrato non superiore a 30 m.

**Tabella 172.** Tab. 3.2.II – Categorie di sottosuolo che permettono l'utilizzo dell'approccio semplificato

Categoria	Caratteristiche della superficie topografica
T1	Superficie pianeggiante, pendii e rilievi isolati con inclinazione media $i \leq 15^\circ$
T2	Pendii con inclinazione media $i > 15^\circ$
T3	Rilievi con larghezza in cresta molto minore che alla base e inclinazione media $15^\circ \leq i \leq 30^\circ$
T4	Rilievi con larghezza in cresta molto minore che alla base e inclinazione media $i > 30^\circ$

**Tabella 173.** Tab. 3.2. III – Categorie topografiche

### 1.12.3. Analisi sismica

#### 1.12.3.1. Determinazione del fattore di comportamento q

Si riportano in dettaglio le caratteristiche principali della struttura in esame, utili per il calcolo del fattore di comportamento q e dell'azione sismica.

Classe d'uso	Vita nominale	Coeff. Uso	Duttilità	Regolarità in pianta	Regolarità in altezza	Tipologia strutturale
II	50	1	B	si	si	Telaio c.a..

L'analisi strutturale per azioni sismiche utilizzata per la verifica è del tipo lineare (cap. 7.3.1 NTC 2018). Per sistemi non dissipativi (SLE), gli effetti delle azioni sono calcolati riferendosi ad uno spettro di progetto ottenuto assumendo un fattore di comportamento  $q=1$  per lo stato limite di operatività (SLO) (cap. 3.2.3.4 NTC 2018) e un fattore di comportamento  $q \leq 1.5$  per stato limite di danno (SLD) (cap. 3.2.3.5 NTC 2018). Per sistemi dissipativi (SLU), gli effetti delle azioni sono calcolati riferendosi ad uno spettro di progetto ottenuto assumendo un fattore di struttura  $q \geq 1.5$  (cap. 3.2.3.5 NTC 2018).

Il calcolo del fattore di comportamento per i sistemi dissipativi è stato eseguito seguendo quanto riportato al capitolo 7 delle NTC 2018 in funzione dei parametri generali della struttura in esame. Si riportano, in tabella, i valori del fattore di comportamento utili per la valutazione dell'azione sismica nelle tre direzioni:

$q_0$	$\alpha_u/\alpha_i$	$k_r$	$q_x$	$q_y$	$q_z$
$3^* \alpha_u/\alpha_i$	1.3	1	3.9	3.9	1.5

L'azione sismica viene definita in relazione ad un periodo di riferimento  $V_r$  che si ricava, per ciascun tipo di costruzione, moltiplicandone la vita nominale per il coefficiente d'uso. Fissato il periodo di riferimento  $V_r$  e la probabilità di superamento  $P_{ver}$  associata a ciascuno degli stati limite considerati, si ottiene il periodo di ritorno  $T_r$  e i relativi parametri di pericolosità sismica:

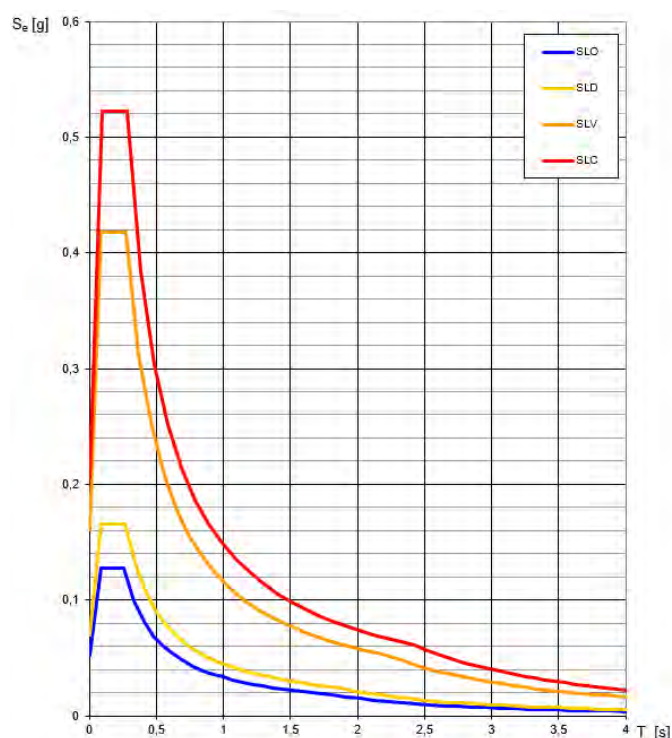
- $a_g$ : accelerazione orizzontale massima del terreno;
- $F_0$ : valore massimo del fattore di amplificazione dello spettro in accelerazione orizzontale;
- $T_c^*$ : periodo di inizio del tratto a velocità costante dello spettro in accelerazione orizzontale.

SLATO LIMITE	$T_R$ [anni]	$a_g$ [g]	$F_0$ [-]	$T_c^*$ [s]
SLO	30	0,052	2,453	0,260
SLD	50	0,069	2,391	0,269
SLV	475	0,161	2,595	0,277
SLC	975	0,206	2,540	0,283

**Tabella 174.** Valori di  $a_g$ ,  $F_0$  e  $T_c^*$  in funzione dei vari stati limite

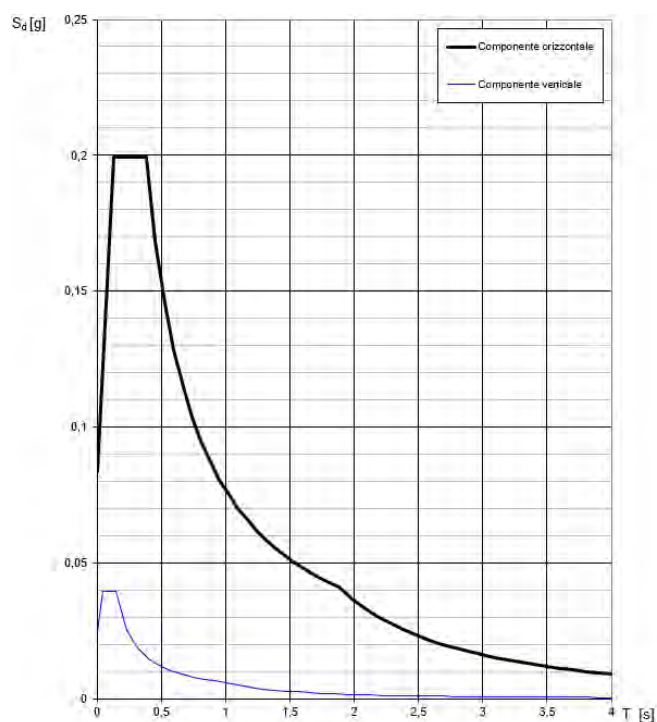


### 1.12.3.2. Spettri di risposta



**Figura 101.** Spettri di risposta elastici per i diversi stati limite

Con l'utilizzo del fattore di comportamento e dei parametri sismici dipendenti dal tipo di struttura in esame, precedentemente calcolati, si sono determinati gli spettri di calcolo agli stati limite SLV e SLD. Nel caso di utilizzo di isolatori sismici si farà riferimento allo spettro ad SLV per la sovrastruttura e ad SLC per gli isolatori. Tali spettri saranno opportunamente scalati in funzione dello smorzamento e del periodo scelto.



**Figura 102.** Spettri di risposta (componenti orizz.\_vert.) per lo SLV

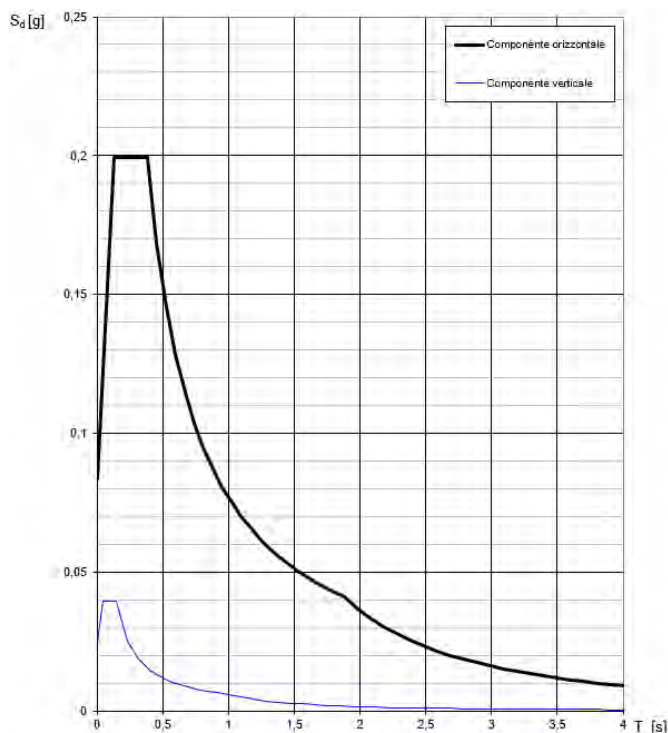


Figura 103. Spettri di risposta (componenti orizz.\_vert.) per lo SLD

#### 1.12.4. Carichi di progetto

##### 1.12.4.1. Carico della neve

Tale calcolo viene effettuato ai sensi di DM del 17 Gennaio 2018 "Norme tecniche per le costruzioni" e della Circolare Ministeriale Applicativa del 21 Gennaio 2019. Il carico neve sulle coperture è valutato con la seguente espressione:

$$q_s = \mu_i * q_{sk} * C_e *$$

dove:

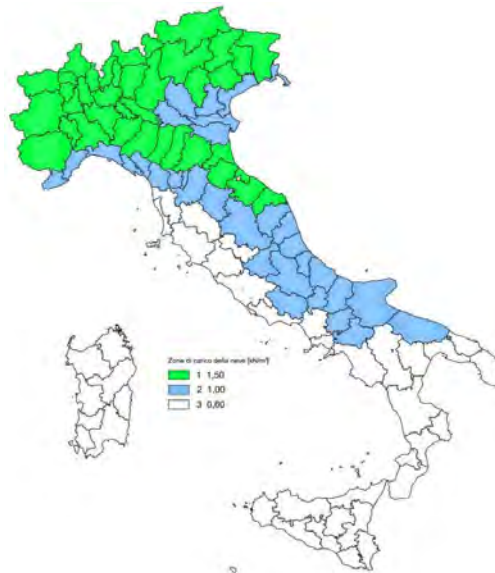
- $\mu_i$  è il coefficiente di forma della copertura;

Coefficiente di forma	$0^\circ \leq \alpha \leq 30^\circ$	$30^\circ < \alpha < 60^\circ$	$\alpha \geq 60^\circ$
$\mu_1$	0,8	$0,8 \cdot \frac{(60 - \alpha)}{30}$	0,0

Tabella 175. Tab. 3.4.II – Valori dei coefficienti di forma

- $q_{sk}$  è il valore di riferimento del carico neve al suolo e dipende dalla zona climatica e dall'altitudine di riferimento del sito  $a_s$ , se è maggiore o inferiore a 200 m;





**Figura 104.** Zone di carico della neve

- $C_e$  è il coefficiente di esposizione che viene utilizzato per modificare il carico neve in funzione delle caratteristiche dell'area in cui sorge l'opera;

Topografia	Descrizione	$C_e$
Battuta dai venti	Aree pianeggianti non ostruite esposte su tutti i lati, senza costruzioni o alberi più alti	0,9
Normale	Aree in cui non è presente una significativa rimozione di neve sulla costruzione prodotta dal vento, a causa del terreno, altre costruzioni o alberi	1,0
Riparata	Aree in cui la costruzione considerata è sensibilmente più bassa del circostante terreno o circondata da costruzioni o alberi più alti	1,1

**Tabella 176.** Tab. 3.4.I – Valori di  $C_z$  per diverse classi di esposizione

- $C_t$  è il coefficiente termico, generalmente assunto pari a 1;

Si assume che la neve non sia impedita di scivolare e si calcola il valore del carico neve in copertura:

Zona	$s$ (m)	$q_{sk}$ (daN/m <sup>2</sup> )	$\mu_i$	$C_e$	$C_t$	$q_s$ (daN/m <sup>2</sup> )
III	290	70	0,8	1	1	56

**Tabella 177.** Determinazione del carico da neve in copertura

#### 1.12.4.2. Carico del vento

La velocità base di riferimento del vento  $v_b$  è il valore medio su 10 minuti, a 10 m di altezza sul suolo su un terreno pianeggiante e omogeneo di categoria di esposizione II, riferito ad un periodo di ritorno  $T_r = 50$  anni, ed è pari a:

$$v_b = v_{b0} * c_a$$

dove:

- $v_{b0}$  è la velocità base di riferimento al livello del mare, assegnata nella Tab.3.3.I in funzione della zona in cui sorge la costruzione;

- $c_a$  è il coefficiente di altitudine fornito dalla relazione

$$c_a = 1 \quad \text{per } a_s \leq a_0$$

$$c_a = 1 + k_s * (a_s/a_0 - 1) \quad \text{per } a_0 < a_s \leq 1500 \text{ m}$$

dove:

- $a_0, k_s$  sono parametri forniti nella Tab.3.3.I in funzione della zona in cui sorge la costruzione;
- $a_s$  è l'altitudine sul livello del mare del sito ove sorge la costruzione.

Zona	Descrizione	$v_{b,0}$ [m/s]	$a_0$ [m]	$k_s$
1	Valle d'Aosta, Piemonte, Lombardia, Trentino Alto Adige, Veneto, Friuli Venezia Giulia (con l'eccezione della provincia di Trieste)	25	1000	0,40
2	Emilia Romagna	25	750	0,45
3	Toscana, Marche, Umbria, Lazio, Abruzzo, Molise, Puglia, Campania, Basilicata, Calabria (esclusa la provincia di Reggio Calabria)	27	500	0,37
4	Sicilia e provincia di Reggio Calabria	28	500	0,36
5	Sardegna (zona a oriente della retta congiungente Capo Teulada con l'Isola di Maddalena)	28	750	0,40
6	Sardegna (zona a occidente della retta congiungente Capo Teulada con l'Isola di Maddalena)	28	500	0,36
7	Liguria	28	1000	0,54
8	Provincia di Trieste	30	1500	0,50
9	Isole (con l'eccezione di Sicilia e Sardegna) e mare aperto	31	500	0,32



**Figura 105.** Valori dei parametri  $v_{b0}, a_0, k_s$

**Figura 106.** Mappa delle zone in cui è suddiviso il territorio italiano

La velocità di riferimento  $v_r$  è il valore medio su 10 minuti, a 10 m di altezza dal suolo su un terreno pianeggiante e omogeneo di categoria di esposizione II, riferito al periodo di ritorno di progetto  $T_r$ .

$$v_r = v_b * c_r$$

- $v_b$  è la velocità base di riferimento al livello del mare, assegnata
- $c_r$  è il coefficiente di ritorno, funzione del periodo di ritorno di progetto  $T_r$  fornito dalla relazione

$$c_r = 0.75 * \sqrt{1 - 0.2 * \ln[-\ln * (1 - 1/T_r)]}$$

Quindi:

$v_{b0}$ (m/s)	$a_s$	$c_a$	$v_b$	$T_r$	$c_r$	$v_r$ (m/s)
27	290	1	27	50	1,0007	27.02

La pressione del vento è data dall'espressione:

$$p = q_r * c_e * c_p * c_d$$

dove:

- $q_r$  è la pressione cinetica di riferimento data dall'espressione

$$q_r = \frac{1}{2} * \rho * v_r^2 \quad \text{in cui } \rho \text{ è la densità dell'aria pari a } 1.25 \text{ kg/m}^3$$

•  $c_e$  è il coefficiente di esposizione che dipende dall'altezza  $z$  sul suolo del punto considerato, dalla topografia del terreno e dalla categoria di esposizione del sito ove sorge la costruzione. Per altezze sul suolo non maggiori di 200 m è dato dalla formula:

$$c_e(z) = k_r^2 * c_t * \ln(z/z_0) * [7 + c_t * \ln(z/z_0)] \quad \text{per } z \geq z_{min}$$

$$c_e(z) = c_e(z_{min}) \quad \text{per } z < z_{min}$$

dove:

- $k_r$ ,  $z_0$ ,  $z_{min}$  sono assegnati in Tab.3.3.II in funzione della categoria di esposizione del sito.
- $c_t$  è il coefficiente di topografia, posto generalmente uguale a 1.

Categoria di esposizione del sito	$K_r$	$z_0$ [m]	$z_{min}$ [m]
I	0,17	0,01	2
II	0,19	0,05	4
III	0,20	0,10	5
IV	0,22	0,30	8
V	0,23	0,70	12

**Tabella 178.** Parametri per la definizione del coefficiente di esposizione

Classe di rugosità del terreno	Descrizione
A	Aree urbane in cui almeno il 15% della superficie sia coperto da edifici la cui altezza media non superi i 15 m
B	Aree urbane (non di classe A), suburbane, industriali e boschive
C	Aree con ostacoli diffusi (alberi, case, muri, recinzioni...); aree con rugosità non riconducibile alle classi A, B, e D
D	a) Mare e relativa fascia costiera (entro 2 km dalla costa); b) Lago (con larghezza massima pari ad almeno 1 km) e relativa fascia costiera (entro 1 km dalla costa); c) Aree prive di ostacoli o con al più rari ostacoli isolati (aperta campagna, aeroporti, aree agricole, pascoli, zone paludose o sabbiose, superfici innevate o ghiacciate, ...)

**Tabella 179.** Classi di rugosità del terreno

ZONE 1,2,3,4,5						
	costa	mare	2 km	10 km	30 km	750m
A	--	IV	IV	V	V	V
B	--	III	III	IV	IV	IV
C	--	*	III	III	IV	IV
D	I	II	II	II	III	**
* Categoria II in zona 1,2,3,4 Categoria III in zona 5						
** Categoria III in zona 2,3,4,5 Categoria IV in zona 1						

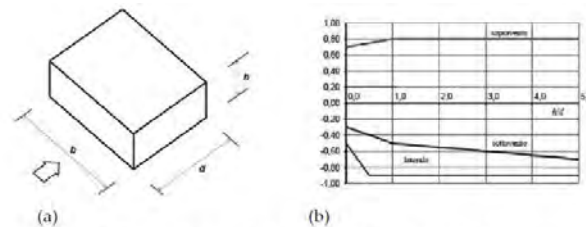
**Tabella 180.** Definizione delle categorie di esposizione

$q_r$	Rugosità	Esposizione	$c_e(z)$	$c_e(z_{min})$
456	B	III	2.570	1,708

**Tabella 181.** Definizione dei coefficienti di esposizione

•  $c_p$  è il coefficiente di pressione e dipende dalla tipologia, dalla geometria della costruzione e dal suo orientamento rispetto alla direzione del vento. Il coefficiente globale  $c_{pe}$  che può essere

utilizzato in tutti i casi in cui la rappresentazione delle azioni aereodinamiche del vento possa essere effettuata in maniera semplificata, rivolta alla valutazione delle azioni globali su porzioni estese di costruzioni o delle risultanti delle azioni indotte dal vento sugli elementi principali della struttura. I coefficienti  $c_{pe}$  da assumere sulle pareti dell'edificio a pianta rettangolare sono diagrammati in base al rapporto  $h/d$ , avendo indicato con  $h$  l'altezza del manufatto e con  $d$  la profondità dell'edificio, valutata parallelamente al flusso di lavoro:



a) Parametri caratteristici di edifici a pianta rettangolare,  
b) Edifici a pianta rettangolare:  $c_{pe}$  per facce sopravvento, sottovento e laterali  
**Figura C3.3.2**

**Tabella C3.3.I:** Edifici a pianta rettangolare:  $c_{pe}$  per facce sopravvento, sottovento e laterali

Facciata sopravvento	$C_U = 2,0$	$C_U = 1,5$
$h/d \leq 1$ : $c_{pe} = 0,7 + 0,1 \cdot h/d$	$h/d \leq 0,5$ : $c_{pe} = -0,5 - 0,8 \cdot h/d$	$h/d \leq 1$ : $c_{pe} = -0,3 - 0,2 \cdot h/d$
$h/d > 1$ : $c_{pe} = 0,8$	$h/d > 0,5$ : $c_{pe} = -0,9$	$1 < h/d \leq 5$ : $c_{pe} = -0,5 - 0,05 \cdot (h/d - 1)$

**Tabella 182.** Coefficienti di pressione delle facciate secondo NTC2018

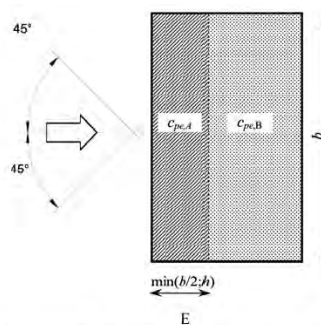
Quindi i coefficienti per le facce sopravvento e sottovento sono:

b	d	h	h/d	$C_{pe}$ -sopravento	$C_{pe}$ -sottovento
28	13	19	1.46	0.8	-0,52

**Tabella 183.** Definizione dei coefficienti di pressione

## COPERTURA PIANA

Per la copertura piana, l'altezza di riferimento  $z_e$  è pari alla quota massima della copertura stessa, inclusa la presenza dei parapetti e di altri analoghi elementi. I coefficienti globali  $c_{pe}$  da assumere sulle coperture di un edificio a pianta rettangolare sono riportati di seguito:



**Figura C3.3.5 -** Schema di riferimento per coperture piane

**Tabella C3.3.III -** Edifici rettangolari:  $c_{pe}$  per coperture piane.

Fascia sopravvento di profondità pari al minimo tra $b/2$ e $h$ :	$c_{pe,A} = -0,80$
Restanti zone	$c_{pe,B} = \pm 0,20$

**Tabella 184.** Definizione  $c_{pe}$  per coperture piano

Le pressioni interne agli edifici dipendono dalla superficie delle aperture che questi presentano verso l'esterno. Nel caso in esame si assumono valori del coefficiente di pressione interno pari a  $c_{pi} = +0,2$  e  $c_{pi} = -0,30$ , considerando il caso che di volta in volta conduce alla situazione maggiormente gravosa.

- $c_d$  è il coefficiente dinamico e può essere assunto cautelativamente pari a 1 nelle costruzioni di tipologia ricorrente quali gli edifici di forma regolare non eccedenti 80 m in altezza e capannoni industriali.

In funzione dei coefficienti analizzati e della pressione cinetica di riferimento, si calcola la pressione del vento per la copertura e per le facciate sopravento e sottovento considerando i valori massimi e minimi.

<b>Facciata</b>	<b>Sopravento</b>	<b>Sottovento</b>
$p_{min}$ (daN/m <sup>2</sup> )	467	-641
$p_{max}$ (daN/m <sup>2</sup> )	704	-965
<b>Copertura</b>	<b>Sopravento</b>	<b>Sottovento</b>
$p$ (daN/m <sup>2</sup> )	-1290	-586



#### **1.12.5. Interventi per il miglioramento sismico – edifici in cemento armato**

Gli interventi previsti per la riduzione del rischio sismico si dividono in:

- interventi che consentono il passaggio di una sola Classe di Rischio;
- interventi che possono consentire il passaggio fino a due Classi di Rischio.
- interventi che possono consentire il miglioramento di almeno due Classi di Rischio o l'adeguamento sismico.

La prima tipologia di interventi considerati è quella contenuta nelle “Linee guida per la classificazione del rischio sismico delle costruzioni” (D.M. 65/2017-allegato A). Per gli edifici in cemento armato, se la struttura è stata originariamente concepita con la presenza di telai in entrambe le direzioni, è prevista la possibilità di ritenere valido il passaggio alla Classe di Rischio immediatamente superiore se vengono effettuati gli interventi seguenti:

- incamiciatura dei pilastri e dei nodi pilastro-trave per tutte le pilastrate e le travi disposte lungo il perimetro dell'edificio;
- opere volte a scongiurare il ribaltamento delle tamponature, compiute su tutte le tamponature perimetrali presenti sulle facciate;
- eventuali opere di ripristino delle zone danneggiate e/o degradate.

La seconda tipologia di interventi considerati riguarda l'utilizzo di:

- isolamento sismico in fondazione.

Questa tipologia di interventi, viene presa in considerazione nel caso in cui le lavorazioni vengono eseguite senza dover in alcun modo evacuare gli inquilini dell'edificio, quindi quando per esempio:

- è presente un piano interrato dove sono presenti garage;
- è presente un piano terra dove sono presenti negozi;
- è presente un piano pilotis dove sono presenti cantine.

Nel caso si adotti l'intervento di isolamento sismico in fondazione bisogna fare una differenza in funzione della presenza o meno di un piano interrato.

Nel caso in cui **fosse presente il piano interrato** (adibito a garage o cantine), l'intervento di isolamento sismico alla base prevede di tagliare il pilastro del piano interrato all'altezza delle travi del piano terra inserendo l'isolatore sismico opportunamente dimensionato e ringrossando ove necessario il nodo trave pilastro. Risulta inoltre indispensabile creare una trincea perimetrale esterna che consenta all'edificio gli spostamenti generati dall'azione sismica.

Nel caso in cui **non fosse presente un piano interrato**, ma ad esempio un piano pilotis con cantine, l'intervento prevede di creare un piano di scorrimento che può essere realizzato in funzione delle opportunità e delle esigenze o all'attacco tra fondazione e pilastri oppure direttamente sopra la soletta del piano terra. Il piano di scorrimento viene creato attraverso un reticolo di travi in acciaio collegate ad ogni pilastro sopra le quali viene posata una lamiera grecata con successivo

getto di soletta armata con rete. La soluzione ad unico piano di scorrimento anche per edifici estesi con giunti sismici risulta essere ampiamente perseguibile.

Sotto ogni pilastro e sotto il piano di scorrimento viene predisposto un opportuno isolatore sismico (ad esempio friction pendulum). Anche in questo caso come nel precedente risulta indispensabile creare una trincea perimetrale che possa garantire gli spostamenti attesi dovuti all'azione sismica.

In tutti i casi citati, si tratta di interventi la cui progettazione richiede informazioni dettagliate sulla geometria e sulle caratteristiche meccaniche degli elementi resistenti allo stato attuale e la cui efficacia può essere valutata solo con analisi strutturali condotte per mezzo di adeguati modelli di calcolo. In questa fase ci si limiterà, pertanto, ad una descrizione sommaria degli interventi e ad una valutazione di massima del costo.

La terza tipologia di interventi considerati riguarda l'utilizzo di:

- cappotto sismico applicato alle pareti esterne dell'edificio.

Questa tipologia di interventi, viene presa in considerazione nel caso in cui le lavorazioni vengono eseguite senza dover in alcun modo evacuare gli inquilini dell'edificio, e quando la struttura risulta regolare in pianta e in altezza. Per gli edifici in cemento armato, nel caso di struttura a telai in entrambe le direzioni, è prevista la possibilità di ritenere valido il passaggio di più Classi di Rischio con la possibilità di raggiungere l'adeguamento sismico a seconda della tipologia di struttura.

#### **1.12.5.1. Sintesi degli interventi previsti**

##### **ISOLATORI SISMICI**

---

L'isolamento sismico alla base di un edificio comporta una notevole riduzione della azione sismica, tale da annullare la necessità di procedere ad opere di rinforzo della struttura.

La funzione principale svolta dall'isolatore sismico è quella di consentire il disaccoppiamento della sovrastruttura dalla fondazione. Ne consegue la riduzione delle accelerazioni trasmesse alla sovrastruttura, che si comporta come un corpo rigido al di sopra degli isolatori.

Gli effetti sono:

- incremento del periodo proprio di oscillazione della struttura, che si allontana dal periodo dominante dei terremoti;
- sensibile riduzione delle forze di progetto da applicare alla sovrastruttura.

L'operazione richiede il taglio dei pilastri nella zona di collegamento con la fondazione. Durante tale operazione, occorre trasferire il carico dalla zona sovrastante a quella sottostante la sezione di taglio.

Lo schema statico della sovrastruttura è alterato poiché si inserisce una cerniera nel pilastro e quindi occorre apportare opportuni rinforzi locali in modo che la struttura modificata sia in grado di resistere alle sollecitazioni.

L'isolamento sismico comporta limitate interferenze con l'esistente:

- gli interventi sono eseguiti solo al livello del piano di isolamento;
- l'utilizzo del fabbricato e delle attività che vi si svolgono non sono interrotti, se non per periodi limitati.

Come per la tipologia di interventi riportati ai paragrafi precedenti, l'efficacia degli interventi da eseguire per l'isolamento sismico può essere valutata solo con analisi strutturale condotta con idonei programmi di calcolo, mediante modellazione della struttura agli elementi finiti, previo rilievo dettagliato della geometria strutturale e caratterizzazione meccanica dei materiali costituenti gli elementi resistenti attuali da eseguire sulla base di una campagna di indagini in sito e prove di laboratorio.

#### **1.12.6. Conclusioni**

Per quanto concerne gli aspetti prettamente strutturali, l'intervento di miglioramento sismico adottato per la tipologia oggetto della presente relazione, prevede l'utilizzo di appositi isolatori sismici alla base opportunamente dimensionati per garantire un comportamento disaccoppiato della struttura e per garantire una centratura tra il centro di massa e centro di rigidità. Nel miglioramento sismico con isolatori, si è garantito che la sovrastruttura e sottostruttura sia mantenuta in campo elastico. Si è scelto quindi di utilizzare questo tipo di intervento in quanto, dai sopralluoghi effettuati, si è riscontrato che le attività per garantire un isolamento sismico alla base dell'edificio non vanno ad interferire in alcun modo né in termini di organizzazione né di sicurezza con il regolare esercizio della struttura.

Gli interventi strutturali previsti sono mirati al miglioramento sismico attraverso l'incremento di 2 classe di rischio, ovvero al miglioramento del rischio della costruzione con incidenza sul valore PAM e sulla capacità che la struttura possiede rispetto allo stato limite della salvaguardia sulla vita. Tale valore è stato valutato come rapporto tra PGAA (SLV) anteoperam e la PGAp (SLV) postoperam, determinata attraverso il metodo convenzionale nel rispetto della normativa vigente (NTC 2018) e della circolare ministeriale applicativa del 21 gennaio 2019.

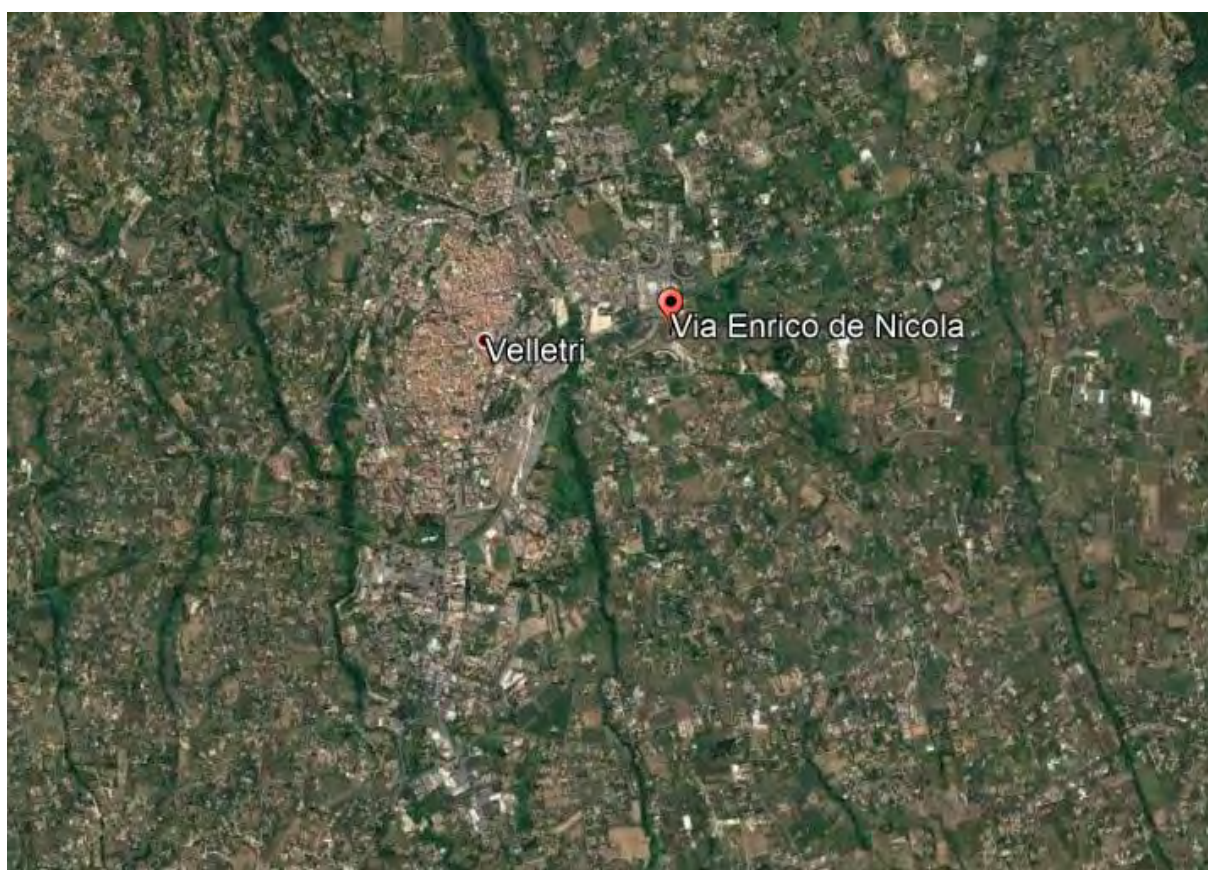
### **1.13. Tipologia VE13**

#### **1.13.1. Individuazione dei siti in esame**

Di seguito si riporta una tabella che riassume i parametri generali del sito in esame, con gli identificativi e le coordinate dei punti che includono gli edifici.

Provincia	Comune	Tipologia	Via	Latitudine	Longitudine
Roma	Velletri	VE13	Via E. De Nicola 11-13-15-17	41.4117°	12.4723°

**Tabella 185.** Parametri generali del sito in esame



**Figura 107.** Individuazione del sito in esame (immagine da google earth)

#### **1.13.2. Determinazione della categoria di sottosuolo**

Per la determinazione della categoria di sottosuolo, in assenza di indagini geologiche specifiche per ogni intervento da realizzare, è possibile stimare in via preliminare e con le approssimazioni del caso, la velocità delle onde VS facendo specifico riferimento agli abachi regionali di microzonazione sismica ai sensi della DGR Lazio n. 545 del 26 novembre 2010, forniti sul portale della Regione Lazio. Nello specifico andando ad individuare la carta delle microzone omogenee in prospettiva sismica per il comune di interesse, è possibile risalire alla tipologia del sottosuolo e relativo spessore. Dalla carta riportata in figura 2, si evidenzia che il sito oggetto del presente studio ricade all'interno delle zone stabili suscettibili di amplificazione sismica (Zona 1) che sono caratterizzate dalla



presenza depositi piroclastici. In funzione di questo, entrando in via approssimativa nell'abaco (Vs/h) riportato in figura 2, relativo alle ghiaie alluvionali, detritiche e sabbie di alterazione, si determina il valore di Vs che viene utilizzato per la stima approssimata della categoria di sottosuolo entrando nella tabella 3.2.II del D.M. 17 Gennaio 2018.

<b>GHIAIE ALLUVIONALI</b> <b>GHIAIE DETRITICHE</b> <b>SABBIE DI ALTERAZIONE DA ARENARIE</b> <b>SABBIE DI ALTERAZIONE DA TRAVERTINI</b> <b>SABBIE DI ALTERAZIONI DA TUFVULCANICI</b>										
FH <sub>0,1-0,5</sub>		Velocità media V <sub>SH</sub> (m/s)								
Profondità dal pc H (m)		180	250	300	360	400	450	500	600	700
	5	1.3	1.2	1.1	1.1	1.1	1.1	1.0	1.0	1.0
	10			1.4	1.4	1.2	1.2	1.1	1.1	1.0
	15			1.6	1.5	1.3	1.3	1.2	1.1	1.1
	20			1.7	1.6	1.4	1.3	1.2	1.1	1.1
	25			1.6	1.5	1.5	1.4	1.3	1.2	1.1
	30			1.5	1.5	1.5	1.4	1.3	1.2	1.1
	35				1.4	1.4	1.3	1.3	1.2	1.1
	40					1.4	1.3	1.3	1.2	1.1
	45						1.3	1.2	1.2	1.1

GRADIENTE DI VELOCITA' PER VALIDITA' ABACO

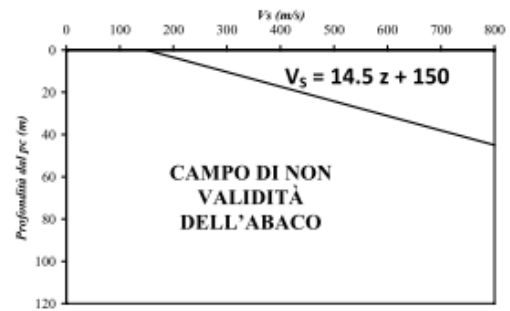


Tabella 186. Abaco per le ghiaie alluvionali, detritiche e sabbie di alterazione

Nello specifico facendo riferimento all'andamento della velocità Vs con la profondità z dello strato dal piano campagna, si ottiene un valore delle velocità Vs pari a:

$$V_s = 14.5 * z + 150 = 512 \text{ m/s}$$

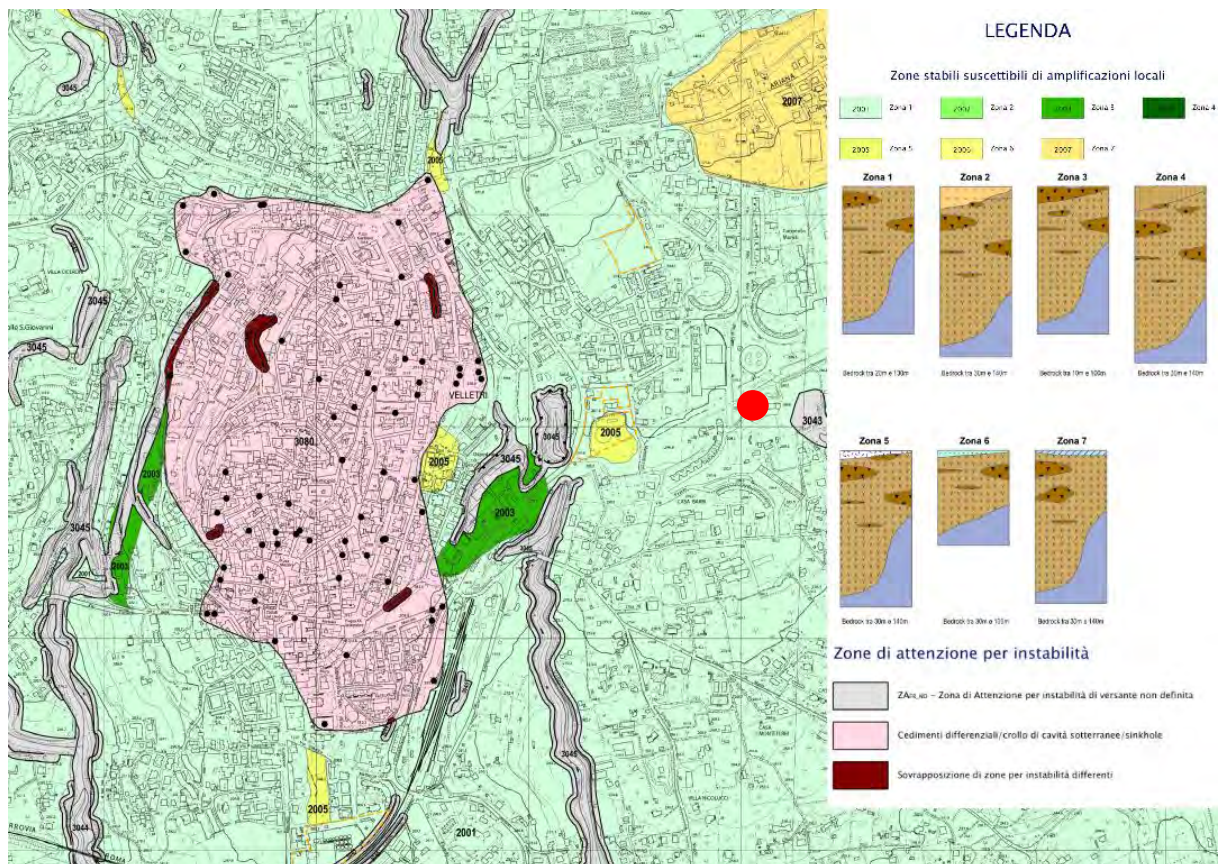


Figura 108. Zona omogenea in prospettiva sismica



In relazione alle formulazioni sopra riportate avendo ottenuto un valore delle Vs pari a 512 m/s ed entrando nella tabella 3 sotto riportata si ottiene una categoria di sottosuolo B “*Depositi di terreni a grana grossa molto addensati o terreni a grana fina molto consistenti*”.

Per le condizioni topografiche che nel caso specifico si configurano in superficiali semplici si può adottare la classificazione riportata nella tabella 4 e nello specifico si ricade nella categoria T1.

Categoria	Descrizione
A	Ammassi rocciosi affioranti o terreni molto rigidi caratterizzati da valori di velocità delle onde di taglio superiori a 800 m/s, eventualmente comprendenti in superficie terreni di caratteristiche meccaniche più scadenti con spessore massimo pari a 3 m.
B	Rocce tenere e depositi di terreni a grana grossa molto addensati o terreni a grana fina molto consistenti, caratterizzati da un miglioramento delle proprietà meccaniche con la profondità e da valori di velocità equivalente compresi tra 360 m/s e 800 m/s.
C	Depositi di terreni a grana grossa mediamente addensati o terreni a grana fina mediamente consistenti con profondità del substrato superiori a 30 m, caratterizzati da un miglioramento delle proprietà meccaniche con la profondità e da valori di velocità equivalente compresi tra 180 m/s e 360 m/s.
D	Depositi di terreni a grana grossa scarsamente addensati o di terreni a grana fina scarsamente consistenti, con profondità del substrato superiori a 30 m, caratterizzati da un miglioramento delle proprietà meccaniche con la profondità e da valori di velocità equivalente compresi tra 100 e 180 m/s.
E	Terreni con caratteristiche e valori di velocità equivalente riconducibili a quelle definite per le categorie C o D, con profondità del substrato non superiore a 30 m.

**Tabella 187.** Tab. 3.2.II – Categorie di sottosuolo che permettono l'utilizzo dell'approccio semplificato

Categoria	Caratteristiche della superficie topografica
T1	Superficie pianeggiante, pendii e rilievi isolati con inclinazione media $i \leq 15^\circ$
T2	Pendii con inclinazione media $i > 15^\circ$
T3	Rilievi con larghezza in cresta molto minore che alla base e inclinazione media $15^\circ \leq i \leq 30^\circ$
T4	Rilievi con larghezza in cresta molto minore che alla base e inclinazione media $i > 30^\circ$

**Tabella 188.** Tab. 3.2. III – Categorie topografiche

### 1.13.3. Analisi sismica

#### 1.13.3.1. Determinazione del fattore di comportamento q

Si riportano in dettaglio le caratteristiche principali della struttura in esame, utili per il calcolo del fattore di comportamento q e dell'azione sismica.

Classe d'uso	Vita nominale	Coeff. Uso	Duttilità	Regolarità in pianta	Regolarità in altezza	Tipologia strutturale
II	50	1	B	si	si	Telaio c.a..

L'analisi strutturale per azioni sismiche utilizzata per la verifica è del tipo lineare (cap. 7.3.1 NTC 2018). Per sistemi non dissipativi (SLE), gli effetti delle azioni sono calcolati riferendosi ad uno spettro di progetto ottenuto assumendo un fattore di comportamento  $q=1$  per lo stato limite di operatività (SLO) (cap. 3.2.3.4 NTC 2018) e un fattore di comportamento  $q \leq 1.5$  per stato limite di danno (SLD) (cap. 3.2.3.5 NTC 2018). Per sistemi dissipativi (SLU), gli effetti delle azioni sono calcolati riferendosi ad uno spettro di progetto ottenuto assumendo un fattore di struttura  $q \geq 1.5$  (cap. 3.2.3.5 NTC 2018).

Il calcolo del fattore di comportamento per i sistemi dissipativi è stato eseguito seguendo quanto riportato al capitolo 7 delle NTC 2018 in funzione dei parametri generali della struttura in esame. Si riportano, in tabella, i valori del fattore di comportamento utili per la valutazione dell'azione sismica nelle tre direzioni:

$q_0$	$\alpha_u/\alpha_i$	$k_r$	$q_x$	$q_y$	$q_z$
$3^* \alpha_u/\alpha_i$	1.3	1	3.9	3.9	1.5

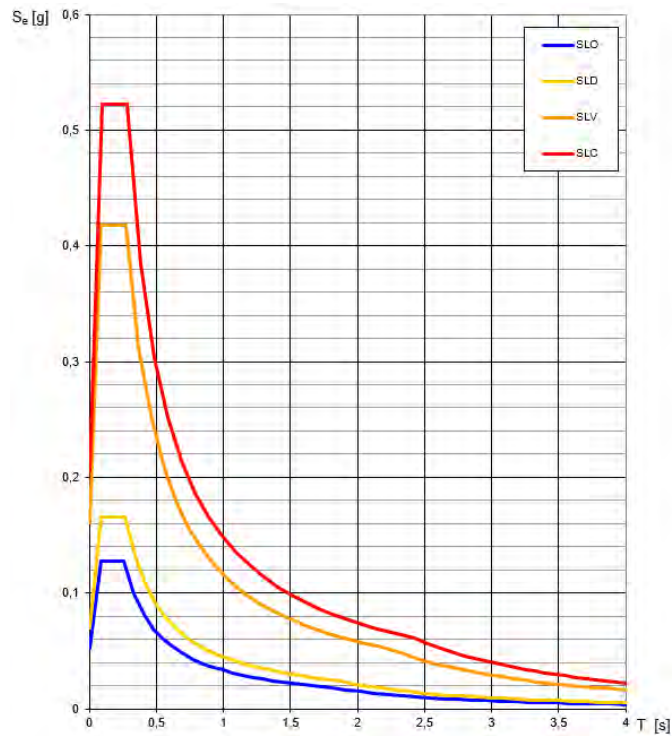
L'azione sismica viene definita in relazione ad un periodo di riferimento  $V_r$  che si ricava, per ciascun tipo di costruzione, moltiplicandone la vita nominale per il coefficiente d'uso. Fissato il periodo di riferimento  $V_r$  e la probabilità di superamento  $P_{ver}$  associata a ciascuno degli stati limite considerati, si ottiene il periodo di ritorno  $T_r$  e i relativi parametri di pericolosità sismica:

- $a_g$ : accelerazione orizzontale massima del terreno;
- $F_0$ : valore massimo del fattore di amplificazione dello spettro in accelerazione orizzontale;
- $T_c^*$ : periodo di inizio del tratto a velocità costante dello spettro in accelerazione orizzontale.

SLATO LIMITE	$T_R$ [anni]	$a_g$ [g]	$F_0$ [-]	$T_c^*$ [s]
SLO	30	0,052	2,453	0,260
SLD	50	0,069	2,391	0,269
SLV	475	0,161	2,595	0,277
SLC	975	0,206	2,540	0,283

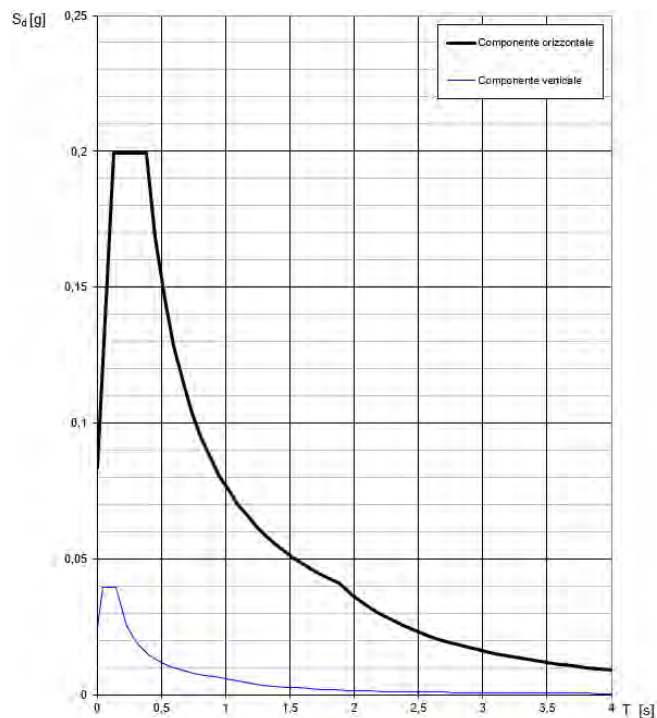
**Tabella 189.** Valori di  $a_g$ ,  $F_0$  e  $T_c^*$  in funzione dei vari stati limite

### 1.13.3.2. Spettri di risposta



**Figura 109.** Spettri di risposta elastici per i diversi stati limite

Con l'utilizzo del fattore di comportamento e dei parametri sismici dipendenti dal tipo di struttura in esame, precedentemente calcolati, si sono determinati gli spettri di calcolo agli stati limite SLV e SLD. Nel caso di utilizzo di isolatori sismici si farà riferimento allo spettro ad SLV per la sovrastruttura e ad SLC per gli isolatori. Tali spettri saranno opportunamente scalati in funzione dello smorzamento e del periodo scelto.



**Figura 110.** Spettri di risposta (componenti orizz.\_vert.) per lo SLV

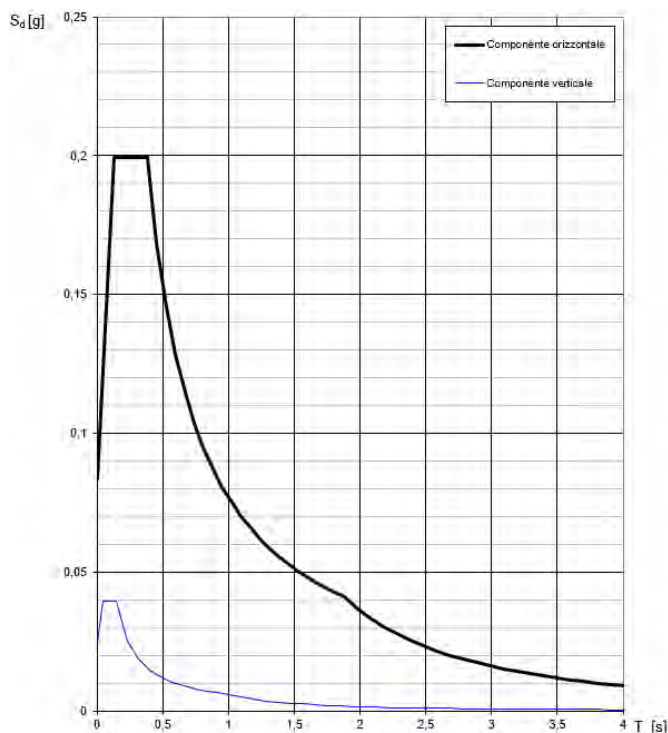


Figura 111. Spettri di risposta (componenti orizz.\_vert.) per lo SLD

#### 1.13.4. Carichi di progetto

##### 1.13.4.1. Carico della neve

Tale calcolo viene effettuato ai sensi di DM del 17 Gennaio 2018 "Norme tecniche per le costruzioni" e della Circolare Ministeriale Applicativa del 21 Gennaio 2019. Il carico neve sulle coperture è valutato con la seguente espressione:

$$q_s = \mu_i * q_{sk} * C_e *$$

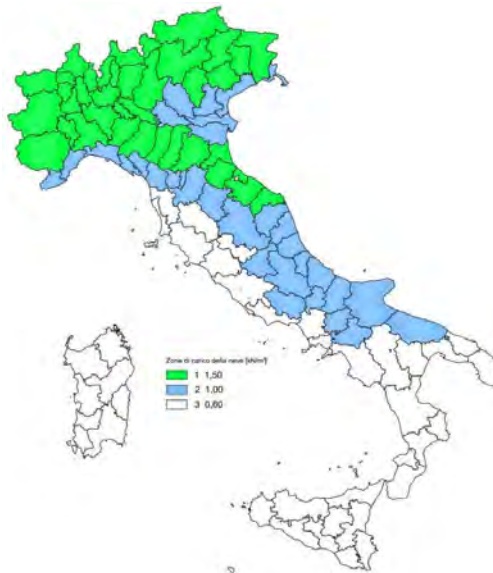
dove:

- $\mu_i$  è il coefficiente di forma della copertura;

Coefficiente di forma	$0^\circ \leq \alpha \leq 30^\circ$	$30^\circ < \alpha < 60^\circ$	$\alpha \geq 60^\circ$
$\mu_i$	0,8	$0,8 \cdot \frac{(60 - \alpha)}{30}$	0,0

Tabella 190. Tab. 3.4.II – Valori dei coefficienti di forma

- $q_{sk}$  è il valore di riferimento del carico neve al suolo e dipende dalla zona climatica e dall'altitudine di riferimento del sito  $a_s$ , se è maggiore o inferiore a 200 m;



**Figura 112.** Zone di carico della neve

- $C_e$  è il coefficiente di esposizione che viene utilizzato per modificare il carico neve in funzione delle caratteristiche dell'area in cui sorge l'opera;

Topografia	Descrizione	$C_e$
Battuta dai venti	Aree pianeggianti non ostruite esposte su tutti i lati, senza costruzioni o alberi più alti	0,9
Normale	Aree in cui non è presente una significativa rimozione di neve sulla costruzione prodotta dal vento, a causa del terreno, altre costruzioni o alberi	1,0
Riparata	Aree in cui la costruzione considerata è sensibilmente più bassa del circostante terreno o circondata da costruzioni o alberi più alti	1,1

**Tabella 191.** Tab. 3.4.I – Valori di  $C_z$  per diverse classi di esposizione

- $C_t$  è il coefficiente termico, generalmente assunto pari a 1;

Si assume che la neve non sia impedita di scivolare e si calcola il valore del carico neve in copertura:

Zona	$s_s$ (m)	$q_{sk}$ (daN/m <sup>2</sup> )	$\mu_i$	$C_e$	$C_t$	$q_s$ (daN/m <sup>2</sup> )
III	292	70	0,8	1	1	56

**Tabella 192.** Determinazione del carico da neve in copertura

#### 1.13.4.2. Carico del vento

La velocità base di riferimento del vento  $v_b$  è il valore medio su 10 minuti, a 10 m di altezza sul suolo su un terreno pianeggiante e omogeneo di categoria di esposizione II, riferito ad un periodo di ritorno  $T_r = 50$  anni, ed è pari a:

$$v_b = v_{b0} * c_a$$

dove:

- $v_{b0}$  è la velocità base di riferimento al livello del mare, assegnata nella Tab.3.3.I in funzione della zona in cui sorge la costruzione;



- $c_a$  è il coefficiente di altitudine fornito dalla relazione

$$c_a = 1 \quad \text{per } a_s \leq a_0$$

$$c_a = 1 + k_s * (a_s/a_0 - 1) \quad \text{per } a_0 < a_s \leq 1500 \text{ m}$$

dove:

- $a_0, k_s$  sono parametri forniti nella Tab.3.3.I in funzione della zona in cui sorge la costruzione;
- $a_s$  è l'altitudine sul livello del mare del sito ove sorge la costruzione.

Zona	Descrizione	$v_{b,0}$ [m/s]	$a_0$ [m]	$k_s$
1	Valle d'Aosta, Piemonte, Lombardia, Trentino Alto Adige, Veneto, Friuli Venezia Giulia (con l'eccezione della provincia di Trieste)	25	1000	0,40
2	Emilia Romagna	25	750	0,45
3	Toscana, Marche, Umbria, Lazio, Abruzzo, Molise, Puglia, Campania, Basilicata, Calabria (esclusa la provincia di Reggio Calabria)	27	500	0,37
4	Sicilia e provincia di Reggio Calabria	28	500	0,36
5	Sardegna (zona a oriente della retta congiungente Capo Teulada con l'Isola di Maddalena)	28	750	0,40
6	Sardegna (zona a occidente della retta congiungente Capo Teulada con l'Isola di Maddalena)	28	500	0,36
7	Liguria	28	1000	0,54
8	Provincia di Trieste	30	1500	0,50
9	Isole (con l'eccezione di Sicilia e Sardegna) e mare aperto	31	500	0,32



**Figura 113.** Valori dei parametri  $v_{b0}, a_0, k_s$

**Figura 114.** Mappa delle zone in cui è suddiviso il territorio italiano

La velocità di riferimento  $v_r$  è il valore medio su 10 minuti, a 10 m di altezza dal suolo su un terreno pianeggiante e omogeneo di categoria di esposizione II, riferito al periodo di ritorno di progetto  $T_r$ .

$$v_r = v_b * c_r$$

- $v_b$  è la velocità base di riferimento al livello del mare, assegnata
- $c_r$  è il coefficiente di ritorno, funzione del periodo di ritorno di progetto  $T_r$  fornito dalla relazione

$$c_r = 0.75 * \sqrt{1 - 0.2 * \ln[-\ln * (1 - 1/T_r)]}$$

Quindi:

$v_{b0}$ (m/s)	$a_s$	$c_a$	$v_b$	$T_r$	$c_r$	$v_r$ (m/s)
27	292	1	27	50	1,0007	27.02

La pressione del vento è data dall'espressione:

$$p = q_r * c_e * c_p * c_d$$

dove:

- $q_r$  è la pressione cinetica di riferimento data dall'espressione

$$q_r = \frac{1}{2} * \rho * v_r^2 \quad \text{in cui } \rho \text{ è la densità dell'aria pari a } 1.25 \text{ kg/m}^3$$

•  $c_e$  è il coefficiente di esposizione che dipende dall'altezza  $z$  sul suolo del punto considerato, dalla topografia del terreno e dalla categoria di esposizione del sito ove sorge la costruzione. Per altezze sul suolo non maggiori di 200 m è dato dalla formula:

$$c_e(z) = k_r^2 * c_t * \ln(z/z_0) * [7 + c_t * \ln(z/z_0)] \quad \text{per } z \geq z_{min}$$

$$c_e(z) = c_e(z_{min}) \quad \text{per } z < z_{min}$$

dove:

- $k_r$ ,  $z_0$ ,  $z_{min}$  sono assegnati in Tab.3.3.II in funzione della categoria di esposizione del sito.
- $c_t$  è il coefficiente di topografia, posto generalmente uguale a 1.

Categoria di esposizione del sito	$K_r$	$z_0$ [m]	$z_{min}$ [m]
I	0,17	0,01	2
II	0,19	0,05	4
III	0,20	0,10	5
IV	0,22	0,30	8
V	0,23	0,70	12

**Tabella 193.** Parametri per la definizione del coefficiente di esposizione

Classe di rugosità del terreno	Descrizione
A	Aree urbane in cui almeno il 15% della superficie sia coperto da edifici la cui altezza media non superi i 15 m
B	Aree urbane (non di classe A), suburbane, industriali e boschive
C	Aree con ostacoli diffusi (alberi, case, muri, recinzioni...); aree con rugosità non riconducibile alle classi A, B, e D
D	a) Mare e relativa fascia costiera (entro 2 km dalla costa); b) Lago (con larghezza massima pari ad almeno 1 km) e relativa fascia costiera (entro 1 km dalla costa); c) Aree prive di ostacoli o con al più rari ostacoli isolati (aperta campagna, aeroporti, aree agricole, pascoli, zone paludose o sabbiose, superfici innevate o ghiacciate, ...)

**Tabella 194.** Classi di rugosità del terreno

ZONE 1,2,3,4,5						
	costa	mare	2 km	10 km	30 km	750m
A	--	IV	IV	V	V	V
B	--	III	III	IV	IV	IV
C	--	*	III	III	IV	IV
D	I	II	II	II	III	**
* Categoria II in zona 1,2,3,4 Categoria III in zona 5						
** Categoria III in zona 2,3,4,5 Categoria IV in zona 1						

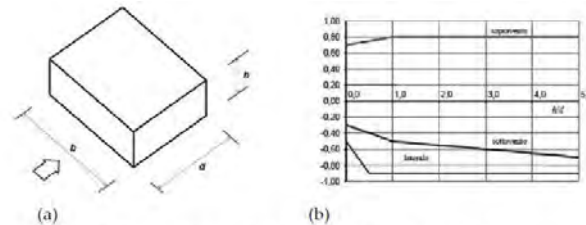
**Tabella 195.** Definizione delle categorie di esposizione

$q_r$	Rugosità	Esposizione	$c_e(z)$	$c_e(z_{min})$
456	B	III	2.533	1,708

**Tabella 196.** Definizione dei coefficienti di esposizione

•  $c_p$  è il coefficiente di pressione e dipende dalla tipologia, dalla geometria della costruzione e dal suo orientamento rispetto alla direzione del vento. Il coefficiente globale  $c_{pe}$  che può essere

utilizzato in tutti i casi in cui la rappresentazione delle azioni aereodinamiche del vento possa essere effettuata in maniera semplificata, rivolta alla valutazione delle azioni globali su porzioni estese di costruzioni o delle risultanti delle azioni indotte dal vento sugli elementi principali della struttura. I coefficienti  $c_{pe}$  da assumere sulle pareti dell'edificio a pianta rettangolare sono diagrammati in base al rapporto  $h/d$ , avendo indicato con  $h$  l'altezza del manufatto e con  $d$  la profondità dell'edificio, valutata parallelamente al flusso di lavoro:



a) Parametri caratteristici di edifici a pianta rettangolare,  
b) Edifici a pianta rettangolare:  $c_{pe}$  per facce sopravvento, sottovento e laterali  
Figura C3.3.2

Tabella C3.3.I: Edifici a pianta rettangolare:  $c_{pe}$  per facce sopravvento, sottovento e laterali

Facciata sopravvento	$C_U = 2,0$	$C_U = 1,5$
$h/d \leq 1$ : $c_{pe} = 0,7 + 0,1 \cdot h/d$	$h/d \leq 0,5$ : $c_{pe} = -0,5 - 0,8 \cdot h/d$	$h/d \leq 1$ : $c_{pe} = -0,3 - 0,2 \cdot h/d$
$h/d > 1$ : $c_{pe} = 0,8$	$h/d > 0,5$ : $c_{pe} = -0,9$	$1 < h/d \leq 5$ : $c_{pe} = -0,5 - 0,05 \cdot (h/d - 1)$

Tabella 197. Coefficienti di pressione delle facciate secondo NTC2018

Quindi i coefficienti per le facce sopravvento e sottovento sono:

b	d	h	h/d	$C_{pe}$ -sopravvento	$C_{pe}$ -sottovento
84	14	18	1.29	0.8	-0,51

Tabella 198. Definizione dei coefficienti di pressione

## COPERTURA PIANA

Per la copertura piana, l'altezza di riferimento  $z_e$  è pari alla quota massima della copertura stessa, inclusa la presenza dei parapetti e di altri analoghi elementi. I coefficienti globali  $c_{pe}$  da assumere sulle coperture di un edificio a pianta rettangolare sono riportati di seguito:

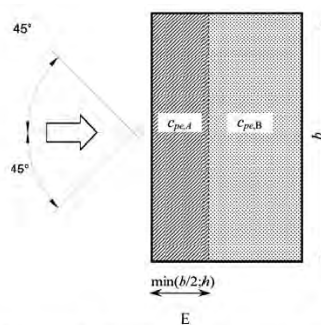


Figura C3.3.5 - Schema di riferimento per coperture piane

Tabella C3.3.III - Edifici rettangolari:  $c_{pe}$  per coperture piane.

Fascia sopravvento di profondità pari al minimo tra $b/2$ e $h$ :	$c_{pe,A} = -0,80$
Restanti zone	$c_{pe,B} = \pm 0,20$

Tabella 199. Definizione  $c_{pe}$  per coperture piano

Le pressioni interne agli edifici dipendono dalla superficie delle aperture che questi presentano verso l'esterno. Nel caso in esame si assumono valori del coefficiente di pressione interno pari a  $c_{pi} = +0,2$  e  $c_{pi} = -0,30$ , considerando il caso che di volta in volta conduce alla situazione maggiormente gravosa.

- $c_d$  è il coefficiente dinamico e può essere assunto cautelativamente pari a 1 nelle costruzioni di tipologia ricorrente quali gli edifici di forma regolare non eccedenti 80 m in altezza e capannoni industriali.

In funzione dei coefficienti analizzati e della pressione cinetica di riferimento, si calcola la pressione del vento per la copertura e per le facciate sopravento e sottovento considerando i valori massimi e minimi.

<b>Facciata</b>	<b>Sopravento</b>	<b>Sottovento</b>
$p_{min}$ (daN/m <sup>2</sup> )	467	-634
$p_{max}$ (daN/m <sup>2</sup> )	693	-941
<b>Copertura</b>	<b>Sopravento</b>	<b>Sottovento</b>
$p$ (daN/m <sup>2</sup> )	-1271	-578

#### **1.13.5. Interventi per il miglioramento sismico – edifici in cemento armato**

Gli interventi previsti per la riduzione del rischio sismico si dividono in:

- interventi che consentono il passaggio di una sola Classe di Rischio;
- interventi che possono consentire il passaggio fino a due Classi di Rischio.
- interventi che possono consentire il miglioramento di almeno due Classi di Rischio o l'adeguamento sismico.

La prima tipologia di interventi considerati è quella contenuta nelle “Linee guida per la classificazione del rischio sismico delle costruzioni” (D.M. 65/2017-allegato A). Per gli edifici in cemento armato, se la struttura è stata originariamente concepita con la presenza di telai in entrambe le direzioni, è prevista la possibilità di ritenere valido il passaggio alla Classe di Rischio immediatamente superiore se vengono effettuati gli interventi seguenti:

- incamiciatura dei pilastri e dei nodi pilastro-trave per tutte le pilastrate e le travi disposte lungo il perimetro dell'edificio;
- opere volte a scongiurare il ribaltamento delle tamponature, compiute su tutte le tamponature perimetrali presenti sulle facciate;
- eventuali opere di ripristino delle zone danneggiate e/o degradate.

La seconda tipologia di interventi considerati riguarda l'utilizzo di:

- isolamento sismico in fondazione.

Questa tipologia di interventi, viene presa in considerazione nel caso in cui le lavorazioni vengono eseguite senza dover in alcun modo evacuare gli inquilini dell'edificio, quindi quando per esempio:

- è presente un piano interrato dove sono presenti garage;
- è presente un piano terra dove sono presenti negozi;
- è presente un piano pilotis dove sono presenti cantine.

Nel caso si adotti l'intervento di isolamento sismico in fondazione bisogna fare una differenza in funzione della presenza o meno di un piano interrato.

Nel caso in cui **fosse presente il piano interrato** (adibito a garage o cantine), l'intervento di isolamento sismico alla base prevede di tagliare il pilastro del piano interrato all'altezza delle travi del piano terra inserendo l'isolatore sismico opportunamente dimensionato e ringrossando ove necessario il nodo trave pilastro. Risulta inoltre indispensabile creare una trincea perimetrale esterna che consenta all'edificio gli spostamenti generati dall'azione sismica.

Nel caso in cui **non fosse presente un piano interrato**, ma ad esempio un piano pilotis con cantine, l'intervento prevede di creare un piano di scorrimento che può essere realizzato in funzione delle opportunità e delle esigenze o all'attacco tra fondazione e pilastri oppure direttamente sopra la soletta del piano terra. Il piano di scorrimento viene creato attraverso un reticolo di travi in acciaio collegate ad ogni pilastro sopra le quali viene posata una lamiera grecata con successivo



getto di soletta armata con rete. La soluzione ad unico piano di scorrimento anche per edifici estesi con giunti sismici risulta essere ampiamente perseguibile.

Sotto ogni pilastro e sotto il piano di scorrimento viene predisposto un opportuno isolatore sismico (ad esempio friction pendulum). Anche in questo caso come nel precedente risulta indispensabile creare una trincea perimetrale che possa garantire gli spostamenti attesi dovuti all'azione sismica.

In tutti i casi citati, si tratta di interventi la cui progettazione richiede informazioni dettagliate sulla geometria e sulle caratteristiche meccaniche degli elementi resistenti allo stato attuale e la cui efficacia può essere valutata solo con analisi strutturali condotte per mezzo di adeguati modelli di calcolo. In questa fase ci si limiterà, pertanto, ad una descrizione sommaria degli interventi e ad una valutazione di massima del costo.

La terza tipologia di interventi considerati riguarda l'utilizzo di:

- cappotto sismico applicato alle pareti esterne dell'edificio;
- sistema a torri dissipative sismo-resistenti.

Questa tipologia di interventi, viene presa in considerazione nel caso in cui le lavorazioni vengono eseguite senza dover in alcun modo evacuare gli inquilini dell'edificio, e nel caso del cappotto sismico quando la struttura risulta regolare in pianta e in altezza.

Il primo caso può essere applicato indifferentemente sia per strutture in muratura che per le strutture in cemento armato. Il secondo caso invece viene impiegato esclusivamente quando la struttura esistente sia stata realizzata in cemento armato.

Per gli edifici in cemento armato, nel caso di struttura a telai in entrambe le direzioni, è prevista la possibilità di ritenere valido il passaggio di più Classi di Rischio con la possibilità di raggiungere l'adeguamento sismico a seconda della tipologia di struttura.

#### **1.13.5.1. Sintesi degli interventi previsti**

##### **TORRI DISSIPATIVE SISMO-RESISTENTI**

---

Il sistema a torri dissipative sismo-resistenti consiste nella realizzazione di torri molto rigide, solitamente in carpenteria metallica, collegate rigidamente alla struttura a livello di solaio ed incernierate alla base, equipaggiate lungo il perimetro della base con dissipatori di energia che si attivano a seguito della rotazione della torre indotta dagli spostamenti orizzontali della struttura. Tale sistema è nato proprio per rispondere alle esigenze di adeguare complessi edilizi di pubblica, eliminando i costi ed i disagi connessi all'interruzione ed al trasferimento delle attività in altre sedi, richiesti dai tradizionali sistemi di adeguamento sismico. La volumetria delle torri va inoltre ad aggiungersi a quella esistente e, quando possibile, può essere sfruttata per la realizzazione di scale, ascensori, cavedi per il passaggio degli impianti o nuovi spazi utilizzabili, consentendo la rivalutazione del patrimonio. Il sistema a torri dissipative consente di sfruttare al massimo la

capacità dei dispositivi di dissipazione; infatti grazie alla loro collocazione alla base delle torri, i dissipatori non lavorano in funzione degli spostamenti relativi d'interpiano, come in un classico sistema a controventi dissipativi posti all'interno delle maglie dei telai, bensì in funzione dello spostamento assoluto che si manifesta all'ultima elevazione

L'efficienza del sistema proposto è garantita non solo dalla rigidezza delle torri, ma anche dal manovellismo utilizzato alla base delle torri per il collegamento delle stesse ai dissipatori.

Il sistema meccanico di manovellismo introdotto alla base di ogni torre ha la funzione di amplificare gli spostamenti, così da ottenere un miglioramento generalizzato dell'efficienza dell'intervento con torri dissipative. A parità di spostamento in sommità, con il sistema di manovellismo si ottiene uno spostamento sul dispositivo di gran lunga superiore a quello ottenuto in assenza di manovellismo. I dispositivi sono attivi sia a trazione che a compressione.

L'efficacia dell'intervento è garantita dalla notevole dissipazione di energia fornita dalle nuove torri dissipative a cui consegue una sensibile riduzione della domanda negli elementi strutturali.

L'organizzazione planimetrica dei dispositivi è studiata in modo da garantire la massima efficienza al sistema. Per ottenere il massimo valore di spostamento i dissipatori vengono disposti in senso radiale sul perimetro esterno della torre, in modo da risultare efficaci per ogni movimento oscillatorio della torre. Il ricentrimento del sistema torre-edificio è garantito dalla forza di richiamo che l'edificio esistente può trasmettere grazie all'energia potenziale elastica immagazzinata.

L'applicazione del sistema a torri dissipative sismo-resistenti presenta numerosi vantaggi rispetto alle tecniche convenzionali di adeguamento sismico, quali:

- incremento sostanziale della capacità delle strutture esistenti nei confronti delle azioni sismiche, che si traduce in un notevole abbattimento sia degli spostamenti che delle accelerazioni, preservando così non solo la struttura, ma anche i componenti non strutturali (murature, infissi, controsoffitti, impianti, ecc..) e le attrezzature, sensibili sia agli spostamenti che alle accelerazioni;
- contenimento degli spostamenti orizzontali fino a pervenire a soluzioni strutturali in grado di fronteggiare i terremoti previsti dalle norme allo stato limite di salvaguardia della vita (SLV) mantenendo la struttura in campo elastico e quindi senza importanti danneggiamenti ed interruzioni d'uso;
- la disposizione ottimale delle torri in pianta consente di regolarizzare il comportamento delle strutture in situazione sismica;
- la creazione alla base di ciascuna torre, di una zona completamente dedicata alla dissipazione di energia, permette di massimizzare l'efficienza dei dispositivi (nello specifico di tipo viscoso), nonché la loro facile ispezione e manutenzione, rispetto alle consuete applicazioni all'interno delle maglie strutturali di edifici esistenti;

- la piena rispondenza ai criteri di reversibilità dell'intervento, poiché intervenendo in esterno è possibile rimuovere le torri senza interferire con le strutture esistenti.

#### **1.13.6. Conclusioni**

L'applicazione del sistema innovativo di protezione sismica detto a "Torri Dissipative" dimostra di essere una valida e conveniente alternativa ai sistemi più tradizionali che sfruttano la dissipazione di energia per la riduzione della domanda. È particolarmente conveniente in quegli edifici con struttura a telaio in c.a. dotati di una sufficiente capacità statica per carichi verticali ma vulnerabili alle azioni orizzontali e che, trovandosi in buone condizioni di agibilità, non necessitano di pesanti interventi di rifunzionalizzazione ed ammodernamento. L'efficienza del sistema è notevole. Ottenendo riduzioni significative della domanda, la calibrazione dimensionale e dissipativa delle torri è tale da raggiungere livelli di protezione sismica superiori ai limiti stabiliti dalle norme per l'adeguamento, con l'obiettivo di mantenere la struttura in campo elastico anche per terremoti severi allo SLV.

Inoltre, molto importante, è il notevole vantaggio economico. Oltre ai minori costi diretti, operando dall'esterno sono quasi o completamente nulli i costi indiretti, l'esecuzione dei lavori avviene senza l'interruzione delle attività.

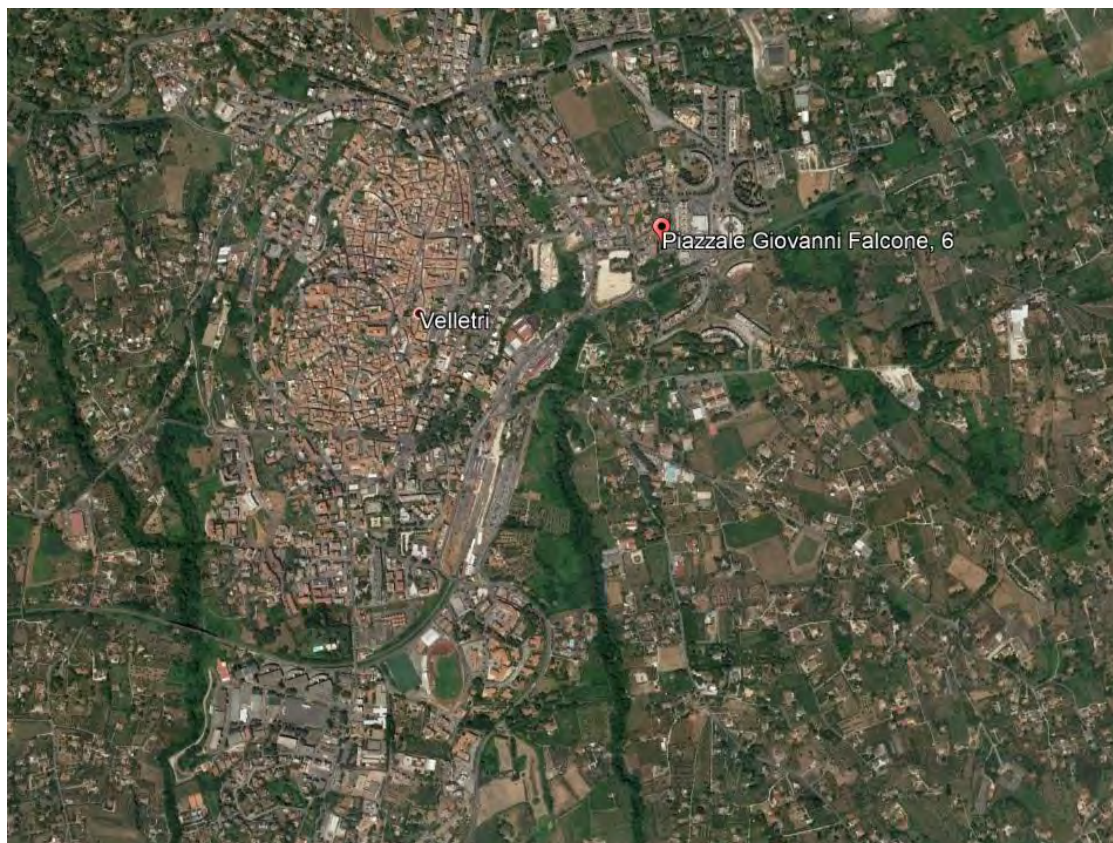
## **1.14. Tipologia VE14**

### **1.14.1. Individuazione dei siti in esame**

Di seguito si riporta una tabella che riassume i parametri generali del sito in esame, con gli identificativi e le coordinate dei punti che includono gli edifici.

Provincia	Comune	Tipologia	Via	Latitudine	Longitudine
Roma	Velletri	VE14	Piazza G. Falcone 6-7-8-9	41.4121°	12.4713°

**Tabella 200.** Parametri generali del sito in esame



**Figura 115.** Individuazione del sito in esame (immagine da google earth)

### **1.14.2. Determinazione della categoria di sottosuolo**

Per la determinazione della categoria di sottosuolo, in assenza di indagini geologiche specifiche per ogni intervento da realizzare, è possibile stimare in via preliminare e con le approssimazioni del caso, la velocità delle onde VS facendo specifico riferimento agli abachi regionali di microzonazione sismica ai sensi della DGR Lazio n. 545 del 26 novembre 2010, forniti sul portale della Regione Lazio. Nello specifico andando ad individuare la carta delle microzone omogenee in prospettiva sismica per il comune di interesse, è possibile risalire alla tipologia del sottosuolo e relativo spessore. Dalla carta riportata in figura 2, si evidenzia che il sito oggetto del presente studio ricade all'interno delle zone stabili suscettibili di amplificazione sismica (Zona 1) che sono caratterizzate dalla presenza depositi piroclastici. In funzione di questo, entrando in via approssimativa nell'abaco



(Vs/h) riportato in figura 2, relativo alle ghiaie alluvionali, detritiche e sabbie di alterazione, si determina il valore di Vs che viene utilizzato per la stima approssimata della categoria di sottosuolo entrando nella tabella 3.2.II del D.M. 17 Gennaio 2018.

GHIAIE ALLUVIONALI GHIAIE DETRITICHE SABBIE DI ALTERAZIONE DA ARENARIE SABBIE DI ALTERAZIONE DA TRAVERTINI SABBIE DI ALTERAZIONI DA TUFI VULCANICI										
FH <sub>0,1-0,5</sub>		Velocità media V <sub>SH</sub> (m/s)								
Profondità dal pc H (m)	5	180	250	300	360	400	450	500	600	700
	10	1.3	1.2	1.1	1.1	1.1	1.1	1.0	1.0	1.0
	15			1.4	1.4	1.2	1.2	1.1	1.1	1.0
	20			1.6	1.5	1.3	1.3	1.2	1.1	1.1
	25			1.7	1.6	1.4	1.3	1.2	1.1	1.1
	30			1.6	1.5	1.5	1.4	1.3	1.2	1.1
	35			1.5	1.5	1.5	1.4	1.3	1.2	1.1
	40				1.4	1.4	1.3	1.3	1.2	1.1
	45					1.4	1.3	1.3	1.2	1.1
	50						1.3	1.2	1.2	1.1

GRADIENTE DI VELOCITA' PER VALIDITA' ABACO

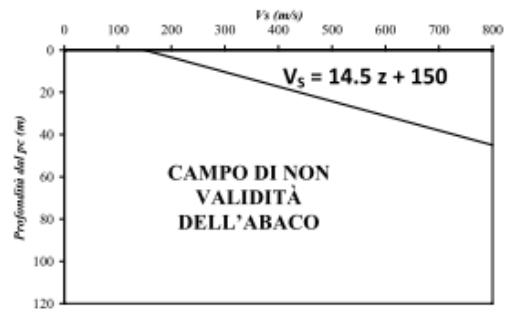


Tabella 201. Abaco per le ghiaie alluvionali, detritiche e sabbie di alterazione

Nello specifico facendo riferimento all'andamento della velocità Vs con la profondità z dello strato dal piano campagna, si ottiene un valore delle velocità Vs pari a:

$$V_s = 14.5 * z + 150 = 512 \text{ m/s}$$

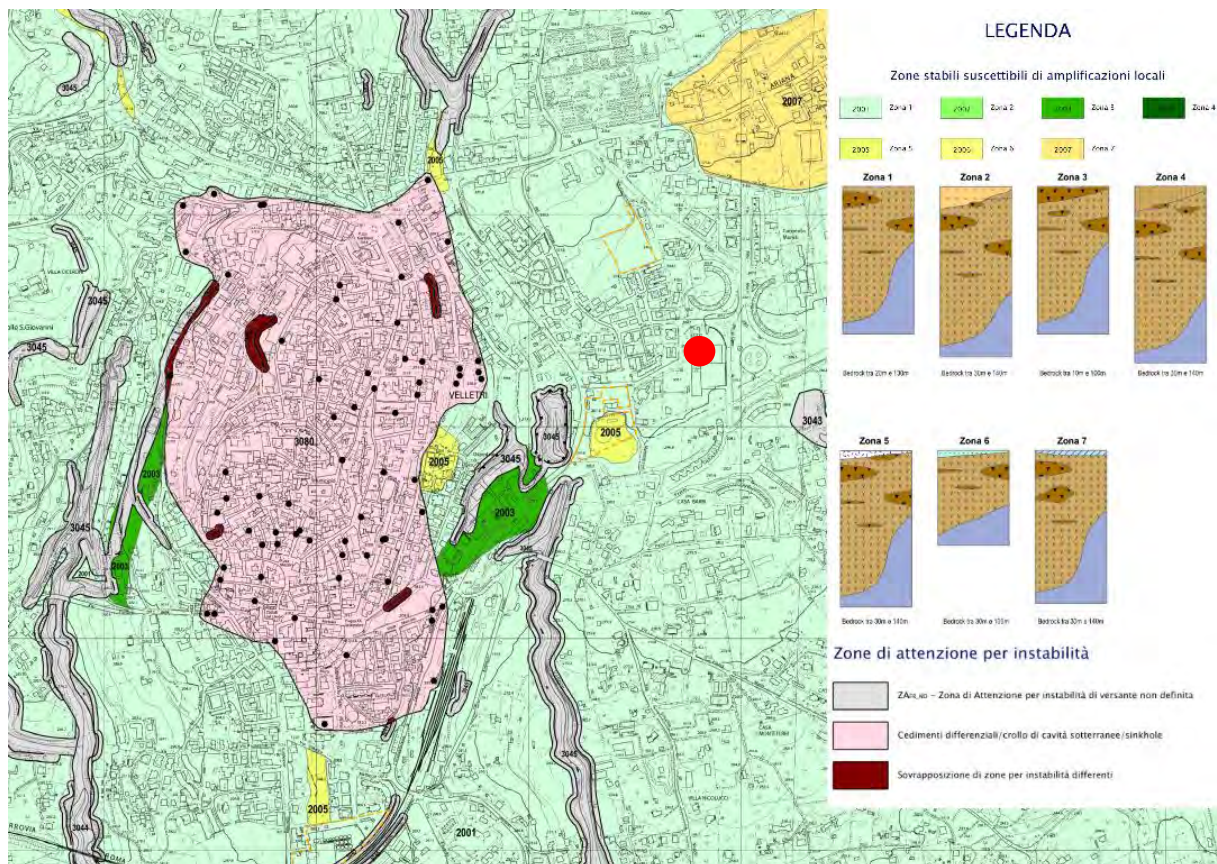


Figura 116. Zona omogenea in prospettiva sismica



In relazione alle formulazioni sopra riportate avendo ottenuto un valore delle Vs pari a 512 m/s ed entrando nella tabella 3 sotto riportata si ottiene una categoria di sottosuolo B “*Depositi di terreni a grana grossa molto addensati o terreni a grana fina molto consistenti*”.

Per le condizioni topografiche che nel caso specifico si configurano in superficiali semplici si può adottare la classificazione riportata nella tabella 4 e nello specifico si ricade nella categoria T1.

Categoria	Descrizione
A	Ammassi rocciosi affioranti o terreni molto rigidi caratterizzati da valori di velocità delle onde di taglio superiori a 800 m/s, eventualmente comprendenti in superficie terreni di caratteristiche meccaniche più scadenti con spessore massimo pari a 3 m.
B	Rocce tenere e depositi di terreni a grana grossa molto addensati o terreni a grana fina molto consistenti, caratterizzati da un miglioramento delle proprietà meccaniche con la profondità e da valori di velocità equivalente compresi tra 360 m/s e 800 m/s.
C	Depositi di terreni a grana grossa mediamente addensati o terreni a grana fina mediamente consistenti con profondità del substrato superiori a 30 m, caratterizzati da un miglioramento delle proprietà meccaniche con la profondità e da valori di velocità equivalente compresi tra 180 m/s e 360 m/s.
D	Depositi di terreni a grana grossa scarsamente addensati o di terreni a grana fina scarsamente consistenti, con profondità del substrato superiori a 30 m, caratterizzati da un miglioramento delle proprietà meccaniche con la profondità e da valori di velocità equivalente compresi tra 100 e 180 m/s.
E	Terreni con caratteristiche e valori di velocità equivalente riconducibili a quelle definite per le categorie C o D, con profondità del substrato non superiore a 30 m.

**Tabella 202.** Tab. 3.2.II – Categorie di sottosuolo che permettono l'utilizzo dell'approccio semplificato

Categoria	Caratteristiche della superficie topografica
T1	Superficie pianeggiante, pendii e rilievi isolati con inclinazione media $i \leq 15^\circ$
T2	Pendii con inclinazione media $i > 15^\circ$
T3	Rilievi con larghezza in cresta molto minore che alla base e inclinazione media $15^\circ \leq i \leq 30^\circ$
T4	Rilievi con larghezza in cresta molto minore che alla base e inclinazione media $i > 30^\circ$

**Tabella 203.** Tab. 3.2. III – Categorie topografiche

### 1.14.3. Analisi sismica

#### 1.14.3.1. Determinazione del fattore di comportamento q

Si riportano in dettaglio le caratteristiche principali della struttura in esame, utili per il calcolo del fattore di comportamento q e dell'azione sismica.

Classe d'uso	Vita nominale	Coeff. Uso	Duttilità	Regolarità in pianta	Regolarità in altezza	Tipologia strutturale
II	50	1	B	si	si	Telaio c.a..

L'analisi strutturale per azioni sismiche utilizzata per la verifica è del tipo lineare (cap. 7.3.1 NTC 2018). Per sistemi non dissipativi (SLE), gli effetti delle azioni sono calcolati riferendosi ad uno spettro di progetto ottenuto assumendo un fattore di comportamento  $q=1$  per lo stato limite di operatività (SLO) (cap. 3.2.3.4 NTC 2018) e un fattore di comportamento  $q \leq 1.5$  per stato limite di danno (SLD) (cap. 3.2.3.5 NTC 2018). Per sistemi dissipativi (SLU), gli effetti delle azioni sono calcolati riferendosi ad uno spettro di progetto ottenuto assumendo un fattore di struttura  $q \geq 1.5$  (cap. 3.2.3.5 NTC 2018).

Il calcolo del fattore di comportamento per i sistemi dissipativi è stato eseguito seguendo quanto riportato al capitolo 7 delle NTC 2018 in funzione dei parametri generali della struttura in esame. Si riportano, in tabella, i valori del fattore di comportamento utili per la valutazione dell'azione sismica nelle tre direzioni:

$q_0$	$\alpha_u/\alpha_i$	$k_r$	$q_x$	$q_y$	$q_z$
$3^* \alpha_u/\alpha_i$	1.3	1	3.9	3.9	1.5

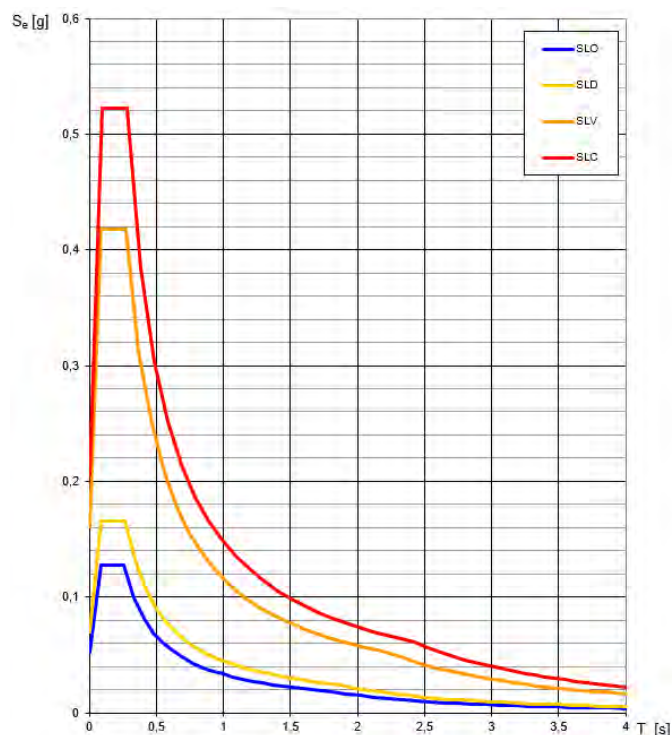
L'azione sismica viene definita in relazione ad un periodo di riferimento  $V_r$  che si ricava, per ciascun tipo di costruzione, moltiplicandone la vita nominale per il coefficiente d'uso. Fissato il periodo di riferimento  $V_r$  e la probabilità di superamento  $P_{ver}$  associata a ciascuno degli stati limite considerati, si ottiene il periodo di ritorno  $T_r$  e i relativi parametri di pericolosità sismica:

- $a_g$ : accelerazione orizzontale massima del terreno;
- $F_0$ : valore massimo del fattore di amplificazione dello spettro in accelerazione orizzontale;
- $T_c^*$ : periodo di inizio del tratto a velocità costante dello spettro in accelerazione orizzontale.

SLATO LIMITE	$T_R$ [anni]	$a_g$ [g]	$F_0$ [-]	$T_c^*$ [s]
SLO	30	0,052	2,453	0,260
SLD	50	0,069	2,391	0,269
SLV	475	0,161	2,595	0,277
SLC	975	0,206	2,540	0,283

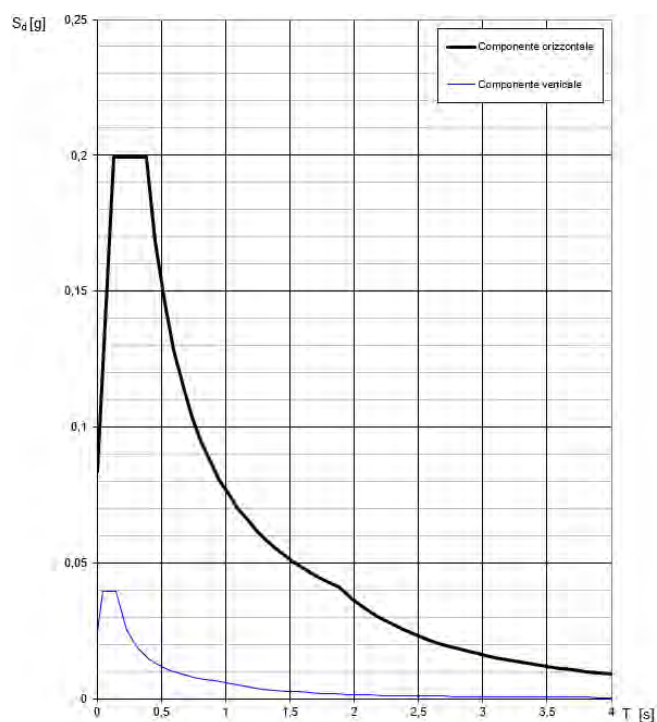
**Tabella 204.** Valori di  $a_g$ ,  $F_0$  e  $T_c^*$  in funzione dei vari stati limite

### 1.14.3.2. Spettri di risposta



**Figura 117.** Spettri di risposta elastici per i diversi stati limite

Con l'utilizzo del fattore di comportamento e dei parametri sismici dipendenti dal tipo di struttura in esame, precedentemente calcolati, si sono determinati gli spettri di calcolo agli stati limite SLV e SLD. Nel caso di utilizzo di isolatori sismici si farà riferimento allo spettro ad SLV per la sovrastruttura e ad SLC per gli isolatori. Tali spettri saranno opportunamente scalati in funzione dello smorzamento e del periodo scelto.



**Figura 118.** Spettri di risposta (componenti orizz.\_vert.) per lo SLV

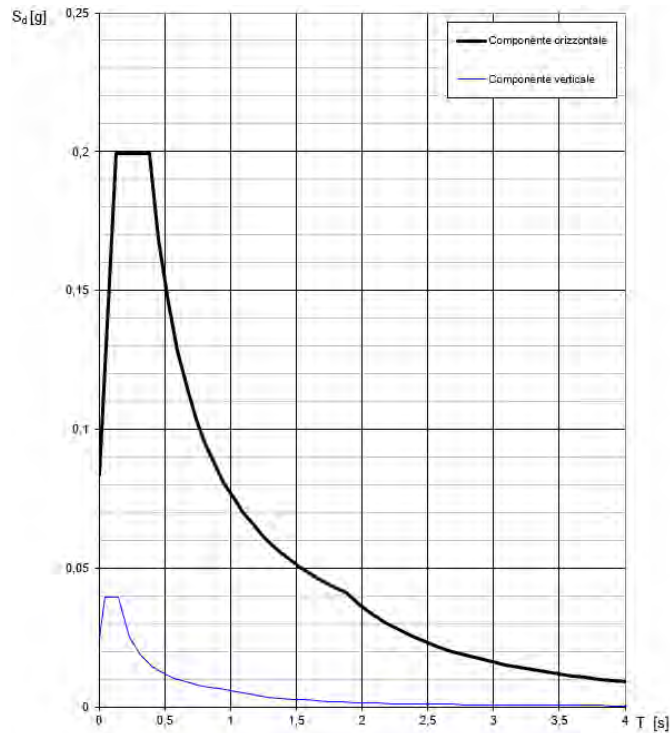


Figura 119. Spettri di risposta (componenti orizz.\_vert.) per lo SLD

#### 1.14.4. Carichi di progetto

##### 1.14.4.1. Carico della neve

Tale calcolo viene effettuato ai sensi di DM del 17 Gennaio 2018 "Norme tecniche per le costruzioni" e della Circolare Ministeriale Applicativa del 21 Gennaio 2019. Il carico neve sulle coperture è valutato con la seguente espressione:

$$q_s = \mu_i * q_{sk} * C_e *$$

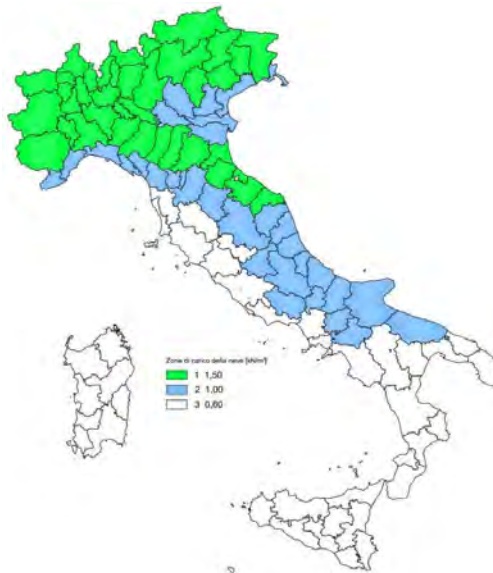
dove:

- $\mu_i$  è il coefficiente di forma della copertura;

Coefficiente di forma	$0^\circ \leq \alpha \leq 30^\circ$	$30^\circ < \alpha < 60^\circ$	$\alpha \geq 60^\circ$
$\mu_1$	0,8	$0,8 \cdot \frac{(60 - \alpha)}{30}$	0,0

Tabella 205. Tab. 3.4.II – Valori dei coefficienti di forma

- $q_{sk}$  è il valore di riferimento del carico neve al suolo e dipende dalla zona climatica e dall'altitudine di riferimento del sito  $a_s$ , se è maggiore o inferiore a 200 m;



**Figura 120.** Zone di carico della neve

- $C_e$  è il coefficiente di esposizione che viene utilizzato per modificare il carico neve in funzione delle caratteristiche dell'area in cui sorge l'opera;

Topografia	Descrizione	$C_e$
Battuta dai venti	Aree pianeggianti non ostruite esposte su tutti i lati, senza costruzioni o alberi più alti	0,9
Normale	Aree in cui non è presente una significativa rimozione di neve sulla costruzione prodotta dal vento, a causa del terreno, altre costruzioni o alberi	1,0
Riparata	Aree in cui la costruzione considerata è sensibilmente più bassa del circostante terreno o circondata da costruzioni o alberi più alti	1,1

**Tabella 206.** Tab. 3.4.I – Valori di  $C_z$  per diverse classi di esposizione

- $C_t$  è il coefficiente termico, generalmente assunto pari a 1;

Si assume che la neve non sia impedita di scivolare e si calcola il valore del carico neve in copertura:

Zona	$s$ (m)	$q_{sk}$ (daN/m <sup>2</sup> )	$\mu_i$	$C_e$	$C_t$	$q_s$ (daN/m <sup>2</sup> )
III	307	72	0,8	1	1	57

**Tabella 207.** Determinazione del carico da neve in copertura

#### 1.14.4.2. Carico del vento

La velocità base di riferimento del vento  $v_b$  è il valore medio su 10 minuti, a 10 m di altezza sul suolo su un terreno pianeggiante e omogeneo di categoria di esposizione II, riferito ad un periodo di ritorno  $T_r = 50$  anni, ed è pari a:

$$v_b = v_{b0} * c_a$$

dove:

- $v_{b0}$  è la velocità base di riferimento al livello del mare, assegnata nella Tab.3.3.I in funzione della zona in cui sorge la costruzione;



- $c_a$  è il coefficiente di altitudine fornito dalla relazione

$$c_a = 1 \quad \text{per } a_s \leq a_0$$

$$c_a = 1 + k_s * (a_s/a_0 - 1) \quad \text{per } a_0 < a_s \leq 1500 \text{ m}$$

dove:

- $a_0, k_s$  sono parametri forniti nella Tab.3.3.I in funzione della zona in cui sorge la costruzione;
- $a_s$  è l'altitudine sul livello del mare del sito ove sorge la costruzione.

Zona	Descrizione	$v_{b,0}$ [m/s]	$a_0$ [m]	$k_s$
1	Valle d'Aosta, Piemonte, Lombardia, Trentino Alto Adige, Veneto, Friuli Venezia Giulia (con l'eccezione della provincia di Trieste)	25	1000	0,40
2	Emilia Romagna	25	750	0,45
3	Toscana, Marche, Umbria, Lazio, Abruzzo, Molise, Puglia, Campania, Basilicata, Calabria (esclusa la provincia di Reggio Calabria)	27	500	0,37
4	Sicilia e provincia di Reggio Calabria	28	500	0,36
5	Sardegna (zona a oriente della retta congiungente Capo Teulada con l'Isola di Maddalena)	28	750	0,40
6	Sardegna (zona a occidente della retta congiungente Capo Teulada con l'Isola di Maddalena)	28	500	0,36
7	Liguria	28	1000	0,54
8	Provincia di Trieste	30	1500	0,50
9	Isole (con l'eccezione di Sicilia e Sardegna) e mare aperto	31	500	0,32



**Figura 121.** Valori dei parametri  $v_{b0}, a_0, k_s$

**Figura 122.** Mappa delle zone in cui è suddiviso il territorio italiano

La velocità di riferimento  $v_r$  è il valore medio su 10 minuti, a 10 m di altezza dal suolo su un terreno pianeggiante e omogeneo di categoria di esposizione II, riferito al periodo di ritorno di progetto  $T_r$ .

$$v_r = v_b * c_r$$

- $v_b$  è la velocità base di riferimento al livello del mare, assegnata
- $c_r$  è il coefficiente di ritorno, funzione del periodo di ritorno di progetto  $T_r$  fornito dalla relazione

$$c_r = 0.75 * \sqrt{1 - 0.2 * \ln[-\ln * (1 - 1/T_r)]}$$

Quindi:

$v_{b0}$ (m/s)	$a_s$	$c_a$	$v_b$	$T_r$	$c_r$	$v_r$ (m/s)
27	307	1	27	50	1,0007	27.02

La pressione del vento è data dall'espressione:

$$p = q_r * c_e * c_p * c_d$$

dove:

- $q_r$  è la pressione cinetica di riferimento data dall'espressione

$$q_r = \frac{1}{2} * \rho * v_r^2 \quad \text{in cui } \rho \text{ è la densità dell'aria pari a } 1.25 \text{ kg/m}^3$$

•  $c_e$  è il coefficiente di esposizione che dipende dall'altezza  $z$  sul suolo del punto considerato, dalla topografia del terreno e dalla categoria di esposizione del sito ove sorge la costruzione. Per altezze sul suolo non maggiori di 200 m è dato dalla formula:

$$c_e(z) = k_r^2 * c_t * \ln(z/z_0) * [7 + c_t * \ln(z/z_0)] \quad \text{per } z \geq z_{min}$$

$$c_e(z) = c_e(z_{min}) \quad \text{per } z < z_{min}$$

dove:

- $k_r$ ,  $z_0$ ,  $z_{min}$  sono assegnati in Tab.3.3.II in funzione della categoria di esposizione del sito.
- $c_t$  è il coefficiente di topografia, posto generalmente uguale a 1.

Categoria di esposizione del sito	$K_r$	$z_0$ [m]	$z_{min}$ [m]
I	0,17	0,01	2
II	0,19	0,05	4
III	0,20	0,10	5
IV	0,22	0,30	8
V	0,23	0,70	12

**Tabella 208.** Parametri per la definizione del coefficiente di esposizione

Classe di rugosità del terreno	Descrizione
A	Aree urbane in cui almeno il 15% della superficie sia coperto da edifici la cui altezza media non superi i 15 m
B	Aree urbane (non di classe A), suburbane, industriali e boschive
C	Aree con ostacoli diffusi (alberi, case, muri, recinzioni...); aree con rugosità non riconducibile alle classi A, B, e D
D	a) Mare e relativa fascia costiera (entro 2 km dalla costa); b) Lago (con larghezza massima pari ad almeno 1 km) e relativa fascia costiera (entro 1 km dalla costa); c) Aree prive di ostacoli o con al più rari ostacoli isolati (aperta campagna, aeroporti, aree agricole, pascoli, zone paludose o sabbiose, superfici innevate o ghiacciate, ...)

**Tabella 209.** Classi di rugosità del terreno

ZONE 1,2,3,4,5						
	costa	mare	2 km	10 km	30 km	750m
A	--	IV	IV	V	V	V
B	--	III	III	IV	IV	IV
C	--	*	III	III	IV	IV
D	I	II	II	II	III	**
* Categoria II in zona 1,2,3,4 Categoria III in zona 5						
** Categoria III in zona 2,3,4,5 Categoria IV in zona 1						

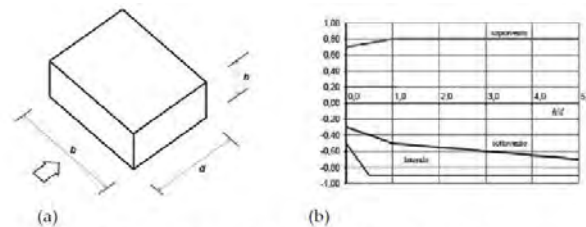
**Tabella 210.** Definizione delle categorie di esposizione

$q_r$	Rugosità	Esposizione	$c_e(z)$	$c_e(z_{min})$
456	B	III	2,674	1,708

**Tabella 211.** Definizione dei coefficienti di esposizione

•  $c_p$  è il coefficiente di pressione e dipende dalla tipologia, dalla geometria della costruzione e dal suo orientamento rispetto alla direzione del vento. Il coefficiente globale  $c_{pe}$  che può essere

utilizzato in tutti i casi in cui la rappresentazione delle azioni aereodinamiche del vento possa essere effettuata in maniera semplificata, rivolta alla valutazione delle azioni globali su porzioni estese di costruzioni o delle risultanti delle azioni indotte dal vento sugli elementi principali della struttura. I coefficienti  $c_{pe}$  da assumere sulle pareti dell'edificio a pianta rettangolare sono diagrammati in base al rapporto  $h/d$ , avendo indicato con  $h$  l'altezza del manufatto e con  $d$  la profondità dell'edificio, valutata parallelamente al flusso di lavoro:



a) Parametri caratteristici di edifici a pianta rettangolare,  
b) Edifici a pianta rettangolare:  $c_{pe}$  per facce sopravvento, sottovento e laterali  
**Figura C3.3.2**

**Tabella C3.3.I:** Edifici a pianta rettangolare:  $c_{pe}$  per facce sopravvento, sottovento e laterali

Faccia sopravvento	$C_U = 2,0$	$C_U = 1,5$
$h/d \leq 1$ : $c_{pe} = 0,7 + 0,1 \cdot h/d$	$h/d \leq 0,5$ : $c_{pe} = -0,5 - 0,8 \cdot h/d$	$h/d \leq 1$ : $c_{pe} = -0,3 - 0,2 \cdot h/d$
$h/d > 1$ : $c_{pe} = 0,8$	$h/d > 0,5$ : $c_{pe} = -0,9$	$1 < h/d \leq 5$ : $c_{pe} = -0,5 - 0,05 \cdot (h/d - 1)$

**Tabella 212.** Coefficienti di pressione delle facciate secondo NTC2018

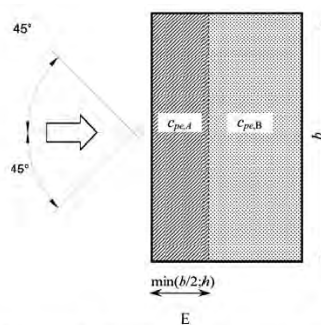
Quindi i coefficienti per le facce sopravvento e sottovento sono:

b	d	h	h/d	$C_{pe}$ -sopravvento	$C_{pe}$ -sottovento
62	21	22	1.05	0.80	-0,50

**Tabella 213.** Definizione dei coefficienti di pressione

## COPERTURA PIANA

Per la copertura piana, l'altezza di riferimento  $z_e$  è pari alla quota massima della copertura stessa, inclusa la presenza dei parapetti e di altri analoghi elementi. I coefficienti globali  $c_{pe}$  da assumere sulle coperture di un edificio a pianta rettangolare sono riportati di seguito:



**Figura C3.3.5 -** Schema di riferimento per coperture piane

**Tabella C3.3.III -** Edifici rettangolari:  $c_{pe}$  per coperture piane.

Fascia sopravvento di profondità pari al minimo tra $b/2$ e $h$ :	$C_{pe,A} = -0,80$
Restanti zone	$C_{pe,B} = \pm 0,20$

**Tabella 214.** Definizione  $c_{pe}$  per coperture piano

Le pressioni interne agli edifici dipendono dalla superficie delle aperture che questi presentano verso l'esterno. Nel caso in esame si assumono valori del coefficiente di pressione interno pari a  $c_{pi} = +0,2$  e  $c_{pi} = -0,30$ , considerando il caso che di volta in volta conduce alla situazione maggiormente gravosa.

- $c_d$  è il coefficiente dinamico e può essere assunto cautelativamente pari a 1 nelle costruzioni di tipologia ricorrente quali gli edifici di forma regolare non eccedenti 80 m in altezza e capannoni industriali.

In funzione dei coefficienti analizzati e della pressione cinetica di riferimento, si calcola la pressione del vento per la copertura e per le facciate sopravento e sottovento considerando i valori massimi e minimi.

<b>Facciata</b>	<b>Sopravento</b>	<b>Sottovento</b>
$p_{min}$ (daN/m <sup>2</sup> )	467	-625
$p_{max}$ (daN/m <sup>2</sup> )	732	-979
<b>Copertura</b>	<b>Sopravento</b>	<b>Sottovento</b>
$p$ (daN/m <sup>2</sup> )	-1342	-610

#### **1.14.5. Interventi per il miglioramento sismico – edifici in cemento armato**

Gli interventi previsti per la riduzione del rischio sismico si dividono in:

- interventi che consentono il passaggio di una sola Classe di Rischio;
- interventi che possono consentire il passaggio fino a due Classi di Rischio.
- interventi che possono consentire il miglioramento di almeno due Classi di Rischio o l'adeguamento sismico.

La prima tipologia di interventi considerati è quella contenuta nelle “Linee guida per la classificazione del rischio sismico delle costruzioni” (D.M. 65/2017-allegato A). Per gli edifici in cemento armato, se la struttura è stata originariamente concepita con la presenza di telai in entrambe le direzioni, è prevista la possibilità di ritenere valido il passaggio alla Classe di Rischio immediatamente superiore se vengono effettuati gli interventi seguenti:

- incamiciatura dei pilastri e dei nodi pilastro-trave per tutte le pilastrate e le travi disposte lungo il perimetro dell'edificio;
- opere volte a scongiurare il ribaltamento delle tamponature, compiute su tutte le tamponature perimetrali presenti sulle facciate;
- eventuali opere di ripristino delle zone danneggiate e/o degradate.

La seconda tipologia di interventi considerati riguarda l'utilizzo di:

- isolamento sismico in fondazione.

Questa tipologia di interventi, viene presa in considerazione nel caso in cui le lavorazioni vengono eseguite senza dover in alcun modo evacuare gli inquilini dell'edificio, quindi quando per esempio:

- è presente un piano interrato dove sono presenti garage;
- è presente un piano terra dove sono presenti negozi;
- è presente un piano pilotis dove sono presenti cantine.

Nel caso si adotti l'intervento di isolamento sismico in fondazione bisogna fare una differenza in funzione della presenza o meno di un piano interrato.

Nel caso in cui **fosse presente il piano interrato** (adibito a garage o cantine), l'intervento di isolamento sismico alla base prevede di tagliare il pilastro del piano interrato all'altezza delle travi del piano terra inserendo l'isolatore sismico opportunamente dimensionato e ringrossando ove necessario il nodo trave pilastro. Risulta inoltre indispensabile creare una trincea perimetrale esterna che consenta all'edificio gli spostamenti generati dall'azione sismica.

Nel caso in cui **non fosse presente un piano interrato**, ma ad esempio un piano pilotis con cantine, l'intervento prevede di creare un piano di scorrimento che può essere realizzato in funzione delle opportunità e delle esigenze o all'attacco tra fondazione e pilastri oppure direttamente sopra la soletta del piano terra. Il piano di scorrimento viene creato attraverso un reticolo di travi in acciaio collegate ad ogni pilastro sopra le quali viene posata una lamiera grecata con successivo



getto di soletta armata con rete. La soluzione ad unico piano di scorrimento anche per edifici estesi con giunti sismici risulta essere ampiamente perseguibile.

Sotto ogni pilastro e sotto il piano di scorrimento viene predisposto un opportuno isolatore sismico (ad esempio friction pendulum). Anche in questo caso come nel precedente risulta indispensabile creare una trincea perimetrale che possa garantire gli spostamenti attesi dovuti all'azione sismica.

In tutti i casi citati, si tratta di interventi la cui progettazione richiede informazioni dettagliate sulla geometria e sulle caratteristiche meccaniche degli elementi resistenti allo stato attuale e la cui efficacia può essere valutata solo con analisi strutturali condotte per mezzo di adeguati modelli di calcolo. In questa fase ci si limiterà, pertanto, ad una descrizione sommaria degli interventi e ad una valutazione di massima del costo.

La terza tipologia di interventi considerati riguarda l'utilizzo di:

- cappotto sismico applicato alle pareti esterne dell'edificio.

Questa tipologia di interventi, viene presa in considerazione nel caso in cui le lavorazioni vengono eseguite senza dover in alcun modo evacuare gli inquilini dell'edificio, e quando la struttura risulta regolare in pianta e in altezza. Per gli edifici in cemento armato, nel caso di struttura a telai in entrambe le direzioni, è prevista la possibilità di ritenere valido il passaggio di più Classi di Rischio con la possibilità di raggiungere l'adeguamento sismico a seconda della tipologia di struttura.

#### **1.14.5.1. Sintesi degli interventi previsti**

##### **ISOLATORI SISMICI**

---

L'isolamento sismico alla base di un edificio comporta una notevole riduzione della azione sismica, tale da annullare la necessità di procedere ad opere di rinforzo della struttura.

La funzione principale svolta dall'isolatore sismico è quella di consentire il disaccoppiamento della sovrastruttura dalla fondazione. Ne consegue la riduzione delle accelerazioni trasmesse alla sovrastruttura, che si comporta come un corpo rigido al di sopra degli isolatori.

Gli effetti sono:

- incremento del periodo proprio di oscillazione della struttura, che si allontana dal periodo dominante dei terremoti;
- sensibile riduzione delle forze di progetto da applicare alla sovrastruttura.

L'operazione richiede il taglio dei pilastri nella zona di collegamento con la fondazione. Durante tale operazione, occorre trasferire il carico dalla zona sovrastante a quella sottostante la sezione di taglio.

Lo schema statico della sovrastruttura è alterato poiché si inserisce una cerniera nel pilastro e quindi occorre apportare opportuni rinforzi locali in modo che la struttura modificata sia in grado di resistere alle sollecitazioni.

L'isolamento sismico comporta limitate interferenze con l'esistente:

- gli interventi sono eseguiti solo al livello del piano di isolamento;
- l'utilizzo del fabbricato e delle attività che vi si svolgono non sono interrotti, se non per periodi limitati.

Come per la tipologia di interventi riportati ai paragrafi precedenti, l'efficacia degli interventi da eseguire per l'isolamento sismico può essere valutata solo con analisi strutturale condotta con idonei programmi di calcolo, mediante modellazione della struttura agli elementi finiti, previo rilievo dettagliato della geometria strutturale e caratterizzazione meccanica dei materiali costituenti gli elementi resistenti attuali da eseguire sulla base di una campagna di indagini in sito e prove di laboratorio.

#### **1.14.6. Conclusioni**

Per quanto concerne gli aspetti prettamente strutturali, l'intervento di miglioramento sismico adottato per la tipologia oggetto della presente relazione, prevede l'utilizzo di appositi isolatori sismici alla base opportunamente dimensionati per garantire un comportamento disaccoppiato della struttura e per garantire una centratura tra il centro di massa e centro di rigidità. Nel miglioramento sismico con isolatori, si è garantito che la sovrastruttura e sottostruttura sia mantenuta in campo elastico. Si è scelto quindi di utilizzare questo tipo di intervento in quanto, dai sopralluoghi effettuati, si è riscontrato che le attività per garantire un isolamento sismico alla base dell'edificio non vanno ad interferire in alcun modo né in termini di organizzazione né di sicurezza con il regolare esercizio della struttura.

Gli interventi strutturali previsti sono mirati al miglioramento sismico attraverso l'incremento di 2 classe di rischio, ovvero al miglioramento del rischio della costruzione con incidenza sul valore PAM e sulla capacità che la struttura possiede rispetto allo stato limite della salvaguardia sulla vita. Tale valore è stato valutato come rapporto tra PGAA (SLV) anteoperam e la PGAp (SLV) postoperam, determinata attraverso il metodo convenzionale nel rispetto della normativa vigente (NTC 2018) e della circolare ministeriale applicativa del 21 gennaio 2019.

## **1.15. Tipologia VE15**

### **1.15.1. Individuazione dei siti in esame**

Di seguito si riporta una tabella che riassume i parametri generali del sito in esame, con gli identificativi e le coordinate dei punti che includono gli edifici.

Provincia	Comune	Tipologia	Via	Latitudine	Longitudine
Roma	Velletri	VE15	Via G. Pastore 18-20-22-24	41.4126°	12.4719°

**Tabella 215.** Parametri generali del sito in esame



**Figura 123.** Individuazione del sito in esame (immagine da google earth)

### **1.15.2. Determinazione della categoria di sottosuolo**

Per la determinazione della categoria di sottosuolo, in assenza di indagini geologiche specifiche per ogni intervento da realizzare, è possibile stimare in via preliminare e con le approssimazioni del caso, la velocità delle onde VS facendo specifico riferimento agli abachi regionali di microzonazione sismica ai sensi della DGR Lazio n. 545 del 26 novembre 2010, forniti sul portale della Regione Lazio. Nello specifico andando ad individuare la carta delle microzone omogenee in prospettiva sismica per il comune di interesse, è possibile risalire alla tipologia del sottosuolo e relativo spessore. Dalla carta riportata in figura 2, si evidenzia che il sito oggetto del presente studio ricade all'interno delle zone stabili suscettibili di amplificazione sismica (Zona 1) che sono caratterizzate dalla



presenza depositi piroclastici. In funzione di questo, entrando in via approssimativa nell'abaco (Vs/h) riportato in figura 2, relativo alle ghiaie alluvionali, detritiche e sabbie di alterazione, si determina il valore di Vs che viene utilizzato per la stima approssimata della categoria di sottosuolo entrando nella tabella 3.2.II del D.M. 17 Gennaio 2018.

<b>GHIAIE ALLUVIONALI</b> <b>GHIAIE DETRITICHE</b> <b>SABBIE DI ALTERAZIONE DA ARENARIE</b> <b>SABBIE DI ALTERAZIONE DA TRAVERTINI</b> <b>SABBIE DI ALTERAZIONI DA TUFI VULCANICI</b>										
FH <sub>0,1-0,5</sub>		Velocità media V <sub>SH</sub> (m/s)								
Profondità dal pc H (m)		180	250	300	360	400	450	500	600	700
	5	1.3	1.2	1.1	1.1	1.1	1.1	1.0	1.0	1.0
	10			1.4	1.4	1.2	1.2	1.1	1.1	1.0
	15			1.6	1.5	1.3	1.3	1.2	1.1	1.1
	20			1.7	1.6	1.4	1.3	1.2	1.1	1.1
	25			1.6	1.5	1.5	1.4	1.3	1.2	1.1
	30			1.5	1.5	1.5	1.4	1.3	1.2	1.1
	35				1.4	1.4	1.3	1.3	1.2	1.1
	40					1.4	1.3	1.3	1.2	1.1
	45						1.3	1.2	1.2	1.1

GRADIENTE DI VELOCITA' PER VALIDITA' ABACO

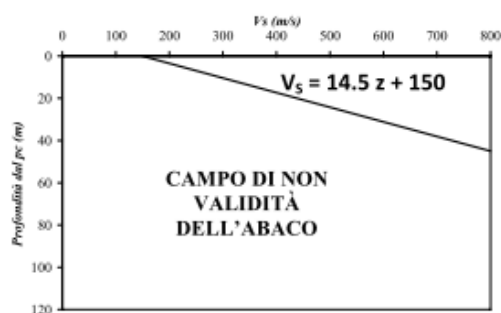


Tabella 216. Abaco per le ghiaie alluvionali, detritiche e sabbie di alterazione

Nello specifico facendo riferimento all'andamento della velocità Vs con la profondità z dello strato dal piano campagna, si ottiene un valore delle velocità Vs pari a:

$$V_s = 14.5 * z + 150 = 512 \text{ m/s}$$

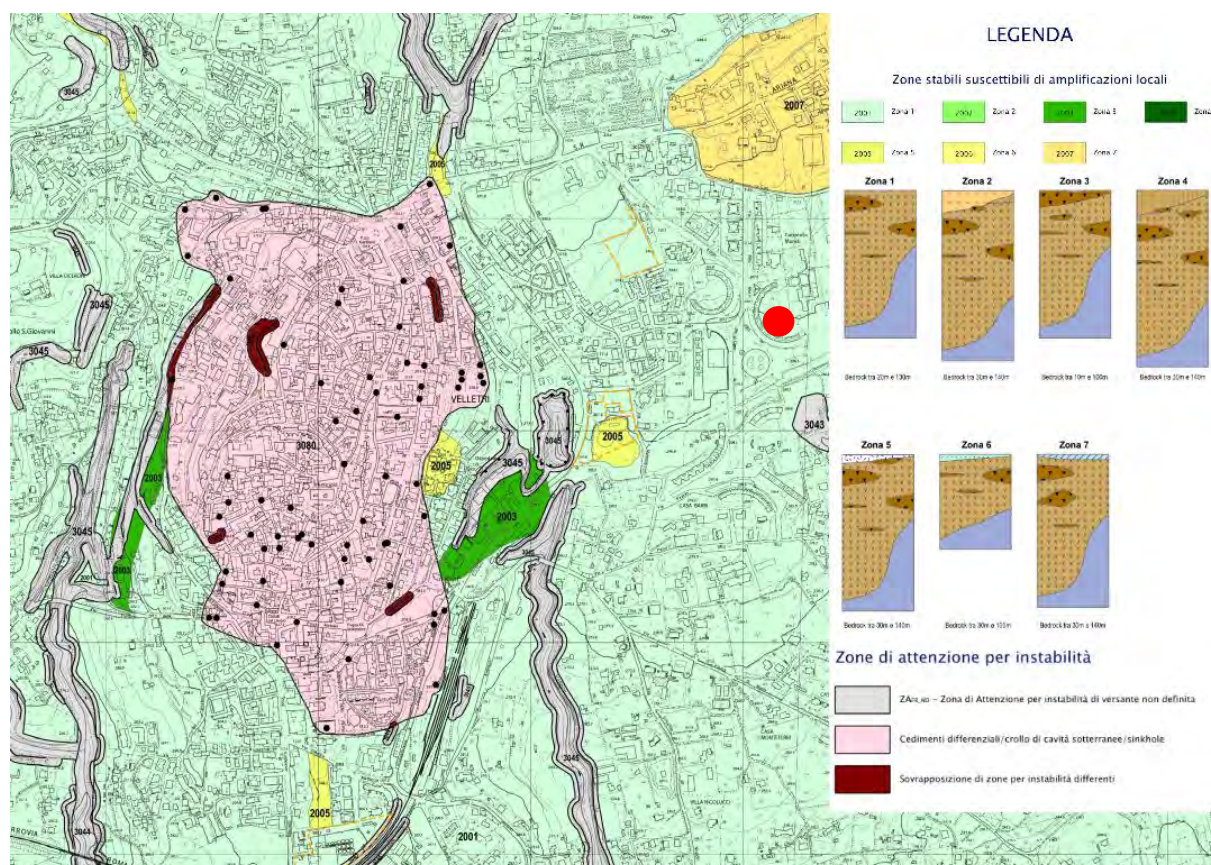


Figura 124. Zona omogenea in prospettiva sismica

In relazione alle formulazioni sopra riportate avendo ottenuto un valore delle Vs pari a 512 m/s ed entrando nella tabella 3 sotto riportata si ottiene una categoria di sottosuolo B “*Depositi di terreni a grana grossa molto addensati o terreni a grana fina molto consistenti*”.

Per le condizioni topografiche che nel caso specifico si configurano in superficiali semplici si può adottare la classificazione riportata nella tabella 4 e nello specifico si ricade nella categoria T1.

Categoria	Descrizione
A	Ammassi rocciosi affioranti o terreni molto rigidi caratterizzati da valori di velocità delle onde di taglio superiori a 800 m/s, eventualmente comprendenti in superficie terreni di caratteristiche meccaniche più scadenti con spessore massimo pari a 3 m.
B	Rocce tenere e depositi di terreni a grana grossa molto addensati o terreni a grana fina molto consistenti, caratterizzati da un miglioramento delle proprietà meccaniche con la profondità e da valori di velocità equivalente compresi tra 360 m/s e 800 m/s.
C	Depositi di terreni a grana grossa mediamente addensati o terreni a grana fina mediamente consistenti con profondità del substrato superiori a 30 m, caratterizzati da un miglioramento delle proprietà meccaniche con la profondità e da valori di velocità equivalente compresi tra 180 m/s e 360 m/s.
D	Depositi di terreni a grana grossa scarsamente addensati o di terreni a grana fina scarsamente consistenti, con profondità del substrato superiori a 30 m, caratterizzati da un miglioramento delle proprietà meccaniche con la profondità e da valori di velocità equivalente compresi tra 100 e 180 m/s.
E	Terreni con caratteristiche e valori di velocità equivalente riconducibili a quelle definite per le categorie C o D, con profondità del substrato non superiore a 30 m.

**Tabella 217.** Tab. 3.2.II – Categorie di sottosuolo che permettono l'utilizzo dell'approccio semplificato

Categoria	Caratteristiche della superficie topografica
T1	Superficie pianeggiante, pendii e rilievi isolati con inclinazione media $i \leq 15^\circ$
T2	Pendii con inclinazione media $i > 15^\circ$
T3	Rilievi con larghezza in cresta molto minore che alla base e inclinazione media $15^\circ \leq i \leq 30^\circ$
T4	Rilievi con larghezza in cresta molto minore che alla base e inclinazione media $i > 30^\circ$

**Tabella 218.** Tab. 3.2. III – Categorie topografiche

### 1.15.3. Analisi sismica

#### 1.15.3.1. Determinazione del fattore di comportamento q

Si riportano in dettaglio le caratteristiche principali della struttura in esame, utili per il calcolo del fattore di comportamento q e dell'azione sismica.

Classe d'uso	Vita nominale	Coeff. Uso	Duttilità	Regolarità in pianta	Regolarità in altezza	Tipologia strutturale
II	50	1	B	si	si	Telaio c.a..

L'analisi strutturale per azioni sismiche utilizzata per la verifica è del tipo lineare (cap. 7.3.1 NTC 2018). Per sistemi non dissipativi (SLE), gli effetti delle azioni sono calcolati riferendosi ad uno spettro di progetto ottenuto assumendo un fattore di comportamento  $q=1$  per lo stato limite di operatività (SLO) (cap. 3.2.3.4 NTC 2018) e un fattore di comportamento  $q \leq 1.5$  per stato limite di danno (SLD) (cap. 3.2.3.5 NTC 2018). Per sistemi dissipativi (SLU), gli effetti delle azioni sono calcolati riferendosi ad uno spettro di progetto ottenuto assumendo un fattore di struttura  $q \geq 1.5$  (cap. 3.2.3.5 NTC 2018).



Il calcolo del fattore di comportamento per i sistemi dissipativi è stato eseguito seguendo quanto riportato al capitolo 7 delle NTC 2018 in funzione dei parametri generali della struttura in esame. Si riportano, in tabella, i valori del fattore di comportamento utili per la valutazione dell'azione sismica nelle tre direzioni:

$q_0$	$\alpha_u/\alpha_i$	$k_r$	$q_x$	$q_y$	$q_z$
$3^* \alpha_u/\alpha_i$	1.3	1	3.9	3.9	1.5

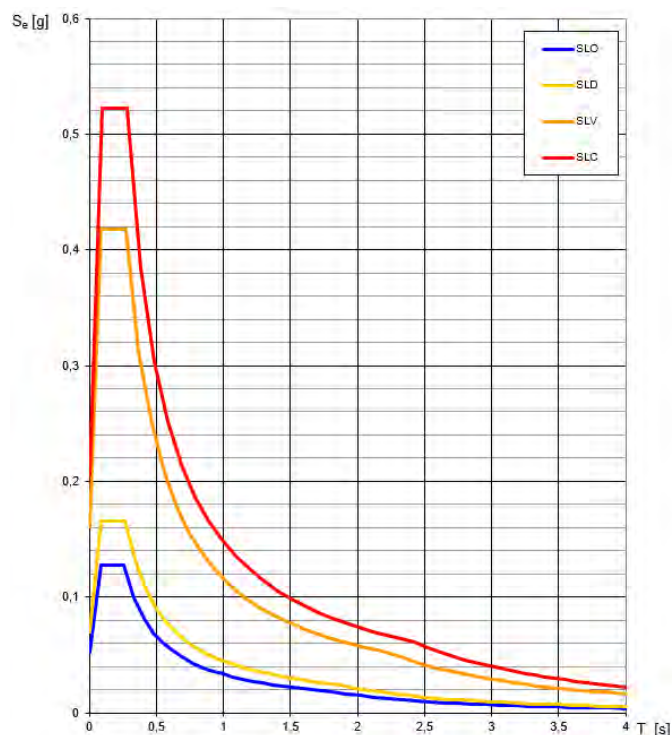
L'azione sismica viene definita in relazione ad un periodo di riferimento  $V_r$  che si ricava, per ciascun tipo di costruzione, moltiplicandone la vita nominale per il coefficiente d'uso. Fissato il periodo di riferimento  $V_r$  e la probabilità di superamento  $P_{ver}$  associata a ciascuno degli stati limite considerati, si ottiene il periodo di ritorno  $T_r$  e i relativi parametri di pericolosità sismica:

- $a_g$ : accelerazione orizzontale massima del terreno;
- $F_0$ : valore massimo del fattore di amplificazione dello spettro in accelerazione orizzontale;
- $T_c^*$ : periodo di inizio del tratto a velocità costante dello spettro in accelerazione orizzontale.

SLATO LIMITE	$T_R$ [anni]	$a_g$ [g]	$F_0$ [-]	$T_c^*$ [s]
SLO	30	0,052	2,453	0,260
SLD	50	0,069	2,391	0,269
SLV	475	0,161	2,595	0,277
SLC	975	0,206	2,540	0,283

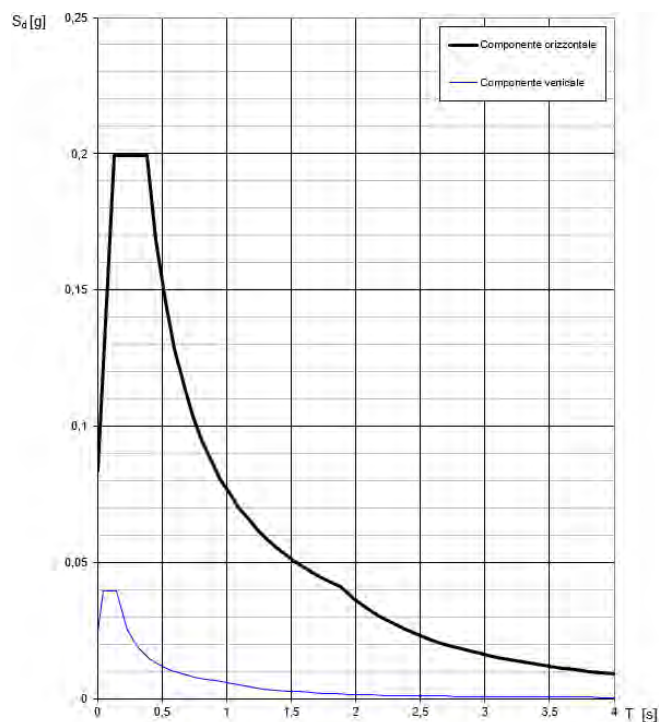
**Tabella 219.** Valori di  $a_g$ ,  $F_0$  e  $T_c^*$  in funzione dei vari stati limite

### 1.15.3.2. Spettri di risposta



**Figura 125.** Spettri di risposta elastici per i diversi stati limite

Con l'utilizzo del fattore di comportamento e dei parametri sismici dipendenti dal tipo di struttura in esame, precedentemente calcolati, si sono determinati gli spettri di calcolo agli stati limite SLV e SLD. Nel caso di utilizzo di isolatori sismici si farà riferimento allo spettro ad SLV per la sovrastruttura e ad SLC per gli isolatori. Tali spettri saranno opportunamente scalati in funzione dello smorzamento e del periodo scelto.



**Figura 126.** Spettri di risposta (componenti orizz.\_vert.) per lo SLV

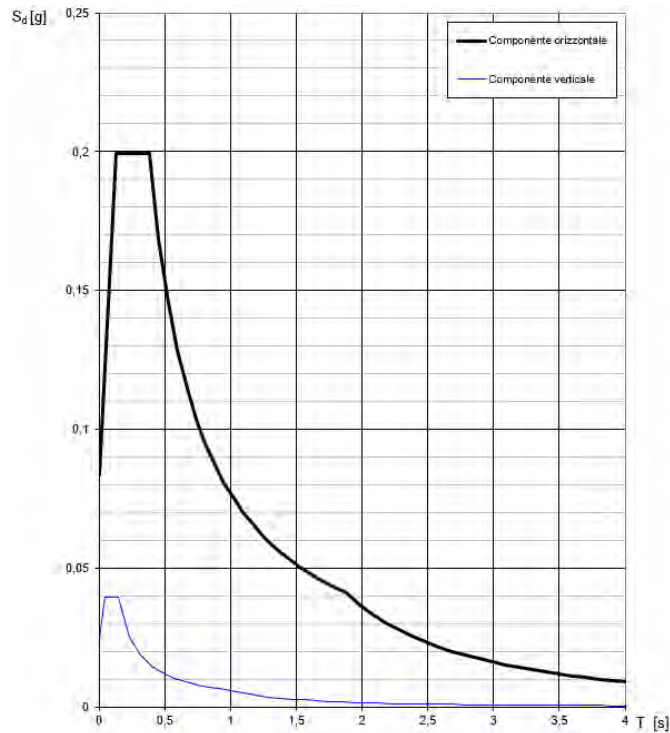


Figura 127. Spettri di risposta (componenti orizz.\_vert.) per lo SLD

#### 1.15.4. Carichi di progetto

##### 1.15.4.1. Carico della neve

Tale calcolo viene effettuato ai sensi di DM del 17 Gennaio 2018 "Norme tecniche per le costruzioni" e della Circolare Ministeriale Applicativa del 21 Gennaio 2019. Il carico neve sulle coperture è valutato con la seguente espressione:

$$q_s = \mu_i * q_{sk} * C_e *$$

dove:

- $\mu_i$  è il coefficiente di forma della copertura;

Coefficiente di forma	$0^\circ \leq \alpha \leq 30^\circ$	$30^\circ < \alpha < 60^\circ$	$\alpha \geq 60^\circ$
$\mu_1$	0,8	$0,8 \cdot \frac{(60 - \alpha)}{30}$	0,0

Tabella 220. Tab. 3.4.II – Valori dei coefficienti di forma

- $q_{sk}$  è il valore di riferimento del carico neve al suolo e dipende dalla zona climatica e dall'altitudine di riferimento del sito  $a_s$ , se è maggiore o inferiore a 200 m;



Figura 128. Zone di carico della neve

- $C_e$  è il coefficiente di esposizione che viene utilizzato per modificare il carico neve in funzione delle caratteristiche dell'area in cui sorge l'opera;

Topografia	Descrizione	$C_e$
Battuta dai venti	Aree pianeggianti non ostruite esposte su tutti i lati, senza costruzioni o alberi più alti	0,9
Normale	Aree in cui non è presente una significativa rimozione di neve sulla costruzione prodotta dal vento, a causa del terreno, altre costruzioni o alberi	1,0
Riparata	Aree in cui la costruzione considerata è sensibilmente più bassa del circostante terreno o circondata da costruzioni o alberi più alti	1,1

Tabella 221. Tab. 3.4.I – Valori di  $C_z$  per diverse classi di esposizione

- $C_t$  è il coefficiente termico, generalmente assunto pari a 1;

Si assume che la neve non sia impedita di scivolare e si calcola il valore del carico neve in copertura:

Zona	$s$ (m)	$q_{sk}$ (daN/m <sup>2</sup> )	$\mu_i$	$C_e$	$C_t$	$q_s$ (daN/m <sup>2</sup> )
III	305	72	0,8	1	1	57

Tabella 222. Determinazione del carico da neve in copertura

#### 1.15.4.2. Carico del vento

La velocità base di riferimento del vento  $v_b$  è il valore medio su 10 minuti, a 10 m di altezza sul suolo su un terreno pianeggiante e omogeneo di categoria di esposizione II, riferito ad un periodo di ritorno  $T_r = 50$  anni, ed è pari a:

$$v_b = v_{b0} * c_a$$

dove:

- $v_{b0}$  è la velocità base di riferimento al livello del mare, assegnata nella Tab.3.3.I in funzione della zona in cui sorge la costruzione;

- $c_a$  è il coefficiente di altitudine fornito dalla relazione

$$c_a = 1 \quad \text{per } a_s \leq a_0$$

$$c_a = 1 + k_s * (a_s/a_0 - 1) \quad \text{per } a_0 < a_s \leq 1500 \text{ m}$$

dove:

- $a_0, k_s$  sono parametri forniti nella Tab.3.3.I in funzione della zona in cui sorge la costruzione;
- $a_s$  è l'altitudine sul livello del mare del sito ove sorge la costruzione.

Zona	Descrizione	$v_{b,0}$ [m/s]	$a_0$ [m]	$k_s$
1	Valle d'Aosta, Piemonte, Lombardia, Trentino Alto Adige, Veneto, Friuli Venezia Giulia (con l'eccezione della provincia di Trieste)	25	1000	0,40
2	Emilia Romagna	25	750	0,45
3	Toscana, Marche, Umbria, Lazio, Abruzzo, Molise, Puglia, Campania, Basilicata, Calabria (esclusa la provincia di Reggio Calabria)	27	500	0,37
4	Sicilia e provincia di Reggio Calabria	28	500	0,36
5	Sardegna (zona a oriente della retta congiungente Capo Teulada con l'Isola di Maddalena)	28	750	0,40
6	Sardegna (zona a occidente della retta congiungente Capo Teulada con l'Isola di Maddalena)	28	500	0,36
7	Liguria	28	1000	0,54
8	Provincia di Trieste	30	1500	0,50
9	Isole (con l'eccezione di Sicilia e Sardegna) e mare aperto	31	500	0,32



**Figura 129.** Valori dei parametri  $v_{b0}, a_0, k_s$

**Figura 130.** Mappa delle zone in cui è suddiviso il territorio italiano

La velocità di riferimento  $v_r$  è il valore medio su 10 minuti, a 10 m di altezza dal suolo su un terreno pianeggiante e omogeneo di categoria di esposizione II, riferito al periodo di ritorno di progetto  $T_r$ .

$$v_r = v_b * c_r$$

- $v_b$  è la velocità base di riferimento al livello del mare, assegnata
- $c_r$  è il coefficiente di ritorno, funzione del periodo di ritorno di progetto  $T_r$  fornito dalla relazione

$$c_r = 0.75 * \sqrt{1 - 0.2 * \ln[-\ln * (1 - 1/T_r)]}$$

Quindi:

$v_{b0}$ (m/s)	$a_s$	$c_a$	$v_b$	$T_r$	$c_r$	$v_r$ (m/s)
27	305	1	27	50	1,0007	27.02

La pressione del vento è data dall'espressione:

$$p = q_r * c_e * c_p * c_d$$

dove:

- $q_r$  è la pressione cinetica di riferimento data dall'espressione

$$q_r = \frac{1}{2} * \rho * v_r^2 \quad \text{in cui } \rho \text{ è la densità dell'aria pari a } 1.25 \text{ kg/m}^3$$



•  $c_e$  è il coefficiente di esposizione che dipende dall'altezza  $z$  sul suolo del punto considerato, dalla topografia del terreno e dalla categoria di esposizione del sito ove sorge la costruzione. Per altezze sul suolo non maggiori di 200 m è dato dalla formula:

$$c_e(z) = k_r^2 * c_t * \ln(z/z_0) * [7 + c_t * \ln(z/z_0)] \quad \text{per } z \geq z_{min}$$

$$c_e(z) = c_e(z_{min}) \quad \text{per } z < z_{min}$$

dove:

- $k_r$ ,  $z_0$ ,  $z_{min}$  sono assegnati in Tab.3.3.II in funzione della categoria di esposizione del sito.
- $c_t$  è il coefficiente di topografia, posto generalmente uguale a 1.

Categoria di esposizione del sito	$K_r$	$z_0$ [m]	$z_{min}$ [m]
I	0,17	0,01	2
II	0,19	0,05	4
III	0,20	0,10	5
IV	0,22	0,30	8
V	0,23	0,70	12

**Tabella 223.** Parametri per la definizione del coefficiente di esposizione

Classe di rugosità del terreno	Descrizione
A	Aree urbane in cui almeno il 15% della superficie sia coperto da edifici la cui altezza media non superi i 15 m
B	Aree urbane (non di classe A), suburbane, industriali e boschive
C	Aree con ostacoli diffusi (alberi, case, muri, recinzioni...); aree con rugosità non riconducibile alle classi A, B, e D
D	a) Mare e relativa fascia costiera (entro 2 km dalla costa); b) Lago (con larghezza massima pari ad almeno 1 km) e relativa fascia costiera (entro 1 km dalla costa); c) Aree prive di ostacoli o con al più rari ostacoli isolati (aperta campagna, aeroporti, aree agricole, pascoli, zone paludose o sabbiose, superfici innevate o ghiacciate, ...)

**Tabella 224.** Classi di rugosità del terreno

ZONE 1,2,3,4,5						
	costa	mare	2 km	10 km	30 km	750m
A	--	IV	IV	V	V	V
B	--	III	III	IV	IV	IV
C	--	*	III	III	IV	IV
D	I	II	II	II	III	**
* Categoria II in zona 1,2,3,4 Categoria III in zona 5						
** Categoria III in zona 2,3,4,5 Categoria IV in zona 1						

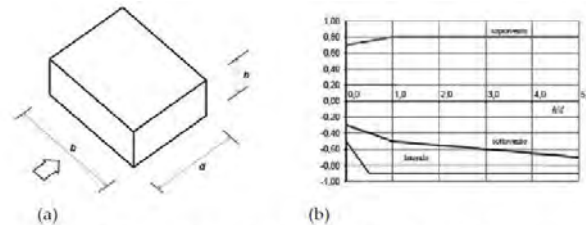
**Tabella 225.** Definizione delle categorie di esposizione

$q_r$	Rugosità	Esposizione	$c_e(z)$	$c_e(z_{min})$
456	B	III	2.238	1,708

**Tabella 226.** Definizione dei coefficienti di esposizione

•  $c_p$  è il coefficiente di pressione e dipende dalla tipologia, dalla geometria della costruzione e dal suo orientamento rispetto alla direzione del vento. Il coefficiente globale  $c_{pe}$  che può essere

utilizzato in tutti i casi in cui la rappresentazione delle azioni aereodinamiche del vento possa essere effettuata in maniera semplificata, rivolta alla valutazione delle azioni globali su porzioni estese di costruzioni o delle risultanti delle azioni indotte dal vento sugli elementi principali della struttura. I coefficienti  $c_{pe}$  da assumere sulle pareti dell'edificio a pianta rettangolare sono diagrammati in base al rapporto  $h/d$ , avendo indicato con  $h$  l'altezza del manufatto e con  $d$  la profondità dell'edificio, valutata parallelamente al flusso di lavoro:



a) Parametri caratteristici di edifici a pianta rettangolare,  
b) Edifici a pianta rettangolare:  $c_{pe}$  per facce sopravvento, sottovento e laterali  
Figura C3.3.2

Tabella C3.3.I: Edifici a pianta rettangolare:  $c_{pe}$  per facce sopravvento, sottovento e laterali

Facciata sopravvento	$C_U = 2,0$	$C_U = 1,5$
$h/d \leq 1$ : $c_{pe} = 0,7 + 0,1 \cdot h/d$	$h/d \leq 0,5$ : $c_{pe} = -0,5 - 0,8 \cdot h/d$	$h/d \leq 1$ : $c_{pe} = -0,3 - 0,2 \cdot h/d$
$h/d > 1$ : $c_{pe} = 0,8$	$h/d > 0,5$ : $c_{pe} = -0,9$	$1 < h/d \leq 5$ : $c_{pe} = -0,5 - 0,05 \cdot (h/d - 1)$

Tabella 227. Coefficienti di pressione delle facciate secondo NTC2018

Quindi i coefficienti per le facce sopravvento e sottovento sono:

b	d	h	h/d	$C_{pe}$ -sopravvento	$C_{pe}$ -sottovento
50	13	19	1.46	0.8	-0,52

Tabella 228. Definizione dei coefficienti di pressione

## COPERTURA PIANA

Per la copertura piana, l'altezza di riferimento  $z_e$  è pari alla quota massima della copertura stessa, inclusa la presenza dei parapetti e di altri analoghi elementi. I coefficienti globali  $c_{pe}$  da assumere sulle coperture di un edificio a pianta rettangolare sono riportati di seguito:

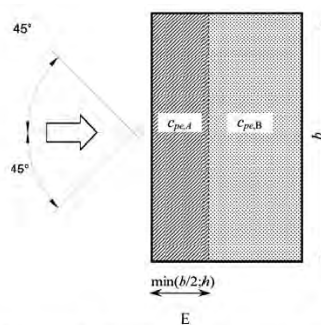


Figura C3.3.5 - Schema di riferimento per coperture piane

Tabella C3.3.III - Edifici rettangolari:  $c_{pe}$  per coperture piane.

Fascia sopravvento di profondità pari al minimo tra $b/2$ e $h/2$ :	$C_{pe,A} = -0,80$
Restanti zone	$C_{pe,B} = \pm 0,20$

Tabella 229. Definizione  $c_{pe}$  per coperture piano

Le pressioni interne agli edifici dipendono dalla superficie delle aperture che questi presentano verso l'esterno. Nel caso in esame si assumono valori del coefficiente di pressione interno pari a  $c_{pi} = +0,2$  e  $c_{pi} = -0,30$ , considerando il caso che di volta in volta conduce alla situazione maggiormente gravosa.

- $c_d$  è il coefficiente dinamico e può essere assunto cautelativamente pari a 1 nelle costruzioni di tipologia ricorrente quali gli edifici di forma regolare non eccedenti 80 m in altezza e capannoni industriali.

In funzione dei coefficienti analizzati e della pressione cinetica di riferimento, si calcola la pressione del vento per la copertura e per le facciate sopravento e sottovento considerando i valori massimi e minimi.

<b>Facciata</b>	<b>Sopravento</b>	<b>Sottovento</b>
$p_{min}$ (daN/m <sup>2</sup> )	447	-614
$p_{max}$ (daN/m <sup>2</sup> )	613	-841
<b>Copertura</b>	<b>Sopravento</b>	<b>Sottovento</b>
$p$ (daN/m <sup>2</sup> )	-1124	-511

#### **1.15.5. Interventi per il miglioramento sismico – edifici in cemento armato**

Gli interventi previsti per la riduzione del rischio sismico si dividono in:

- interventi che consentono il passaggio di una sola Classe di Rischio;
- interventi che possono consentire il passaggio fino a due Classi di Rischio.
- interventi che possono consentire il miglioramento di almeno due Classi di Rischio o l'adeguamento sismico.

La prima tipologia di interventi considerati è quella contenuta nelle “Linee guida per la classificazione del rischio sismico delle costruzioni” (D.M. 65/2017-allegato A). Per gli edifici in cemento armato, se la struttura è stata originariamente concepita con la presenza di telai in entrambe le direzioni, è prevista la possibilità di ritenere valido il passaggio alla Classe di Rischio immediatamente superiore se vengono effettuati gli interventi seguenti:

- incamiciatura dei pilastri e dei nodi pilastro-trave per tutte le pilastrate e le travi disposte lungo il perimetro dell'edificio;
- opere volte a scongiurare il ribaltamento delle tamponature, compiute su tutte le tamponature perimetrali presenti sulle facciate;
- eventuali opere di ripristino delle zone danneggiate e/o degradate.

La seconda tipologia di interventi considerati riguarda l'utilizzo di:

- isolamento sismico in fondazione.

Questa tipologia di interventi, viene presa in considerazione nel caso in cui le lavorazioni vengono eseguite senza dover in alcun modo evacuare gli inquilini dell'edificio, quindi quando per esempio:

- è presente un piano interrato dove sono presenti garage;
- è presente un piano terra dove sono presenti negozi;
- è presente un piano pilotis dove sono presenti cantine.

Nel caso si adotti l'intervento di isolamento sismico in fondazione bisogna fare una differenza in funzione della presenza o meno di un piano interrato.

Nel caso in cui **fosse presente il piano interrato** (adibito a garage o cantine), l'intervento di isolamento sismico alla base prevede di tagliare il pilastro del piano interrato all'altezza delle travi del piano terra inserendo l'isolatore sismico opportunamente dimensionato e ringrossando ove necessario il nodo trave pilastro. Risulta inoltre indispensabile creare una trincea perimetrale esterna che consenta all'edificio gli spostamenti generati dall'azione sismica.

Nel caso in cui **non fosse presente un piano interrato**, ma ad esempio un piano pilotis con cantine, l'intervento prevede di creare un piano di scorrimento che può essere realizzato in funzione delle opportunità e delle esigenze o all'attacco tra fondazione e pilastri oppure direttamente sopra la soletta del piano terra. Il piano di scorrimento viene creato attraverso un reticolo di travi in acciaio collegate ad ogni pilastro sopra le quali viene posata una lamiera grecata con successivo

getto di soletta armata con rete. La soluzione ad unico piano di scorrimento anche per edifici estesi con giunti sismici risulta essere ampiamente perseguibile.

Sotto ogni pilastro e sotto il piano di scorrimento viene predisposto un opportuno isolatore sismico (ad esempio friction pendulum). Anche in questo caso come nel precedente risulta indispensabile creare una trincea perimetrale che possa garantire gli spostamenti attesi dovuti all'azione sismica.

In tutti i casi citati, si tratta di interventi la cui progettazione richiede informazioni dettagliate sulla geometria e sulle caratteristiche meccaniche degli elementi resistenti allo stato attuale e la cui efficacia può essere valutata solo con analisi strutturali condotte per mezzo di adeguati modelli di calcolo. In questa fase ci si limiterà, pertanto, ad una descrizione sommaria degli interventi e ad una valutazione di massima del costo.

La terza tipologia di interventi considerati riguarda l'utilizzo di:

- cappotto sismico applicato alle pareti esterne dell'edificio;
- sistema a torri dissipative sismo-resistenti.

Questa tipologia di interventi, viene presa in considerazione nel caso in cui le lavorazioni vengono eseguite senza dover in alcun modo evacuare gli inquilini dell'edificio, e nel caso del cappotto sismico quando la struttura risulta regolare in pianta e in altezza.

Il primo caso può essere applicato indifferentemente sia per strutture in muratura che per le strutture in cemento armato. Il secondo caso invece viene impiegato esclusivamente quando la struttura esistente sia stata realizzata in cemento armato.

Per gli edifici in cemento armato, nel caso di struttura a telai in entrambe le direzioni, è prevista la possibilità di ritenere valido il passaggio di più Classi di Rischio con la possibilità di raggiungere l'adeguamento sismico a seconda della tipologia di struttura.

#### **1.15.5.1. Sintesi degli interventi previsti**

##### **TORRI DISSIPATIVE SISMO-RESISTENTI**

---

Il sistema a torri dissipative sismo-resistenti consiste nella realizzazione di torri molto rigide, solitamente in carpenteria metallica, collegate rigidamente alla struttura a livello di solaio ed incernierate alla base, equipaggiate lungo il perimetro della base con dissipatori di energia che si attivano a seguito della rotazione della torre indotta dagli spostamenti orizzontali della struttura. Tale sistema è nato proprio per rispondere alle esigenze di adeguare complessi edilizi di pubblica, eliminando i costi ed i disagi connessi all'interruzione ed al trasferimento delle attività in altre sedi, richiesti dai tradizionali sistemi di adeguamento sismico. La volumetria delle torri va inoltre ad aggiungersi a quella esistente e, quando possibile, può essere sfruttata per la realizzazione di scale, ascensori, cavedi per il passaggio degli impianti o nuovi spazi utilizzabili, consentendo la rivalutazione del patrimonio. Il sistema a torri dissipative consente di sfruttare al massimo la



capacità dei dispositivi di dissipazione; infatti grazie alla loro collocazione alla base delle torri, i dissipatori non lavorano in funzione degli spostamenti relativi d'interpiano, come in un classico sistema a controventi dissipativi posti all'interno delle maglie dei telai, bensì in funzione dello spostamento assoluto che si manifesta all'ultima elevazione

L'efficienza del sistema proposto è garantita non solo dalla rigidezza delle torri, ma anche dal manovellismo utilizzato alla base delle torri per il collegamento delle stesse ai dissipatori.

Il sistema meccanico di manovellismo introdotto alla base di ogni torre ha la funzione di amplificare gli spostamenti, così da ottenere un miglioramento generalizzato dell'efficienza dell'intervento con torri dissipative. A parità di spostamento in sommità, con il sistema di manovellismo si ottiene uno spostamento sul dispositivo di gran lunga superiore a quello ottenuto in assenza di manovellismo. I dispositivi sono attivi sia a trazione che a compressione.

L'efficacia dell'intervento è garantita dalla notevole dissipazione di energia fornita dalle nuove torri dissipative a cui consegue una sensibile riduzione della domanda negli elementi strutturali.

L'organizzazione planimetrica dei dispositivi è studiata in modo da garantire la massima efficienza al sistema. Per ottenere il massimo valore di spostamento i dissipatori vengono disposti in senso radiale sul perimetro esterno della torre, in modo da risultare efficaci per ogni movimento oscillatorio della torre. Il ricentrimento del sistema torre-edificio è garantito dalla forza di richiamo che l'edificio esistente può trasmettere grazie all'energia potenziale elastica immagazzinata.

L'applicazione del sistema a torri dissipative sismo-resistenti presenta numerosi vantaggi rispetto alle tecniche convenzionali di adeguamento sismico, quali:

- incremento sostanziale della capacità delle strutture esistenti nei confronti delle azioni sismiche, che si traduce in un notevole abbattimento sia degli spostamenti che delle accelerazioni, preservando così non solo la struttura, ma anche i componenti non strutturali (murature, infissi, controsoffitti, impianti, ecc..) e le attrezzature, sensibili sia agli spostamenti che alle accelerazioni;
- contenimento degli spostamenti orizzontali fino a pervenire a soluzioni strutturali in grado di fronteggiare i terremoti previsti dalle norme allo stato limite di salvaguardia della vita (SLV) mantenendo la struttura in campo elastico e quindi senza importanti danneggiamenti ed interruzioni d'uso;
- la disposizione ottimale delle torri in pianta consente di regolarizzare il comportamento delle strutture in situazione sismica;
- la creazione alla base di ciascuna torre, di una zona completamente dedicata alla dissipazione di energia, permette di massimizzare l'efficienza dei dispositivi (nello specifico di tipo viscoso), nonché la loro facile ispezione e manutenzione, rispetto alle consuete applicazioni all'interno delle maglie strutturali di edifici esistenti;

- la piena rispondenza ai criteri di reversibilità dell'intervento, poiché intervenendo in esterno è possibile rimuovere le torri senza interferire con le strutture esistenti.

#### **1.15.6. Conclusioni**

L'applicazione del sistema innovativo di protezione sismica detto a "Torri Dissipative" dimostra di essere una valida e conveniente alternativa ai sistemi più tradizionali che sfruttano la dissipazione di energia per la riduzione della domanda. È particolarmente conveniente in quegli edifici con struttura a telaio in c.a. dotati di una sufficiente capacità statica per carichi verticali ma vulnerabili alle azioni orizzontali e che, trovandosi in buone condizioni di agibilità, non necessitano di pesanti interventi di rifunzionalizzazione ed ammodernamento. L'efficienza del sistema è notevole. Ottenendo riduzioni significative della domanda, la calibrazione dimensionale e dissipativa delle torri è tale da raggiungere livelli di protezione sismica superiori ai limiti stabiliti dalle norme per l'adeguamento, con l'obiettivo di mantenere la struttura in campo elastico anche per terremoti severi allo SLV.

Inoltre, molto importante, è il notevole vantaggio economico. Oltre ai minori costi diretti, operando dall'esterno sono quasi o completamente nulli i costi indiretti, l'esecuzione dei lavori avviene senza l'interruzione delle attività.

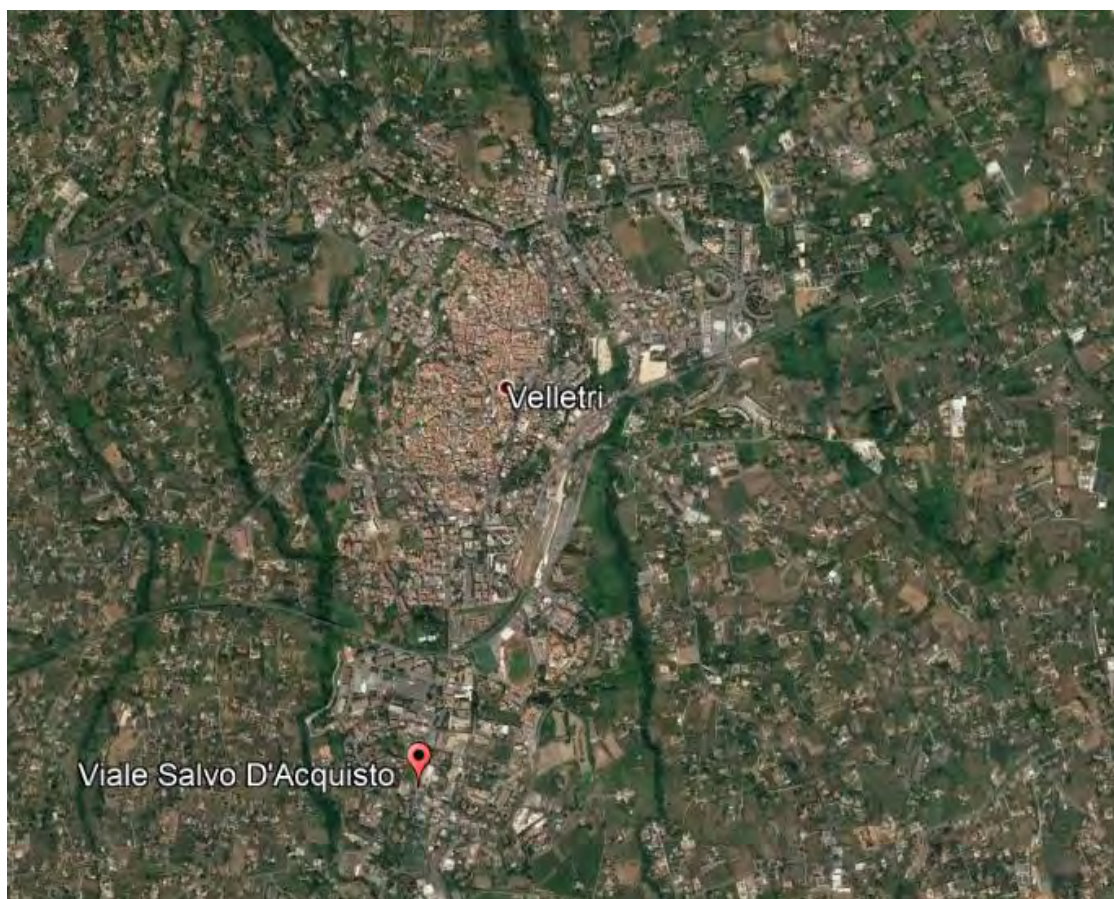
## **1.16. Tipologia VE16**

### **1.16.1. Individuazione dei siti in esame**

Di seguito si riporta una tabella che riassume i parametri generali del sito in esame, con gli identificativi e le coordinate dei punti che includono gli edifici.

Provincia	Comune	Tipologia	Via	Latitudine	Longitudine
Roma	Velletri	VE16	Via Salvo D'Acquisto 35	41.4037°	12.4636°

**Tabella 230.** Parametri generali del sito in esame



**Figura 131.** Individuazione del sito in esame (immagine da google earth)

### **1.16.2. Determinazione della categoria di sottosuolo**

Per la determinazione della categoria di sottosuolo, in assenza di indagini geologiche specifiche per ogni intervento da realizzare, è possibile stimare in via preliminare e con le approssimazioni del caso, la velocità delle onde VS facendo specifico riferimento agli abachi regionali di microzonazione sismica ai sensi della DGR Lazio n. 545 del 26 novembre 2010, forniti sul portale della Regione Lazio. Nello specifico andando ad individuare la carta delle microzone omogenee in prospettiva sismica per il comune di interesse, è possibile risalire alla tipologia del sottosuolo e relativo spessore. Dalla carta riportata in figura 2, si evidenzia che il sito oggetto del presente studio ricade all'interno delle zone stabili suscettibili di amplificazione sismica (Zona 1) che sono caratterizzate dalla



presenza depositi piroclastici. In funzione di questo, entrando in via approssimativa nell'abaco (Vs/h) riportato in figura 2, relativo alle ghiaie alluvionali, detritiche e sabbie di alterazione, si determina il valore di Vs che viene utilizzato per la stima approssimata della categoria di sottosuolo entrando nella tabella 3.2.II del D.M. 17 Gennaio 2018.

<b>GHIAIE ALLUVIONALI</b> <b>GHIAIE DETRITICHE</b> <b>SABBIE DI ALTERAZIONE DA ARENARIE</b> <b>SABBIE DI ALTERAZIONE DA TRAVERTINI</b> <b>SABBIE DI ALTERAZIONI DA TUFVULCANICI</b>										
FH <sub>0,1-0,5</sub>		Velocità media V <sub>SH</sub> (m/s)								
Profondità dal pc H (m)		180	250	300	360	400	450	500	600	700
	5	1.3	1.2	1.1	1.1	1.1	1.1	1.0	1.0	1.0
	10			1.4	1.4	1.2	1.2	1.1	1.1	1.0
	15			1.6	1.5	1.3	1.3	1.2	1.1	1.1
	20			1.7	1.6	1.4	1.3	1.2	1.1	1.1
	25			1.6	1.5	1.5	1.4	1.3	1.2	1.1
	30			1.5	1.5	1.5	1.4	1.3	1.2	1.1
	35				1.4	1.4	1.3	1.3	1.2	1.1
	40					1.4	1.3	1.3	1.2	1.1
	45						1.3	1.2	1.2	1.1

GRADIENTE DI VELOCITA' PER VALIDITA' ABACO

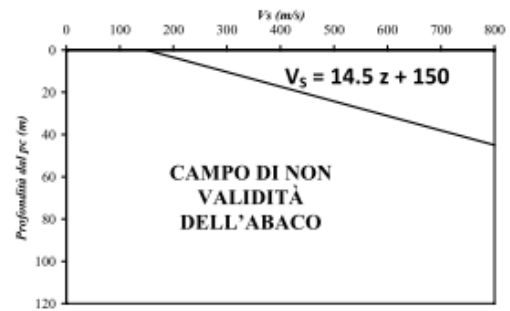


Tabella 231. Abaco per le ghiaie alluvionali, detritiche e sabbie di alterazione

Nello specifico facendo riferimento all'andamento della velocità Vs con la profondità z dello strato dal piano campagna, si ottiene un valore delle velocità Vs pari a:

$$V_s = 14.5 * z + 150 = 512 \text{ m/s}$$

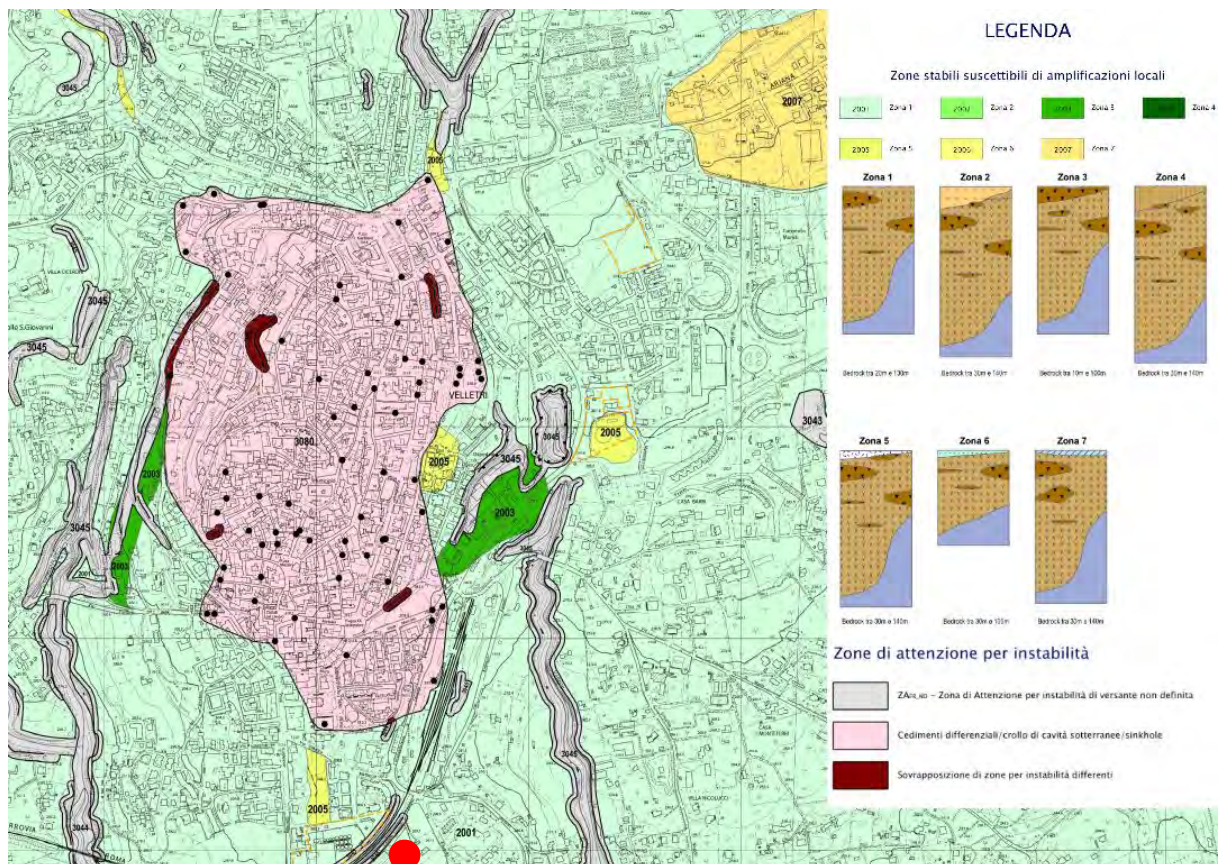


Figura 132. Zona omogenea in prospettiva sismica

In relazione alle formulazioni sopra riportate avendo ottenuto un valore delle Vs pari a 512 m/s ed entrando nella tabella 3 sotto riportata si ottiene una categoria di sottosuolo B “*Depositi di terreni a grana grossa molto addensati o terreni a grana fina molto consistenti*”.

Per le condizioni topografiche che nel caso specifico si configurano in superficiali semplici si può adottare la classificazione riportata nella tabella 4 e nello specifico si ricade nella categoria T1.

Categoria	Descrizione
A	Ammassi rocciosi affioranti o terreni molto rigidi caratterizzati da valori di velocità delle onde di taglio superiori a 800 m/s, eventualmente comprendenti in superficie terreni di caratteristiche meccaniche più scadenti con spessore massimo pari a 3 m.
B	Rocce tenere e depositi di terreni a grana grossa molto addensati o terreni a grana fina molto consistenti, caratterizzati da un miglioramento delle proprietà meccaniche con la profondità e da valori di velocità equivalente compresi tra 360 m/s e 800 m/s.
C	Depositi di terreni a grana grossa mediamente addensati o terreni a grana fina mediamente consistenti con profondità del substrato superiori a 30 m, caratterizzati da un miglioramento delle proprietà meccaniche con la profondità e da valori di velocità equivalente compresi tra 180 m/s e 360 m/s.
D	Depositi di terreni a grana grossa scarsamente addensati o di terreni a grana fina scarsamente consistenti, con profondità del substrato superiori a 30 m, caratterizzati da un miglioramento delle proprietà meccaniche con la profondità e da valori di velocità equivalente compresi tra 100 e 180 m/s.
E	Terreni con caratteristiche e valori di velocità equivalente riconducibili a quelle definite per le categorie C o D, con profondità del substrato non superiore a 30 m.

**Tabella 232.** Tab. 3.2.II – Categorie di sottosuolo che permettono l'utilizzo dell'approccio semplificato

Categoria	Caratteristiche della superficie topografica
T1	Superficie pianeggiante, pendii e rilievi isolati con inclinazione media $i \leq 15^\circ$
T2	Pendii con inclinazione media $i > 15^\circ$
T3	Rilievi con larghezza in cresta molto minore che alla base e inclinazione media $15^\circ \leq i \leq 30^\circ$
T4	Rilievi con larghezza in cresta molto minore che alla base e inclinazione media $i > 30^\circ$

**Tabella 233.** Tab. 3.2. III – Categorie topografiche

### 1.16.3. Analisi sismica

#### 1.16.3.1. Determinazione del fattore di comportamento q

Si riportano in dettaglio le caratteristiche principali della struttura in esame, utili per il calcolo del fattore di comportamento q e dell'azione sismica.

Classe d'uso	Vita nominale	Coeff. Uso	Duttilità	Regolarità in pianta	Regolarità in altezza	Tipologia strutturale
II	50	1	B	si	si	Muratura.

L'analisi strutturale per azioni sismiche utilizzata per la verifica è del tipo lineare (cap. 7.3.1 NTC 2018). Per sistemi non dissipativi (SLE), gli effetti delle azioni sono calcolati riferendosi ad uno spettro di progetto ottenuto assumendo un fattore di comportamento  $q=1$  per lo stato limite di operatività (SLO) (cap. 3.2.3.4 NTC 2018) e un fattore di comportamento  $q \leq 1.5$  per stato limite di danno (SLD) (cap. 3.2.3.5 NTC 2018). Per sistemi dissipativi (SLU), gli effetti delle azioni sono calcolati riferendosi ad uno spettro di progetto ottenuto assumendo un fattore di struttura  $q \geq 1.5$  (cap. 3.2.3.5 NTC 2018).



Il calcolo del fattore di comportamento per i sistemi dissipativi è stato eseguito seguendo quanto riportato al capitolo 7 delle NTC 2018 in funzione dei parametri generali della struttura in esame. Si riportano, in tabella, i valori del fattore di comportamento utili per la valutazione dell'azione sismica nelle tre direzioni:

$q_0$	$\alpha_u/\alpha_i$	$k_r$	$q_x$	$q_y$	$q_z$
$1,75^* \alpha_u/\alpha_i$	1,7	1	2,975	2,975	1,5

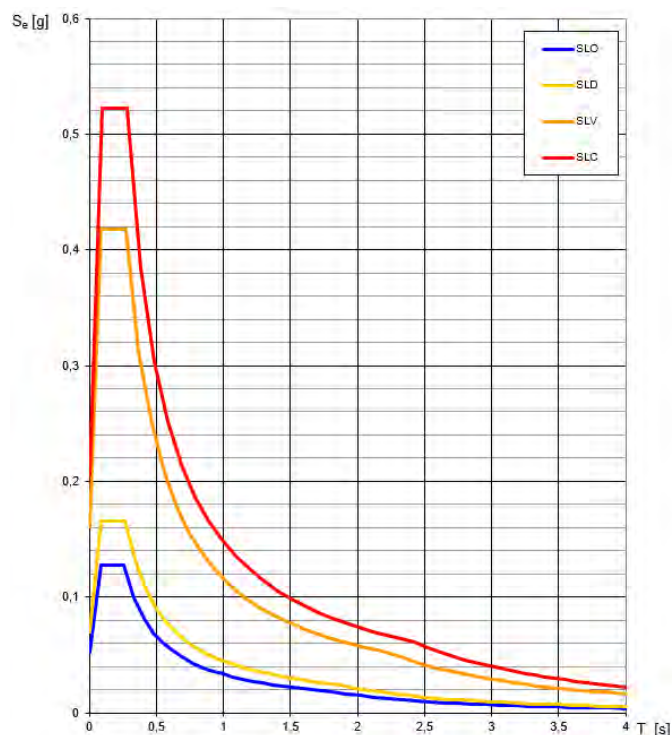
L'azione sismica viene definita in relazione ad un periodo di riferimento  $V_r$  che si ricava, per ciascun tipo di costruzione, moltiplicandone la vita nominale per il coefficiente d'uso. Fissato il periodo di riferimento  $V_r$  e la probabilità di superamento  $P_{ver}$  associata a ciascuno degli stati limite considerati, si ottiene il periodo di ritorno  $T_r$  e i relativi parametri di pericolosità sismica:

- $a_g$ : accelerazione orizzontale massima del terreno;
- $F_0$ : valore massimo del fattore di amplificazione dello spettro in accelerazione orizzontale;
- $T_c^*$ : periodo di inizio del tratto a velocità costante dello spettro in accelerazione orizzontale.

SLATO LIMITE	$T_R$ [anni]	$a_g$ [g]	$F_0$ [-]	$T_c^*$ [s]
SLO	30	0,052	2,453	0,260
SLD	50	0,069	2,391	0,269
SLV	475	0,161	2,595	0,277
SLC	975	0,206	2,540	0,283

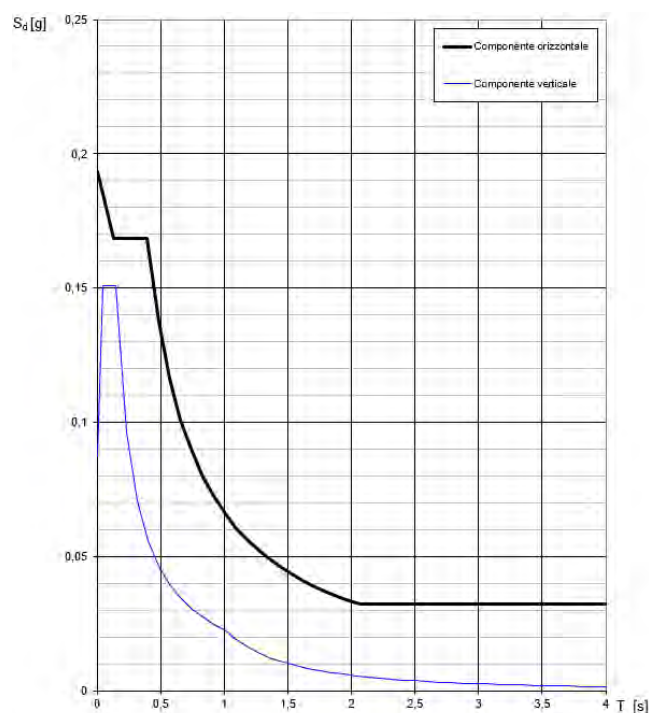
**Tabella 234.** Valori di  $a_g$ ,  $F_0$  e  $T_c^*$  in funzione dei vari stati limite

### 1.16.3.2. Spettri di risposta



**Figura 133.** Spettri di risposta elastici per i diversi stati limite

Con l'utilizzo del fattore di comportamento e dei parametri sismici dipendenti dal tipo di struttura in esame, precedentemente calcolati, si sono determinati gli spettri di calcolo agli stati limite SLV e SLD. Nel caso di utilizzo di isolatori sismici si farà riferimento allo spettro ad SLV per la sovrastruttura e ad SLC per gli isolatori. Tali spettri saranno opportunamente scalati in funzione dello smorzamento e del periodo scelto.



**Figura 134.** Spettri di risposta (componenti orizz.\_vert.) per lo SLV

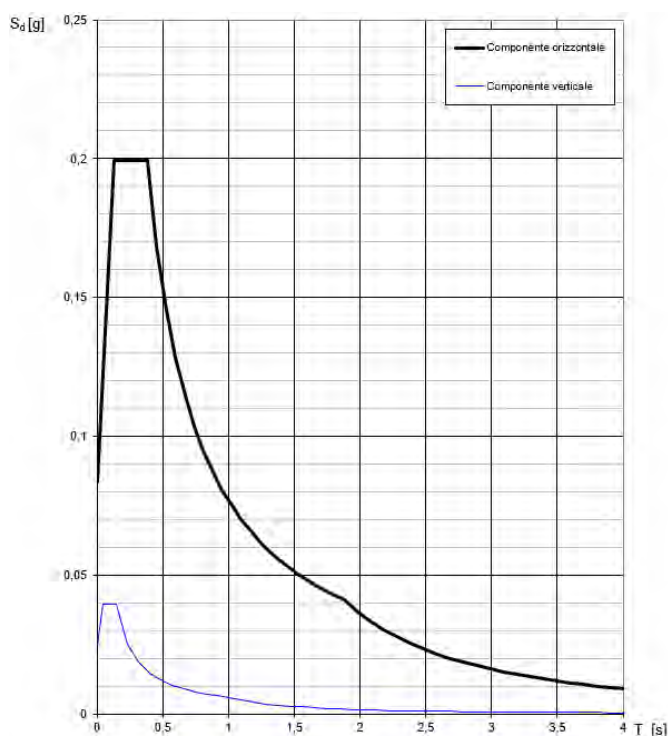


Figura 135. Spettri di risposta (componenti orizz.\_vert.) per lo SLD

#### 1.16.4. Carichi di progetto

##### 1.16.4.1. Carico della neve

Tale calcolo viene effettuato ai sensi di DM del 17 Gennaio 2018 "Norme tecniche per le costruzioni" e della Circolare Ministeriale Applicativa del 21 Gennaio 2019. Il carico neve sulle coperture è valutato con la seguente espressione:

$$q_s = \mu_i * q_{sk} * C_e *$$

dove:

- $\mu_i$  è il coefficiente di forma della copertura;

Coefficiente di forma	$0^\circ \leq \alpha \leq 30^\circ$	$30^\circ < \alpha < 60^\circ$	$\alpha \geq 60^\circ$
$\mu_i$	0,8	$0,8 \cdot \frac{(60 - \alpha)}{30}$	0,0

Tabella 235. Tab. 3.4.II – Valori dei coefficienti di forma

- $q_{sk}$  è il valore di riferimento del carico neve al suolo e dipende dalla zona climatica e dall'altitudine di riferimento del sito  $a_s$ , se è maggiore o inferiore a 200 m;



**Figura 136.** Zone di carico della neve

- $C_e$  è il coefficiente di esposizione che viene utilizzato per modificare il carico neve in funzione delle caratteristiche dell'area in cui sorge l'opera;

Topografia	Descrizione	$C_e$
Battuta dai venti	Aree pianeggianti non ostruite esposte su tutti i lati, senza costruzioni o alberi più alti	0,9
Normale	Aree in cui non è presente una significativa rimozione di neve sulla costruzione prodotta dal vento, a causa del terreno, altre costruzioni o alberi	1,0
Riparata	Aree in cui la costruzione considerata è sensibilmente più bassa del circostante terreno o circondata da costruzioni o alberi più alti	1,1

**Tabella 236.** Tab. 3.4.I – Valori di  $C_z$  per diverse classi di esposizione

- $C_t$  è il coefficiente termico, generalmente assunto pari a 1;

Si assume che la neve non sia impedita di scivolare e si calcola il valore del carico neve in copertura:

Zona	$s_s$ (m)	$q_{sk}$ (daN/m <sup>2</sup> )	$\mu_i$	$C_e$	$C_t$	$q_s$ (daN/m <sup>2</sup> )
III	290	70	0,8	1	1	56

**Tabella 237.** Determinazione del carico da neve in copertura

#### 1.16.4.2. Carico del vento

La velocità base di riferimento del vento  $v_b$  è il valore medio su 10 minuti, a 10 m di altezza sul suolo su un terreno pianeggiante e omogeneo di categoria di esposizione II, riferito ad un periodo di ritorno  $T_r = 50$  anni, ed è pari a:

$$v_b = v_{b0} * c_a$$

dove:

- $v_{b0}$  è la velocità base di riferimento al livello del mare, assegnata nella Tab.3.3.I in funzione della zona in cui sorge la costruzione;

- $c_a$  è il coefficiente di altitudine fornito dalla relazione

$$c_a = 1 \quad \text{per } a_s \leq a_0$$

$$c_a = 1 + k_s * (a_s/a_0 - 1) \quad \text{per } a_0 < a_s \leq 1500 \text{ m}$$

dove:

- $a_0, k_s$  sono parametri forniti nella Tab.3.3.I in funzione della zona in cui sorge la costruzione;
- $a_s$  è l'altitudine sul livello del mare del sito ove sorge la costruzione.

Zona	Descrizione	$v_{b,0}$ [m/s]	$a_0$ [m]	$k_s$
1	Valle d'Aosta, Piemonte, Lombardia, Trentino Alto Adige, Veneto, Friuli Venezia Giulia (con l'eccezione della provincia di Trieste)	25	1000	0,40
2	Emilia Romagna	25	750	0,45
3	Toscana, Marche, Umbria, Lazio, Abruzzo, Molise, Puglia, Campania, Basilicata, Calabria (esclusa la provincia di Reggio Calabria)	27	500	0,37
4	Sicilia e provincia di Reggio Calabria	28	500	0,36
5	Sardegna (zona a oriente della retta congiungente Capo Teulada con l'Isola di Maddalena)	28	750	0,40
6	Sardegna (zona a occidente della retta congiungente Capo Teulada con l'Isola di Maddalena)	28	500	0,36
7	Liguria	28	1000	0,54
8	Provincia di Trieste	30	1500	0,50
9	Isole (con l'eccezione di Sicilia e Sardegna) e mare aperto	31	500	0,32



**Figura 137.** Valori dei parametri  $v_{b0}, a_0, k_s$

**Figura 138.** Mappa delle zone in cui è suddiviso il territorio italiano

La velocità di riferimento  $v_r$  è il valore medio su 10 minuti, a 10 m di altezza dal suolo su un terreno pianeggiante e omogeneo di categoria di esposizione II, riferito al periodo di ritorno di progetto  $T_r$ .

$$v_r = v_b * c_r$$

- $v_b$  è la velocità base di riferimento al livello del mare, assegnata
- $c_r$  è il coefficiente di ritorno, funzione del periodo di ritorno di progetto  $T_r$  fornito dalla relazione

$$c_r = 0.75 * \sqrt{1 - 0.2 * \ln[-\ln * (1 - 1/T_r)]}$$

Quindi:

$v_{b0}$ (m/s)	$a_s$	$c_a$	$v_b$	$T_r$	$c_r$	$v_r$ (m/s)
27	290	1	27	50	1,0007	27.02

La pressione del vento è data dall'espressione:

$$p = q_r * c_e * c_p * c_d$$

dove:

- $q_r$  è la pressione cinetica di riferimento data dall'espressione

$$q_r = \frac{1}{2} * \rho * v_r^2 \quad \text{in cui } \rho \text{ è la densità dell'aria pari a } 1.25 \text{ kg/m}^3$$



•  $c_e$  è il coefficiente di esposizione che dipende dall'altezza  $z$  sul suolo del punto considerato, dalla topografia del terreno e dalla categoria di esposizione del sito ove sorge la costruzione. Per altezze sul suolo non maggiori di 200 m è dato dalla formula:

$$c_e(z) = k_r^2 * c_t * \ln(z/z_0) * [7 + c_t * \ln(z/z_0)] \quad \text{per } z \geq z_{min}$$

$$c_e(z) = c_e(z_{min}) \quad \text{per } z < z_{min}$$

dove:

- $k_r$ ,  $z_0$ ,  $z_{min}$  sono assegnati in Tab.3.3.II in funzione della categoria di esposizione del sito.
- $c_t$  è il coefficiente di topografia, posto generalmente uguale a 1.

Categoria di esposizione del sito	$K_r$	$z_0$ [m]	$z_{min}$ [m]
I	0,17	0,01	2
II	0,19	0,05	4
III	0,20	0,10	5
IV	0,22	0,30	8
V	0,23	0,70	12

**Tabella 238.** Parametri per la definizione del coefficiente di esposizione

Classe di rugosità del terreno	Descrizione
A	Aree urbane in cui almeno il 15% della superficie sia coperto da edifici la cui altezza media non superi i 15 m
B	Aree urbane (non di classe A), suburbane, industriali e boschive
C	Aree con ostacoli diffusi (alberi, case, muri, recinzioni...); aree con rugosità non riconducibile alle classi A, B, e D
D	a) Mare e relativa fascia costiera (entro 2 km dalla costa); b) Lago (con larghezza massima pari ad almeno 1 km) e relativa fascia costiera (entro 1 km dalla costa); c) Aree prive di ostacoli o con al più rari ostacoli isolati (aperta campagna, aeroporti, aree agricole, pascoli, zone paludose o sabbiose, superfici innevate o ghiacciate, ...)

**Tabella 239.** Classi di rugosità del terreno

ZONE 1,2,3,4,5						
	costa					
	mare					
	2 km	10 km	30 km	500m	750m	
A	--	IV	IV	V	V	V
B	--	III	III	IV	IV	IV
C	--	*	III	III	IV	IV
D	I	II	II	II	III	**
* Categoria II in zona 1,2,3,4 Categoria III in zona 5						
** Categoria III in zona 2,3,4,5 Categoria IV in zona 1						

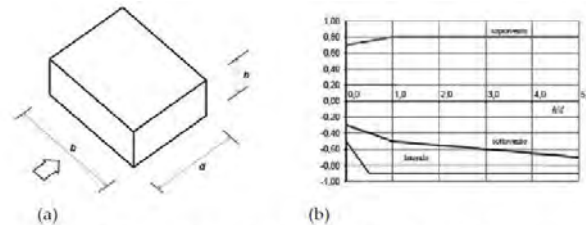
**Tabella 240.** Definizione delle categorie di esposizione

$q_r$	Rugosità	Esposizione	$c_e(z)$	$c_e(z_{min})$
456	B	III	2,384	1,708

**Tabella 241.** Definizione dei coefficienti di esposizione

•  $c_p$  è il coefficiente di pressione e dipende dalla tipologia, dalla geometria della costruzione e dal suo orientamento rispetto alla direzione del vento. Il coefficiente globale  $c_{pe}$  che può essere

utilizzato in tutti i casi in cui la rappresentazione delle azioni aereodinamiche del vento possa essere effettuata in maniera semplificata, rivolta alla valutazione delle azioni globali su porzioni estese di costruzioni o delle risultanti delle azioni indotte dal vento sugli elementi principali della struttura. I coefficienti  $c_{pe}$  da assumere sulle pareti dell'edificio a pianta rettangolare sono diagrammati in base al rapporto  $h/d$ , avendo indicato con  $h$  l'altezza del manufatto e con  $d$  la profondità dell'edificio, valutata parallelamente al flusso di lavoro:



a) Parametri caratteristici di edifici a pianta rettangolare,  
b) Edifici a pianta rettangolare:  $c_{pe}$  per facce sopravvento, sottovento e laterali  
Figura C3.3.2

Tabella C3.3.I: Edifici a pianta rettangolare:  $c_{pe}$  per facce sopravvento, sottovento e laterali

Faccia sopravvento	$C_U = 2,0$	$C_U = 1,5$
$h/d \leq 1$ : $c_{pe} = 0,7 + 0,1 \cdot h/d$	$h/d \leq 0,5$ : $c_{pe} = -0,5 - 0,8 \cdot h/d$	$h/d \leq 1$ : $c_{pe} = -0,3 - 0,2 \cdot h/d$
$h/d > 1$ : $c_{pe} = 0,8$	$h/d > 0,5$ : $c_{pe} = -0,9$	$1 < h/d \leq 5$ : $c_{pe} = -0,5 - 0,05 \cdot (h/d - 1)$

Tabella 242. Coefficienti di pressione delle facciate secondo NTC2018

Quindi i coefficienti per le facce sopravvento e sottovento sono:

b	d	h	h/d	$C_{pe}$ -sopravento	$C_{pe}$ -sottovento
15,6	11,4	14,5	1,27	0,80	-0,51

Tabella 243. Definizione dei coefficienti di pressione

## COPERTURA A PADIGLIONE

Per la copertura a padiglione l'altezza di riferimento  $z_e$  è pari all'altezza massima della copertura stessa. Per i coefficienti globali sulle coperture a padiglione di un edificio a pianta rettangolare, per le falde sopravvento e sottovento, si assumono gli stessi coefficienti previsti per le coperture a doppia falda.

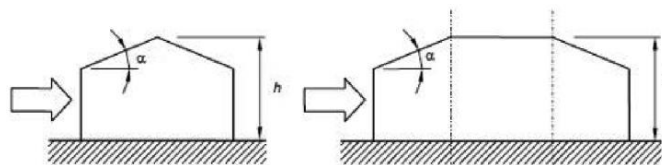


Figura C3.3.15 - Schema delle coperture a padiglione

Valori negativi		Valori positivi	
$\alpha \leq -60^\circ$	$c_{pe} = -0,5$	$0^\circ \leq \alpha \leq 45^\circ$	$c_{pe} = + \alpha/75$
$-60^\circ \leq \alpha \leq -15^\circ$	$c_{pe} = -0,5 - (\alpha + 60)/90$	$45^\circ \leq \alpha \leq 75^\circ$	$c_{pe} = +0,6 + (\alpha - 45)/150$
$-15^\circ \leq \alpha \leq 30^\circ$	$c_{pe} = -1,0 + (\alpha + 15)/75$		
$30^\circ \leq \alpha \leq 45^\circ$	$c_{pe} = -0,4 + (\alpha - 30)/37,5$		

Figura 139. Coperture a doppia falda, valori del  $c_{pe}$  con vento perpendicolare al colmo

Per le falde laterali, relative alle pareti parallele alla direzione del vento, si considerano i coefficienti riportati sotto:

$0^\circ \leq \alpha \leq 30^\circ$	$c_{pe} = -0,6 - \alpha/75$
$30^\circ \leq \alpha \leq 45^\circ$	$c_{pe} = -1,0$
$45^\circ \leq \alpha \leq 60^\circ$	$c_{pe} = -1,0 + (\alpha - 45)/37,5$
$60^\circ \leq \alpha$	$c_{pe} = -0,6$

**Tabella 244.** Coperture a padiglione, valori del  $c_{pe}$  con vento perpendicolare al colmo

Le pressioni interne agli edifici dipendono dalla superficie delle aperture che questi presentano verso l'esterno. Nel caso in esame si assumono valori del coefficiente di pressione interno pari a  $c_{pi} = +0,2$  e  $c_{pi} = -0,30$ , considerando il caso che di volta in volta conduce alla situazione maggiormente gravosa.

- $c_d$  è il coefficiente dinamico e può essere assunto cautelativamente pari a 1 nelle costruzioni di tipologia ricorrente quali gli edifici di forma regolare non eccedenti 80 m in altezza e capannoni industriali.

In funzione dei coefficienti analizzati e della pressione cinetica di riferimento, si calcola la pressione del vento per la copertura e per le facciate sopravento e sottovento considerando i valori massimi e minimi.

<b>Facciata</b>	<b>Sopravento</b>	<b>Sottovento</b>
$p_{min}$ (daN/m <sup>2</sup> )	467	-634
$p_{max}$ (daN/m <sup>2</sup> )	653	-885
<b>Copertura</b>	<b>Sopravento</b>	<b>Sottovento</b>
$p$ (daN/m <sup>2</sup> )	-762	-762

Nel caso di copertura a padiglione è necessario considerare il vento in pressione sulle falde laterali e risulta pari a -1088 daN/m<sup>2</sup>.

#### **1.16.5. Interventi per il miglioramento sismico – edifici in muratura**

Gli interventi previsti per la riduzione del rischio sismico si dividono in:

- interventi che possono consentire il miglioramento di almeno due Classi di Rischio o l'adeguamento sismico.

La tipologia di interventi considerati riguarda l'utilizzo di:

- cappotto sismico applicato alle pareti esterne dell'edificio.

Questa tipologia di interventi, viene presa in considerazione nel caso in cui le lavorazioni vengono eseguite senza dover in alcun modo evacuare gli inquilini dell'edificio, e quando la struttura risulta regolare in pianta e in altezza. Per gli edifici in cemento armato, nel caso di struttura a telai in entrambe le direzioni, è prevista la possibilità di ritenere valido il passaggio di più Classi di Rischio con la possibilità di raggiungere l'adeguamento sismico a seconda della tipologia di struttura.

##### **1.16.5.1. Sintesi degli interventi previsti**

##### **CAPPOTTO SISMICO**

Il cappotto sismico viene applicato sulle facciate esterne dell'edificio al fine di realizzare una nuova "pelle" sismo-resistente. E' costituito da una lastra sottile in calcestruzzo armato gettato in opera all'interno di due strati di materiale isolante, preinseriti in una maglia tridimensionale in acciaio zincato. La lastra in calcestruzzo può avere spessori variabili in base alla tipologia di intervento e nel caso in esame si ipotizza uno spessore di circa 8-10 cm; a livello delle travi esterne di piano si realizza un nuovo cordolo dello spessore della lastra più la larghezza dello strato di isolante addossato alla parete di circa 4 cm.

Il getto e l'armatura di rinforzo vengono resi solidali alla struttura esistente mediante, sia l'inserimento di connettori disposti a livello dei cordoli di piano e, se necessario, sui pilastri, sia disponendo opportuni ancoraggi sulla fondazione esistente o su una nuova fondazione addossata a quella esistente

La maglia tridimensionale in acciaio zincato consente di semplificare le operazioni di posa in opera delle armature strutturali, di minimizzare gli sfridi di cantiere e di realizzare uno strato di finitura ad intonaco particolarmente solida che garantisce la massima protezione del materiale isolante da urti accidentali ed agenti atmosferici.

Le norme NTC18 trattano le pareti in calcestruzzo soltanto per quanto riguarda le prescrizioni da seguire per strutture a comportamento dissipativo. Le lastre in calcestruzzo vengono invece dimensionate per garantire un comportamento elastico e non dissipativo nei confronti dell'azione sismica di progetto, rientrando nella tipologia di "strutture non dissipative". Per questo motivo le verifiche in resistenza degli elementi in calcestruzzo vengono effettuate seguendo l'approccio fornito dalla norma per gli elementi strutturali a comportamento non dissipativo, contenute nel

capitolo 4 delle NTC18 mentre le prescrizioni contenute nel capitolo 7 non risultano vincolanti per il dimensionamento delle pareti.

Per quanto riguarda le connessioni tra edificio esistente e cappotto sismico, la valutazione analitica della resistenza degli ancoraggi metallici per calcestruzzo può essere effettuata secondo le linee guida definite dal documento ETAG001-1997: "Linee guida per il benessere tecnico europeo di ancoraggi metallici da utilizzare nel calcestruzzo" e dai relativi allegati.

#### **1.16.6. Conclusioni**

Per quanto concerne gli aspetti prettamente strutturali, l'intervento di miglioramento sismico adottato per la tipologia oggetto della presente relazione, prevede l'utilizzo di un cappotto sismico, un sistema integrato di rafforzamento strutturale e miglioramento del benessere termoisolante dell'edificio. Questo intervento, oltre a non interrompere il normale esercizio della struttura permette la riduzione delle tempistiche del cantiere, in quanto i moduli da applicare sulle pareti esterne, risultano prefabbricati e sono comprensivi delle varie forometrie; in cantiere, l'attività sarà quella di prevedere il collegamento con la struttura esistente e la realizzazione del getto all'interno del cassero e, se necessario, il getto armato della nuova porzione di fondazione.

Gli interventi strutturali previsti sono mirati al miglioramento sismico attraverso l'incremento di almeno due Classi di Rischio o l'adeguamento sismico, da valutare nel dettaglio nelle fasi progettuali successive. Con ciò si intende il miglioramento del rischio della costruzione con incidenza sul valore PAM e sulla capacità che la struttura possiede rispetto allo stato limite della salvaguardia sulla vita. Tale valore è stato valutato come rapporto tra  $PGA_a$  (SLV) anteoperam e la  $PGA_p$  (SLV) postoperam, determinata attraverso il metodo convenzionale nel rispetto della normativa vigente (NTC 2018) e della circolare ministeriale applicativa del 21 gennaio 2019.



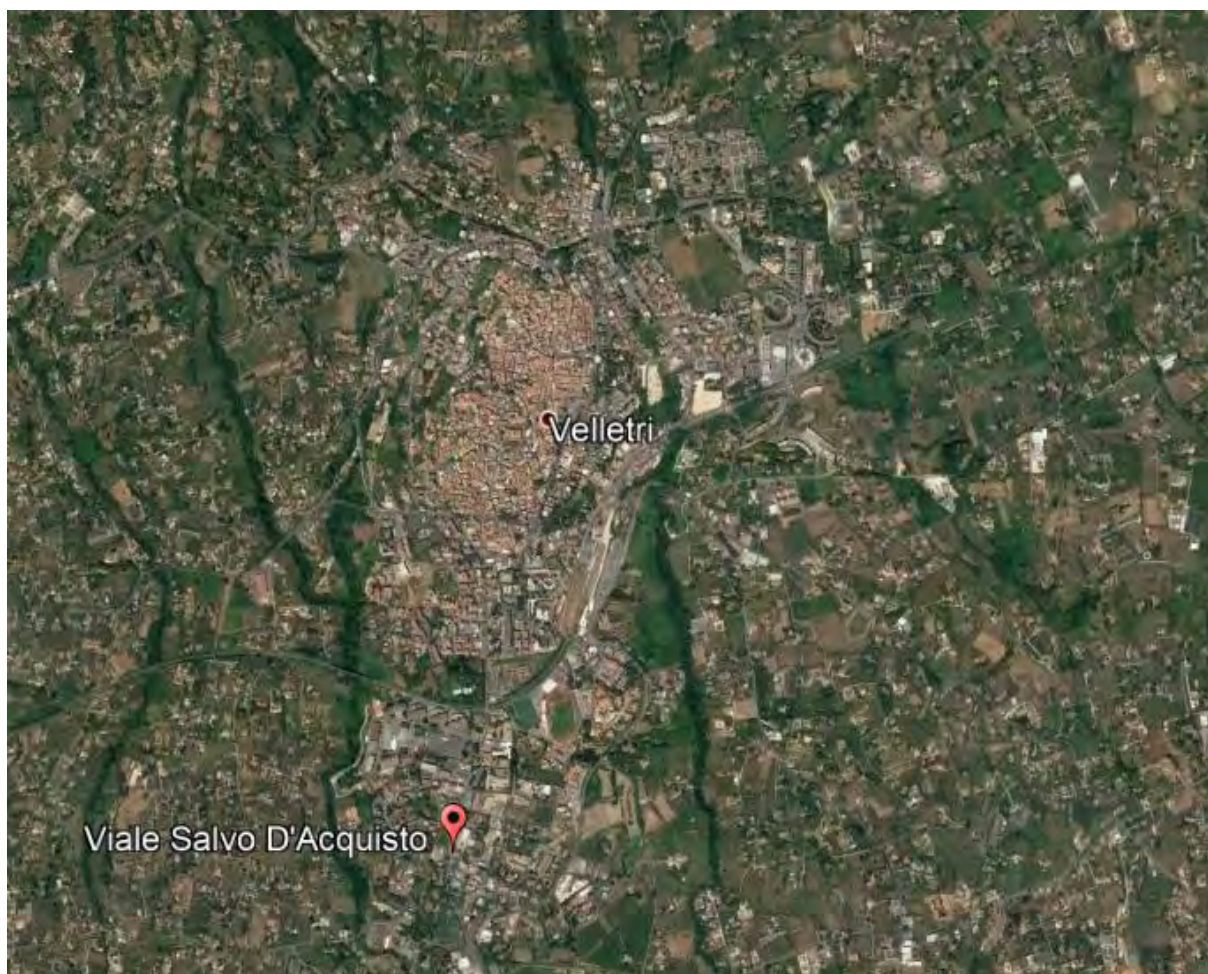
## **1.17. Tipologia VE17**

### **1.17.1. Individuazione dei siti in esame**

Di seguito si riporta una tabella che riassume i parametri generali del sito in esame, con gli identificativi e le coordinate dei punti che includono gli edifici.

Provincia	Comune	Tipologia	Via	Latitudine	Longitudine
Roma	Velletri	VE17	Via Salvo D'Acquisto 39	41.4036°	12.4635°

**Tabella 245.** Parametri generali del sito in esame



**Figura 140.** Individuazione del sito in esame (immagine da google earth)

### **1.17.2. Determinazione della categoria di sottosuolo**

Per la determinazione della categoria di sottosuolo, in assenza di indagini geologiche specifiche per ogni intervento da realizzare, è possibile stimare in via preliminare e con le approssimazioni del caso, la velocità delle onde VS facendo specifico riferimento agli abachi regionali di microzonazione sismica ai sensi della DGR Lazio n. 545 del 26 novembre 2010, forniti sul portale della Regione Lazio. Nello specifico andando ad individuare la carta delle microzone omogenee in prospettiva sismica per il comune di interesse, è possibile risalire alla tipologia del sottosuolo e relativo spessore. Dalla carta riportata in figura 2, si evidenzia che il sito oggetto del presente studio ricade all'interno



delle zone stabili suscettibili di amplificazione sismica (Zona 1) che sono caratterizzate dalla presenza depositi piroclastici. In funzione di questo, entrando in via approssimativa nell'abaco ( $V_s/h$ ) riportato in figura 2, relativo alle ghiaie alluvionali, detritiche e sabbie di alterazione, si determina il valore di  $V_s$  che viene utilizzato per la stima approssimata della categoria di sottosuolo entrando nella tabella 3.2.II del D.M. 17 Gennaio 2018.

<b>GHIAIE ALLUVIONALI</b> <b>GHIAIE DETRITICHE</b> <b>SABBIE DI ALTERAZIONE DA ARENARIE</b> <b>SABBIE DI ALTERAZIONE DA TRAVERTINI</b> <b>SABBIE DI ALTERAZIONI DA TUFI VULCANICI</b>										
FH <sub>0.1-0.5</sub>	Velocità media $V_{SH}$ (m/s)									
	180	250	300	360	400	450	500	600	700	
5	1.3	1.2	1.1	1.1	1.1	1.1	1.0	1.0	1.0	
10			1.4	1.4	1.2	1.2	1.1	1.1	1.0	
15			1.6	1.5	1.3	1.3	1.2	1.1	1.1	
20			1.7	1.6	1.4	1.3	1.2	1.1	1.1	
25			1.6	1.5	1.5	1.4	1.3	1.2	1.1	
30			1.5	1.5	1.5	1.4	1.3	1.2	1.1	
35				1.4	1.4	1.3	1.3	1.2	1.1	
40					1.4	1.3	1.3	1.2	1.1	
45						1.3	1.2	1.2	1.1	

GRADIENTE DI VELOCITA' PER VALIDITA' ABACO

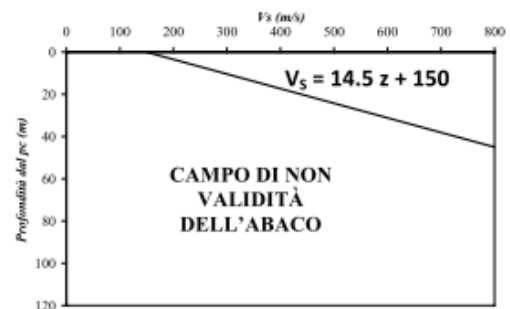


Tabella 246. Abaco per le ghiaie alluvionali, detritiche e sabbie di alterazione

Nello specifico facendo riferimento all'andamento della velocità  $V_s$  con la profondità  $z$  dello strato dal piano campagna, si ottiene un valore delle velocità  $V_s$  pari a:

$$V_s = 14.5 * z + 150 = 512 \text{ m/s}$$

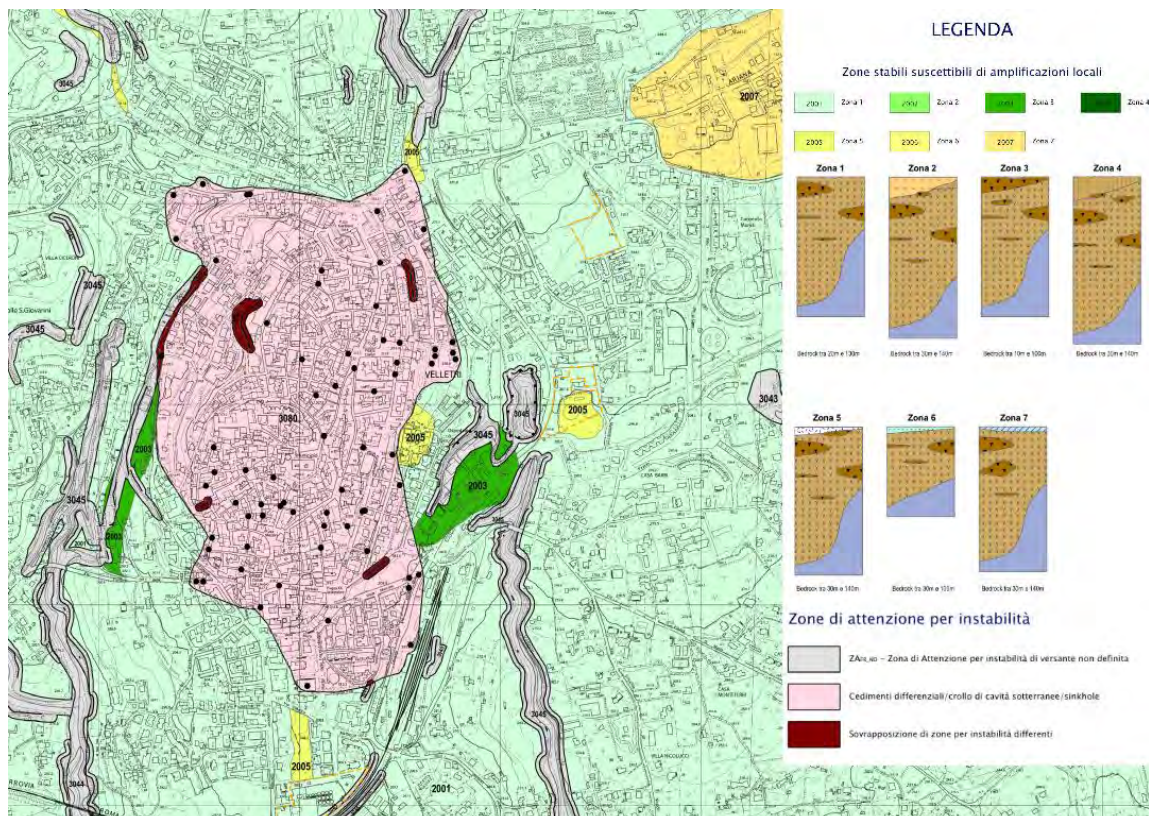


Figura 141. Zona omogenea in prospettiva sismica

In relazione alle formulazioni sopra riportate avendo ottenuto un valore delle Vs pari a 512 m/s ed entrando nella tabella 3 sotto riportata si ottiene una categoria di sottosuolo B “*Depositi di terreni a grana grossa molto addensati o terreni a grana fina molto consistenti*”.

Per le condizioni topografiche che nel caso specifico si configurano in superficiali semplici si può adottare la classificazione riportata nella tabella 4 e nello specifico si ricade nella categoria T1.

Categoria	Descrizione
A	Ammassi rocciosi affioranti o terreni molto rigidi caratterizzati da valori di velocità delle onde di taglio superiori a 800 m/s, eventualmente comprendenti in superficie terreni di caratteristiche meccaniche più scadenti con spessore massimo pari a 3 m.
B	Rocce tenere e depositi di terreni a grana grossa molto addensati o terreni a grana fina molto consistenti, caratterizzati da un miglioramento delle proprietà meccaniche con la profondità e da valori di velocità equivalente compresi tra 360 m/s e 800 m/s.
C	Depositi di terreni a grana grossa mediamente addensati o terreni a grana fina mediamente consistenti con profondità del substrato superiori a 30 m, caratterizzati da un miglioramento delle proprietà meccaniche con la profondità e da valori di velocità equivalente compresi tra 180 m/s e 360 m/s.
D	Depositi di terreni a grana grossa scarsamente addensati o di terreni a grana fina scarsamente consistenti, con profondità del substrato superiori a 30 m, caratterizzati da un miglioramento delle proprietà meccaniche con la profondità e da valori di velocità equivalente compresi tra 100 e 180 m/s.
E	Terreni con caratteristiche e valori di velocità equivalente riconducibili a quelle definite per le categorie C o D, con profondità del substrato non superiore a 30 m.

**Tabella 247.** Tab. 3.2.II – Categorie di sottosuolo che permettono l'utilizzo dell'approccio semplificato

Categoria	Caratteristiche della superficie topografica
T1	Superficie pianeggiante, pendii e rilievi isolati con inclinazione media $i \leq 15^\circ$
T2	Pendii con inclinazione media $i > 15^\circ$
T3	Rilievi con larghezza in cresta molto minore che alla base e inclinazione media $15^\circ \leq i \leq 30^\circ$
T4	Rilievi con larghezza in cresta molto minore che alla base e inclinazione media $i > 30^\circ$

**Tabella 248.** Tab. 3.2. III – Categorie topografiche

### 1.17.3. Analisi sismica

#### 1.17.3.1. Determinazione del fattore di comportamento q

Si riportano in dettaglio le caratteristiche principali della struttura in esame, utili per il calcolo del fattore di comportamento q e dell'azione sismica.

Classe d'uso	Vita nominale	Coeff. Uso	Duttilità	Regolarità in pianta	Regolarità in altezza	Tipologia strutturale
II	50	1	B	si	si	Muratura.

L'analisi strutturale per azioni sismiche utilizzata per la verifica è del tipo lineare (cap. 7.3.1 NTC 2018). Per sistemi non dissipativi (SLE), gli effetti delle azioni sono calcolati riferendosi ad uno spettro di progetto ottenuto assumendo un fattore di comportamento  $q=1$  per lo stato limite di operatività (SLO) (cap. 3.2.3.4 NTC 2018) e un fattore di comportamento  $q \leq 1.5$  per stato limite di danno (SLD) (cap. 3.2.3.5 NTC 2018). Per sistemi dissipativi (SLU), gli effetti delle azioni sono calcolati riferendosi ad uno spettro di progetto ottenuto assumendo un fattore di struttura  $q \geq 1.5$  (cap. 3.2.3.5 NTC 2018).

Il calcolo del fattore di comportamento per i sistemi dissipativi è stato eseguito seguendo quanto riportato al capitolo 7 delle NTC 2018 in funzione dei parametri generali della struttura in esame. Si riportano, in tabella, i valori del fattore di comportamento utili per la valutazione dell'azione sismica nelle tre direzioni:

$q_0$	$\alpha_u/\alpha_i$	$k_r$	$q_x$	$q_y$	$q_z$
$1,75^* \alpha_u/\alpha_i$	1,7	1	2,975	2,975	1,5

L'azione sismica viene definita in relazione ad un periodo di riferimento  $V_r$  che si ricava, per ciascun tipo di costruzione, moltiplicandone la vita nominale per il coefficiente d'uso. Fissato il periodo di riferimento  $V_r$  e la probabilità di superamento  $P_{ver}$  associata a ciascuno degli stati limite considerati, si ottiene il periodo di ritorno  $T_r$  e i relativi parametri di pericolosità sismica:

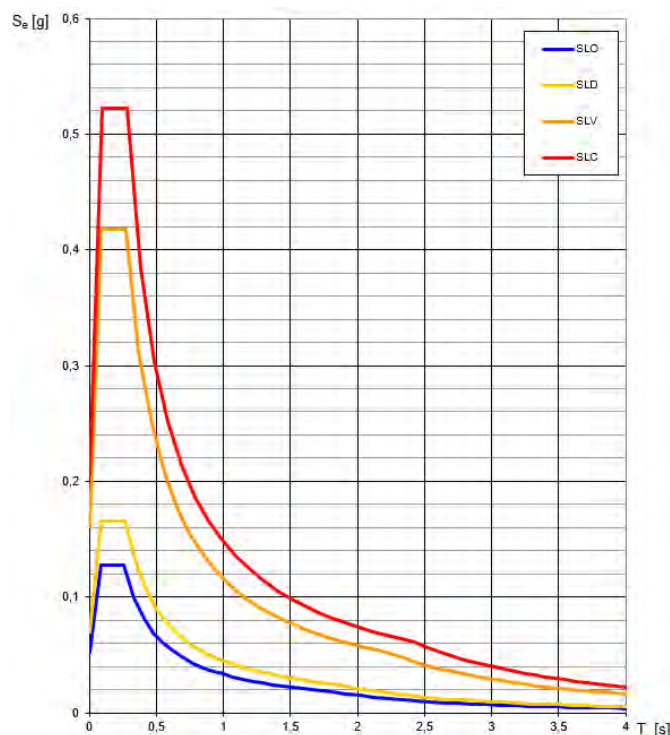
- $a_g$ : accelerazione orizzontale massima del terreno;
- $F_0$ : valore massimo del fattore di amplificazione dello spettro in accelerazione orizzontale;
- $T_c^*$ : periodo di inizio del tratto a velocità costante dello spettro in accelerazione orizzontale.

SLATO LIMITE	$T_R$ [anni]	$a_g$ [g]	$F_0$ [-]	$T_c^*$ [s]
SLO	30	0,052	2,453	0,260
SLD	50	0,069	2,391	0,269
SLV	475	0,161	2,595	0,277
SLC	975	0,206	2,540	0,283

**Tabella 249.** Valori di  $a_g$ ,  $F_0$  e  $T_c^*$  in funzione dei vari stati limite

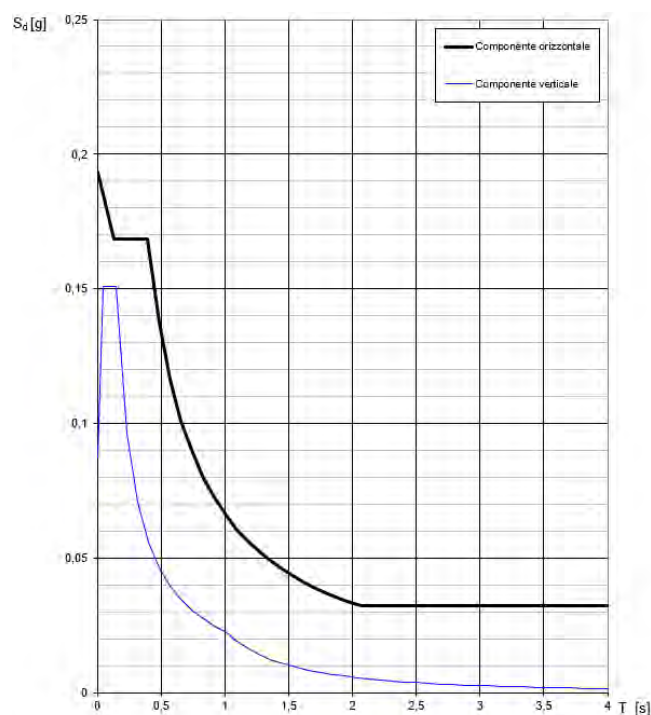


### 1.17.3.2. Spettri di risposta



**Figura 142.** Spettri di risposta elastici per i diversi stati limite

Con l'utilizzo del fattore di comportamento e dei parametri sismici dipendenti dal tipo di struttura in esame, precedentemente calcolati, si sono determinati gli spettri di calcolo agli stati limite SLV e SLD. Nel caso di utilizzo di isolatori sismici si farà riferimento allo spettro ad SLV per la sovrastruttura e ad SLC per gli isolatori. Tali spettri saranno opportunamente scalati in funzione dello smorzamento e del periodo scelto.



**Figura 143.** Spettri di risposta (componenti orizz.\_vert.) per lo SLV



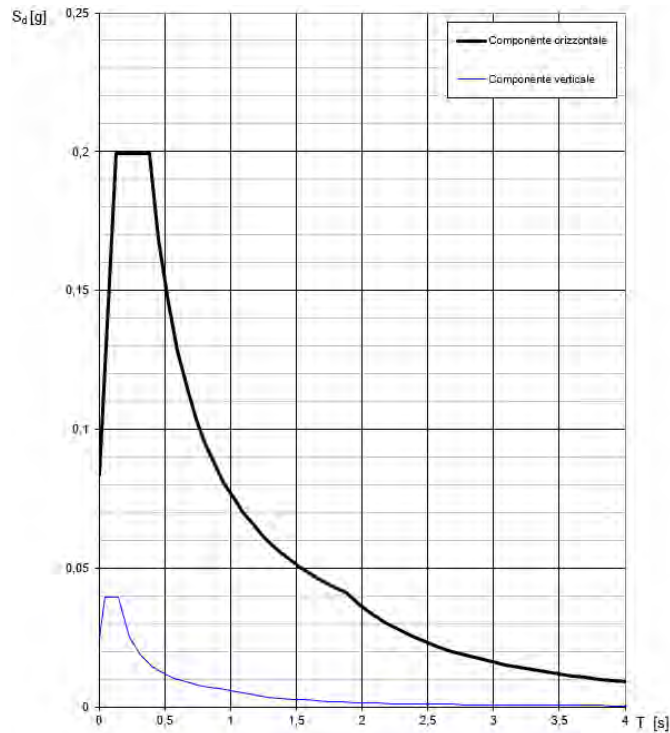


Figura 144. Spettri di risposta (componenti orizz.\_vert.) per lo SLD

#### 1.17.4. Carichi di progetto

##### 1.17.4.1. Carico della neve

Tale calcolo viene effettuato ai sensi di DM del 17 Gennaio 2018 "Norme tecniche per le costruzioni" e della Circolare Ministeriale Applicativa del 21 Gennaio 2019. Il carico neve sulle coperture è valutato con la seguente espressione:

$$q_s = \mu_i * q_{sk} * C_e *$$

dove:

- $\mu_i$  è il coefficiente di forma della copertura;

Coefficiente di forma	$0^\circ \leq \alpha \leq 30^\circ$	$30^\circ < \alpha < 60^\circ$	$\alpha \geq 60^\circ$
$\mu_1$	0,8	$0,8 \cdot \frac{(60 - \alpha)}{30}$	0,0

Tabella 250. Tab. 3.4.II – Valori dei coefficienti di forma

- $q_{sk}$  è il valore di riferimento del carico neve al suolo e dipende dalla zona climatica e dall'altitudine di riferimento del sito  $a_s$ , se è maggiore o inferiore a 200 m;

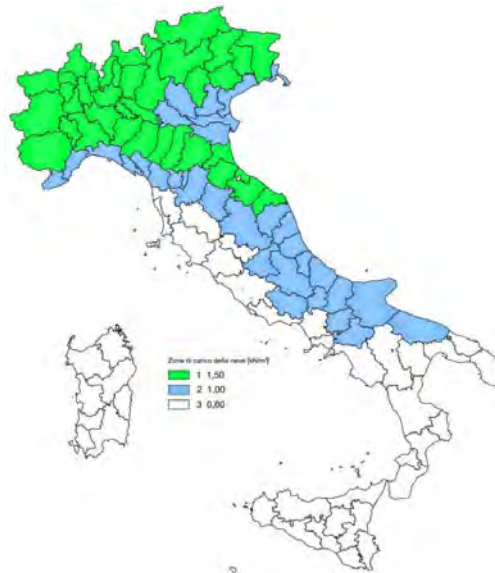


Figura 145. Zone di carico della neve

- $C_e$  è il coefficiente di esposizione che viene utilizzato per modificare il carico neve in funzione delle caratteristiche dell'area in cui sorge l'opera;

Topografia	Descrizione	$C_e$
Battuta dai venti	Aree pianeggianti non ostruite esposte su tutti i lati, senza costruzioni o alberi più alti	0,9
Normale	Aree in cui non è presente una significativa rimozione di neve sulla costruzione prodotta dal vento, a causa del terreno, altre costruzioni o alberi	1,0
Riparata	Aree in cui la costruzione considerata è sensibilmente più bassa del circostante terreno o circondata da costruzioni o alberi più alti	1,1

Tabella 251. Tab. 3.4.I – Valori di  $C_z$  per diverse classi di esposizione

- $C_t$  è il coefficiente termico, generalmente assunto pari a 1;

Si assume che la neve non sia impedita di scivolare e si calcola il valore del carico neve in copertura:

Zona	$s_s$ (m)	$q_{sk}$ (daN/m <sup>2</sup> )	$\mu_i$	$C_e$	$C_t$	$q_s$ (daN/m <sup>2</sup> )
III	290	70	0,8	1	1	56

Tabella 252. Determinazione del carico da neve in copertura

#### 1.17.4.2. Carico del vento

La velocità base di riferimento del vento  $v_b$  è il valore medio su 10 minuti, a 10 m di altezza sul suolo su un terreno pianeggiante e omogeneo di categoria di esposizione II, riferito ad un periodo di ritorno  $T_r = 50$  anni, ed è pari a:

$$v_b = v_{b0} * c_a$$

dove:

- $v_{b0}$  è la velocità base di riferimento al livello del mare, assegnata nella Tab.3.3.I in funzione della zona in cui sorge la costruzione;

- $c_a$  è il coefficiente di altitudine fornito dalla relazione

$$c_a = 1 \quad \text{per } a_s \leq a_0$$

$$c_a = 1 + k_s * (a_s/a_0 - 1) \quad \text{per } a_0 < a_s \leq 1500 \text{ m}$$

dove:

- $a_0, k_s$  sono parametri forniti nella Tab.3.3.I in funzione della zona in cui sorge la costruzione;
- $a_s$  è l'altitudine sul livello del mare del sito ove sorge la costruzione.

Zona	Descrizione	$v_{b,0}$ [m/s]	$a_0$ [m]	$k_s$
1	Valle d'Aosta, Piemonte, Lombardia, Trentino Alto Adige, Veneto, Friuli Venezia Giulia (con l'eccezione della provincia di Trieste)	25	1000	0,40
2	Emilia Romagna	25	750	0,45
3	Toscana, Marche, Umbria, Lazio, Abruzzo, Molise, Puglia, Campania, Basilicata, Calabria (esclusa la provincia di Reggio Calabria)	27	500	0,37
4	Sicilia e provincia di Reggio Calabria	28	500	0,36
5	Sardegna (zona a oriente della retta congiungente Capo Teulada con l'Isola di Maddalena)	28	750	0,40
6	Sardegna (zona a occidente della retta congiungente Capo Teulada con l'Isola di Maddalena)	28	500	0,36
7	Liguria	28	1000	0,54
8	Provincia di Trieste	30	1500	0,50
9	Isole (con l'eccezione di Sicilia e Sardegna) e mare aperto	31	500	0,32



**Figura 146.** Valori dei parametri  $v_{b0}, a_0, k_s$

**Figura 147.** Mappa delle zone in cui è suddiviso il territorio italiano

La velocità di riferimento  $v_r$  è il valore medio su 10 minuti, a 10 m di altezza dal suolo su un terreno pianeggiante e omogeneo di categoria di esposizione II, riferito al periodo di ritorno di progetto  $T_r$ .

$$v_r = v_b * c_r$$

- $v_b$  è la velocità base di riferimento al livello del mare, assegnata
- $c_r$  è il coefficiente di ritorno, funzione del periodo di ritorno di progetto  $T_r$  fornito dalla relazione

$$c_r = 0.75 * \sqrt{1 - 0.2 * \ln[-\ln * (1 - 1/T_r)]}$$

Quindi:

$v_{b0}$ (m/s)	$a_s$	$c_a$	$v_b$	$T_r$	$c_r$	$v_r$ (m/s)
27	290	1	27	50	1,0007	27.02

La pressione del vento è data dall'espressione:

$$p = q_r * c_e * c_p * c_d$$

dove:

- $q_r$  è la pressione cinetica di riferimento data dall'espressione

$$q_r = \frac{1}{2} * \rho * v_r^2 \quad \text{in cui } \rho \text{ è la densità dell'aria pari a } 1.25 \text{ kg/m}^3$$

- $c_e$  è il coefficiente di esposizione che dipende dall'altezza  $z$  sul suolo del punto considerato, dalla topografia del terreno e dalla categoria di esposizione del sito ove sorge la costruzione. Per altezze sul suolo non maggiori di 200 m è dato dalla formula:

$$c_e(z) = k_r^2 * c_t * \ln(z/z_0) * [7 + c_t * \ln(z/z_0)] \quad \text{per } z \geq z_{\min}$$

$$c_e(z) = c_e(z_{\min}) \quad \text{per } z < z_{\min}$$

dove:

- $k_r$ ,  $z_0$ ,  $z_{\min}$  sono assegnati in Tab.3.3.II in funzione della categoria di esposizione del sito.
- $c_t$  è il coefficiente di topografia, posto generalmente uguale a 1.

Categoria di esposizione del sito	$K_r$	$z_0$ [m]	$z_{\min}$ [m]
I	0,17	0,01	2
II	0,19	0,05	4
III	0,20	0,10	5
IV	0,22	0,30	8
V	0,23	0,70	12

**Tabella 253.** Parametri per la definizione del coefficiente di esposizione

Classe di rugosità del terreno	Descrizione
A	Aree urbane in cui almeno il 15% della superficie sia coperto da edifici la cui altezza media non superi i 15 m
B	Aree urbane (non di classe A), suburbane, industriali e boschive
C	Aree con ostacoli diffusi (alberi, case, muri, recinzioni...); aree con rugosità non riconducibile alle classi A, B, e D
D	a) Mare e relativa fascia costiera (entro 2 km dalla costa); b) Lago (con larghezza massima pari ad almeno 1 km) e relativa fascia costiera (entro 1 km dalla costa); c) Aree prive di ostacoli o con al più rari ostacoli isolati (aperta campagna, aeroporti, aree agricole, pascoli, zone paludose o sabbiose, superfici innevate o ghiacciate, ...)

**Tabella 254.** Classi di rugosità del terreno

ZONE 1,2,3,4,5						
	costa	mare	2 km	10 km	30 km	750m
A	--	IV	IV	V	V	V
B	--	III	III	IV	IV	IV
C	--	*	III	III	IV	IV
D	I	II	II	II	III	**
* Categoria II in zona 1,2,3,4 Categoria III in zona 5						
** Categoria III in zona 2,3,4,5 Categoria IV in zona 1						

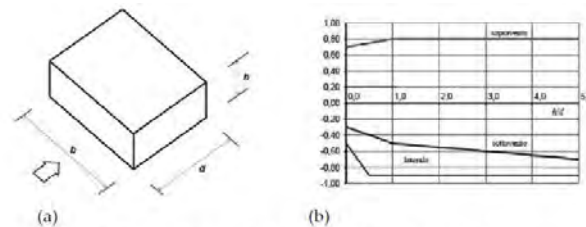
**Tabella 255.** Definizione delle categorie di esposizione

$q_r$	Rugosità	Esposizione	$c_e(z)$	$c_e(z_{\min})$
456	B	III	2,311	1,708

**Tabella 256.** Definizione dei coefficienti di esposizione

- $c_p$  è il coefficiente di pressione e dipende dalla tipologia, dalla geometria della costruzione e dal suo orientamento rispetto alla direzione del vento. Il coefficiente globale  $c_{pe}$  che può essere

utilizzato in tutti i casi in cui la rappresentazione delle azioni aereodinamiche del vento possa essere effettuata in maniera semplificata, rivolta alla valutazione delle azioni globali su porzioni estese di costruzioni o delle risultanti delle azioni indotte dal vento sugli elementi principali della struttura. I coefficienti  $c_{pe}$  da assumere sulle pareti dell'edificio a pianta rettangolare sono diagrammati in base al rapporto  $h/d$ , avendo indicato con  $h$  l'altezza del manufatto e con  $d$  la profondità dell'edificio, valutata parallelamente al flusso di lavoro:



a) Parametri caratteristici di edifici a pianta rettangolare,  
b) Edifici a pianta rettangolare:  $c_{pe}$  per facce sopravvento, sottovento e laterali  
Figura C3.3.2

Tabella C3.3.I: Edifici a pianta rettangolare:  $c_{pe}$  per facce sopravvento, sottovento e laterali

Facciata sopravvento	$C_U = 2,0$	$C_U = 1,5$
$h/d \leq 1$ : $c_{pe} = 0,7 + 0,1 \cdot h/d$	$h/d \leq 0,5$ : $c_{pe} = -0,5 - 0,8 \cdot h/d$	$h/d \leq 1$ : $c_{pe} = -0,3 - 0,2 \cdot h/d$
$h/d > 1$ : $c_{pe} = 0,8$	$h/d > 0,5$ : $c_{pe} = -0,9$	$1 < h/d \leq 5$ : $c_{pe} = -0,5 - 0,05 \cdot (h/d - 1)$

Tabella 257. Coefficienti di pressione delle facciate secondo NTC2018

Quindi i coefficienti per le facce sopravvento e sottovento sono:

b	d	h	h/d	$C_{pe}$ -sopravvento	$C_{pe}$ -sottovento
15,7	13	13	1,00	0,80	-0,50

Tabella 258. Definizione dei coefficienti di pressione

## COPERTURA PIANA

Per la copertura piana, l'altezza di riferimento  $z_e$  è pari alla quota massima della copertura stessa, inclusa la presenza dei parapetti e di altri analoghi elementi. I coefficienti globali  $c_{pe}$  da assumere sulle coperture di un edificio a pianta rettangolare sono riportati di seguito:

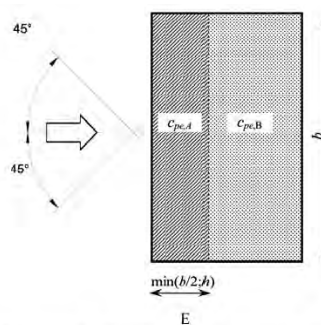


Figura C3.3.5 - Schema di riferimento per coperture piane

Tabella C3.3.III - Edifici rettangolari:  $c_{pe}$  per coperture piane.

Fascia sopravvento di profondità pari al minimo tra $b/2$ e $h$ :	$c_{pe,A} = -0,80$
Restanti zone	$c_{pe,B} = \pm 0,20$

Figura 148. Definizione  $c_{pe}$  per coperture piano



Le pressioni interne agli edifici dipendono dalla superficie delle aperture che questi presentano verso l'esterno. Nel caso in esame si assumono valori del coefficiente di pressione interno pari a  $c_{pi} = +0,2$  e  $c_{pi} = -0,30$ , considerando il caso che di volta in volta conduce alla situazione maggiormente gravosa.

- $c_d$  è il coefficiente dinamico e può essere assunto cautelativamente pari a 1 nelle costruzioni di tipologia ricorrente quali gli edifici di forma regolare non eccedenti 80 m in altezza e capannoni industriali.

In funzione dei coefficienti analizzati e della pressione cinetica di riferimento, si calcola la pressione del vento per la copertura e per le facciate sopravento e sottovento considerando i valori massimi e minimi.

<b>Facciata</b>	<b>Sopravento</b>	<b>Sottovento</b>
$p_{min}$ (daN/m <sup>2</sup> )	467	-623
$p_{max}$ (daN/m <sup>2</sup> )	633	-843
<b>Copertura</b>	<b>Sopravento</b>	<b>Sottovento</b>
$p$ (daN/m <sup>2</sup> )	-1160	-527

#### **1.17.5. Interventi per il miglioramento sismico – edifici in muratura**

Gli interventi previsti per la riduzione del rischio sismico si dividono in:

- interventi che possono consentire il miglioramento di almeno due Classi di Rischio o l'adeguamento sismico.

La tipologia di interventi considerati riguarda l'utilizzo di:

- cappotto sismico applicato alle pareti esterne dell'edificio.

Questa tipologia di interventi, viene presa in considerazione nel caso in cui le lavorazioni vengono eseguite senza dover in alcun modo evacuare gli inquilini dell'edificio, e quando la struttura risulta regolare in pianta e in altezza. Per gli edifici in cemento armato, nel caso di struttura a telai in entrambe le direzioni, è prevista la possibilità di ritenere valido il passaggio di più Classi di Rischio con la possibilità di raggiungere l'adeguamento sismico a seconda della tipologia di struttura.

##### **1.17.5.1. Sintesi degli interventi previsti**

##### **CAPPOTTO SISMICO**

---

Il cappotto sismico viene applicato sulle facciate esterne dell'edificio al fine di realizzare una nuova "pelle" sismo-resistente. E' costituito da una lastra sottile in calcestruzzo armato gettato in opera all'interno di due strati di materiale isolante, preinseriti in una maglia tridimensionale in acciaio zincato. La lastra in calcestruzzo può avere spessori variabili in base alla tipologia di intervento e nel caso in esame si ipotizza uno spessore di circa 8-10 cm; a livello delle travi esterne di piano si realizza un nuovo cordolo dello spessore della lastra più la larghezza dello strato di isolante addossato alla parete di circa 4 cm.

Il getto e l'armatura di rinforzo vengono resi solidali alla struttura esistente mediante, sia l'inserimento di connettori disposti a livello dei cordoli di piano e, se necessario, sui pilastri, sia disponendo opportuni ancoraggi sulla fondazione esistente o su una nuova fondazione addossata a quella esistente

La maglia tridimensionale in acciaio zincato consente di semplificare le operazioni di posa in opera delle armature strutturali, di minimizzare gli sfridi di cantiere e di realizzare uno strato di finitura ad intonaco particolarmente solida che garantisce la massima protezione del materiale isolante da urti accidentali ed agenti atmosferici.

Le norme NTC18 trattano le pareti in calcestruzzo soltanto per quanto riguarda le prescrizioni da seguire per strutture a comportamento dissipativo. Le lastre in calcestruzzo vengono invece dimensionate per garantire un comportamento elastico e non dissipativo nei confronti dell'azione sismica di progetto, rientrando nella tipologia di "strutture non dissipative". Per questo motivo le verifiche in resistenza degli elementi in calcestruzzo vengono effettuate seguendo l'approccio

fornito dalla norma per gli elementi strutturali a comportamento non dissipativo, contenute nel capitolo 4 delle NTC18 mentre le prescrizioni contenute nel capitolo 7 non risultano vincolanti per il dimensionamento delle pareti.

Per quanto riguarda le connessioni tra edificio esistente e cappotto sismico, la valutazione analitica della resistenza degli ancoraggi metallici per calcestruzzo può essere effettuata secondo le linee guida definite dal documento ETAG001-1997: "Linee guida per il benessere tecnico europeo di ancoraggi metallici da utilizzare nel calcestruzzo" e dai relativi allegati.

#### **1.17.6. Conclusioni**

Per quanto concerne gli aspetti prettamente strutturali, l'intervento di miglioramento sismico adottato per la tipologia oggetto della presente relazione, prevede l'utilizzo di un cappotto sismico, un sistema integrato di rafforzamento strutturale e miglioramento del benessere termoigrometrico dell'edificio. Questo intervento, oltre a non interrompere il normale esercizio della struttura permette la riduzione delle tempistiche del cantiere, in quanto i moduli da applicare sulle pareti esterne, risultano prefabbricati e sono comprensivi delle varie forometrie; in cantiere, l'attività sarà quella di prevedere il collegamento con la struttura esistente e la realizzazione del getto all'interno del cassero e, se necessario, il getto armato della nuova porzione di fondazione.

Gli interventi strutturali previsti sono mirati al miglioramento sismico attraverso l'incremento di almeno due Classi di Rischio o l'adeguamento sismico, da valutare nel dettaglio nelle fasi progettuali successive. Con ciò si intende il miglioramento del rischio della costruzione con incidenza sul valore PAM e sulla capacità che la struttura possiede rispetto allo stato limite della salvaguardia sulla vita. Tale valore è stato valutato come rapporto tra PGAa (SLV) anteoperam e la PGAp (SLV) postoperam, determinata attraverso il metodo convenzionale nel rispetto della normativa vigente (NTC 2018) e della circolare ministeriale applicativa del 21 gennaio 2019.

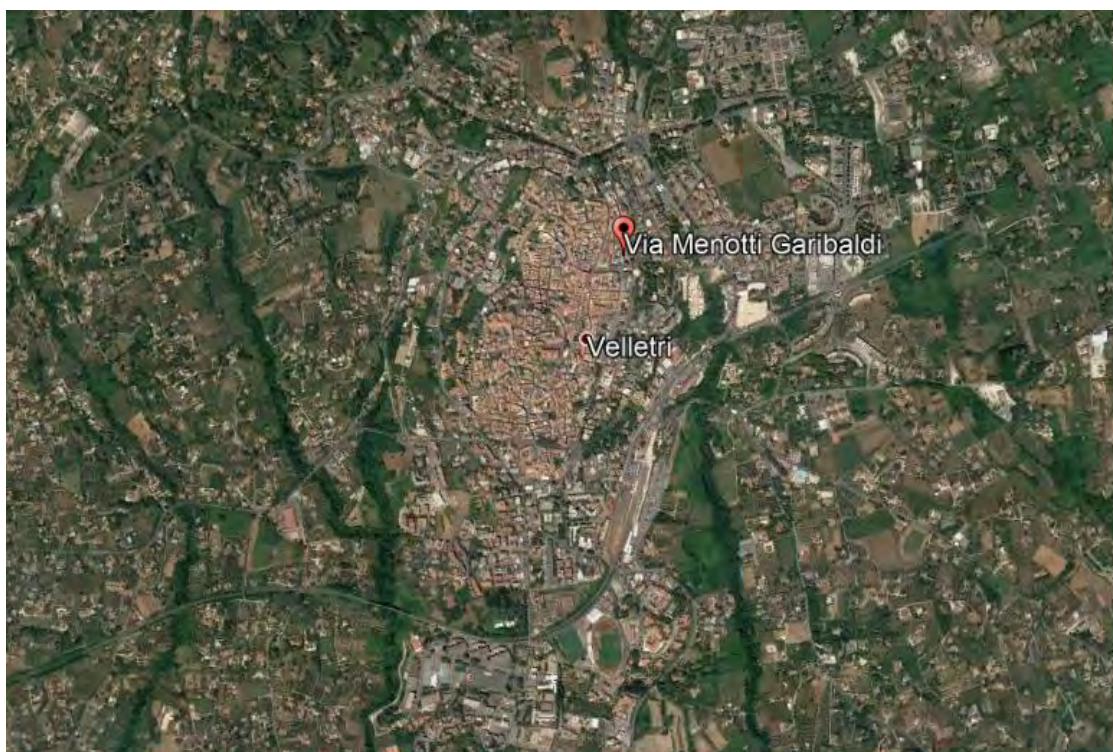
## 1.18. Tipologia VE18

### 1.18.1. Individuazione dei siti in esame

Di seguito si riporta una tabella che riassume i parametri generali del sito in esame, con gli identificativi e le coordinate dei punti che includono gli edifici.

Provincia	Comune	Tipologia	Via	Latitudine	Longitudine
Roma	Velletri	VE18	Via Menotti Garibaldi 57	41.4122°	12.4648°
Roma	Velletri	VE18	Via Menotti Garibaldi 59	41.4122°	12.4648°

**Tabella 259.** Parametri generali del sito in esame



**Figura 149.** Individuazione del sito in esame (immagine da google earth)

### 1.18.2. Determinazione della categoria di sottosuolo

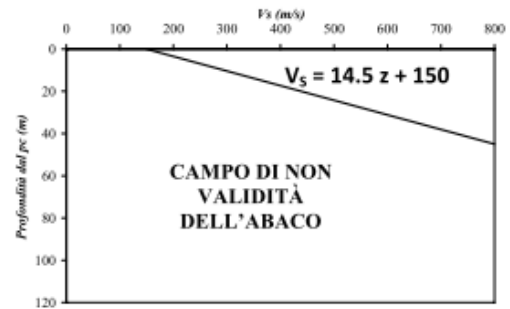
Per la determinazione della categoria di sottosuolo, in assenza di indagini geologiche specifiche per ogni intervento da realizzare, è possibile stimare in via preliminare e con le approssimazioni del caso, la velocità delle onde VS facendo specifico riferimento agli abachi regionali di microzonazione sismica ai sensi della DGR Lazio n. 545 del 26 novembre 2010, forniti sul portale della Regione Lazio. Nello specifico andando ad individuare la carta delle microzone omogenee in prospettiva sismica per il comune di interesse, è possibile risalire alla tipologia del sottosuolo e relativo spessore. Dalla carta riportata in figura 2, si evidenzia che il sito oggetto del presente studio ricade all'interno delle zone stabili suscettibili di amplificazione sismica (Zona 1) che sono caratterizzate dalla presenza depositi piroclastici. In funzione di questo, entrando in via approssimativa nell'abaco ( $V_s/h$ ) riportato in figura 2, relativo alle ghiaie alluvionali, detritiche e sabbie di alterazione, si



determina il valore di  $V_s$  che viene utilizzato per la stima approssimata della categoria di sottosuolo entrando nella tabella 3.2.II del D.M. 17 Gennaio 2018.

<b>GHIAIE ALLUVIONALI</b> <b>GHIAIE DETRITICHE</b> <b>SABBIE DI ALTERAZIONE DA ARENARIE</b> <b>SABBIE DI ALTERAZIONE DA TRAVERTINI</b> <b>SABBIE DI ALTERAZIONI DA TUFI VULCANICI</b>										
FH <sub>0,1-0,5</sub>	Velocità media $V_{SH}$ (m/s)									
	180	250	300	360	400	450	500	600	700	
5	1.3	1.2	1.1	1.1	1.1	1.1	1.0	1.0	1.0	
10			1.4	1.4	1.2	1.2	1.1	1.1	1.0	
15			1.6	1.5	1.3	1.3	1.2	1.1	1.1	
20			1.7	1.6	1.4	1.3	1.2	1.1	1.1	
25			1.6	1.5	1.5	1.4	1.3	1.2	1.1	
30			1.5	1.5	1.5	1.4	1.3	1.2	1.1	
35				1.4	1.4	1.3	1.3	1.2	1.1	
40					1.4	1.3	1.3	1.2	1.1	
45						1.3	1.2	1.2	1.1	

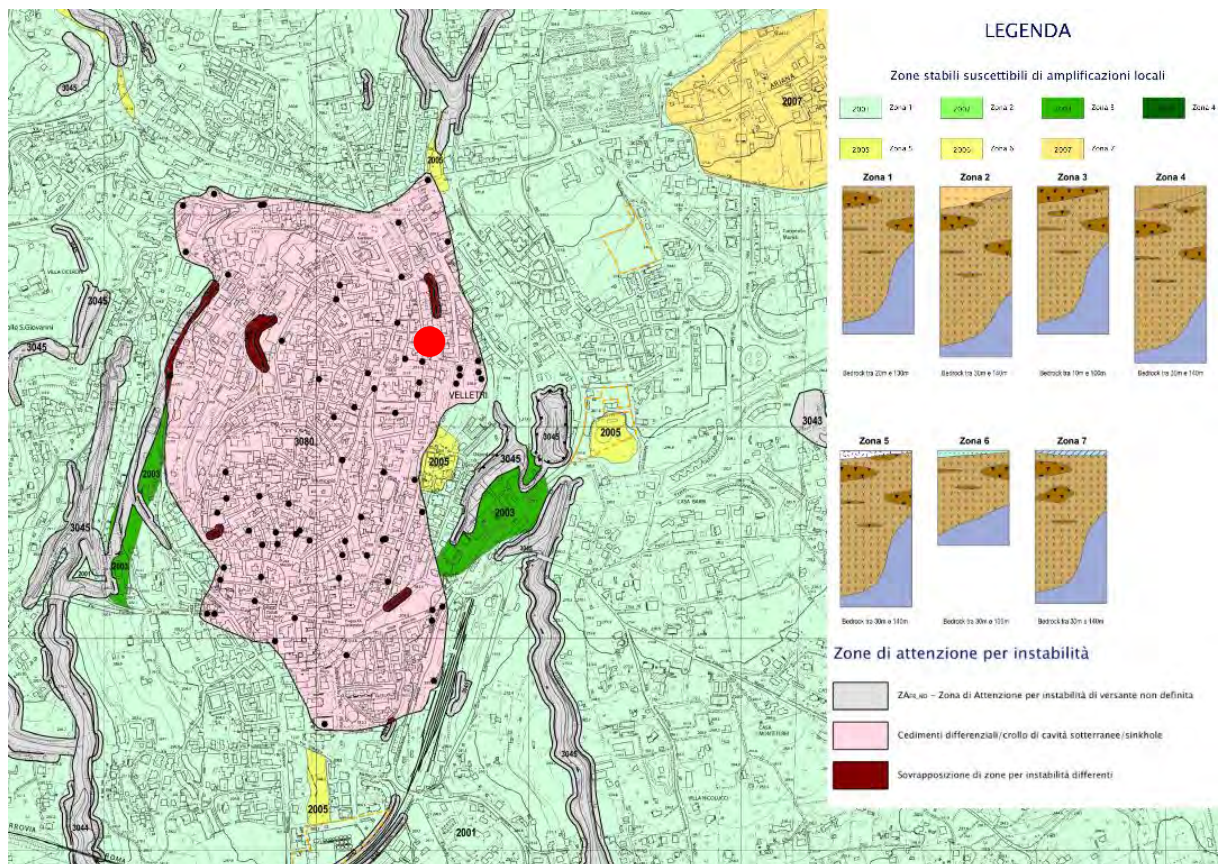
**GRADIENTE DI VELOCITA' PER VALIDITA' ABACO**



**Tabella 260.** Abaco per le ghiaie alluvionali, detritiche e sabbie di alterazione

Nello specifico facendo riferimento all'andamento della velocità  $V_s$  con la profondità  $z$  dello strato dal piano campagna, si ottiene un valore delle velocità  $V_s$  pari a:

$$V_s = 14.5 * z + 150 = 512 \text{ m/s}$$



**Figura 150.** Zona omogenea in prospettiva sismica



In relazione alle formulazioni sopra riportate avendo ottenuto un valore delle Vs pari a 512 m/s ed entrando nella tabella 3 sotto riportata si ottiene una categoria di sottosuolo B “*Depositi di terreni a grana grossa molto addensati o terreni a grana fina molto consistenti*”.

Per le condizioni topografiche che nel caso specifico si configurano in superficiali semplici si può adottare la classificazione riportata nella tabella 4 e nello specifico si ricade nella categoria T1.

Categoria	Descrizione
A	Ammassi rocciosi affioranti o terreni molto rigidi caratterizzati da valori di velocità delle onde di taglio superiori a 800 m/s, eventualmente comprendenti in superficie terreni di caratteristiche meccaniche più scadenti con spessore massimo pari a 3 m.
B	Rocce tenere e depositi di terreni a grana grossa molto addensati o terreni a grana fina molto consistenti, caratterizzati da un miglioramento delle proprietà meccaniche con la profondità e da valori di velocità equivalente compresi tra 360 m/s e 800 m/s.
C	Depositi di terreni a grana grossa mediamente addensati o terreni a grana fina mediamente consistenti con profondità del substrato superiori a 30 m, caratterizzati da un miglioramento delle proprietà meccaniche con la profondità e da valori di velocità equivalente compresi tra 180 m/s e 360 m/s.
D	Depositi di terreni a grana grossa scarsamente addensati o di terreni a grana fina scarsamente consistenti, con profondità del substrato superiori a 30 m, caratterizzati da un miglioramento delle proprietà meccaniche con la profondità e da valori di velocità equivalente compresi tra 100 e 180 m/s.
E	Terreni con caratteristiche e valori di velocità equivalente riconducibili a quelle definite per le categorie C o D, con profondità del substrato non superiore a 30 m.

**Tabella 261.** Tab. 3.2.II – Categorie di sottosuolo che permettono l'utilizzo dell'approccio semplificato

Categoria	Caratteristiche della superficie topografica
T1	Superficie pianeggiante, pendii e rilievi isolati con inclinazione media $i \leq 15^\circ$
T2	Pendii con inclinazione media $i > 15^\circ$
T3	Rilievi con larghezza in cresta molto minore che alla base e inclinazione media $15^\circ \leq i \leq 30^\circ$
T4	Rilievi con larghezza in cresta molto minore che alla base e inclinazione media $i > 30^\circ$

**Tabella 262.** Tab. 3.2. III – Categorie topografiche

### 1.18.3. Analisi sismica

#### 1.18.3.1. Determinazione del fattore di comportamento q

Si riportano in dettaglio le caratteristiche principali della struttura in esame, utili per il calcolo del fattore di comportamento q e dell'azione sismica.

Classe d'uso	Vita nominale	Coeff. Uso	Duttilità	Regolarità in pianta	Regolarità in altezza	Tipologia strutturale
II	50	1	B	si	si	Muratura.

L'analisi strutturale per azioni sismiche utilizzata per la verifica è del tipo lineare (cap. 7.3.1 NTC 2018). Per sistemi non dissipativi (SLE), gli effetti delle azioni sono calcolati riferendosi ad uno spettro di progetto ottenuto assumendo un fattore di comportamento  $q=1$  per lo stato limite di operatività (SLO) (cap. 3.2.3.4 NTC 2018) e un fattore di comportamento  $q \leq 1.5$  per stato limite di danno (SLD) (cap. 3.2.3.5 NTC 2018). Per sistemi dissipativi (SLU), gli effetti delle azioni sono calcolati riferendosi ad uno spettro di progetto ottenuto assumendo un fattore di struttura  $q \geq 1.5$  (cap. 3.2.3.5 NTC 2018).

Il calcolo del fattore di comportamento per i sistemi dissipativi è stato eseguito seguendo quanto riportato al capitolo 7 delle NTC 2018 in funzione dei parametri generali della struttura in esame. Si riportano, in tabella, i valori del fattore di comportamento utili per la valutazione dell'azione sismica nelle tre direzioni:

$q_0$	$\alpha_u/\alpha_i$	$k_r$	$q_x$	$q_y$	$q_z$
$1,75^* \alpha_u/\alpha_i$	1,7	1	2,975	2,975	1,5

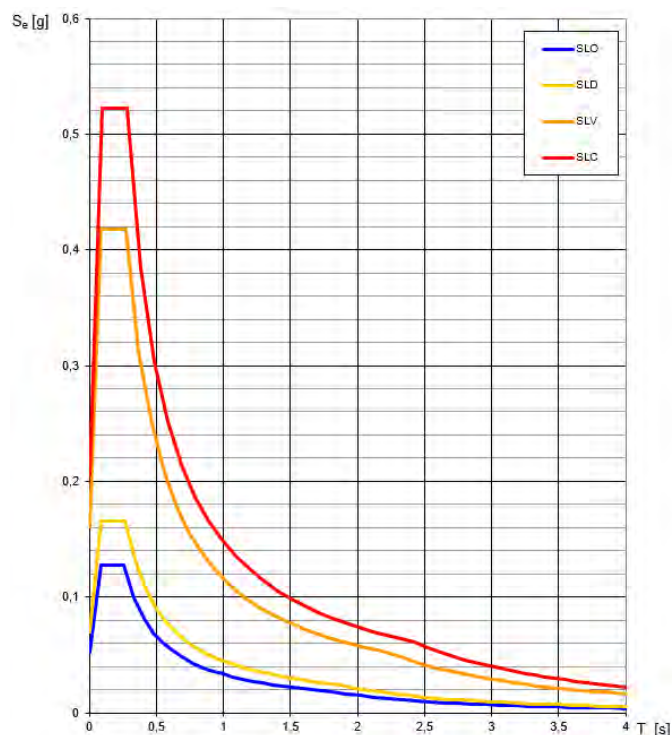
L'azione sismica viene definita in relazione ad un periodo di riferimento  $V_r$  che si ricava, per ciascun tipo di costruzione, moltiplicandone la vita nominale per il coefficiente d'uso. Fissato il periodo di riferimento  $V_r$  e la probabilità di superamento  $P_{ver}$  associata a ciascuno degli stati limite considerati, si ottiene il periodo di ritorno  $T_r$  e i relativi parametri di pericolosità sismica:

- $a_g$ : accelerazione orizzontale massima del terreno;
- $F_0$ : valore massimo del fattore di amplificazione dello spettro in accelerazione orizzontale;
- $T_c^*$ : periodo di inizio del tratto a velocità costante dello spettro in accelerazione orizzontale.

SLATO LIMITE	$T_R$ [anni]	$a_g$ [g]	$F_0$ [-]	$T_c^*$ [s]
SLO	30	0,052	2,453	0,260
SLD	50	0,069	2,391	0,269
SLV	475	0,161	2,595	0,277
SLC	975	0,206	2,540	0,283

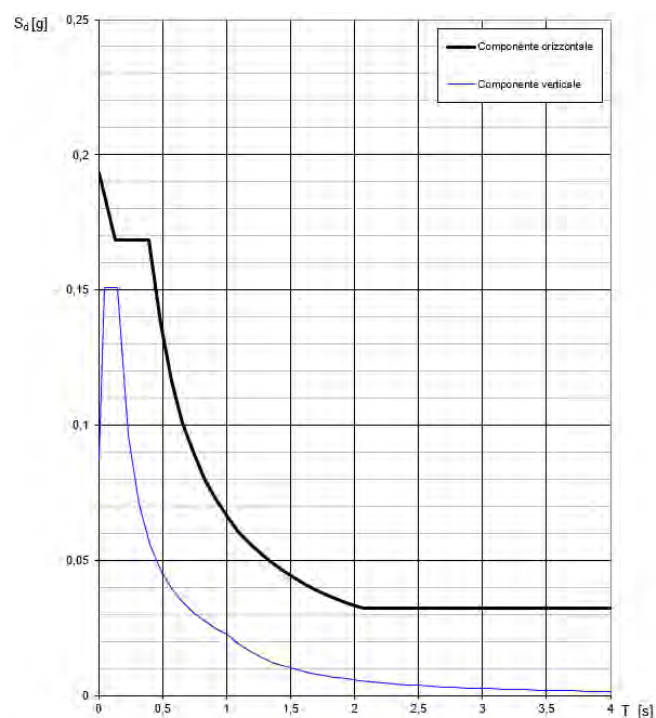
**Tabella 263.** Valori di  $a_g$ ,  $F_0$  e  $T_c^*$  in funzione dei vari stati limite

### 1.18.3.2. Spettri di risposta



**Figura 151.** Spettri di risposta elastici per i diversi stati limite

Con l'utilizzo del fattore di comportamento e dei parametri sismici dipendenti dal tipo di struttura in esame, precedentemente calcolati, si sono determinati gli spettri di calcolo agli stati limite SLV e SLD. Nel caso di utilizzo di isolatori sismici si farà riferimento allo spettro ad SLV per la sovrastruttura e ad SLC per gli isolatori. Tali spettri saranno opportunamente scalati in funzione dello smorzamento e del periodo scelto.



**Figura 152.** Spettri di risposta (componenti orizz.\_vert.) per lo SLV

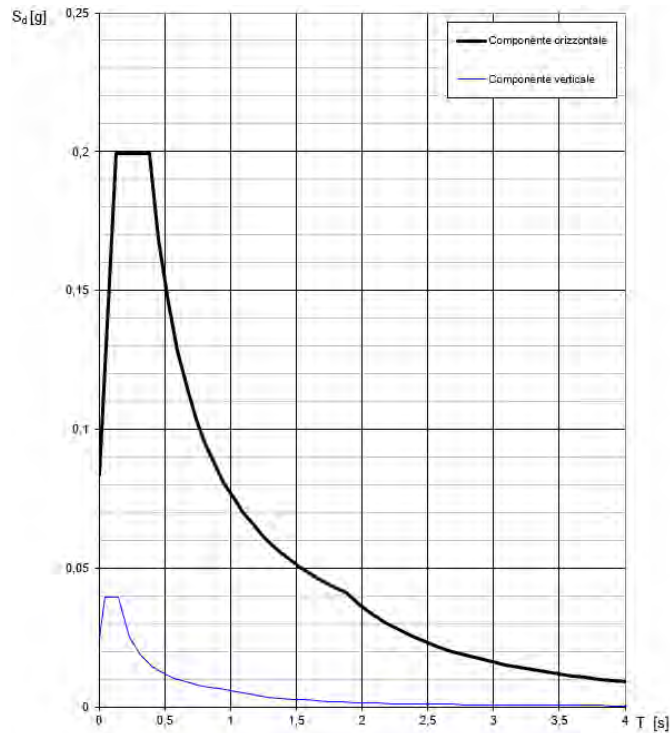


Figura 153. Spettri di risposta (componenti orizz.\_vert.) per lo SLD

#### 1.18.4. Carichi di progetto

##### 1.18.4.1. Carico della neve

Tale calcolo viene effettuato ai sensi di DM del 17 Gennaio 2018 "Norme tecniche per le costruzioni" e della Circolare Ministeriale Applicativa del 21 Gennaio 2019. Il carico neve sulle coperture è valutato con la seguente espressione:

$$q_s = \mu_i * q_{sk} * C_e *$$

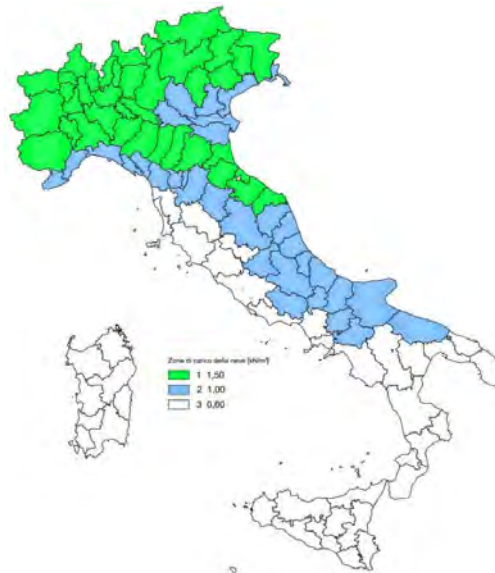
dove:

- $\mu_i$  è il coefficiente di forma della copertura;

Coefficiente di forma	$0^\circ \leq \alpha \leq 30^\circ$	$30^\circ < \alpha < 60^\circ$	$\alpha \geq 60^\circ$
$\mu_1$	0,8	$0,8 \cdot \frac{(60 - \alpha)}{30}$	0,0

Tabella 264. Tab. 3.4.II – Valori dei coefficienti di forma

- $q_{sk}$  è il valore di riferimento del carico neve al suolo e dipende dalla zona climatica e dall'altitudine di riferimento del sito  $a_s$ , se è maggiore o inferiore a 200 m;



**Figura 154.** Zone di carico della neve

- $C_e$  è il coefficiente di esposizione che viene utilizzato per modificare il carico neve in funzione delle caratteristiche dell'area in cui sorge l'opera;

Topografia	Descrizione	$C_e$
Battuta dai venti	Aree pianeggianti non ostruite esposte su tutti i lati, senza costruzioni o alberi più alti	0,9
Normale	Aree in cui non è presente una significativa rimozione di neve sulla costruzione prodotta dal vento, a causa del terreno, altre costruzioni o alberi	1,0
Riparata	Aree in cui la costruzione considerata è sensibilmente più bassa del circostante terreno o circondata da costruzioni o alberi più alti	1,1

**Tabella 265.** Tab. 3.4.I – Valori di  $C_z$  per diverse classi di esposizione

- $C_t$  è il coefficiente termico, generalmente assunto pari a 1;

Si assume che la neve non sia impedita di scivolare e si calcola il valore del carico neve in copertura:

Zona	$s_s$ (m)	$q_{sk}$ (daN/m <sup>2</sup> )	$\mu_i$	$C_e$	$C_t$	$q_s$ (daN/m <sup>2</sup> )
III	355	79	0,8	1	1	63

**Tabella 266.** Determinazione del carico da neve in copertura

#### 1.18.4.2. Carico del vento

La velocità base di riferimento del vento  $v_b$  è il valore medio su 10 minuti, a 10 m di altezza sul suolo su un terreno pianeggiante e omogeneo di categoria di esposizione II, riferito ad un periodo di ritorno  $T_r = 50$  anni, ed è pari a:

$$v_b = v_{b0} * c_a$$

dove:

- $v_{b0}$  è la velocità base di riferimento al livello del mare, assegnata nella Tab.3.3.I in funzione della zona in cui sorge la costruzione;



- $c_a$  è il coefficiente di altitudine fornito dalla relazione

$$c_a = 1 \quad \text{per } a_s \leq a_0$$

$$c_a = 1 + k_s * (a_s/a_0 - 1) \quad \text{per } a_0 < a_s \leq 1500 \text{ m}$$

dove:

- $a_0, k_s$  sono parametri forniti nella Tab.3.3.I in funzione della zona in cui sorge la costruzione;
- $a_s$  è l'altitudine sul livello del mare del sito ove sorge la costruzione.

Zona	Descrizione	$v_{b,0}$ [m/s]	$a_0$ [m]	$k_s$
1	Valle d'Aosta, Piemonte, Lombardia, Trentino Alto Adige, Veneto, Friuli Venezia Giulia (con l'eccezione della provincia di Trieste)	25	1000	0,40
2	Emilia Romagna	25	750	0,45
3	Toscana, Marche, Umbria, Lazio, Abruzzo, Molise, Puglia, Campania, Basilicata, Calabria (esclusa la provincia di Reggio Calabria)	27	500	0,37
4	Sicilia e provincia di Reggio Calabria	28	500	0,36
5	Sardegna (zona a oriente della retta congiungente Capo Teulada con l'Isola di Maddalena)	28	750	0,40
6	Sardegna (zona a occidente della retta congiungente Capo Teulada con l'Isola di Maddalena)	28	500	0,36
7	Liguria	28	1000	0,54
8	Provincia di Trieste	30	1500	0,50
9	Isole (con l'eccezione di Sicilia e Sardegna) e mare aperto	31	500	0,32



**Figura 155.** Valori dei parametri  $v_{b,0}$ ,  $a_0$ ,  $k_s$

**Figura 156.** Mappa delle zone in cui è suddiviso il territorio italiano

La velocità di riferimento  $v_r$  è il valore medio su 10 minuti, a 10 m di altezza dal suolo su un terreno pianeggiante e omogeneo di categoria di esposizione II, riferito al periodo di ritorno di progetto  $T_r$ .

$$v_r = v_b * c_r$$

- $v_b$  è la velocità base di riferimento al livello del mare, assegnata
- $c_r$  è il coefficiente di ritorno, funzione del periodo di ritorno di progetto  $T_r$  fornito dalla relazione

$$c_r = 0.75 * \sqrt{1 - 0.2 * \ln[-\ln * (1 - 1/T_r)]}$$

Quindi:

$v_{b,0}$ (m/s)	$a_s$	$c_a$	$v_b$	$T_r$	$c_r$	$v_r$ (m/s)
27	355	1	27	50	1,0007	27.02

La pressione del vento è data dall'espressione:

$$p = q_r * c_e * c_p * c_d$$

dove:

- $q_r$  è la pressione cinetica di riferimento data dall'espressione

$$q_r = \frac{1}{2} * \rho * v_r^2 \quad \text{in cui } \rho \text{ è la densità dell'aria pari a } 1.25 \text{ kg/m}^3$$

•  $c_e$  è il coefficiente di esposizione che dipende dall'altezza  $z$  sul suolo del punto considerato, dalla topografia del terreno e dalla categoria di esposizione del sito ove sorge la costruzione. Per altezze sul suolo non maggiori di 200 m è dato dalla formula:

$$c_e(z) = k_r^2 * c_t * \ln(z/z_0) * [7 + c_t * \ln(z/z_0)] \quad \text{per } z \geq z_{min}$$

$$c_e(z) = c_e(z_{min}) \quad \text{per } z < z_{min}$$

dove:

- $k_r$ ,  $z_0$ ,  $z_{min}$  sono assegnati in Tab.3.3.II in funzione della categoria di esposizione del sito.
- $c_t$  è il coefficiente di topografia, posto generalmente uguale a 1.

Categoria di esposizione del sito	$K_r$	$z_0$ [m]	$z_{min}$ [m]
I	0,17	0,01	2
II	0,19	0,05	4
III	0,20	0,10	5
IV	0,22	0,30	8
V	0,23	0,70	12

**Tabella 267.** Parametri per la definizione del coefficiente di esposizione

Classe di rugosità del terreno	Descrizione
A	Aree urbane in cui almeno il 15% della superficie sia coperto da edifici la cui altezza media non superi i 15 m
B	Aree urbane (non di classe A), suburbane, industriali e boschive
C	Aree con ostacoli diffusi (alberi, case, muri, recinzioni...); aree con rugosità non riconducibile alle classi A, B, e D
D	a) Mare e relativa fascia costiera (entro 2 km dalla costa); b) Lago (con larghezza massima pari ad almeno 1 km) e relativa fascia costiera (entro 1 km dalla costa); c) Aree prive di ostacoli o con al più rari ostacoli isolati (aperta campagna, aeroporti, aree agricole, pascoli, zone paludose o sabbiose, superfici innevate o ghiacciate, ...)

**Tabella 268.** Classi di rugosità del terreno

ZONE 1,2,3,4,5						
	costa	mare	2 km	10 km	30 km	750m
A	--	IV	IV	V	V	V
B	--	III	III	IV	IV	IV
C	--	*	III	III	IV	IV
D	I	II	II	II	III	**
* Categoria II in zona 1,2,3,4 Categoria III in zona 5						
** Categoria III in zona 2,3,4,5 Categoria IV in zona 1						

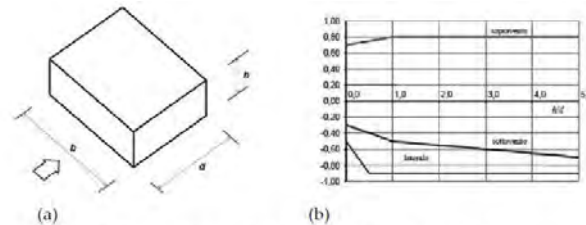
**Tabella 269.** Definizione delle categorie di esposizione

$q_r$	Rugosità	Esposizione	$c_e(z)$	$c_e(z_{min})$
456	B	III	2,407	1,708

**Tabella 270.** Definizione dei coefficienti di esposizione

•  $c_p$  è il coefficiente di pressione e dipende dalla tipologia, dalla geometria della costruzione e dal suo orientamento rispetto alla direzione del vento. Il coefficiente globale  $c_{pe}$  che può essere

utilizzato in tutti i casi in cui la rappresentazione delle azioni aereodinamiche del vento possa essere effettuata in maniera semplificata, rivolta alla valutazione delle azioni globali su porzioni estese di costruzioni o delle risultanti delle azioni indotte dal vento sugli elementi principali della struttura. I coefficienti  $c_{pe}$  da assumere sulle pareti dell'edificio a pianta rettangolare sono diagrammati in base al rapporto  $h/d$ , avendo indicato con  $h$  l'altezza del manufatto e con  $d$  la profondità dell'edificio, valutata parallelamente al flusso di lavoro:



a) Parametri caratteristici di edifici a pianta rettangolare,  
b) Edifici a pianta rettangolare:  $c_{pe}$  per facce sopravvento, sottovento e laterali  
Figura C3.3.2

Tabella C3.3.I: Edifici a pianta rettangolare:  $c_{pe}$  per facce sopravvento, sottovento e laterali

Faccia sopravvento	$C_U = 2,0$	$C_U = 1,5$
$h/d \leq 1$ : $c_{pe} = 0,7 + 0,1 \cdot h/d$	$h/d \leq 0,5$ : $c_{pe} = -0,5 - 0,8 \cdot h/d$	$h/d \leq 1$ : $c_{pe} = -0,3 - 0,2 \cdot h/d$
$h/d > 1$ : $c_{pe} = 0,8$	$h/d > 0,5$ : $c_{pe} = -0,9$	$1 < h/d \leq 5$ : $c_{pe} = -0,5 - 0,05 \cdot (h/d - 1)$

Tabella 271. Coefficienti di pressione delle facciate secondo NTC2018

Quindi i coefficienti per le facce sopravvento e sottovento sono:

b	d	h	h/d	$C_{pe}$ -sopravvento	$C_{pe}$ -sottovento
23,5	9,5	15	1,58	0,80	-0,53

Tabella 272. Definizione dei coefficienti di pressione

## COPERTURA A PADIGLIONE

Per la copertura a padiglione l'altezza di riferimento  $z_e$  è pari all'altezza massima della copertura stessa. Per i coefficienti globali sulle coperture a padiglione di un edificio a pianta rettangolare, per le falde sopravvento e sottovento, si assumono gli stessi coefficienti previsti per le coperture a doppia falda.

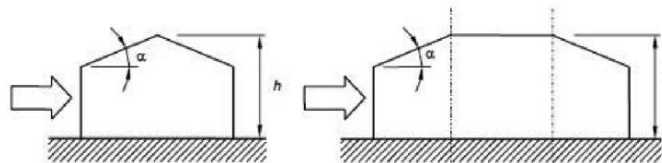


Figura C3.3.15 - Schema delle coperture a padiglione

Valori negativi		Valori positivi	
$\alpha \leq -60^\circ$	$c_{pe} = -0,5$	$0^\circ \leq \alpha \leq 45^\circ$	$c_{pe} = +\alpha/75$
$-60^\circ \leq \alpha \leq -15^\circ$	$c_{pe} = -0,5 - (\alpha + 60)/90$	$45^\circ \leq \alpha \leq 75^\circ$	$c_{pe} = +0,6 + (\alpha - 45)/150$
$-15^\circ \leq \alpha \leq 30^\circ$	$c_{pe} = -1,0 + (\alpha + 15)/75$		
$30^\circ \leq \alpha \leq 45^\circ$	$c_{pe} = -0,4 + (\alpha - 30)/37,5$		

Figura 157. Coperture a doppia falda, valori del  $c_{pe}$  con vento perpendicolare al colmo

Per le falde laterali, relative alle pareti parallele alla direzione del vento, si considerano i coefficienti riportati sotto:

$0^\circ \leq \alpha \leq 30^\circ$	$c_{pe} = -0,6 - \alpha/75$
$30^\circ \leq \alpha \leq 45^\circ$	$c_{pe} = -1,0$
$45^\circ \leq \alpha \leq 60^\circ$	$c_{pe} = -1,0 + (\alpha - 45)/37,5$
$60^\circ \leq \alpha$	$c_{pe} = -0,6$

**Tabella 273.** Coperture a padiglione, valori del  $c_{pe}$  con vento perpendicolare al colmo

Le pressioni interne agli edifici dipendono dalla superficie delle aperture che questi presentano verso l'esterno. Nel caso in esame si assumono valori del coefficiente di pressione interno pari a  $c_{pi} = +0,2$  e  $c_{pi} = -0,30$ , considerando il caso che di volta in volta conduce alla situazione maggiormente gravosa.

- $c_d$  è il coefficiente dinamico e può essere assunto cautelativamente pari a 1 nelle costruzioni di tipologia ricorrente quali gli edifici di forma regolare non eccedenti 80 m in altezza e capannoni industriali.

In funzione dei coefficienti analizzati e della pressione cinetica di riferimento, si calcola la pressione del vento per la copertura e per le facciate sopravento e sottovento considerando i valori massimi e minimi.

<b>Facciata</b>	<b>Sopravento</b>	<b>Sottovento</b>
$p_{min}$ (daN/m <sup>2</sup> )	467	-646
$p_{max}$ (daN/m <sup>2</sup> )	659	-911
<b>Copertura</b>	<b>Sopravento</b>	<b>Sottovento</b>
$p$ (daN/m <sup>2</sup> )	-769	-769

Nel caso di copertura a padiglione è necessario considerare il vento in pressione sulle falde laterali e risulta pari a -1098 daN/m<sup>2</sup>.

#### **1.18.5. Interventi per il miglioramento sismico – edifici in muratura**

Gli interventi previsti per la riduzione del rischio sismico si dividono in:

- interventi che possono consentire il miglioramento di almeno due Classi di Rischio o l'adeguamento sismico.

La tipologia di interventi considerati riguarda l'utilizzo di:

- cappotto sismico applicato alle pareti esterne dell'edificio.

Questa tipologia di interventi, viene presa in considerazione nel caso in cui le lavorazioni vengono eseguite senza dover in alcun modo evacuare gli inquilini dell'edificio, e quando la struttura risulta regolare in pianta e in altezza. Per gli edifici in cemento armato, nel caso di struttura a telai in entrambe le direzioni, è prevista la possibilità di ritenere valido il passaggio di più Classi di Rischio con la possibilità di raggiungere l'adeguamento sismico a seconda della tipologia di struttura.

##### **1.18.5.1. Sintesi degli interventi previsti**

#### **CAPPOTTO SISMICO**

Il cappotto sismico viene applicato sulle facciate esterne dell'edificio al fine di realizzare una nuova "pelle" sismo-resistente. E' costituito da una lastra sottile in calcestruzzo armato gettato in opera all'interno di due strati di materiale isolante, preinseriti in una maglia tridimensionale in acciaio zincato. La lastra in calcestruzzo può avere spessori variabili in base alla tipologia di intervento e nel caso in esame si ipotizza uno spessore di circa 8-10 cm; a livello delle travi esterne di piano si realizza un nuovo cordolo dello spessore della lastra più la larghezza dello strato di isolante addossato alla parete di circa 4 cm.

Il getto e l'armatura di rinforzo vengono resi solidali alla struttura esistente mediante, sia l'inserimento di connettori disposti a livello dei cordoli di piano e, se necessario, sui pilastri, sia disponendo opportuni ancoraggi sulla fondazione esistente o su una nuova fondazione addossata a quella esistente

La maglia tridimensionale in acciaio zincato consente di semplificare le operazioni di posa in opera delle armature strutturali, di minimizzare gli sfridi di cantiere e di realizzare uno strato di finitura ad intonaco particolarmente solida che garantisce la massima protezione del materiale isolante da urti accidentali ed agenti atmosferici.

Le norme NTC18 trattano le pareti in calcestruzzo soltanto per quanto riguarda le prescrizioni da seguire per strutture a comportamento dissipativo. Le lastre in calcestruzzo vengono invece dimensionate per garantire un comportamento elastico e non dissipativo nei confronti dell'azione sismica di progetto, rientrando nella tipologia di "strutture non dissipative". Per questo motivo le verifiche in resistenza degli elementi in calcestruzzo vengono effettuate seguendo l'approccio fornito dalla norma per gli elementi strutturali a comportamento non dissipativo, contenute nel



capitolo 4 delle NTC18 mentre le prescrizioni contenute nel capitolo 7 non risultano vincolanti per il dimensionamento delle pareti.

Per quanto riguarda le connessioni tra edificio esistente e cappotto sismico, la valutazione analitica della resistenza degli ancoraggi metallici per calcestruzzo può essere effettuata secondo le linee guida definite dal documento ETAG001-1997: "Linee guida per il benessere tecnico europeo di ancoraggi metallici da utilizzare nel calcestruzzo" e dai relativi allegati.

#### **1.18.6. Conclusioni**

Per quanto concerne gli aspetti prettamente strutturali, l'intervento di miglioramento sismico adottato per la tipologia oggetto della presente relazione, prevede l'utilizzo di un cappotto sismico, un sistema integrato di rafforzamento strutturale e miglioramento del benessere termoisolante dell'edificio. Questo intervento, oltre a non interrompere il normale esercizio della struttura permette la riduzione delle tempistiche del cantiere, in quanto i moduli da applicare sulle pareti esterne, risultano prefabbricati e sono comprensivi delle varie forometrie; in cantiere, l'attività sarà quella di prevedere il collegamento con la struttura esistente e la realizzazione del getto all'interno del cassero e, se necessario, il getto armato della nuova porzione di fondazione.

Gli interventi strutturali previsti sono mirati al miglioramento sismico attraverso l'incremento di almeno due Classi di Rischio o l'adeguamento sismico, da valutare nel dettaglio nelle fasi progettuali successive. Con ciò si intende il miglioramento del rischio della costruzione con incidenza sul valore PAM e sulla capacità che la struttura possiede rispetto allo stato limite della salvaguardia sulla vita. Tale valore è stato valutato come rapporto tra PGAA (SLV) anteoperam e la PGAp (SLV) postoperam, determinata attraverso il metodo convenzionale nel rispetto della normativa vigente (NTC 2018) e della circolare ministeriale applicativa del 21 gennaio 2019.

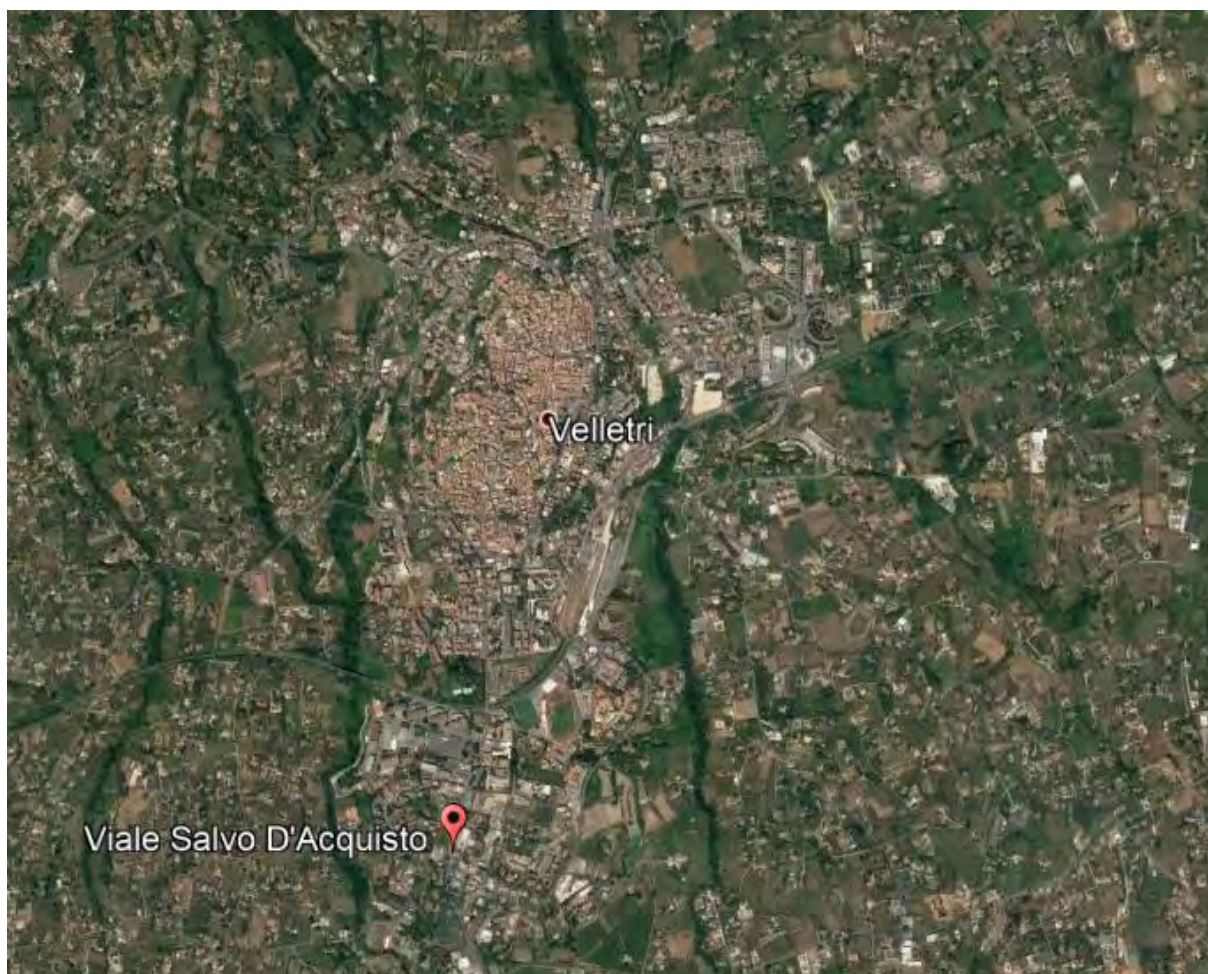
## **1.19. Tipologia VE19**

### **1.19.1. Individuazione dei siti in esame**

Di seguito si riporta una tabella che riassume i parametri generali del sito in esame, con gli identificativi e le coordinate dei punti che includono gli edifici.

Provincia	Comune	Tipologia	Via	Latitudine	Longitudine
Roma	Velletri	VE19	Via Salvo D'Acquisto 41	41.4035°	12.4635°

**Tabella 274.** Parametri generali del sito in esame



**Figura 158.** Individuazione del sito in esame (immagine da google earth)

### **1.19.2. Determinazione della categoria di sottosuolo**

Per la determinazione della categoria di sottosuolo, in assenza di indagini geologiche specifiche per ogni intervento da realizzare, è possibile stimare in via preliminare e con le approssimazioni del caso, la velocità delle onde VS facendo specifico riferimento agli abachi regionali di microzonazione sismica ai sensi della DGR Lazio n. 545 del 26 novembre 2010, forniti sul portale della Regione Lazio. Nello specifico andando ad individuare la carta delle microzone omogenee in prospettiva sismica per il comune di interesse, è possibile risalire alla tipologia del sottosuolo e relativo spessore. Dalla carta riportata in figura 2, si evidenzia che il sito oggetto del presente studio ricade all'interno



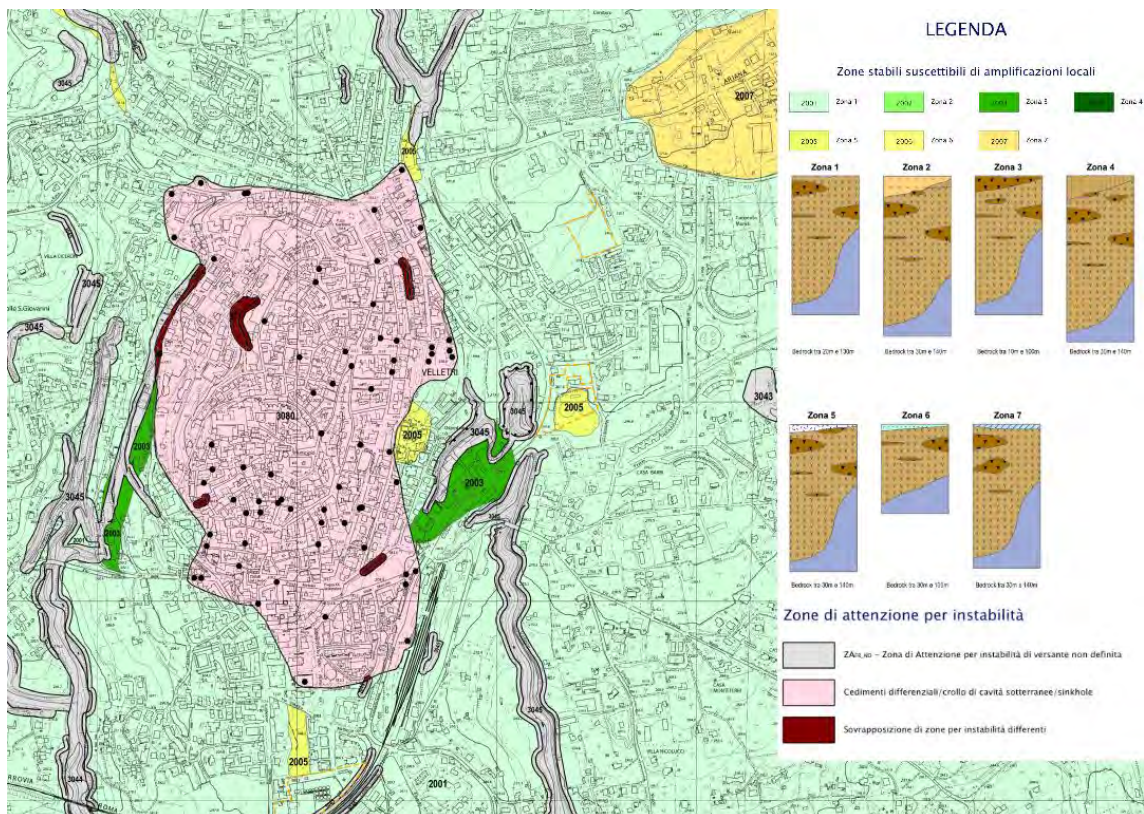
delle zone stabili suscettibili di amplificazione sismica (Zona 1) che sono caratterizzate dalla presenza depositi piroclastici. In funzione di questo, entrando in via approssimativa nell'abaco ( $V_s/h$ ) riportato in figura 2, relativo alle ghiaie alluvionali, detritiche e sabbie di alterazione, si determina il valore di  $V_s$  che viene utilizzato per la stima approssimata della categoria di sottosuolo entrando nella tabella 3.2.II del D.M. 17 Gennaio 2018.

GHIAIE ALLUVIONALI GHIAIE DETRITICHE SABBIE DI ALTERAZIONE DA ARENARIE SABBIE DI ALTERAZIONE DA TRAVERTINI SABBIE DI ALTERAZIONI DA TUFI VULCANICI										
FH <sub>0,1-0,5</sub>		Velocità media V <sub>SH</sub> (m/s)								
Profondità dal pc H (m)		180	250	300	360	400	450	500	600	700
	5	1.3	1.2	1.1	1.1	1.1	1.1	1.0	1.0	1.0
	10			1.4	1.4	1.2	1.2	1.1	1.1	1.0
	15			1.6	1.5	1.3	1.3	1.2	1.1	1.1
	20			1.7	1.6	1.4	1.3	1.2	1.1	1.1
	25			1.6	1.5	1.5	1.4	1.3	1.2	1.1
	30			1.5	1.5	1.5	1.4	1.3	1.2	1.1
	35				1.4	1.4	1.3	1.3	1.2	1.1
	40					1.4	1.3	1.3	1.2	1.1
45						1.3	1.2	1.2	1.1	

**Tabella 275.** Abaco per le ghiaie alluvionali, detritiche e sabbie di alterazione

Nello specifico facendo riferimento all'andamento della velocità  $V_s$  con la profondità  $z$  dello strato dal piano campagna, si ottiene un valore delle velocità  $V_s$  pari a:

$$V_s = 14.5 * z + 150 = 512 \text{ m/s}$$



**Figura 159.** Zona omogenea in prospettiva sismica

In relazione alle formulazioni sopra riportate avendo ottenuto un valore delle Vs pari a 512 m/s ed entrando nella tabella 3 sotto riportata si ottiene una categoria di sottosuolo B “*Depositi di terreni a grana grossa molto addensati o terreni a grana fina molto consistenti*”.

Per le condizioni topografiche che nel caso specifico si configurano in superficiali semplici si può adottare la classificazione riportata nella tabella 4 e nello specifico si ricade nella categoria T1.

Categoria	Descrizione
A	Ammassi rocciosi affioranti o terreni molto rigidi caratterizzati da valori di velocità delle onde di taglio superiori a 800 m/s, eventualmente comprendenti in superficie terreni di caratteristiche meccaniche più scadenti con spessore massimo pari a 3 m.
B	Rocce tenere e depositi di terreni a grana grossa molto addensati o terreni a grana fina molto consistenti, caratterizzati da un miglioramento delle proprietà meccaniche con la profondità e da valori di velocità equivalente compresi tra 360 m/s e 800 m/s.
C	Depositi di terreni a grana grossa mediamente addensati o terreni a grana fina mediamente consistenti con profondità del substrato superiori a 30 m, caratterizzati da un miglioramento delle proprietà meccaniche con la profondità e da valori di velocità equivalente compresi tra 180 m/s e 360 m/s.
D	Depositi di terreni a grana grossa scarsamente addensati o di terreni a grana fina scarsamente consistenti, con profondità del substrato superiori a 30 m, caratterizzati da un miglioramento delle proprietà meccaniche con la profondità e da valori di velocità equivalente compresi tra 100 e 180 m/s.
E	Terreni con caratteristiche e valori di velocità equivalente riconducibili a quelle definite per le categorie C o D, con profondità del substrato non superiore a 30 m.

**Tabella 276.** Tab. 3.2.II – Categorie di sottosuolo che permettono l'utilizzo dell'approccio semplificato

Categoria	Caratteristiche della superficie topografica
T1	Superficie pianeggiante, pendii e rilievi isolati con inclinazione media $i \leq 15^\circ$
T2	Pendii con inclinazione media $i > 15^\circ$
T3	Rilievi con larghezza in cresta molto minore che alla base e inclinazione media $15^\circ \leq i \leq 30^\circ$
T4	Rilievi con larghezza in cresta molto minore che alla base e inclinazione media $i > 30^\circ$

**Tabella 277.** Tab. 3.2. III – Categorie topografiche

### 1.19.3. Analisi sismica

#### 1.19.3.1. Determinazione del fattore di comportamento q

Si riportano in dettaglio le caratteristiche principali della struttura in esame, utili per il calcolo del fattore di comportamento q e dell'azione sismica.

Classe d'uso	Vita nominale	Coeff. Uso	Duttilità	Regolarità in pianta	Regolarità in altezza	Tipologia strutturale
II	50	1	B	si	si	Muratura.

L'analisi strutturale per azioni sismiche utilizzata per la verifica è del tipo lineare (cap. 7.3.1 NTC 2018). Per sistemi non dissipativi (SLE), gli effetti delle azioni sono calcolati riferendosi ad uno spettro di progetto ottenuto assumendo un fattore di comportamento  $q=1$  per lo stato limite di operatività (SLO) (cap. 3.2.3.4 NTC 2018) e un fattore di comportamento  $q \leq 1.5$  per stato limite di danno (SLD) (cap. 3.2.3.5 NTC 2018). Per sistemi dissipativi (SLU), gli effetti delle azioni sono calcolati riferendosi ad uno spettro di progetto ottenuto assumendo un fattore di struttura  $q \geq 1.5$  (cap. 3.2.3.5 NTC 2018).

Il calcolo del fattore di comportamento per i sistemi dissipativi è stato eseguito seguendo quanto riportato al capitolo 7 delle NTC 2018 in funzione dei parametri generali della struttura in esame. Si riportano, in tabella, i valori del fattore di comportamento utili per la valutazione dell'azione sismica nelle tre direzioni:

$q_0$	$\alpha_u/\alpha_i$	$k_r$	$q_x$	$q_y$	$q_z$
$1,75^* \alpha_u/\alpha_i$	1,7	1	2,975	2,975	1,5

L'azione sismica viene definita in relazione ad un periodo di riferimento  $V_r$  che si ricava, per ciascun tipo di costruzione, moltiplicandone la vita nominale per il coefficiente d'uso. Fissato il periodo di riferimento  $V_r$  e la probabilità di superamento  $P_{ver}$  associata a ciascuno degli stati limite considerati, si ottiene il periodo di ritorno  $T_r$  e i relativi parametri di pericolosità sismica:

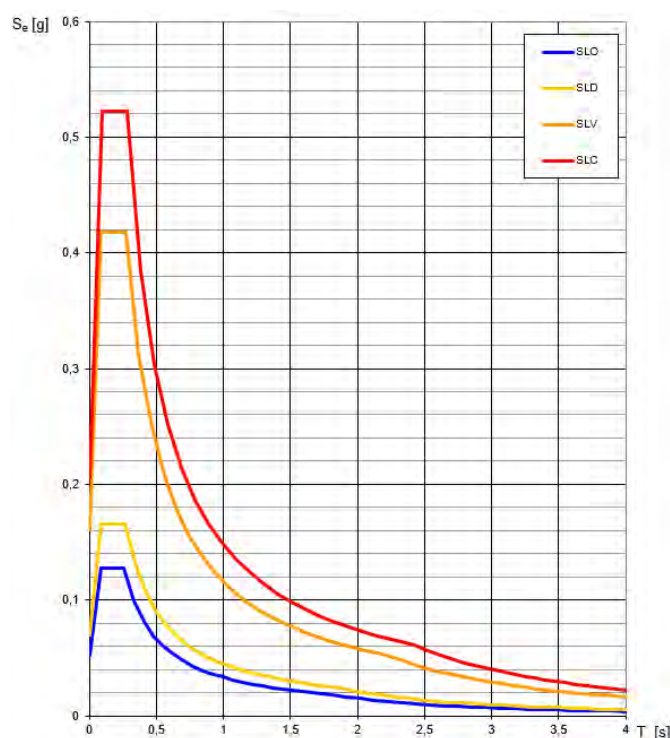
- $a_g$ : accelerazione orizzontale massima del terreno;
- $F_0$ : valore massimo del fattore di amplificazione dello spettro in accelerazione orizzontale;
- $T_c^*$ : periodo di inizio del tratto a velocità costante dello spettro in accelerazione orizzontale.

SLATO LIMITE	$T_R$ [anni]	$a_g$ [g]	$F_0$ [-]	$T_c^*$ [s]
SLO	30	0,052	2,453	0,260
SLD	50	0,069	2,391	0,269
SLV	475	0,161	2,595	0,277
SLC	975	0,206	2,540	0,283

**Tabella 278.** Valori di  $a_g$ ,  $F_0$  e  $T_c^*$  in funzione dei vari stati limite

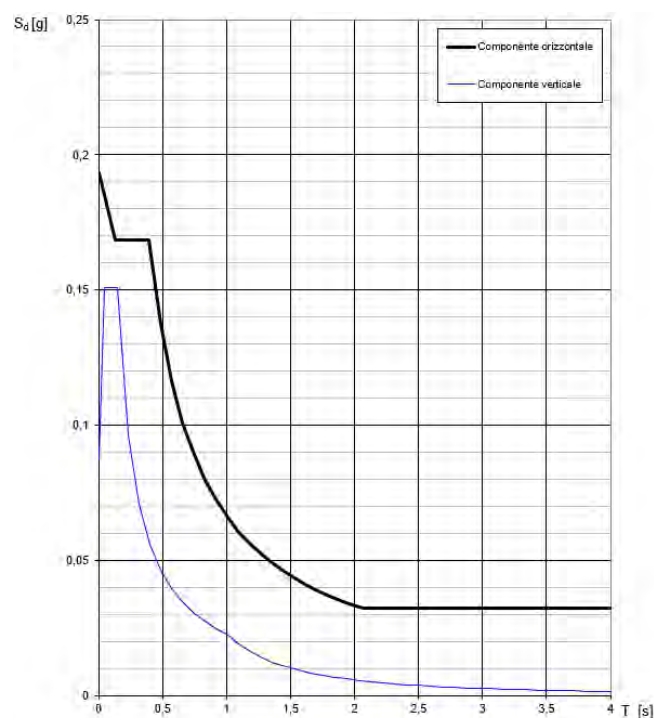


### 1.19.3.2. Spettri di risposta



**Figura 160.** Spettri di risposta elastici per i diversi stati limite

Con l'utilizzo del fattore di comportamento e dei parametri sismici dipendenti dal tipo di struttura in esame, precedentemente calcolati, si sono determinati gli spettri di calcolo agli stati limite SLV e SLD. Nel caso di utilizzo di isolatori sismici si farà riferimento allo spettro ad SLV per la sovrastruttura e ad SLC per gli isolatori. Tali spettri saranno opportunamente scalati in funzione dello smorzamento e del periodo scelto.



**Figura 161.** Spettri di risposta (componenti orizz.\_vert.) per lo SLV

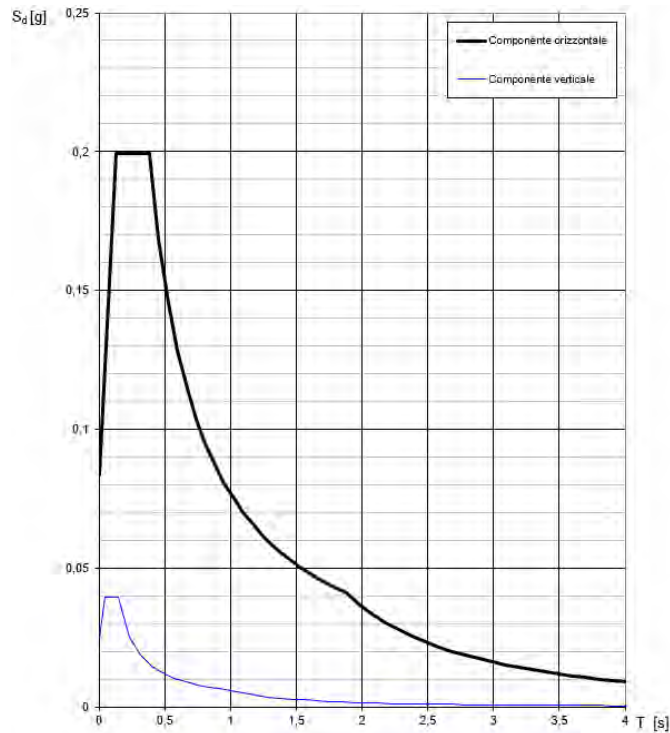


Figura 162. Spettri di risposta (componenti orizz.\_vert.) per lo SLD

#### 1.19.4. Carichi di progetto

##### 1.19.4.1. Carico della neve

Tale calcolo viene effettuato ai sensi di DM del 17 Gennaio 2018 "Norme tecniche per le costruzioni" e della Circolare Ministeriale Applicativa del 21 Gennaio 2019. Il carico neve sulle coperture è valutato con la seguente espressione:

$$q_s = \mu_i * q_{sk} * C_e *$$

dove:

- $\mu_i$  è il coefficiente di forma della copertura;

Coefficiente di forma	$0^\circ \leq \alpha \leq 30^\circ$	$30^\circ < \alpha < 60^\circ$	$\alpha \geq 60^\circ$
$\mu_1$	0,8	$0,8 \cdot \frac{(60 - \alpha)}{30}$	0,0

Tabella 279. Tab. 3.4.II – Valori dei coefficienti di forma

- $q_{sk}$  è il valore di riferimento del carico neve al suolo e dipende dalla zona climatica e dall'altitudine di riferimento del sito  $a_s$ , se è maggiore o inferiore a 200 m;



Figura 163. Zone di carico della neve

- $C_e$  è il coefficiente di esposizione che viene utilizzato per modificare il carico neve in funzione delle caratteristiche dell'area in cui sorge l'opera;

Topografia	Descrizione	$C_e$
Battuta dai venti	Aree pianeggianti non ostruite esposte su tutti i lati, senza costruzioni o alberi più alti	0,9
Normale	Aree in cui non è presente una significativa rimozione di neve sulla costruzione prodotta dal vento, a causa del terreno, altre costruzioni o alberi	1,0
Riparata	Aree in cui la costruzione considerata è sensibilmente più bassa del circostante terreno o circondata da costruzioni o alberi più alti	1,1

Tabella 280. Tab. 3.4.I – Valori di  $C_z$  per diverse classi di esposizione

- $C_t$  è il coefficiente termico, generalmente assunto pari a 1;

Si assume che la neve non sia impedita di scivolare e si calcola il valore del carico neve in copertura:

Zona	$s$ (m)	$q_{sk}$ (daN/m <sup>2</sup> )	$\mu_i$	$C_e$	$C_t$	$q_s$ (daN/m <sup>2</sup> )
III	288	69	0,8	1	1	55

Tabella 281. Determinazione del carico da neve in copertura

#### 1.19.4.2. Carico del vento

La velocità base di riferimento del vento  $v_b$  è il valore medio su 10 minuti, a 10 m di altezza sul suolo su un terreno pianeggiante e omogeneo di categoria di esposizione II, riferito ad un periodo di ritorno  $T_r = 50$  anni, ed è pari a:

$$v_b = v_{b0} * c_a$$

dove:

- $v_{b0}$  è la velocità base di riferimento al livello del mare, assegnata nella Tab.3.3.I in funzione della zona in cui sorge la costruzione;

- $c_a$  è il coefficiente di altitudine fornito dalla relazione

$$c_a = 1 \quad \text{per } a_s \leq a_0$$

$$c_a = 1 + k_s * (a_s/a_0 - 1) \quad \text{per } a_0 < a_s \leq 1500 \text{ m}$$

dove:

- $a_0, k_s$  sono parametri forniti nella Tab.3.3.I in funzione della zona in cui sorge la costruzione;
- $a_s$  è l'altitudine sul livello del mare del sito ove sorge la costruzione.

Zona	Descrizione	$v_{b,0}$ [m/s]	$a_0$ [m]	$k_s$
1	Valle d'Aosta, Piemonte, Lombardia, Trentino Alto Adige, Veneto, Friuli Venezia Giulia (con l'eccezione della provincia di Trieste)	25	1000	0,40
2	Emilia Romagna	25	750	0,45
3	Toscana, Marche, Umbria, Lazio, Abruzzo, Molise, Puglia, Campania, Basilicata, Calabria (esclusa la provincia di Reggio Calabria)	27	500	0,37
4	Sicilia e provincia di Reggio Calabria	28	500	0,36
5	Sardegna (zona a oriente della retta congiungente Capo Teulada con l'Isola di Maddalena)	28	750	0,40
6	Sardegna (zona a occidente della retta congiungente Capo Teulada con l'Isola di Maddalena)	28	500	0,36
7	Liguria	28	1000	0,54
8	Provincia di Trieste	30	1500	0,50
9	Isole (con l'eccezione di Sicilia e Sardegna) e mare aperto	31	500	0,32



**Figura 164.** Valori dei parametri  $v_{b0}, a_0, k_s$

**Figura 165.** Mappa delle zone in cui è suddiviso il territorio italiano

La velocità di riferimento  $v_r$  è il valore medio su 10 minuti, a 10 m di altezza dal suolo su un terreno pianeggiante e omogeneo di categoria di esposizione II, riferito al periodo di ritorno di progetto  $T_r$ .

$$v_r = v_b * c_r$$

- $v_b$  è la velocità base di riferimento al livello del mare, assegnata
- $c_r$  è il coefficiente di ritorno, funzione del periodo di ritorno di progetto  $T_r$  fornito dalla relazione

$$c_r = 0.75 * \sqrt{1 - 0.2 * \ln[-\ln * (1 - 1/T_r)]}$$

Quindi:

$v_{b0}$ (m/s)	$a_s$	$c_a$	$v_b$	$T_r$	$c_r$	$v_r$ (m/s)
27	288	1	27	50	1,0007	27.02

La pressione del vento è data dall'espressione:

$$p = q_r * c_e * c_p * c_d$$

dove:

- $q_r$  è la pressione cinetica di riferimento data dall'espressione

$$q_r = \frac{1}{2} * \rho * v_r^2 \quad \text{in cui } \rho \text{ è la densità dell'aria pari a } 1.25 \text{ kg/m}^3$$

- $c_e$  è il coefficiente di esposizione che dipende dall'altezza  $z$  sul suolo del punto considerato, dalla topografia del terreno e dalla categoria di esposizione del sito ove sorge la costruzione. Per altezze sul suolo non maggiori di 200 m è dato dalla formula:

$$c_e(z) = k_r^2 * c_t * \ln(z/z_0) * [7 + c_t * \ln(z/z_0)] \quad \text{per } z \geq z_{min}$$

$$c_e(z) = c_e(z_{min}) \quad \text{per } z < z_{min}$$

dove:

- $k_r$ ,  $z_0$ ,  $z_{min}$  sono assegnati in Tab.3.3.II in funzione della categoria di esposizione del sito.
- $c_t$  è il coefficiente di topografia, posto generalmente uguale a 1.

Categoria di esposizione del sito	$K_r$	$z_0$ [m]	$z_{min}$ [m]
I	0,17	0,01	2
II	0,19	0,05	4
III	0,20	0,10	5
IV	0,22	0,30	8
V	0,23	0,70	12

**Tabella 282.** Parametri per la definizione del coefficiente di esposizione

Classe di rugosità del terreno	Descrizione
A	Aree urbane in cui almeno il 15% della superficie sia coperto da edifici la cui altezza media non superi i 15 m
B	Aree urbane (non di classe A), suburbane, industriali e boschive
C	Aree con ostacoli diffusi (alberi, case, muri, recinzioni...); aree con rugosità non riconducibile alle classi A, B, e D
D	a) Mare e relativa fascia costiera (entro 2 km dalla costa); b) Lago (con larghezza massima pari ad almeno 1 km) e relativa fascia costiera (entro 1 km dalla costa); c) Aree prive di ostacoli o con al più rari ostacoli isolati (aperta campagna, aeroporti, aree agricole, pascoli, zone paludose o sabbiose, superfici innevate o ghiacciate, ...)

**Tabella 283.** Classi di rugosità del terreno

ZONE 1,2,3,4,5						
	costa	mare	2 km	10 km	30 km	750m
A	--	IV	IV	V	V	V
B	--	III	III	IV	IV	IV
C	--	*	III	III	IV	IV
D	I	II	II	II	III	**
* Categoria II in zona 1,2,3,4 Categoria III in zona 5						
** Categoria III in zona 2,3,4,5 Categoria IV in zona 1						

**Tabella 284.** Definizione delle categorie di esposizione

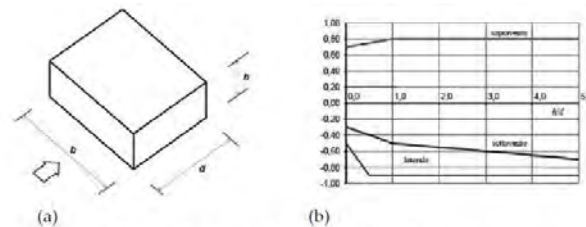
$q_r$	Rugosità	Esposizione	$c_e(z)$	$c_e(z_{min})$
456	B	III	2,430	1,708

**Tabella 285.** Definizione dei coefficienti di esposizione

- $c_p$  è il coefficiente di pressione e dipende dalla tipologia, dalla geometria della costruzione e dal suo orientamento rispetto alla direzione del vento. Il coefficiente globale  $c_{pe}$  che può essere



utilizzato in tutti i casi in cui la rappresentazione delle azioni aereodinamiche del vento possa essere effettuata in maniera semplificata, rivolta alla valutazione delle azioni globali su porzioni estese di costruzioni o delle risultanti delle azioni indotte dal vento sugli elementi principali della struttura. I coefficienti  $c_{pe}$  da assumere sulle pareti dell'edificio a pianta rettangolare sono diagrammati in base al rapporto  $h/d$ , avendo indicato con  $h$  l'altezza del manufatto e con  $d$  la profondità dell'edificio, valutata parallelamente al flusso di lavoro:



a) Parametri caratteristici di edifici a pianta rettangolare,  
b) Edifici a pianta rettangolare:  $c_{pe}$  per facce sopravvento, sottovento e laterali  
Figura C3.3.2

Tabella C3.3.I: Edifici a pianta rettangolare:  $c_{pe}$  per facce sopravvento, sottovento e laterali

Facciata sopravvento	$C_U = 2,0$	$C_U = 1,5$
$h/d \leq 1$ : $c_{pe} = 0,7 + 0,1 \cdot h/d$	$h/d \leq 0,5$ : $c_{pe} = -0,5 - 0,8 \cdot h/d$	$h/d \leq 1$ : $c_{pe} = -0,3 - 0,2 \cdot h/d$
$h/d > 1$ : $c_{pe} = 0,8$	$h/d > 0,5$ : $c_{pe} = -0,9$	$1 < h/d \leq 5$ : $c_{pe} = -0,5 - 0,05 \cdot (h/d - 1)$

Tabella 286. Coefficienti di pressione delle facciate secondo NTC2018

Quindi i coefficienti per le facce sopravvento e sottovento sono:

b	d	h	h/d	$C_{pe}$ -sopravvento	$C_{pe}$ -sottovento
15,7	13	15,5	1,19	0,80	-0,51

Tabella 287. Definizione dei coefficienti di pressione

## COPERTURA PIANA

Per la copertura piana, l'altezza di riferimento  $z_e$  è pari alla quota massima della copertura stessa, inclusa la presenza dei parapetti e di altri analoghi elementi. I coefficienti globali  $c_{pe}$  da assumere sulle coperture di un edificio a pianta rettangolare sono riportati di seguito:

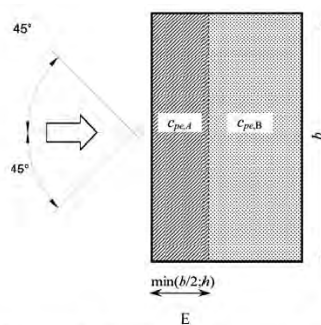


Figura C3.3.5 - Schema di riferimento per coperture piane

Tabella C3.3.III - Edifici rettangolari:  $c_{pe}$  per coperture piane.

Fascia sopravvento di profondità pari al minimo tra $b/2$ e $h$ :	$c_{pe,A} = -0,80$
Restanti zone	$c_{pe,B} = \pm 0,20$

Figura 166. Definizione  $c_{pe}$  per coperture piano

Le pressioni interne agli edifici dipendono dalla superficie delle aperture che questi presentano verso l'esterno. Nel caso in esame si assumono valori del coefficiente di pressione interno pari a  $c_{pi} = +0,2$  e  $c_{pi} = -0,30$ , considerando il caso che di volta in volta conduce alla situazione maggiormente gravosa.

●  $c_d$  è il coefficiente dinamico e può essere assunto cautelativamente pari a 1 nelle costruzioni di tipologia ricorrente quali gli edifici di forma regolare non eccedenti 80 m in altezza e capannoni industriali.

In funzione dei coefficienti analizzati e della pressione cinetica di riferimento, si calcola la pressione del vento per la copertura e per le facciate sopravento e sottovento considerando i valori massimi e minimi.

<b>Facciata</b>	<b>Sopravento</b>	<b>Sottovento</b>
$p_{min}$ (daN/m <sup>2</sup> )	467	-631
$p_{max}$ (daN/m <sup>2</sup> )	665	-898
<b>Copertura</b>	<b>Sopravento</b>	<b>Sottovento</b>
$p$ (daN/m <sup>2</sup> )	-1219	-554

### **1.19.5. Interventi per il miglioramento sismico – edifici in muratura**

Gli interventi previsti per la riduzione del rischio sismico si dividono in:

- interventi che possono consentire il miglioramento di almeno due Classi di Rischio o l'adeguamento sismico.

La tipologia di interventi considerati riguarda l'utilizzo di:

- cappotto sismico applicato alle pareti esterne dell'edificio.

Questa tipologia di interventi, viene presa in considerazione nel caso in cui le lavorazioni vengono eseguite senza dover in alcun modo evacuare gli inquilini dell'edificio, e quando la struttura risulta regolare in pianta e in altezza. Per gli edifici in cemento armato, nel caso di struttura a telai in entrambe le direzioni, è prevista la possibilità di ritenere valido il passaggio di più Classi di Rischio con la possibilità di raggiungere l'adeguamento sismico a seconda della tipologia di struttura.

#### **1.19.5.1. Sintesi degli interventi previsti**

##### **CAPPOTTO SISMICO**

---

Il cappotto sismico viene applicato sulle facciate esterne dell'edificio al fine di realizzare una nuova "pelle" sismo-resistente. E' costituito da una lastra sottile in calcestruzzo armato gettato in opera all'interno di due strati di materiale isolante, preinseriti in una maglia tridimensionale in acciaio zincato. La lastra in calcestruzzo può avere spessori variabili in base alla tipologia di intervento e nel caso in esame si ipotizza uno spessore di circa 8-10 cm; a livello delle travi esterne di piano si realizza un nuovo cordolo dello spessore della lastra più la larghezza dello strato di isolante addossato alla parete di circa 4 cm.

Il getto e l'armatura di rinforzo vengono resi solidali alla struttura esistente mediante, sia l'inserimento di connettori disposti a livello dei cordoli di piano e, se necessario, sui pilastri, sia disponendo opportuni ancoraggi sulla fondazione esistente o su una nuova fondazione addossata a quella esistente

La maglia tridimensionale in acciaio zincato consente di semplificare le operazioni di posa in opera delle armature strutturali, di minimizzare gli sfridi di cantiere e di realizzare uno strato di finitura ad intonaco particolarmente solida che garantisce la massima protezione del materiale isolante da urti accidentali ed agenti atmosferici.

Le norme NTC18 trattano le pareti in calcestruzzo soltanto per quanto riguarda le prescrizioni da seguire per strutture a comportamento dissipativo. Le lastre in calcestruzzo vengono invece dimensionate per garantire un comportamento elastico e non dissipativo nei confronti dell'azione sismica di progetto, rientrando nella tipologia di "strutture non dissipative". Per questo motivo le verifiche in resistenza degli elementi in calcestruzzo vengono effettuate seguendo l'approccio

fornito dalla norma per gli elementi strutturali a comportamento non dissipativo, contenute nel capitolo 4 delle NTC18 mentre le prescrizioni contenute nel capitolo 7 non risultano vincolanti per il dimensionamento delle pareti.

Per quanto riguarda le connessioni tra edificio esistente e cappotto sismico, la valutazione analitica della resistenza degli ancoraggi metallici per calcestruzzo può essere effettuata secondo le linee guida definite dal documento ETAG001-1997: "Linee guida per il benessere tecnico europeo di ancoraggi metallici da utilizzare nel calcestruzzo" e dai relativi allegati.

#### **1.19.6. Conclusioni**

Per quanto concerne gli aspetti prettamente strutturali, l'intervento di miglioramento sismico adottato per la tipologia oggetto della presente relazione, prevede l'utilizzo di un cappotto sismico, un sistema integrato di rafforzamento strutturale e miglioramento del benessere termoigrometrico dell'edificio. Questo intervento, oltre a non interrompere il normale esercizio della struttura permette la riduzione delle tempistiche del cantiere, in quanto i moduli da applicare sulle pareti esterne, risultano prefabbricati e sono comprensivi delle varie forometrie; in cantiere, l'attività sarà quella di prevedere il collegamento con la struttura esistente e la realizzazione del getto all'interno del cassero e, se necessario, il getto armato della nuova porzione di fondazione.

Gli interventi strutturali previsti sono mirati al miglioramento sismico attraverso l'incremento di almeno due Classi di Rischio o l'adeguamento sismico, da valutare nel dettaglio nelle fasi progettuali successive. Con ciò si intende il miglioramento del rischio della costruzione con incidenza sul valore PAM e sulla capacità che la struttura possiede rispetto allo stato limite della salvaguardia sulla vita. Tale valore è stato valutato come rapporto tra PGAa (SLV) anteoperam e la PGAp (SLV) postoperam, determinata attraverso il metodo convenzionale nel rispetto della normativa vigente (NTC 2018) e della circolare ministeriale applicativa del 21 gennaio 2019.

## **1.20. Tipologia VE20**

### **1.20.1. Individuazione dei siti in esame**

Di seguito si riporta una tabella che riassume i parametri generali del sito in esame, con gli identificativi e le coordinate dei punti che includono gli edifici.

Provincia	Comune	Tipologia	Via	Latitudine	Longitudine
Roma	Velletri	VE20	Via Campo Sportivo 9 – scala C	41.4044°	12.4646°
Roma	Velletri	VE20	Via Campo Sportivo 7 – scala D	41.4044°	12.4646°

**Tabella 288.** Parametri generali del sito in esame



**Figura 167.** Individuazione del sito in esame (immagine da google earth)

### **1.20.2. Determinazione della categoria di sottosuolo**

Per la determinazione della categoria di sottosuolo, in assenza di indagini geologiche specifiche per ogni intervento da realizzare, è possibile stimare in via preliminare e con le approssimazioni del caso, la velocità delle onde VS facendo specifico riferimento agli abachi regionali di microzonazione sismica ai sensi della DGR Lazio n. 545 del 26 novembre 2010, forniti sul portale della Regione Lazio. Nello specifico andando ad individuare la carta delle microzone omogenee in prospettiva sismica per il comune di interesse, è possibile risalire alla tipologia del sottosuolo e relativo spessore. Dalla carta riportata in figura 2, si evidenzia che il sito oggetto del presente studio ricade all'interno delle zone stabili suscettibili di amplificazione sismica (Zona 1) che sono caratterizzate dalla presenza depositi piroclastici. In funzione di questo, entrando in via approssimativa nell'abaco ( $V_s/h$ ) riportato in figura 2, relativo alle ghiaie alluvionali, detritiche e sabbie di alterazione, si



determina il valore di  $V_s$  che viene utilizzato per la stima approssimata della categoria di sottosuolo entrando nella tabella 3.2.II del D.M. 17 Gennaio 2018.

<b>GHIAIE ALLUVIONALI</b> <b>GHIAIE DETRITICHE</b> <b>SABBIE DI ALTERAZIONE DA ARENARIE</b> <b>SABBIE DI ALTERAZIONE DA TRAVERTINI</b> <b>SABBIE DI ALTERAZIONI DA TUFI VULCANICI</b>										
FH <sub>0,1-0,5</sub>	Velocità media $V_{SH}$ (m/s)									
	180	250	300	360	400	450	500	600	700	
5	1.3	1.2	1.1	1.1	1.1	1.1	1.0	1.0	1.0	
10			1.4	1.4	1.2	1.2	1.1	1.1	1.0	
15			1.6	1.5	1.3	1.3	1.2	1.1	1.1	
20			1.7	1.6	1.4	1.3	1.2	1.1	1.1	
25			1.6	1.5	1.5	1.4	1.3	1.2	1.1	
30			1.5	1.5	1.5	1.4	1.3	1.2	1.1	
35				1.4	1.4	1.3	1.3	1.2	1.1	
40					1.4	1.3	1.3	1.2	1.1	
45						1.3	1.2	1.2	1.1	

GRADIENTE DI VELOCITA' PER VALIDITA' ABACO

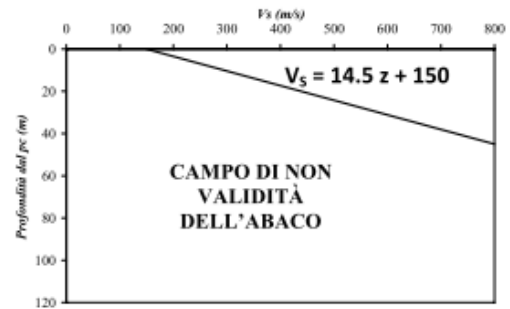


Tabella 289. Abaco per le ghiaie alluvionali, detritiche e sabbie di alterazione

Nello specifico facendo riferimento all'andamento della velocità  $V_s$  con la profondità  $z$  dello strato dal piano campagna, si ottiene un valore delle velocità  $V_s$  pari a:

$$V_s = 14.5 * z + 150 = 512 \text{ m/s}$$

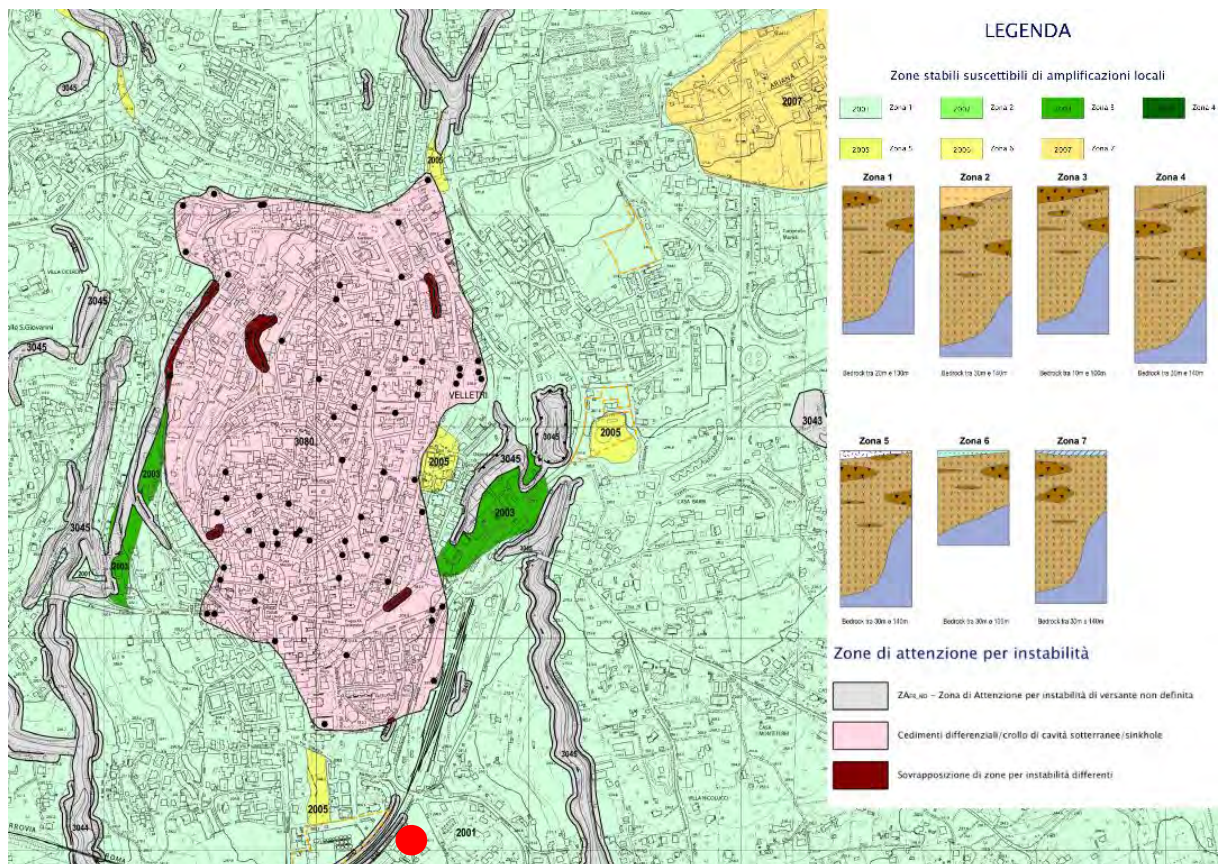


Figura 168. Zona omogenea in prospettiva sismica

In relazione alle formulazioni sopra riportate avendo ottenuto un valore delle Vs pari a 512 m/s ed entrando nella tabella 3 sotto riportata si ottiene una categoria di sottosuolo B “*Depositi di terreni a grana grossa molto addensati o terreni a grana fina molto consistenti*”.

Per le condizioni topografiche che nel caso specifico si configurano in superficiali semplici si può adottare la classificazione riportata nella tabella 4 e nello specifico si ricade nella categoria T1.

Categoria	Descrizione
A	Ammassi rocciosi affioranti o terreni molto rigidi caratterizzati da valori di velocità delle onde di taglio superiori a 800 m/s, eventualmente comprendenti in superficie terreni di caratteristiche meccaniche più scadenti con spessore massimo pari a 3 m.
B	Rocce tenere e depositi di terreni a grana grossa molto addensati o terreni a grana fina molto consistenti, caratterizzati da un miglioramento delle proprietà meccaniche con la profondità e da valori di velocità equivalente compresi tra 360 m/s e 800 m/s.
C	Depositi di terreni a grana grossa mediamente addensati o terreni a grana fina mediamente consistenti con profondità del substrato superiori a 30 m, caratterizzati da un miglioramento delle proprietà meccaniche con la profondità e da valori di velocità equivalente compresi tra 180 m/s e 360 m/s.
D	Depositi di terreni a grana grossa scarsamente addensati o di terreni a grana fina scarsamente consistenti, con profondità del substrato superiori a 30 m, caratterizzati da un miglioramento delle proprietà meccaniche con la profondità e da valori di velocità equivalente compresi tra 100 e 180 m/s.
E	Terreni con caratteristiche e valori di velocità equivalente riconducibili a quelle definite per le categorie C o D, con profondità del substrato non superiore a 30 m.

**Tabella 290.** Tab. 3.2.II – Categorie di sottosuolo che permettono l'utilizzo dell'approccio semplificato

Categoria	Caratteristiche della superficie topografica
T1	Superficie pianeggiante, pendii e rilievi isolati con inclinazione media $i \leq 15^\circ$
T2	Pendii con inclinazione media $i > 15^\circ$
T3	Rilievi con larghezza in cresta molto minore che alla base e inclinazione media $15^\circ \leq i \leq 30^\circ$
T4	Rilievi con larghezza in cresta molto minore che alla base e inclinazione media $i > 30^\circ$

**Tabella 291.** Tab. 3.2. III – Categorie topografiche

### 1.20.3. Analisi sismica

#### 1.20.3.1. Determinazione del fattore di comportamento q

Si riportano in dettaglio le caratteristiche principali della struttura in esame, utili per il calcolo del fattore di comportamento q e dell'azione sismica.

Classe d'uso	Vita nominale	Coeff. Uso	Duttilità	Regolarità in pianta	Regolarità in altezza	Tipologia strutturale
II	50	1	B	si	si	Muratura.

L'analisi strutturale per azioni sismiche utilizzata per la verifica è del tipo lineare (cap. 7.3.1 NTC 2018). Per sistemi non dissipativi (SLE), gli effetti delle azioni sono calcolati riferendosi ad uno spettro di progetto ottenuto assumendo un fattore di comportamento  $q=1$  per lo stato limite di operatività (SLO) (cap. 3.2.3.4 NTC 2018) e un fattore di comportamento  $q \leq 1.5$  per stato limite di danno (SLD) (cap. 3.2.3.5 NTC 2018). Per sistemi dissipativi (SLU), gli effetti delle azioni sono calcolati riferendosi ad uno spettro di progetto ottenuto assumendo un fattore di struttura  $q \geq 1.5$  (cap. 3.2.3.5 NTC 2018).

Il calcolo del fattore di comportamento per i sistemi dissipativi è stato eseguito seguendo quanto riportato al capitolo 7 delle NTC 2018 in funzione dei parametri generali della struttura in esame. Si riportano, in tabella, i valori del fattore di comportamento utili per la valutazione dell'azione sismica nelle tre direzioni:

$q_0$	$\alpha_u/\alpha_i$	$k_r$	$q_x$	$q_y$	$q_z$
$1,75^* \alpha_u/\alpha_i$	1,7	0,8	2,975	2,975	1.5

L'azione sismica viene definita in relazione ad un periodo di riferimento  $V_r$  che si ricava, per ciascun tipo di costruzione, moltiplicandone la vita nominale per il coefficiente d'uso. Fissato il periodo di riferimento  $V_r$  e la probabilità di superamento  $P_{ver}$  associata a ciascuno degli stati limite considerati, si ottiene il periodo di ritorno  $T_r$  e i relativi parametri di pericolosità sismica:

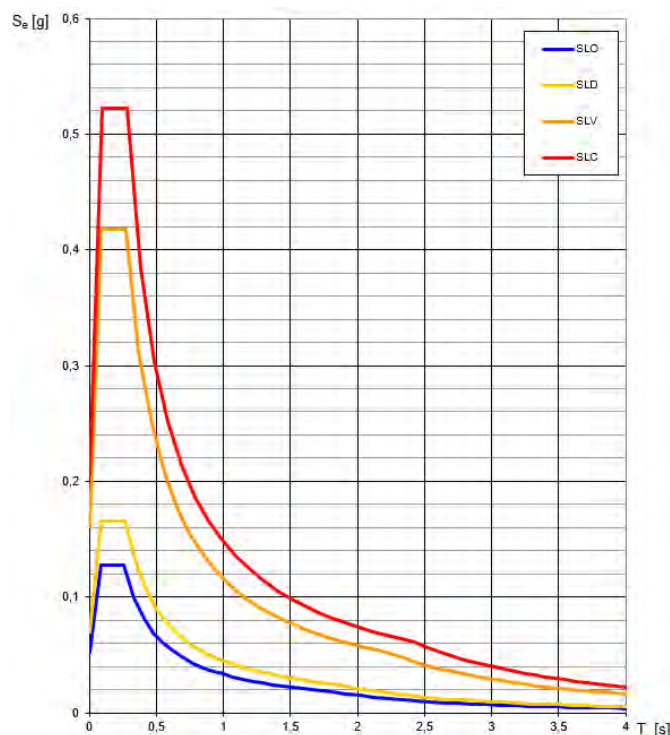
- $a_g$ : accelerazione orizzontale massima del terreno;
- $F_0$ : valore massimo del fattore di amplificazione dello spettro in accelerazione orizzontale;
- $T_c^*$ : periodo di inizio del tratto a velocità costante dello spettro in accelerazione orizzontale.

SLATO LIMITE	$T_R$ [anni]	$a_g$ [g]	$F_0$ [-]	$T_c^*$ [s]
SLO	30	0,052	2,453	0,260
SLD	50	0,069	2,391	0,269
SLV	475	0,161	2,595	0,277
SLC	975	0,206	2,540	0,283

**Tabella 292.** Valori di  $a_g$ ,  $F_0$  e  $T_c^*$  in funzione dei vari stati limite

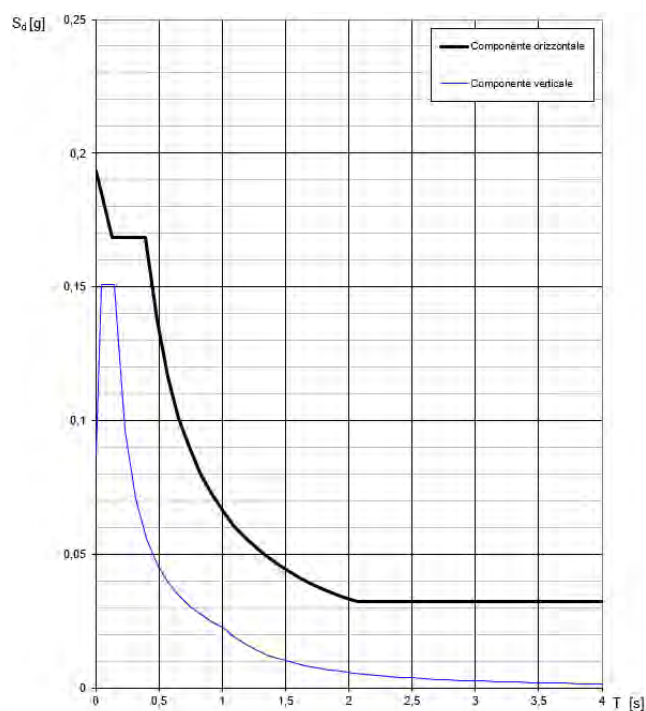


### 1.20.3.2. Spettri di risposta



**Figura 169.** Spettri di risposta elastici per i diversi stati limite

Con l'utilizzo del fattore di comportamento e dei parametri sismici dipendenti dal tipo di struttura in esame, precedentemente calcolati, si sono determinati gli spettri di calcolo agli stati limite SLV e SLD. Nel caso di utilizzo di isolatori sismici si farà riferimento allo spettro ad SLV per la sovrastruttura e ad SLC per gli isolatori. Tali spettri saranno opportunamente scalati in funzione dello smorzamento e del periodo scelto.



**Figura 170.** Spettri di risposta (componenti orizz.\_vert.) per lo SLV

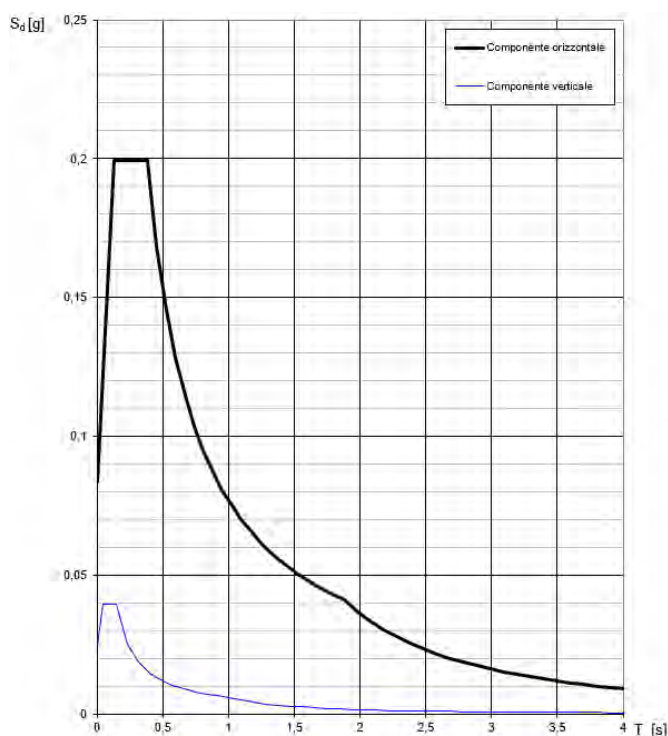


Figura 171. Spettri di risposta (componenti orizz.\_vert.) per lo SLD

#### 1.20.4. Carichi di progetto

##### 1.20.4.1. Carico della neve

Tale calcolo viene effettuato ai sensi di DM del 17 Gennaio 2018 "Norme tecniche per le costruzioni" e della Circolare Ministeriale Applicativa del 21 Gennaio 2019. Il carico neve sulle coperture è valutato con la seguente espressione:

$$q_s = \mu_i * q_{sk} * C_e *$$

dove:

- $\mu_i$  è il coefficiente di forma della copertura;

Coefficiente di forma	$0^\circ \leq \alpha \leq 30^\circ$	$30^\circ < \alpha < 60^\circ$	$\alpha \geq 60^\circ$
$\mu_1$	0,8	$0,8 \cdot \frac{(60 - \alpha)}{30}$	0,0

Tabella 293. Tab. 3.4.II – Valori dei coefficienti di forma

- $q_{sk}$  è il valore di riferimento del carico neve al suolo e dipende dalla zona climatica e dall'altitudine di riferimento del sito  $a_s$ , se è maggiore o inferiore a 200 m;



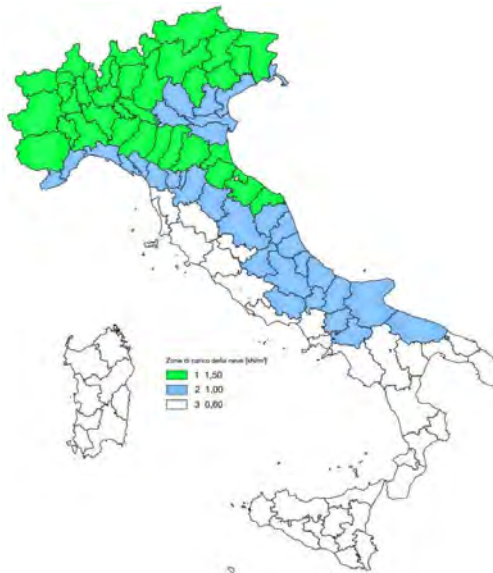


Figura 172. Zone di carico della neve

- $C_e$  è il coefficiente di esposizione che viene utilizzato per modificare il carico neve in funzione delle caratteristiche dell'area in cui sorge l'opera;

Topografia	Descrizione	$C_e$
Battuta dai venti	Aree pianeggianti non ostruite esposte su tutti i lati, senza costruzioni o alberi più alti	0,9
Normale	Aree in cui non è presente una significativa rimozione di neve sulla costruzione prodotta dal vento, a causa del terreno, altre costruzioni o alberi	1,0
Riparata	Aree in cui la costruzione considerata è sensibilmente più bassa del circostante terreno o circondata da costruzioni o alberi più alti	1,1

Tabella 294. Tab. 3.4.I – Valori di  $C_z$  per diverse classi di esposizione

- $C_t$  è il coefficiente termico, generalmente assunto pari a 1;

Si assume che la neve non sia impedita di scivolare e si calcola il valore del carico neve in copertura:

Zona	$s$ (m)	$q_{sk}$ (daN/m <sup>2</sup> )	$\mu_i$	$C_e$	$C_t$	$q_s$ (daN/m <sup>2</sup> )
III	298	71	0,8	1	1	56

Tabella 295. Determinazione del carico da neve in copertura

#### 1.20.4.2. Carico del vento

La velocità base di riferimento del vento  $v_b$  è il valore medio su 10 minuti, a 10 m di altezza sul suolo su un terreno pianeggiante e omogeneo di categoria di esposizione II, riferito ad un periodo di ritorno  $T_r = 50$  anni, ed è pari a:

$$v_b = v_{b0} * c_a$$

dove:

- $v_{b0}$  è la velocità base di riferimento al livello del mare, assegnata nella Tab.3.3.I in funzione della zona in cui sorge la costruzione;

- $c_a$  è il coefficiente di altitudine fornito dalla relazione

$$c_a = 1 \quad \text{per } a_s \leq a_0$$

$$c_a = 1 + k_s * (a_s/a_0 - 1) \quad \text{per } a_0 < a_s \leq 1500 \text{ m}$$

dove:

- $a_0, k_s$  sono parametri forniti nella Tab.3.3.I in funzione della zona in cui sorge la costruzione;
- $a_s$  è l'altitudine sul livello del mare del sito ove sorge la costruzione.

Zona	Descrizione	$v_{b,0}$ [m/s]	$a_0$ [m]	$k_s$
1	Valle d'Aosta, Piemonte, Lombardia, Trentino Alto Adige, Veneto, Friuli Venezia Giulia (con l'eccezione della provincia di Trieste)	25	1000	0,40
2	Emilia Romagna	25	750	0,45
3	Toscana, Marche, Umbria, Lazio, Abruzzo, Molise, Puglia, Campania, Basilicata, Calabria (esclusa la provincia di Reggio Calabria)	27	500	0,37
4	Sicilia e provincia di Reggio Calabria	28	500	0,36
5	Sardegna (zona a oriente della retta congiungente Capo Teulada con l'Isola di Maddalena)	28	750	0,40
6	Sardegna (zona a occidente della retta congiungente Capo Teulada con l'Isola di Maddalena)	28	500	0,36
7	Liguria	28	1000	0,54
8	Provincia di Trieste	30	1500	0,50
9	Isole (con l'eccezione di Sicilia e Sardegna) e mare aperto	31	500	0,32



**Figura 173.** Valori dei parametri  $v_{b0}, a_0, k_s$

**Figura 174.** Mappa delle zone in cui è suddiviso il territorio italiano

La velocità di riferimento  $v_r$  è il valore medio su 10 minuti, a 10 m di altezza dal suolo su un terreno pianeggiante e omogeneo di categoria di esposizione II, riferito al periodo di ritorno di progetto  $T_r$ .

$$v_r = v_b * c_r$$

- $v_b$  è la velocità base di riferimento al livello del mare, assegnata
- $c_r$  è il coefficiente di ritorno, funzione del periodo di ritorno di progetto  $T_r$  fornito dalla relazione

$$c_r = 0.75 * \sqrt{1 - 0.2 * \ln[-\ln * (1 - 1/T_r)]}$$

Quindi:

$v_{b0}$ (m/s)	$a_s$	$c_a$	$v_b$	$T_r$	$c_r$	$v_r$ (m/s)
27	298	1	27	50	1,0007	27.02

La pressione del vento è data dall'espressione:

$$p = q_r * c_e * c_p * c_d$$

dove:

- $q_r$  è la pressione cinetica di riferimento data dall'espressione

$$q_r = \frac{1}{2} * \rho * v_r^2 \quad \text{in cui } \rho \text{ è la densità dell'aria pari a } 1.25 \text{ kg/m}^3$$

- $c_e$  è il coefficiente di esposizione che dipende dall'altezza  $z$  sul suolo del punto considerato, dalla topografia del terreno e dalla categoria di esposizione del sito ove sorge la costruzione. Per altezze sul suolo non maggiori di 200 m è dato dalla formula:

$$c_e(z) = k_r^2 * c_t * \ln(z/z_0) * [7 + c_t * \ln(z/z_0)] \quad \text{per } z \geq z_{min}$$

$$c_e(z) = c_e(z_{min}) \quad \text{per } z < z_{min}$$

dove:

- $k_r$ ,  $z_0$ ,  $z_{min}$  sono assegnati in Tab.3.3.II in funzione della categoria di esposizione del sito.
- $c_t$  è il coefficiente di topografia, posto generalmente uguale a 1.

Categoria di esposizione del sito	$K_r$	$z_0$ [m]	$z_{min}$ [m]
I	0,17	0,01	2
II	0,19	0,05	4
III	0,20	0,10	5
IV	0,22	0,30	8
V	0,23	0,70	12

**Tabella 296.** Parametri per la definizione del coefficiente di esposizione

Classe di rugosità del terreno	Descrizione
A	Aree urbane in cui almeno il 15% della superficie sia coperto da edifici la cui altezza media non superi i 15 m
B	Aree urbane (non di classe A), suburbane, industriali e boschive
C	Aree con ostacoli diffusi (alberi, case, muri, recinzioni...); aree con rugosità non riconducibile alle classi A, B, e D
D	a) Mare e relativa fascia costiera (entro 2 km dalla costa); b) Lago (con larghezza massima pari ad almeno 1 km) e relativa fascia costiera (entro 1 km dalla costa); c) Aree prive di ostacoli o con al più rari ostacoli isolati (aperta campagna, aeroporti, aree agricole, pascoli, zone paludose o sabbiose, superfici innevate o ghiacciate, ...)

**Tabella 297.** Classi di rugosità del terreno

ZONE 1,2,3,4,5						
	costa	mare	2 km	10 km	30 km	750m
A	--	IV	IV	V	V	V
B	--	III	III	IV	IV	IV
C	--	*	III	III	IV	IV
D	I	II	II	II	III	**
* Categoria II in zona 1,2,3,4 Categoria III in zona 5						
** Categoria III in zona 2,3,4,5 Categoria IV in zona 1						

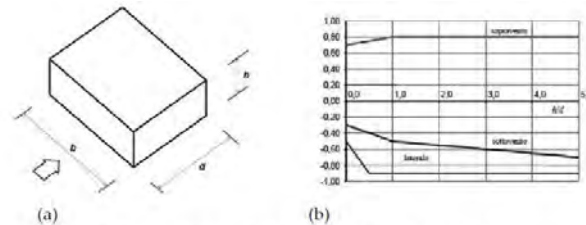
**Tabella 298.** Definizione delle categorie di esposizione

$q_r$	Rugosità	Esposizione	$c_e(z)$	$c_e(z_{min})$
456	B	III	2,384	1,708

**Tabella 299.** Definizione dei coefficienti di esposizione

- $c_p$  è il coefficiente di pressione e dipende dalla tipologia, dalla geometria della costruzione e dal suo orientamento rispetto alla direzione del vento. Il coefficiente globale  $c_{pe}$  che può essere

utilizzato in tutti i casi in cui la rappresentazione delle azioni aereodinamiche del vento possa essere effettuata in maniera semplificata, rivolta alla valutazione delle azioni globali su porzioni estese di costruzioni o delle risultanti delle azioni indotte dal vento sugli elementi principali della struttura. I coefficienti  $c_{pe}$  da assumere sulle pareti dell'edificio a pianta rettangolare sono diagrammati in base al rapporto  $h/d$ , avendo indicato con  $h$  l'altezza del manufatto e con  $d$  la profondità dell'edificio, valutata parallelamente al flusso di lavoro:



a) Parametri caratteristici di edifici a pianta rettangolare,  
b) Edifici a pianta rettangolare:  $c_{pe}$  per facce sopravvento, sottovento e laterali  
Figura C3.3.2

Tabella C3.3.I: Edifici a pianta rettangolare:  $c_{pe}$  per facce sopravvento, sottovento e laterali

Faccia sopravvento	$C_U = 2,0$	$C_U = 1,5$
$h/d \leq 1$ : $c_{pe} = 0,7 + 0,1 \cdot h/d$	$h/d \leq 0,5$ : $c_{pe} = -0,5 - 0,8 \cdot h/d$	$h/d \leq 1$ : $c_{pe} = -0,3 - 0,2 \cdot h/d$
$h/d > 1$ : $c_{pe} = 0,8$	$h/d > 0,5$ : $c_{pe} = -0,9$	$1 < h/d \leq 5$ : $c_{pe} = -0,5 - 0,05 \cdot (h/d - 1)$

Tabella 300. Coefficienti di pressione delle facciate secondo NTC2018

Quindi i coefficienti per le facce sopravvento e sottovento sono:

b	d	h	h/d	$C_{pe}$ -sopravento	$C_{pe}$ -sottovento
25,50	10.5	14.5	1.38	0,80	-0,52

Tabella 301. Definizione dei coefficienti di pressione

## COPERTURA A PADIGLIONE

Per la copertura a padiglione l'altezza di riferimento  $z_e$  è pari all'altezza massima della copertura stessa. Per i coefficienti globali sulle coperture a padiglione di un edificio a pianta rettangolare, per le falde sopravvento e sottovento, si assumono gli stessi coefficienti previsti per le coperture a doppia falda.

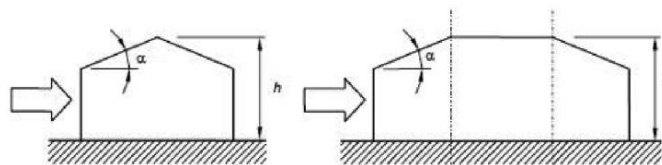


Figura C3.3.15 - Schema delle coperture a padiglione

Valori negativi		Valori positivi	
$\alpha \leq -60^\circ$	$c_{pe} = -0,5$	$0^\circ \leq \alpha \leq 45^\circ$	$c_{pe} = + \alpha/75$
$-60^\circ \leq \alpha \leq -15^\circ$	$c_{pe} = -0,5 - (\alpha + 60)/90$	$45^\circ \leq \alpha \leq 75^\circ$	$c_{pe} = +0,6 + (\alpha - 45)/150$
$-15^\circ \leq \alpha \leq 30^\circ$	$c_{pe} = -1,0 + (\alpha + 15)/75$		
$30^\circ \leq \alpha \leq 45^\circ$	$c_{pe} = -0,4 + (\alpha - 30)/37,5$		

Figura 175. Coperture a doppia falda, valori del  $c_{pe}$  con vento perpendicolare al colmo

Per le falde laterali, relative alle pareti parallele alla direzione del vento, si considerano i coefficienti riportati sotto:

$0^\circ \leq \alpha \leq 30^\circ$	$c_{pe} = -0,6 - \alpha/75$
$30^\circ \leq \alpha \leq 45^\circ$	$c_{pe} = -1,0$
$45^\circ \leq \alpha \leq 60^\circ$	$c_{pe} = -1,0 + (\alpha - 45)/37,5$
$60^\circ \leq \alpha$	$c_{pe} = -0,6$

**Tabella 302.** Coperture a padiglione, valori del  $c_{pe}$  con vento perpendicolare al colmo

Le pressioni interne agli edifici dipendono dalla superficie delle aperture che questi presentano verso l'esterno. Nel caso in esame si assumono valori del coefficiente di pressione interno pari a  $c_{pi} = +0,2$  e  $c_{pi} = -0,30$ , considerando il caso che di volta in volta conduce alla situazione maggiormente gravosa.

- $c_d$  è il coefficiente dinamico e può essere assunto cautelativamente pari a 1 nelle costruzioni di tipologia ricorrente quali gli edifici di forma regolare non eccedenti 80 m in altezza e capannoni industriali.

In funzione dei coefficienti analizzati e della pressione cinetica di riferimento, si calcola la pressione del vento per la copertura e per le facciate sopravento e sottovento considerando i valori massimi e minimi.

<b>Facciata</b>	<b>Sopravento</b>	<b>Sottovento</b>
$p_{min}$ (daN/m <sup>2</sup> )	467	-638
$p_{max}$ (daN/m <sup>2</sup> )	653	-891
<b>Copertura</b>	<b>Sopravento</b>	<b>Sottovento</b>
$p$ (daN/m <sup>2</sup> )	-762	-762

Nel caso di copertura a padiglione è necessario considerare il vento in pressione sulle falde laterali e risulta pari a -1088 daN/m<sup>2</sup>.



### **1.20.5. Interventi per il miglioramento sismico – edifici in muratura**

Gli interventi previsti per la riduzione del rischio sismico si dividono in:

- interventi che possono consentire il miglioramento di almeno due Classi di Rischio o l'adeguamento sismico.

La tipologia di interventi considerati riguarda l'utilizzo di:

- cappotto sismico applicato alle pareti esterne dell'edificio.

Questa tipologia di interventi, viene presa in considerazione nel caso in cui le lavorazioni vengono eseguite senza dover in alcun modo evacuare gli inquilini dell'edificio, e quando la struttura risulta regolare in pianta e in altezza. Per gli edifici in cemento armato, nel caso di struttura a telai in entrambe le direzioni, è prevista la possibilità di ritenere valido il passaggio di più Classi di Rischio con la possibilità di raggiungere l'adeguamento sismico a seconda della tipologia di struttura.

#### **1.20.5.1. Sintesi degli interventi previsti**

##### **CAPPOTTO SISMICO**

Il cappotto sismico viene applicato sulle facciate esterne dell'edificio al fine di realizzare una nuova "pelle" sismo-resistente. E' costituito da una lastra sottile in calcestruzzo armato gettato in opera all'interno di due strati di materiale isolante, preinseriti in una maglia tridimensionale in acciaio zincato. La lastra in calcestruzzo può avere spessori variabili in base alla tipologia di intervento e nel caso in esame si ipotizza uno spessore di circa 8-10 cm; a livello delle travi esterne di piano si realizza un nuovo cordolo dello spessore della lastra più la larghezza dello strato di isolante addossato alla parete di circa 4 cm.

Il getto e l'armatura di rinforzo vengono resi solidali alla struttura esistente mediante, sia l'inserimento di connettori disposti a livello dei cordoli di piano e, se necessario, sui pilastri, sia disponendo opportuni ancoraggi sulla fondazione esistente o su una nuova fondazione addossata a quella esistente

La maglia tridimensionale in acciaio zincato consente di semplificare le operazioni di posa in opera delle armature strutturali, di minimizzare gli sfridi di cantiere e di realizzare uno strato di finitura ad intonaco particolarmente solida che garantisce la massima protezione del materiale isolante da urti accidentali ed agenti atmosferici.

Le norme NTC18 trattano le pareti in calcestruzzo soltanto per quanto riguarda le prescrizioni da seguire per strutture a comportamento dissipativo. Le lastre in calcestruzzo vengono invece dimensionate per garantire un comportamento elastico e non dissipativo nei confronti dell'azione sismica di progetto, rientrando nella tipologia di "strutture non dissipative". Per questo motivo le verifiche in resistenza degli elementi in calcestruzzo vengono effettuate seguendo l'approccio fornito dalla norma per gli elementi strutturali a comportamento non dissipativo, contenute nel

capitolo 4 delle NTC18 mentre le prescrizioni contenute nel capitolo 7 non risultano vincolanti per il dimensionamento delle pareti.

Per quanto riguarda le connessioni tra edificio esistente e cappotto sismico, la valutazione analitica della resistenza degli ancoraggi metallici per calcestruzzo può essere effettuata secondo le linee guida definite dal documento ETAG001-1997: "Linee guida per il benessere tecnico europeo di ancoraggi metallici da utilizzare nel calcestruzzo" e dai relativi allegati.

#### **1.20.6. Conclusioni**

Per quanto concerne gli aspetti prettamente strutturali, l'intervento di miglioramento sismico adottato per la tipologia oggetto della presente relazione, prevede l'utilizzo di un cappotto sismico, un sistema integrato di rafforzamento strutturale e miglioramento del benessere termoisolante dell'edificio. Questo intervento, oltre a non interrompere il normale esercizio della struttura permette la riduzione delle tempistiche del cantiere, in quanto i moduli da applicare sulle pareti esterne, risultano prefabbricati e sono comprensivi delle varie forometrie; in cantiere, l'attività sarà quella di prevedere il collegamento con la struttura esistente e la realizzazione del getto all'interno del cassero e, se necessario, il getto armato della nuova porzione di fondazione.

Gli interventi strutturali previsti sono mirati al miglioramento sismico attraverso l'incremento di almeno due Classi di Rischio o l'adeguamento sismico, da valutare nel dettaglio nelle fasi progettuali successive. Con ciò si intende il miglioramento del rischio della costruzione con incidenza sul valore PAM e sulla capacità che la struttura possiede rispetto allo stato limite della salvaguardia sulla vita. Tale valore è stato valutato come rapporto tra  $PGA_a$  (SLV) anteoperam e la  $PGA_p$  (SLV) postoperam, determinata attraverso il metodo convenzionale nel rispetto della normativa vigente (NTC 2018) e della circolare ministeriale applicativa del 21 gennaio 2019.

## **2. INTERVENTI DI EFFICIENTAMENTO ENERGETICO**

Premesso quanto riportato nella relazione tecnica di inquadramento generale, nella quale sono riportati:

- indagini e sopralluoghi;
- riferimenti normativi;
- tipologia di interventi da eseguire;
- individuazione degli elementi costitutivi i fabbricati oggetto di intervento;
- criteri di calcolo impiegati;
- indici di prestazione energetica da rispettare;
- soluzioni tecnologiche relative agli interventi da eseguire;

si riportano di seguito le valutazioni relative al singolo Comune di Velletri

### **2.1. Inquadramento**

Di seguito vengono riportati i dati climatici e le tipologie di edifici relativi all'area di intervento.

#### **2.1.1. Dati climatici**

I dati climatici desunti dalla normativa tecnica UNI 10349 sono i seguenti:

COMUNE	VELLETRI
PROVINCIA	ROMA
REGIONE	LAZIO
ZONA CLIMATICA	D
GG	1544
PERIODO RISCALDAMENTO	10 ore giornaliere: 1 NOV- 15 APR

**Tabella 303.** Dati climatici comunali

## 2.2. Tipologia edifici


Di seguito si riporta la tabella riepilogativa che raggruppa tutte le tipologie edilizie individuate.

CITTA'	TIPOLOGIA	INDIRIZZO
VELLETRI	VE01	VIA CARLO ANGELONI 51
VELLETRI	VE02	VIA CARLO ANGELONI 19-29 – AB
VELLETRI	VE03	VIA CARLO ANGELONI 23-25-27 – FGH
VELLETRI	VE04	VIA FONTANA DELLE ROSE 207
VELLETRI	VE05	VIA CAMPO SPORTIVO 5
VELLETRI	VE05	VIA CAMPO SPORTIVO 11
VELLETRI	VE06	VIA FONTANA DELLE ROSE 205
VELLETRI	VE07	VIA FONTANA DELLE ROSE 147
VELLETRI	VE07	VIA FONTANA DELLE ROSE 141
VELLETRI	VE08	CIRCONVALLAZIONE DI Ponente 241-243
VELLETRI	VE09	VIA G. PASTORE 2-4-6-8-10-12-14-16
VELLETRI	VE10	VIA G. DI VITTORIO 1-3-5-7-9-11-13-15-17-19
VELLETRI	VE11	VIA G. AMENDOLA 3-5-7-9-11-13
VELLETRI	VE12	PIAZZA CAMANGI 1-2-3-4
VELLETRI	VE13	VIA E. DE NICOLA 11-13-15-17
VELLETRI	VE14	PIAZZA G. FALCONE 6-7-8-9
VELLETRI	VE15	VIA G. PASTORE 18-20-22-24
VELLETRI	VE16	VIA SALVO D'ACQUISTO 35
VELLETRI	VE17	VIA SALVO D'ACQUISTO 39
VELLETRI	VE18	VIA MENOTTI GARIBALDI 57
VELLETRI	VE18	VIA MENOTTI GARIBALDI 59
VELLETRI	VE19	VIA SALVO D'ACQUISTO 41
VELLETRI	VE20	VIA CAMPO SPORTIVO 7
VELLETRI	VE20	VIA CAMPO SPORTIVO 9


**Tabella 304.** Tipologie edilizie analizzate


### 2.2.1. Classificazione per tipologie edilizie affini


Di seguito si riportano le tabelle relative ad ogni tipologia di edificio individuata:


<b>TIPOLOGIA VE01</b>	
Ubicazione	Velletri (RM), via Carlo Angeloni, 51
	
Anno di costruzione	1956
Struttura portante	-
Numero di piani	2
Superficie netta totale	1056
Unità immobiliari	16
Numero di scale	4
Tipologia di riscaldamento	-
Tamponature	MCV01
Solaio di copertura	COP04
Solaio primo impalcato	SOL08
Serramenti	Infissi in legno e vetro singolo




TIPOLOGIA VE02	
Ubicazione	Velletri (RM), via C. Angeloni, 19-29
	
Anno di costruzione	1948
Struttura portante	-
Numero di piani	2
Superficie netta totale	399
Unità immobiliari	8
Numero di scale	2
Tipologia di riscaldamento	-
Tamponature	MLP03
Solaio di copertura	COP04
Solaio primo impalcato	SOL08
Serramenti	Infissi in legno e vetro singolo


TIPOLOGIA VE03	
Ubicazione	Velletri (RM), via C. Angeloni, 23-25-27
	
Anno di costruzione	1948
Struttura portante	-
Numero di piani	-
Superficie netta totale	720
Unità immobiliari	12
Numero di scale	3
Tipologia di riscaldamento	-
Tamponature	MLP03
Solaio di copertura	COP04
Solaio primo impalcato	SOL08
Serramenti	Infissi in legno e vetro singolo


TIPOLOGIA VE04	
Ubicazione	Velletri (RM), via Fontana delle Rose, 207
	
Anno di costruzione	1958
Struttura portante	Muratura
Numero di piani	4
Superficie netta totale	290
Unità immobiliari	7
Numero di scale	1
Tipologia di riscaldamento	-
Tamponature	MCV01
Solaio di copertura	COP04
Solaio primo impalcato	SOL08
Serramenti	Infissi in legno e vetro singolo


TIPOLOGIA VE05	
Ubicazione	Velletri (RM), via Campo Sportivo, 5/11
	
Anno di costruzione	1948
Struttura portante	Muratura
Numero di piani	3
Superficie netta totale	382
Unità immobiliari	6
Numero di scale	1
Tipologia di riscaldamento	-
Tamponature	MLP03
Solaio di copertura	COP04
Solaio primo impalcato	SOL08
Serramenti	Infissi in legno e vetro singolo


TIPOLOGIA VE06	
Ubicazione	Velletri (RM), via Fontana delle rose, 205
	
Anno di costruzione	1958
Struttura portante	Telaio C.A.
Numero di piani	3-4
Superficie netta totale	338
Unità immobiliari	8
Numero di scale	1
Tipologia di riscaldamento	-
Tamponature	MCV01
Solaio di copertura	COP04
Solaio primo impalcato	SOL08
Serramenti	Infissi in legno e vetro singolo




TIPOLOGIA VE07	
Ubicazione	Velletri (RM), via Fontana delle Rose, 147/114
	
Anno di costruzione	1956
Struttura portante	-
Numero di piani	4
Superficie netta totale	434
Unità immobiliari	12
Numero di scale	1
Tipologia di riscaldamento	Autonomo
Tamponature	MCV01
Solaio di copertura	COP04
Solaio primo impalcato	SOL08
Serramenti	Infissi in legno e vetro singolo


TIPOLOGIA VE08	
Ubicazione	Velletri (RM), Circonvallazione di Ponente, 241-243
	
Anno di costruzione	1954
Struttura portante	Muratura
Numero di piani	3
Superficie netta totale	649
Unità immobiliari	12
Numero di scale	2
Tipologia di riscaldamento	Autonomo
Tamponature	MCV01
Solaio di copertura	COP04
Solaio primo impalcato	SOL08
Serramenti	Infissi in legno e vetro singolo


TIPOLOGIA VE09	
Ubicazione	Velletri (RM), via G. Pastore, 2-4-6-8-10-12-14-16
	
Anno di costruzione	1988
Struttura portante	Telaio C.A.
Numero di piani	6
Superficie netta totale	5816
Unità immobiliari	80
Numero di scale	8
Tipologia di riscaldamento	-
Tamponature	MCV01
Solaio di copertura	COP03
Solaio primo impalcato	SOL08
Serramenti	Infissi in legno e vetro singolo


TIPOLOGIA VE10	
Ubicazione	Velletri (RM), via G. Di Vittorio, 1-3-5-7-9-11-13-15-17-19
	
Anno di costruzione	1980
Struttura portante	Telaio C.A.
Numero di piani	6
Superficie netta totale	9284
Unità immobiliari	98
Numero di scale	10
Tipologia di riscaldamento	-
Tamponature	MCV01
Solaio di copertura	COP04
Solaio primo impalcato	SOL08


TIPOLOGIA VE11	
Ubicazione	Velletri (RM), via G. Amendola, 3-5-7-9-11-13
	
Anno di costruzione	1984
Struttura portante	Telaio C.A.
Numero di piani	6
Superficie netta totale	5395
Unità immobiliari	60
Numero di scale	6
Tipologia di riscaldamento	-
Tamponature	MCV01
Solaio di copertura	COP03
Solaio primo impalcato	SOL08
Serramenti	Infissi in legno e vetro singolo




TIPOLOGIA VE12	
Ubicazione	Velletri (RM), P.zza Camangi, 1-2-3-4
	
Anno di costruzione	1987
Struttura portante	Telaio C.A.
Numero di piani	6
Superficie netta totale	2610
Unità immobiliari	40
Numero di scale	4
Tipologia di riscaldamento	-
Tamponature	MCV01
Solaio di copertura	COP03
Solaio primo impalcato	SOL08
Serramenti	Infissi in legno e vetro singolo


TIPOLOGIA VE13	
Ubicazione	Velletri (RM), via de Nicola, 11-13-15-17
	
Anno di costruzione	1996
Struttura portante	Telaio C.A.
Numero di piani	5
Superficie netta totale	2827
Unità immobiliari	39
Numero di scale	4
Tipologia di riscaldamento	-
Tamponature	MCV01
Solaio di copertura	COP03
Solaio primo impalcato	SOL08
Serramenti	Infissi in legno e vetro singolo


TIPOLOGIA VE14	
Ubicazione	Velletri (RM), via G. Falcone, 6-7-8-9
	
Anno di costruzione	1996
Struttura portante	Telaio C.A.
Numero di piani	5
Superficie netta totale	4065
Unità immobiliari	50
Numero di scale	4
Tipologia di riscaldamento	Autonomo
Tamponature	MCV01
Solaio di copertura	COP03
Solaio primo impalcato	SOL08
Serramenti	Infissi in legno e vetro singolo


TIPOLOGIA VE15	
Ubicazione	Velletri (RM), via G. Pastore, 18-24
	
Anno di costruzione	1980
Struttura portante	Telaio C.A.
Numero di piani	5
Superficie netta totale	3647
Unità immobiliari	38
Numero di scale	4
Tipologia di riscaldamento	-
Tamponature	MCV01
Solaio di copertura	COP04
Solaio primo impalcato	SOL08
Serramenti	Infissi in legno e vetro singolo


TIPOLOGIA VE16	
Ubicazione	Velletri (RM), via Salvo D'Acquisto, 35
	
Anno di costruzione	1949
Struttura portante	Muratura
Numero di piani	4
Superficie netta totale	490
Unità immobiliari	8
Numero di scale	1
Tipologia di riscaldamento	-
Tamponature	MLP03
Solaio di copertura	COP04
Solaio primo impalcato	SOL08
Serramenti	Infissi in legno e vetro singolo



TIPOLOGIA VE17	
Ubicazione	Velletri (RM), via Salvo D'Acquisto, 39
	
Anno di costruzione	1949
Struttura portante	Muratura
Numero di piani	4
Superficie netta totale	458
Unità immobiliari	10
Numero di scale	1
Tipologia di riscaldamento	Autonomo
Tamponature	MLP03
Solaio di copertura	COP04
Solaio primo impalcato	SOL08
Serramenti	Infissi in legno e vetro singolo

TIPOLOGIA VE18	
Ubicazione	Velletri (RM), via Garibaldi, 57/59
	
Anno di costruzione	1975
Struttura portante	Muratura
Numero di piani	4
Superficie netta totale	624
Unità immobiliari	8
Numero di scale	1
Tipologia di riscaldamento	Autonomo
Tamponature	MCV01
Solaio di copertura	COP04
Solaio primo impalcato	SOL08
Serramenti	Infissi in legno e vetro singolo

TIPOLOGIA VE19	
Ubicazione	Velletri (RM), via Salvo D'Acquisto, 41
	
Anno di costruzione	1949
Struttura portante	Muratura
Numero di piani	4
Superficie netta totale	458
Unità immobiliari	10
Numero di scale	1
Tipologia di riscaldamento	Autonomo
Tamponature	MLP03
Solaio di copertura	COP04
Solaio primo impalcato	SOL08
Serramenti	Infissi in legno e vetro singolo

TIPOLOGIA VE20	
Ubicazione	Velletri (RM), via Campo Sportivo, 7/9
	
Anno di costruzione	1948
Struttura portante	Muratura
Numero di piani	3
Superficie netta totale	555
Unità immobiliari	9
Numero di scale	1
Tipologia di riscaldamento	-
Tamponature	MLP03
Solaio di copertura	COP04
Solaio primo impalcato	SOL08
Serramenti	Infissi in legno e vetro singolo

### **2.3. Interventi di efficientamento energetico**

In seguito ai dati raccolti sui singoli edifici ed in riferimento alle considerazioni fatte nella relazione tecnica generale, si procederà a migliorare le prestazioni termiche passivamente, andando a limitare le dispersioni termiche dell'involucro edilizio, e attivamente con interventi sulla generazione e distribuzione dei fluidi termovettori.

#### **2.3.1. Interventi passivi: involucro edilizio**

Gli interventi sull'involucro edilizio riguardano:

##### **1 Applicazione di isolante termico sulle superfici verticali.**

Tramite questa soluzione costruttiva, che aggiunge alle tamponature esistenti uno strato di isolante termico, si garantiscono migliori prestazioni termiche delle superfici opache verticali. Infatti, applicando uno strato di isolante, omogeneo e continuo, con bassi valori di conducibilità termica si ottiene una riduzione della trasmittanza delle superfici trattate, oltre alla sostanziale eliminazione dei ponti termici su queste presenti.

##### **2 Rifacimento della copertura.**

Con il rifacimento della copertura si completa il miglioramento delle prestazioni energetiche delle superfici opache. Questo intervento fornisce alle strutture di copertura uno strato isolante che, come a quello applicato sulle strutture verticali, limita le dispersioni e corregge i ponti termici esistenti. Gli interventi sulle superfici verticali e in copertura andranno così a costituire un cappotto termico in grado di abbattere le dispersioni termiche dell'involucro con una conseguente diminuzione di energia da fornire al fabbricato.

##### **3 Sostituzione degli infissi**

Contestualmente all'isolamento delle strutture opache si prevede la sostituzione degli infissi esistenti con elementi nuovi e notevolmente più prestanti dal punto di vista termico.

I nuovi infissi saranno forniti di telaio a taglio termico e doppio vetro.

Questi permettono di ridurre le dispersioni delle unità immobiliari poiché aventi una trasmittanza globale dell'elemento di molto inferiore agli elementi esistenti.

In aggiunta alla sostituzione degli elementi trasparenti si prevede l'isolamento o la sostituzione del cassonetto soprafinestra, qualora presenti, in modo da eliminare infiltrazioni d'aria esterna e dispersioni di calore.

Per ulteriori caratteristiche tecniche degli isolanti e degli infissi si rimanda ai contenuti della relazione tecnica generale.



### **2.3.2. Interventi attivi: impianti di riscaldamento**

In base ai dati raccolti per i singoli edifici, relativamente agli impianti esistenti, ed in riferimento alle considerazioni svolte nella relazione generale, circa i requisiti per accedere all'Ecobonus, si prevede la realizzazione di nuove centrali termiche costituite da caldaie a condensazione in classe A e pannelli solari termici, per la produzione di fluidi termovettori e di acqua calda sanitaria,

Gli interventi proposti mirano anche all'accorpamento delle centrali termiche di più edifici quando questo risulti possibile ed economicamente vantaggioso.

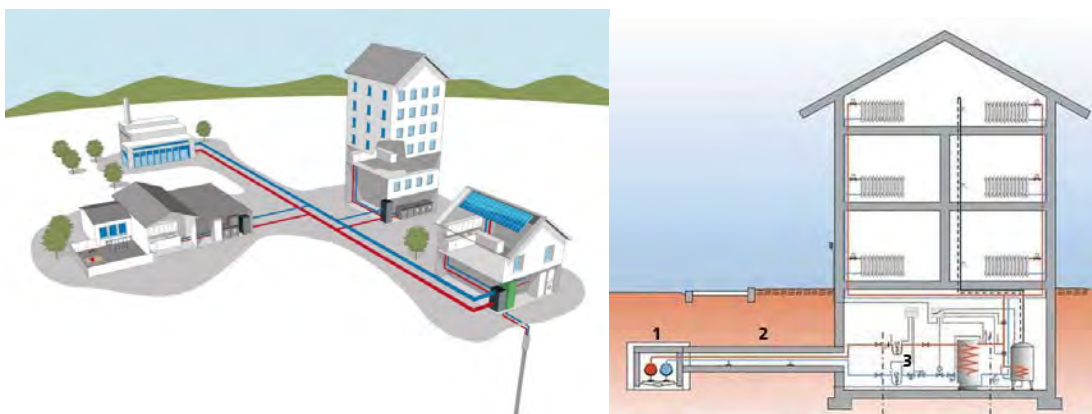
In presenza di più edifici limitrofi oggetto di intervento, questi sono associati ad un'unica centrale termica preposta alla produzione totale di calore da questi richiesto. La centrale viene posizionata in spazi prossimi agli edifici e comunque in aree pertinenziali degli stessi.

Tramite un sistema distributivo interrato l'acqua calda prodotta in centrale termica raggiunge ogni singolo edificio in una sottocentrale termica. Al suo interno, tramite uno scambiatore di calore, vengono ripartite le potenze termiche spettanti a ogni edificio o a porzioni di questo.

All'interno della sottocentrale termica di edificio trovano spazio tutti gli elementi preposti sia alla produzione di accumuli di acqua calda sanitaria sia alla distribuzione dei fluidi.

Infine, tramite un sistema distributivo esterno all'edificio, vengono raggiunti i punti di allaccio al sistema di tubazioni esistenti di ogni unità immobiliare. Prima dell'ingresso delle tubazioni all'interno dei singoli appartamenti, viene installato un terminale di contabilizzazione dei consumi per il riscaldamento e acqua calda sanitaria, in modo da poter ripartire i costi su ogni unità immobiliare in aderenza alla norma, UNI 10200.

Nel caso in cui l'edificio oggetto di intervento non sia inserito in un sistema più ampio che coinvolga una pluralità di stabili, la generazione dei fluidi si svolge internamente alla sottocentrale sopra descritta, mantenendo invariato il sistema di distribuzione e contabilizzazione dei vettori energetici



**Figura 176.** Schema esplicativo impianto termico

Di seguito è riportata una tabella riassuntiva, contenente i principali dati relativi alle centrali che vengono realizzate nel presente Comune.

TIPOLOGIA	INDIRIZZO	ALLOGGI [n°]	SUP Totale [m²]	Centrale Termica	Area riscaldata CT [m²]	Dispersioni [W/mq]	Potenza per riscaldamento [kW]	Potenza Totale per riscaldamento [kW]	Volume ACS [l]	Potenza ACS [kW]	Potenza Totale ACS [kW]	Pot. Totale generatore [kW]	Pot. di picco fotovoltaico [kWp]
VE1	VIA CARLO ANGELONI 51	4	264	VE1	1056	46	12,1	12	350	10	40	52	8,7
VE1	VIA CARLO ANGELONI 51	4	264			46	12,1		350	10			8,7
VE1	VIA CARLO ANGELONI 51	4	264			46	12,1		350	10			8,7
VE1	VIA CARLO ANGELONI 51	4	264			46	12,1		350	10			8,7
VE2	VIA CARLO ANGELONI 19-29	8	399	VE2-VE3	1119	41	16,4	44	650	19	47	91	6,8
VE3	VIA CARLO ANGELONI 23-25-27	12	720			39	28,1		1000	28			22,4
VE4	VIA FONTANA DELLE ROSE 207	7	290	VE4-VE6	628	39	11,3	0	600	16	35	59	6,2
VE6	VIA FONTANA DELLE ROSE 205	8	338			39	13,2		650	19			0,0
VE5	VIA CAMPO SPORTIVO 5	6	382	VE5-VE20	1874	39	14,9	73	500	14	70	143	5,3
VE5	VIA CAMPO SPORTIVO 11	6	382			39	14,9		500	14			5,3
VE20	VIA CAMPO SPORTIVO 7	9	555			39	21,6		750	21			11,3
VE20	VIA CAMPO SPORTIVO 9	9	555			39	21,6		750	21			11,3
VE7	VIA FONTANA DELLE ROSE 147	12	434	VE7	868	40	17,4	35	1000	28	56	91	3,3
VE7	VIA FONTANA DELLE ROSE 141	12	434			40	17,4		1000	28			4,1
VE8	CIRCONVALLAZIONE DI PONENTE 241-243	12	649	VE8	649	39	25,3	39	1000	28	28	67	14,3
VE9	VIA G. PASTORE 2-4-6-8-10-12-14-16	80	5816	VE9-VE15	9463	45	261,7	0	4900	136	210	636	16,8
VE15	VIA G. PASTORE 18-20-22-24	38	3647			45	164,1		2600	74			52,8
VE10	VIA G. DI VITTORIO 1/19	98	9284	VE10	9284	42	389,9	390	5500	155	155	545	14,1
VE11	VIA G. AMENDOLA 3-5-7-9-11-13	60	5395	VE11-VE12	8005	42	226,6	336	3900	109	187	523	31,2
VE12	PIAZZA CAMANGI 1-2-3-4	40	2610			42	109,6		2800	78			21,8
VE13	VIA E. DE NICOLA 11-13-15-17	39	2827	VE13	2827	44	124,4	124	2700	76	76	200	35,5
VE14	PIAZZA G.FALCONE 6-7-8-9	50	4065	VE14	4065	43	174,8	175	3300	91	91	266	21,4
VE16	VIA SALVO D'ACQUISTO 35	8	490	VE16-VE17-VE19	1406	42	20,6	59	650	19	63	122	1,9
VE17	VIA SALVO D'ACQUISTO 39	9	458			42	19,2		750	21			9,0
VE19	VIA SALVO D'ACQUISTO 41	10	458			42	19,2		850	23			8,5
VE18	VIA MENOTTI GARIBALDI 57	8	624	VE18	1248	39	24,3	49	650	19	38	87	1,5
VE18	VIA MENOTTI GARIBALDI 59	8	624			39	24,3		650	19			1,5

**Tabella 305.** Riepilogo potenze termiche di progetto

Nella tabella sopra riportata sono contenute le informazioni relative a:

- tipologia immobile;
- numero totale alloggi per tipologia;
- superficie coperta abitabile netta complessiva;
- eventuale raggruppamento della centrale termica;
- totale superficie coperta abitabile servita dalla singola centrale;
- potenza riscaldamento;
- potenza acqua calda sanitaria;
- volume di accumulo per acqua calda sanitaria
- potenza totale acqua calda sanitaria

potenza totale acqua calda sanitaria e riscaldamento

All'interno della tabella soprastante sono state evidenziate le tipologie di edifici e le nuove centrali termiche ad essi associate. Si evince che gli edifici serviti da un'unica centrale termica sono quelli relative alle tipologie V01, V02-V03, V04-V06, VE05-VE20, VE07, VE09-VE15, VE11-VE12, VE16-VE17-VE19 e VE18



**Figura 177.** Edifici serviti dalla centrale termica VE01



**Figura 178.** Edifici serviti dalla centrale termica VE02-VE03



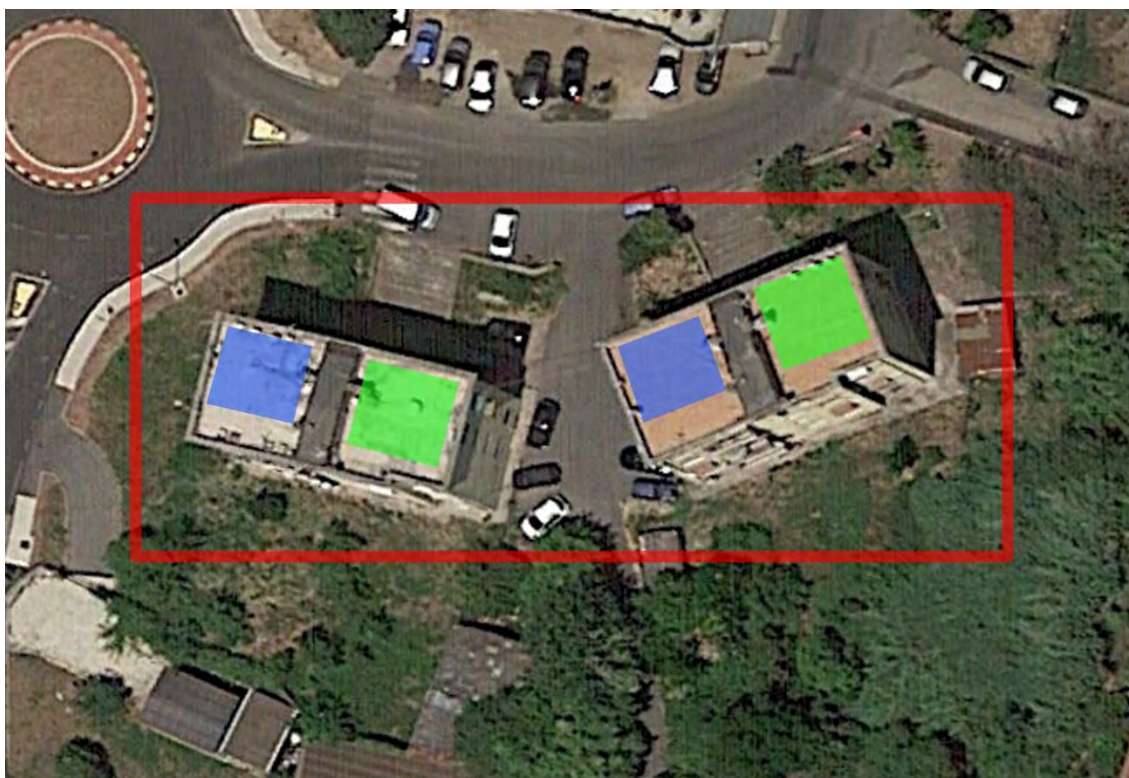


**Figura 179.** Edifici serviti dalla centrale termica VE04-VE06



**Figura 180.** Edifici serviti dalla centrale termica VE05-VE20





**Figura 181.** Edifici serviti dalla centrale termica VE07



**Figura 182.** Edifici serviti dalla centrale termica VE09-VE15





**Figura 183.** Edifici serviti dalla centrale termica VE11-VE12



**Figura 184.** Edifici serviti dalla centrale termica VE16-VE17-VE19





**Figura 185.** Edifici serviti dalla centrale termica VE18

#### Legenda

- area di pertinenza della centrale termica
- installazione pannelli solari
- installazione pannelli fotovoltaici